



Library of the Museum  
OF  
COMPARATIVE ZOÖLOGY,

AT HARVARD COLLEGE, CAMBRIDGE, MASS.

Founded by private subscription, in 1861.

*L. de Koninck's Library.*

*No. 1593.*

DESCRIPTION  
DES  
ANIMAUX SANS VERTÈBRES

DÉCOUVERTS DANS LE BASSIN DE PARIS.

---

TOME PREMIER.

## AVIS DES ÉDITEURS.

Le tome I de l'Atlas comprend les planches 1 à 11, 11 bis. }  
12 à 16, 16 bis, 17 à 87. . . . . } 89 planches.

---

### OUVRAGES DE M. DESHAYES

Chez les mêmes Libraires.

DESCRIPTION DES COQUILLES CARACTÉRISTIQUES DES TERRAINS. *Paris*, 1831, 4 vol. in-8 avec 12 pl.

DESCRIPTION DES COQUILLES FOSSILES DES ENVIRONS DE PARIS. *Paris*, 1824-1837, 3 vol. in-4, avec 166 planches. 180 fr.

TRAITÉ ÉLÉMENTAIRE DE CONCHYLOGIE avec l'application de cette science à la géognosie. *Paris*, 1839-1857. L'ouvrage comprend 3 vol. in-8 de texte. (Tome I, 1<sup>re</sup> partie de 368 pages. — Tome I, 2<sup>e</sup> partie, 824 pages. — Tome II, de 384 pages) avec atlas de 132 planches gravées. Publié en 18 livraisons. Prix de chaque livraison : figures noires, 5 fr., figures coloriées, 12 fr. Tout ce qui est publié : figures noires, 90 fr. ; figures coloriées. 200 fr.

EXPLORATION SCIENTIFIQUE DE L'ALGÉRIE, Histoire naturelle des Mollusques. — Les 25 livraisons publiées comprennent 2 vol. grand in-4. Texte, 1 vol. de 630 pages. — Atlas de 148 planches gravées et coloriées. 400 fr.

DESCRIPTION DES ANIMAUX SANS VERTÈBRES DÉCOUVERTS DANS LE BASSIN DE PARIS, pour servir de supplément à la Description des coquilles fossiles des environs de Paris, comprenant une Revue générale de toutes les espèces actuellement connues. *Paris*, 1857-1861, 2 forts vol. in-4, avec planches. Cet important ouvrage formera environ 40 livraisons in-4, composées chacune de 5 feuilles de texte et 5 planches. Prix de chaque livraison : 5 fr.

Les livraisons 1 à 20 forment le tome I. 4 vol. in-4 de 904 pages, avec atlas de 89 planches.

---

HISTOIRE NATURELLE GÉNÉRALE ET PARTICULIÈRE DES MOLLUSQUES, tant des espèces qu'on trouve aujourd'hui vivantes que des dépouilles fossiles de celles qui n'existent plus, classés d'après les caractères essentielles que présentent ces animaux et leurs coquilles; par M. de Férussac et G. P. Deshayes. *Paris*, 1820-1851, 4 vol. in-folio, dont 2 volumes de chacun 400 pages de texte et 2 volumes contenant 247 planches gravées et coloriées. Prix réduit, au lieu de 1250 fr. : 490 fr.

— *Le même*, 4 vol. in-4, avec 247 planches noires. Au lieu de 600 fr. : 200 fr.

*Ouvrage complet* en 42 livraisons, chacune de 6 planches in-folio, gravées et coloriées d'après nature avec le plus grand soin.

DESCRIPTION  
DES  
**ANIMAUX SANS VERTÈBRES**

DÉCOUVERTS DANS LE BASSIN DE PARIS

POUR SERVIR DE SUPPLÈMENT

A LA DESCRIPTION DES COQUILLES FOSSILES DES ENVIRONS DE PARIS

COMPRENANT

UNE REVUE GÉNÉRALE DE TOUTES LES ESPÈCES

ACTUELLEMENT CONNUES

PAR

**G.-P. DESHAYES**

---

TOME PREMIER. — ATLAS DE 89 PLANCHES

**Mollusques Acéphalés Dimyaires**

PARIS,

J.-B. BAILLIÈRE ET FILS,

LIBRAIRES DE L'ACADÉMIE IMPÉRIALE DE MÉDECINE,

Rue Hautefeuille, 49.

**LONDRES**

H. BAILLIÈRE, 249, REGENT STREET.

**NEW-YORK**

BAILLIÈRE BROTHERS, 440, BROADWAY

MADRID, C. BAILLY-BAILLIÈRE, CALLE DEL PRINCIPE, 11.

1860



# EXPLICATION DES PLANCHES.

## MOLLUSQUES.

### PLANCHE I.

#### **Clavagella Caillati** Desh.

- Fig. 1. Individu de grandeur naturelle, vu du côté droit, pour montrer la fissure qui part du crochet, et celle qui remonte jusqu'au disque.  
Fig. 2. Le même individu montrant le côté dorsal.  
Fig. 3. Individu plus grand et plus complet de grandeur naturelle ; il est de la collection de M. Caillat.  
Fig. 4. Valve extérieure comprise dans l'épaisseur du tube, et supposée détachée ; elle est grossie pour faire voir les stries écailleuses dont elle est couverte.

#### **Clavagella coronata** Desh.

- Fig. 5. Individu entier de grandeur naturelle, vu du côté droit.  
Fig. 6. Le même exemplaire vu du côté du dos ; on remarque la fissure qui divise le crochet, et remonte jusqu'au disque pour atteindre la fente du centre.  
Fig. 7. Le même individu du côté gauche.  
Fig. 8. Le disque terminal grossi, vu en dessus ; on voit au centre la fissure longitudinale qui le divise, et à la circonférence la base des tubes spiniformes.  
Fig. 9. La partie antérieure du tube grossie vue de côté, pour montrer le passage de la fissure entre les tubes qui semblent s'embrasser, et qui se croisent.  
Fig. 10. La partie antérieure du tube entièrement vidée, et laissant apercevoir la fissure du disque bordée d'une lèvre saillante en dedans.  
Fig. 11. Deux tubes spiniformes détachés du disque, et préservés dans l'intérieur d'une coquille.  
Fig. 12. Valve intérieure, libre, entièrement dégagée du tube ; elle est grossie, et montre sa surface extérieure divisée en deux régions distinctes, dont l'antérieure est très finement striée.  
Fig. 13. La même valve vue en dedans.  
Fig. 14. Portion plus grossie de la surface extérieure pour en faire mieux comprendre la structure et les caractères.  
Fig. 15. Grandeur naturelle de la valve libre.

#### **Clavagella cristata** Lamk.

- Fig. 16. Individu entier, tel qu'il est placé dans la valve droite d'un *Crassatella tumida*. On aperçoit deux des crêtes qui partagent la surface du tube.  
Fig. 17. Le même individu supposé détaché, et vu du côté ventral pour montrer les trois crêtes qui partagent le tube.  
Fig. 18. Valve intérieure libre montrant la surface extérieure, et les stries fines dont elle est ornée.  
Fig. 19. La même valve vue en dedans.  
Fig. 20. Grandeur naturelle de cette valve.

## PLANCHE II.

**Clavagella echinata** Lamk.

- Fig. 1. Individu de grandeur naturelle, entièrement détaché, vu du côté gauche, et montrant la valve incluse dans le tube.  
 Fig. 2. Le même individu, vu du côté droit, hérissé de tubes spiniformes irrégulièrement distribués.  
 Fig. 3. La valve gauche grossie pour faire voir les stries écailleuses dont elle est couverte.

**Clavagella lagenalis** Desh.

- Fig. 4. Exemple, de grandeur naturelle, montrant du côté gauche la valve incluse.  
 Fig. 5. Le même vu à droite, où l'on remarque les petites crêtes tubuleuses irrégulières.  
 On remarque dans ces deux figures la dépression latérale qui partage le canal terminal.  
 Fig. 6. Valve gauche supposée détachée, grossie, et montrant ses stries écailleuses.

**Clavagella Lamarekii** Desh.

- Fig. 7. Valve droite grossie, vue en dessus.  
 Fig. 8. La même vue en dedans.  
 Fig. 9. Valve gauche vue en dedans. Quoique faisant partie de la paroi générale du tube, le bord de cette valve est un peu saillant en dedans pour se joindre plus complètement avec celui de la valve opposée. Il faut comparer ces figures à celles des autres espèces, pour voir combien l'espèce diffère par la position et la forme des muscles et de l'impression palléale.  
 Fig. 10. Grandeur naturelle.

**Fistulana angusta** Desh.

- Fig. 11. Portion du tube, de grandeur naturelle, contenant la coquille, fig. 17-19, pl. 4, du premier ouvrage.

**Gastrochœna coaretata** Desh.

- Fig. 12. Valve gauche grossie, vue en dessus.  
 Fig. 13. La même vue en dedans.  
 Fig. 14. Grandeur naturelle.

**Gastrochœna Defranci** Desh.

- Fig. 15. Valve gauche grossie, vue en dessus.  
 Fig. 16. La même vue en dedans.  
 Fig. 17. Grandeur naturelle.  
 Fig. 18. Les deux valves réunies vues du côté antérieur, non-seulement pour montrer la grandeur de l'ouverture, mais encore l'écartement que laisse entre les valves l'extrémité antérieure du bord dorsal.

**Gastrochœna bipartita** Watelet.

- Fig. 19. Valve droite vue en dessus ; on y remarque le sillon oblique qui la partage.  
 Fig. 20. La même valve vue en dedans.  
 Fig. 21. Grandeur naturelle.

**Gastrochœna Rauliniana**.

- Fig. 22. Valve droite grossie, vue en dessus.  
 Fig. 23. La même vue en dedans.  
 Fig. 24. Grandeur naturelle.

**Gastrochœna ampullaria** Lamk.

- Fig. 25. Portion terminale du tube grossie, encore attachée à un fragment de coquille.  
 Fig. 26. La même portion vue en dedans pour montrer les deux crêtes intérieures qui divisent l'ouverture.

**Teredo simplex** Desh.

- Fig. 27. Le tube entier de grandeur naturelle.

**Teredo angusta** Desh.

- Fig. 28. Fragment de l'extrémité postérieure du tube, de grandeur naturelle.
-

## PLANCHE III.

***Teredo Parisiensis*** Desh.

- Fig. 1. Fragment de grandeur naturelle d'une agglomération de tubes de ce Taret. Ils étaient contenus dans un morceau de bois qui a disparu, mais dont l'empreinte se voit aussi bien sur les tubes que sur la pierre qui les soutient.
- Fig. 2. Palette à éléments infundibuliformes, très grossie, vue de côté, et trouvée dans l'un des tubes de la figure précédente.
- Fig. 3. La même palette vue de face.
- Fig. 4. Grandeur naturelle.

***Teredo vermicularis*** Desh.

- Fig. 5. Agglomération de tubes contenus dans un grès d'Auvers.
- Fig. 6. Tube entier et détaché de grandeur naturelle.

***Teredo cincta*** Desh.

- Fig. 7. Valve très grossie vue en dedans.
- Fig. 8. La même vue en dehors et montrant les divers systèmes de stries dont elle est ornée.
- Fig. 9. Grandeur naturelle.

***Teredina personata*** Lamk.

- Fig. 10. Extrémité antérieure d'un individu vu du côté dorsal; l'écusson détaché a laissé son extrémité antérieure, dont les deux surfaces ont laissé entre elles un intervalle assez considérable.
- Fig. 11. Individu entier et de grandeur naturelle.
- Fig. 12. Extrémité antérieure vue du côté des crochets, ceux-ci recouverts par l'écusson.
- Fig. 13. La même extrémité d'un autre exemplaire vue en avant. De ce côté se montre le bouclier qui ferme l'intervalle qui sépare les deux valves, et au centre duquel se remarque une lente déprimée, de chaque côté de laquelle il existe des stries d'accroissement concentriques.
- Fig. 14. La coquille coupée en deux transversalement et laissant voir à l'intérieur les deux euillerons semblables à ceux des Tarets.
- Fig. 15. L'extrémité antérieure de la coquille vue de face. Au moyen de cette projection, on voit la protubérance des crochets, le point d'attache de l'écusson et la forme du bord supérieur du bouclier.
- Fig. 16. Une petite portion grossie des stries de la surface antérieure de la coquille.
- Fig. 17, 18. Ces deux figures représentent les deux variétés principales des crêtes multipliées qui existent à l'extrémité postérieure du tube.
- Fig. 19. Exemple d'une terminaison anormale du tube par deux ouvertures presque égales.
- Fig. 20. Déformation accidentelle du tube, à la suite de laquelle sa cavité intérieure a été réduite à une simple fente très étroite.
- Fig. 21. Coupe transversale d'un très vieux individu; les couches de remplissage sont très multipliées, et la cavité réservée à l'animal réduite à un diamètre d'une petitesse extraordinaire.

## PLANCHE IV.

**Teredina personata Lamk.**

Fig. 1. Coquille de la Térédine grossie trois fois, vue du côté dorsal pour en montrer les diverses parties. — *a*. Portion antérieure et supérieure de la cuirasse. — *b, b*. Région antérieure de la coquille, nettement séparée par une ligne oblique à partir de laquelle les stries ont une direction différente. — *c, c*. Région ventrale ou médiane de la coquille, séparée de celle qui est au-dessous par un sillon assez profond. — *d, d*. Région postérieure de la coquille, sur laquelle les stries ont une direction longitudinale. C'est par le bord postérieur de cette partie que les valves se soudent au tube; l'intervalle qu'elles laissent entre elles dans la région dorsale est rempli par une portion saillante, conique, du tube, qui se glisse au-dessous de l'écusson et remonte entre les crochets. — *e*. L'écusson, dont la paroi supérieure a été détachée, et montrant sa cavité intérieure. — *f*. Le point d'attache de l'écusson dans l'écartement de l'extrémité supérieure des valves. — *g, g*. Épaisseur de l'écusson au point de jonction de ses deux parois. — *h*. Fente en partie obstruée par laquelle sortait l'organe sécréteur de l'écusson.

Fig. 2. Portion très grossie de la région antérieure *b* de la coquille, montrant la structure des stries.

Fig. 3. Section transverse de la coquille dans la région des crochets. Cette figure, très grossie, est destinée à faire comprendre comment les valves ont été soudées entre elles au moyen de nombreuses couches sécrétées à l'intérieur par l'animal.

Fig. 4. Section longitudinale faite jusqu'au centre du point d'attache de l'écusson. Cette pièce montre une partie de la fente par laquelle sortait l'organe sécréteur de l'écusson, et la manière dont elle a été successivement remplie par la sécrétion des lames intérieures qui ont épaissi le tube.

Fig. 5. Face inférieure de l'écusson, la crête médiane et la dépression transverse le divisant en quatre lobes assez souvent irréguliers. — *a*. Est le point rompu par lequel il se soude à la coquille par continuité de substance. — *b*. Est la fente par laquelle l'organe sécréteur pénétrait dans la cavité intérieure.

Fig. 6. Section longitudinale de l'écusson au moyen de laquelle on voit non-seulement le mode de remplissage de cette pièce, mais encore une partie de sa cavité intérieure.

Fig. 7. Section de l'extrémité postérieure d'un tube très épais, à l'aide de laquelle on distingue l'intercalation des lames cornées et calcaires à mesure de l'accroissement.

Fig. 8. Autre section de l'extrémité postérieure d'un autre tube, dans laquelle se montre aussi l'intercalation normale des lames cornées et calcaires.

Ces deux préparations démontrent de la manière la plus invincible que l'épaississement du tube est dû à une sécrétion normale de l'animal, et non à des infiltrations accidentelles produites après l'enfouissement et la fossilisation.

Fig. 9. Extrémité antérieure du tube et de la coquille d'un individu très vieux, section longitudinale qui sert à constater l'énorme épaisseur que l'animal a donnée aux diverses parties de son enveloppe calcaire. — *a*. Le crochet de la valve droite; la section s'est faite entre lui et le crochet de la valve gauche. — *b*. Indique le point où se trouvait un canal de communication entre la coquille et l'écusson, longtemps avant qu'elle devint aussi épaisse qu'elle l'est actuellement. Ce canal a d'abord été fermé par une sorte de bouchon devant lequel sont venues se placer les nombreuses lames sécrétées à l'intérieur du tube, comme on le voit en *c*. — *d*. Cavité intérieure du tube et de la coquille. Cette lettre indique aussi le point de jonction de la coquille avec le tube, ce qui n'est manifesté par aucun accident particulier. On voit que le côté ventral de la paroi du tube est de moitié moins épais que le côté dorsal. Cette disposition se montre fréquemment. Ce n'est pas à dire que les accroissements ont été plus nombreux d'un côté que de l'autre: on compte partout le même nombre de lames; seulement elles sont plus épaisses du côté dorsal que du côté ventral.

Fig. 10, 11. Individu monstrueux de grandeur naturelle représenté au trait, dans lequel l'accroissement s'est fait dans le tube, et la coquille est restée relativement très petite.

**Teredina? Heberti Desh.**

Fig. 12. Moule de la coquille et de son tube, de grandeur naturelle, vue de profil.

Fig. 13. Extrémité antérieure vue en dessus.

Fig. 14. Extrémité antérieure vue en avant.

## PLANCHE V.

**Teredina Owent** Desh.

- Fig. 1. Individu grossi du double vu du côté postérieur.  
 Fig. 2. Le même vu du côté droit.  
 Fig. 3. Extrémité postérieure du tube, montrant à l'intérieur les crêtes saillantes dont il est garni.  
 Fig. 4. Grandeur naturelle.

**Pholas tripartita** Desh.

- Fig. 5. Valve droite grossie vue en dedans.  
 Fig. 6. La même valve vue à l'extérieur et montrant les trois régions qui en partagent la surface.  
 Fig. 7. Grandeur naturelle.

**Pholas Xylophagina** Desh.

- Fig. 8. Valve gauche grossie vue en dedans, montrant les deux côtes saillantes et divergentes qui parcourent sa surface.  
 Fig. 9. La même valve vue en dessus.  
 Fig. 10. Grandeur naturelle.

**Pholas elegans** Desh.

- Fig. 11. Individu complet grossi, montrant le côté inférieur.  
 Fig. 12. Le même vu du côté dorsal et portant son écusson.  
 Fig. 13. Valve droite vue en dedans.  
 Fig. 14. Individu vu de côté.  
 Fig. 15. Grandeur naturelle.

**Poromya antiqua** Desh.

- Fig. 16. Valve gauche grossie trois fois, vue en dedans, et charnière de la valve droite.  
 Fig. 17. Coquille vue en dessus.  
 Fig. 18. Grandeur naturelle.

**Thracia Prestwichii** Desh.

- Fig. 19. Valve gauche de grandeur naturelle, montrant la charnière.  
 Fig. 20. La même valve vue en dessus.

**Thracia Edwardsi** Desh.

- Fig. 21. Valve gauche vue en dedans, et charnière de la valve opposée.  
 Fig. 22. La même valve en dessus.  
 Fig. 23. Les valves réunies vues de profil.
-

## PLANCHE VI.

**Pholas affinis** Desh.

Fig. 1. Valve gauche grossie vue en des-us.

Fig. 2. La même vue en dedans.

Fig. 3. L'écusson détaché vu en dedans. On remarque dans le milieu une échancrure dans laquelle s'engagent les appendices des erochets au moyen desquels l'écusson est attaché sur le dos de la coquille.

Fig. 4. Grandeur naturelle.

**Pholas scutata** Desh.

Fig. 5. Coquille parfaitement entière, grossie, contenue dans une partie de tube sécrété par l'animal.

Fig. 6. Grandeur naturelle.

**Pholas proxima** Desh.

Fig. 7. Valve droite grossie vue en dessus.

Fig. 8. La même vue en dedans.

Fig. 9. Grandeur naturelle.

**Pholas Levesquei** Watelet.

Fig. 10. Valve gauche de grandeur naturelle vue en dessus.

Fig. 11. La même vue de profil, du côté du dos.

Fig. 12. La même présentant l'intérieur.

**Siliqua Lamarekii** Desh.

Fig. 13. Valve droite grossie, vue en dessus.

Fig. 14. La même vue en dedans.

Fig. 15. Grandeur naturelle.

**Siliqua angusta** Desh.

Fig. 16. Valve droite grossie vue en dessus.

Fig. 17. La même montrant l'intérieur.

Fig. 18. Grandeur naturelle.

**Panopæa Remensis** Desh.

Fig. 19. Valve droite de grandeur naturelle vue en dessus.

Fig. 20. La même vue en dedans.

**Panopæa Heberti** Bosquet.

Fig. 21. Variété de grandeur naturelle vue en dessus.

---

## PLANCHE VII.

**Solen obliquus** Sow.

- Fig. 1. Valve droite de grandeur naturelle, en dessus.  
Fig. 2. Portion de la même valve montrant la charnière, l'impression musculaire antérieure, la partie antérieure de l'impression palléale, ainsi que les divers épaissements qui accompagnent l'impression musculaire.  
Fig. 3. Valve gauche entière vue en dedans.

**Solen angustus** Desh.

- Fig. 4. Coquille de grandeur naturelle, valve droite en dessus.  
Fig. 5. La même vue en dedans.  
Fig. 6. Valve gauche vue en dedans.

**Solen proximus** Desh.

- Fig. 7. Valve droite de grandeur naturelle.  
Fig. 8. Extrémité antérieure de la même valve montrant la charnière, l'impression musculaire et le commencement de l'impression palléale.  
Fig. 9. Valve gauche vue en dedans.

**Solen gracilis** Sow.

- Fig. 10. Individu de grandeur naturelle, valve droite vue en dessus.  
Fig. 11. La même valve vue en dedans.  
Fig. 12. Valve gauche montrant l'intérieur.

**Cultellus Grignonensis** Desh.

- Fig. 13. Valve droite de grandeur naturelle vue en dessus.  
Fig. 14. La même vue en dedans.  
Fig. 15. Fragment grossi pour montrer la charnière.

**Solemya Cuvieri** Desh.

- Fig. 16. Individu entier de grandeur naturelle.  
Fig. 17. Fragment grossi montrant la charnière.
-

## PLANCHE VIII.

**Panopæa Watcleti** Desh.

Fig. 1. Valve droite de grandeur naturelle en dessus.

Fig. 2. Valve gauche vue en dedans.

**Panopæa margaritacea** Valenc.

Fig. 3 et 4. Les deux valves d'un même individu de grandeur naturelle vues en dedans.

Fig. 5. Valve droite, d'une variété plus élargie, vue en dessus.

Fig. 6. Les deux valves réunies vues du côté dorsal, pour montrer l'énorme bâillement postérieur.

**Panopæa minor** Desh.

Fig. 7. Valve gauche grossie vue en dessus.

Fig. 8. La même vue en dedans.

Fig. 9. Grandeur naturelle.

**Panopæa intermedia** Sow.

Fig. 10. Valve droite de grandeur naturelle vue en dessus; à côté une portion grossie de la surface pour en faire voir les granulations.

Fig. 11. Valve gauche vue en dedans.

**Panopæa Heberti** Desh.

Fig. 12. Individu de grandeur naturelle vue en dessus. Valve gauche.

---

## PLANCHE IX.

**Pholadomya Indensis** Desh.

- Fig. 1. Moule intérieur d'un grand individu entier, sur lequel on distingue très nettement les impressions musculaires et du manteau.  
 Fig. 2. Le même exemplaire montrant la région dorsale ou supérieure.  
 Fig. 3. Petite variété à côtes plus nombreuses ayant des plis transverses, montrant la valve droite.  
 Fig. 4. La même vue du côté des crochets.  
 Fig. 5. Impression très nette d'une portion d'une valve droite.

**Pholadomya cuneata** Sow.

- Fig. 6. Individu de grandeur naturelle du côté droit.  
 Fig. 7. Le même montrant la région dorsale et les impressions musculaires postérieures.  
 Fig. 8. Vue de la face antérieure de la coquille, pour montrer l'écartement des valves et leur mode d'accroissement.

**Pholadomya virgulosa?** Sow.

- Fig. 9. Individu entier de grandeur naturelle, montrant la région dorsale.  
 Fig. 10. Le même du côté droit.

**Pholadomya Dixoni** Sow.

- Fig. 11. Individu entier de grandeur naturelle du côté droit.  
 Fig. 12. Le même montrant la région dorsale ou supérieure.

**Pholadomya Kouinckii** Nyst.

- Fig. 13. Individu entier de grandeur naturelle, montrant la région dorsale.  
 Fig. 14. Le même vu du côté droit.

**Lyonsia plicata** Desh.

- Fig. 15. Valve droite de grandeur naturelle, vue en dessus.  
 Fig. 16. Valve gauche vue en dedans.

## PLANCHE X.

**Clavagella echinata** Lamk. (*Varietas.*)

Fig. 1. Coquille et une partie de son tube de grandeur naturelle.

Fig. 2 et 3. Charnière un peu grossie de chaque valve.

**Pholas Dutemplei** Desh.

Fig. 4. Valve droite très grossie, vue en dedans.

Fig. 5. La même vue en dessus.

Fig. 6. Grandeur naturelle.

**Passya Chevalieri** Desh.

Fig. 7 et 8. Les deux valves très grossies, vues en dedans.

Fig. 9. Les valves du même individu réunies pour montrer les trois bâillements qui restent entre elles, lorsqu'elles sont fermées : un en avant, l'autre en arrière, le troisième dorsal.

Fig. 10. Valve droite vue en dessus.

Fig. 11. Grandeur naturelle.

**Verticordia ? Parisiensis** Desh.

Fig. 12. Valve gauche très grossie, vue en dessus.

Fig. 13. La même valve vue en dedans, et charnière de la valve droite.

Fig. 14. Grandeur naturelle.

**Saxicava vera** Desh.

Fig. 15. Valve gauche très grandie, vue en dedans.

Fig. 16. La même vue en dessus.

Fig. 17. Grandeur naturelle.

**Saxicava Jeurensis** Desh.

Fig. 18. Valve droite très grossie, vue en dedans.

Fig. 19. La même vue en dessus.

Fig. 20. Grandeur naturelle.

**Sphenia angulata** Desh.

Fig. 21. Valve droite grossie, vue en dedans.

Fig. 22. La même vue en dessus.

Fig. 23. Grandeur naturelle.

**Sphenia truncata** Desh.

Fig. 24. Valve droite grossie, vue en dedans.

Fig. 25. La même vue en dessus.

Fig. 26. Grandeur naturelle.

**Sphenia fabagella** Desh.

Fig. 27. Valve gauche grossie, vue en dedans.

Fig. 28. La même vue en dessus.

Fig. 29. Grandeur naturelle.

**Sphenia Baudouin** Desh.

Fig. 30. Valve droite grossie, vue en dedans.

Fig. 31. La même vue en dessus.

Fig. 32. Grandeur naturelle.

## PLANCHE XI.

**Sphenia Passyana** Desh.

- Fig. 1. Valve gauche grossie deux fois, vue en dessus.  
 Fig. 2. La même montrant l'intérieur. Très voisine de l'espèce suivante, on remarque dans celle-ci une différence notable dans la forme de l'impression du manteau.  
 Fig. 3. La portion cardinale de la valve gauche vue en arrière pour montrer de face le cuilleron du ligament.  
 Fig. 4. Portion cardinale de la valve droite montrant la partie interne du bord où se trouve la cavité destinée au ligament.  
 Fig. 5. Grandeur naturelle.

**Sphenia myalis** Desh.

- Fig. 6. Valve droite, grossie du double, vue en dessus.  
 Fig. 7. La même vue en dedans.  
 Fig. 8. Portion du bord cardinal de cette valve montrant la fossette du ligament.  
 Fig. 9. Le bord cardinal de la valve gauche surmonté du cuilleron.  
 Fig. 10. Grandeur naturelle.

**Sphenia fragilis** Desh.

- Fig. 11. Valve droite, grossie trois fois, vue en dessus.  
 Fig. 12. La même montrant l'intérieur.  
 Fig. 13. Grandeur naturelle.

**Sphenia donaciformis** Desh.

- Fig. 14. Valve gauche, grossie trois fois, vue en dessus.  
 Fig. 15. La même vue en dedans.  
 Fig. 16. Le cuilleron de la valve gauche vu de face.  
 Fig. 17. Coquille de grandeur naturelle.

**Sphenia Terquemii** Desh.

- Fig. 18. Valve droite, grossie trois fois, vue en dessus.  
 Fig. 19. Valve gauche vue en dedans.  
 Fig. 20. La charnière grossie dans les deux valves.  
 Fig. 21. Grandeur naturelle.

**Sphenia pellucida** Desh.

- Fig. 22. Valve droite, grossie six fois, vue en dedans.  
 Fig. 23. Grandeur naturelle.

**Sphenia anatinoides** Desh.

- Fig. 24. Valve droite, grossie quatre fois, vue en dedans.  
 Fig. 25. La même vue en dessus.  
 Fig. 26. Bord cardinal de la même valve montrant la cavité du ligament.  
 Fig. 27. Coquille de grandeur naturelle.

**Sphenia tenera** Desh.

- Fig. 28. Valve droite, grossie six fois, vue en dessus.  
 Fig. 29. La même vue en dedans.  
 Fig. 30. Charnière de la valve droite.  
 Fig. 31. Grandeur naturelle.

**Sphenia rugosula** Desh.

- Fig. 32. Valve gauche, grossie six fois, vue en dessus.  
 Fig. 33. La même vue en dedans.  
 Fig. 34. Grandeur naturelle.

**Sphenia eumciformis** Desh.

- Fig. 35. Valve droite, grossie deux fois, vue en dedans.  
 Fig. 36. Valve gauche au même grossissement vue en dedans.  
 Fig. 37. Valve gauche vue en dessus.  
 Fig. 38. Grandeur naturelle.
-

## PLANCHE XII.

**Corbula obliquata** Desh.

- Fig. 1. Valve droite, grossie quatre fois, vue en dessus.  
 Fig. 2. Valve gauche, au même grossissement, vue en dedans.  
 Fig. 3. Valve gauche vue en dessus.  
 Fig. 4. Valve droite vue en dedans.  
 Fig. 5, 6. Grandeur naturelle des deux valves.

**Corbula Regubbiensis** Morris.

- Fig. 7. Valve droite, grandie cinq fois, vue en dessus.  
 Fig. 8. La même montrant l'intérieur.  
 Fig. 9. Valve gauche vue en dessus.  
 Fig. 10. La même vue en dedans.  
 Fig. 11. Valves réunies de grandeur naturelle.

**Corbula striatina** Desh.

- Fig. 12. Valve droite, grossie trois fois, vue en dessus.

N. B. Par inadvertance, le dessinateur ayant oublié de copier au miroir cette figure et la figure 14, il en résulte que la valve droite semble la gauche et la gauche la droite; la même erreur n'a pas été commise pour les figures 13 et 15.

- Fig. 13. La même valve montrant l'intérieur.  
 Fig. 14. Valve gauche en dessus.  
 Fig. 15. La même vue en dedans.  
 Fig. 16. Les valves réunies au trait du côté supérieur ou dorsal.  
 Fig. 17. Grandeur naturelle.

**Corbula pixidifera** Desh.

- Fig. 18. Valve droite grossie trois fois.  
 Fig. 19. La même en dedans.  
 Fig. 20. Valve gauche en dessus.  
 Fig. 21. La même en dedans.  
 Fig. 22. Les valves réunies au trait, du côté supérieur ou dorsal.  
 Fig. 23. Coquille de grandeur naturelle.

**Corbula subpisum** d'Orb.

- Fig. 24. Valve droite, grossie trois fois, vue en dessus.  
 Fig. 25. La même vue en dedans.  
 Fig. 26. Valve gauche en dessus.  
 Fig. 27. La même valve vue en dedans.  
 Fig. 28. Les valves réunies au trait de grandeur naturelle.

**Corbula costata** Sow.

- Fig. 29. Valve droite, grossie quatre fois, montrant la surface extérieure.  
 Fig. 30. La même vue en dedans.  
 Fig. 31. Valve gauche au même grossissement en dessus.  
 Fig. 32. La même vue à l'intérieur.  
 Fig. 33. Individu complet au trait vu du côté dorsal ou supérieur.
-

## PLANCHE XIII.

**Corbula Regnibiensis** Morris.

Variété sans bec.

- Fig. 1. Valve droite, grossie quatre fois, vue en dedans.  
 Fig. 3. La même montrant le dessus.  
 Fig. 2. Valve gauche en dedans.  
 Fig. 4. La même en dessus.  
 Fig. 5. Grandeur naturelle.

**Corbula ventricosa** Desh.

- Fig. 6. Valve droite, grossie trois fois, vue en dedans.  
 Fig. 7. La même vue en dessus.  
 Fig. 8. Coquille de grandeur naturelle.

**Corbula tumida** Desh.

- Fig. 9. Valve droite, grossie quatre fois, vue en dessus.  
 Fig. 11. La même vue en dedans.  
 Fig. 10. Valve gauche montrant l'intérieur.  
 Fig. 12. La même vue en dessus.  
 Fig. 13. Coquille de grandeur naturelle.

**Corbula muricina** Levesque. Mss.

- Fig. 14. Valve gauche, grossie huit fois, vue en dessus.  
 Fig. 15. Valve droite au même grossissement, vue en dessus.  
 Fig. 16, 17. Les deux valves vues en dedans.  
 Fig. 18. Grandeur naturelle.

**Corbula biangula** Desh.

- Fig. 19. Valve droite, grossie cinq fois, vue en dedans.  
 Fig. 20. Valve gauche au même grossissement, montrant l'intérieur.  
 Fig. 21, 22. Les deux valves vues en dessus.  
 Fig. 23. Coquille de grandeur naturelle.

**Corbula Pullus** Desh.

- Fig. 24. Valve droite, grossie cinq fois, montrant l'intérieur.  
 Fig. 25. Valve gauche vue en dedans.  
 Fig. 26. La même vue en dessus.  
 Fig. 27. Grandeur naturelle.

**Corbulomya triangula** Nyst.

- Fig. 28. Valve droite, grossie cinq fois, montrant le dedans.  
 Fig. 29. Valve gauche vue en dedans.  
 Fig. 30. Valve droite vue en dessus.  
 Fig. 31. Grandeur naturelle d'après un petit individu.

**Corbulomya Semen** Desh.

- Fig. 32. Valve gauche, grossie cinq fois, offrant la surface extérieure.  
 Fig. 33. Valve droite montrant l'intérieur.  
 Fig. 34. Valve gauche vue en dedans.  
 Fig. 35. Grandeur naturelle.
-

## PLANCHE XIV.

**Corbula Galleula** Desh.

- Fig. 1. Valve droite de grandeur naturelle en dedans.  
 Fig. 2. Valve gauche du même individu vue en dedans.  
 Fig. 3. La partie postérieure de la valve gauche vue de manière à montrer la grandeur de la dent cardinale.  
 Fig. 4. Valve gauche vue en dessus.  
 Fig. 5. Valve droite vue en dessus.  
 Fig. 6. Les valves réunies du côté des crochets.

**Corbula Henkeliusiana** Nyst.

- Fig. 7. Valve droite, grossie du tiers montrant l'intérieur.  
 Fig. 8. Valve gauche grossie de même vue en dedans.  
 Fig. 9. Valve gauche en dessus.  
 Fig. 10. Valve droite vue à l'extérieur.  
 Fig. 11. Coquille entière au trait montrant le bord dorsal.

**Corbula spectabilis** Desh.

- Fig. 12. Valve droite, grossie deux fois, vue en dedans.  
 Fig. 13. La même en dessus.  
 Fig. 14. Grandeur naturelle.

**Corbula oblonga** Desh.

- Fig. 15. Valve droite, grossie trois fois, offrant la face intérieure.  
 Fig. 16. La même valve vue en dessus.  
 Fig. 17. Grandeur naturelle.  
 Fig. 18. Valve gauche en dedans.  
 Fig. 19. La même vue en dessus.

**Corbula Arnouldi** Nyst.

- Fig. 20. Valve droite, grossie trois fois, vue en dedans.  
 Fig. 21. La même en dessus.  
 Fig. 22. Coquille de grandeur naturelle.  
 Fig. 23. Valve gauche, grossie trois fois, montrant l'intérieur.  
 Fig. 24. La même vue en dessus; elle est placée sur la valve droite de manière à montrer la grande disproportion entre les deux valves.

**Corbula deleta** Desh.

- Fig. 25. Valve droite, grossie trois fois, montrant le dedans.  
 Fig. 26. La même vue en dessus.  
 Fig. 27. Grandeur naturelle.  
 Var.  $\beta$ , Fig. 30. Valve droite en dedans.  
 Fig. 31. La même en dessus.

**Corbula minima** Desh.

- Fig. 28. Valve droite, grossie cinq fois, vue en dedans.  
 Fig. 29. La même vue en dessus.  
 Fig. 32. Valve gauche vue en dedans.  
 Fig. 33. Individu entier.  
 Fig. 34. Grandeur naturelle.

## PLANCHE XV.

**Clavagella primigenia** Desh.

Fig. 1. Moule du tube de grandeur naturelle montrant la valve gauche, celle qui fait partie de la paroi.

Fig. 2. Côté droit du tube : on y aperçoit les fissures qui ont partagé cette paroi.

**Thracia Bazini** Desh.

Fig. 3. Valve gauche vue en dessus de grandeur naturelle. Cette valve étant fixée sur un morceau de marne, nous n'aurions pu la détacher sans la détruire, nous n'avons pu en représenter l'intérieur et la charnière.

**Neera Wateletti** Desh.

Fig. 4. Valve gauche, grossie dix fois, vue en dessus.

Fig. 5. La même montrant l'intérieur.

Fig. 6. Grandeur naturelle.

**Neera Victorica** Mellev.

Fig. 7. Coquille grossie du double, vue en dessus.

Fig. 8. Valve gauche montrant l'intérieur.

Fig. 9. Charnière de la valve droite.

Fig. 10. Les deux valves réunies vues du côté des crochets.

Fig. 11. Grandeur naturelle.

**Solenomya angusta** Desh.

Fig. 12. Valve droite, grossie six fois, vue en dessus.

Fig. 13. La même montrant l'intérieur.

Fig. 14. Grandeur naturelle.

**Solenomya Blainvilliei** Desh.

Fig. 15. Valve gauche, grossie cinq fois, montrant le dessus.

Fig. 16. La même offrant l'intérieur.

Fig. 17. Grandeur naturelle.

N. B. Les figures de ces deux espèces n'ont pas été représentées dans la même position que les autres; elles doivent être renversées : le plus petit côté est le postérieur, il devrait être dirigé vers le bas de la planche.

**Poromya ambigua** Desh.

Fig. 18. Valve droite, grandie cinq fois, vue en dedans.

Fig. 19. La même montrant la surface extérieure.

Fig. 20. Portion très grossie de cette surface pour faire voir les granulations dont elle est chargée.

Fig. 21. Grandeur naturelle.

**Corbula pisum** Sow.

Fig. 22. Coquille entière, grossie cinq fois, vue en dessus.

Fig. 23. Valve droite présentant l'intérieur.

Fig. 24. Charnière de la valve gauche.

Fig. 25. Grandeur naturelle.

**Poromya irregularis** Desh.

Fig. 26. Valve gauche, grandie sept fois, vue en dedans.

Fig. 27. Valve droite également en dedans.

Fig. 28. Valve droite vue en dessus.

Fig. 29. Portion grossie de la surface extérieure.

Fig. 30. Grandeur naturelle.

**Poromya rotundata** Desh.

Fig. 31. Valve droite, grossie neuf fois, vue en dessus.

Fig. 32. La même vue en dedans.

Fig. 33. Grandeur naturelle.

## PLANCHE XVI.

**Syndosmya Raulini** Desh.

- Fig. 1. Valve droite, grossie trois fois, vue en dedans.  
 Fig. 2. Valve gauche, au même grossissement, vue en dessus.  
 Fig. 3. Charnière de la valve droite très grossie pour montrer la fossette oblique du ligament.  
 Fig. 4. Grandeur naturelle.

**Syndosmya Lamberti** Desh.

- Fig. 5. Valve gauche, grossie trois fois, montrant l'intérieur.  
 Fig. 6. La même en dessus.  
 Fig. 7. Charnière très grossie.  
 Fig. 8. Grandeur naturelle.

**Syndosmya depressa** Desh.

- Fig. 9. Valve droite, grossie cinq fois, vue en dedans.  
 Fig. 10. Valve gauche vue en dessus.  
 Fig. 11. Charnière grossie.  
 Fig. 12. Grandeur naturelle.

**Syndosmya Recluzii** Desh.

- Fig. 13. Valve droite, grossie sept fois, montrant le dedans.  
 Fig. 14. Valve gauche, au même grossissement, vue en dessus.  
 Fig. 15. Grandeur naturelle.

**Syndosmya obtusa** Desh.

- Fig. 16. Valve droite, grossie six fois, vue en dedans.  
 Fig. 17. Valve gauche en dessus.  
 Fig. 18. Charnière grossie.  
 Fig. 19. Grandeur naturelle.

**Syndosmya pellicula** Desh.

- Fig. 20. Valve droite, grossie six fois, vue en dedans.  
 Fig. 21. Valve gauche en dessus.  
 Fig. 22. Charnière très grossie.  
 Fig. 23. Grandeur naturelle.

**Syndosmya brevis** Desh.

- Fig. 24. Valve droite, grossie six fois, montrant l'intérieur.  
 Fig. 25. Valve gauche vue en dessus.  
 Fig. 26. Charnière de la valve gauche.  
 Fig. 27. Grandeur naturelle.

**Syndosmya Sandbergeri** Desh.

- Fig. 28. Valve gauche, grossie six fois, vue en dedans.  
 Fig. 29. La même vue en dessus.  
 Fig. 30. Grandeur naturelle.
-

## PLANCHE XVII.

**Gastrochœna Spengleri** Desh.

- Fig. 1. Valve droite grossie deux fois, vue en dehors.  
 Fig. 2. Les valves réunies, montrant le bâillement antérieur de la coquille.  
 Fig. 3. Valve gauche, vue en dessus.  
 Fig. 4. Grandeur naturelle.  
 Fig. 5. Portion très grossie de la surface antérieure.

**Pandora dilatata** Desh.

- Fig. 6. Valve droite grossie du double, vue en dedans.  
 Fig. 7. Charnière grossie.  
 Fig. 8. La même valve, en dedans.  
 Fig. 9. Grandeur naturelle.

**Cardilla Michellii** Desh.

- Fig. 10. Valve gauche grossie deux fois, montrant la charnière et l'intérieur.  
 Fig. 11. Valve droite, vue en dedans.  
 Fig. 12. Valve gauche, vue en dessus.  
 Fig. 13. La même valve, vue en arrière, pour montrer les sillons qu'elle porte de ce côté.  
 Fig. 14. Grandeur naturelle.

**Ostcodesma Heberti** Desh.

- Fig. 15. Valve droite grossie trois fois, vue en dedans.  
 Fig. 16. Valve gauche, également vue en dedans.  
 Fig. 17. Valve gauche, vue en dessus.  
 Fig. 18. Les valves rapprochées, de manière à montrer la forme des cuillerons de la charnière, et la place que doit y occuper l'osselet caduc.  
 Fig. 19. Grandeur naturelle.

**Thracia Grignonensis** Desh.

- Fig. 20. Valve gauche un peu grossie, vue en dedans.  
 Fig. 21. Charnière grossie.  
 Fig. 22. Valve droite, vue en dessus.  
 Fig. 23. Grandeur naturelle.

**Thracia parvula** Desh.

- Fig. 24. Valve droite grossie deux fois, vue en dedans.  
 Fig. 25. La même, vue en dessus.  
 Fig. 26. Grandeur naturelle.

**Thracia Ludovica** Desh.

- Fig. 27. Valve gauche grossie du double, vue en dedans.  
 Fig. 28. La même, vue en dessus.  
 Fig. 29. Grandeur naturelle.

## PLANCHE XVIII.

**Maetra Succsoniensis** Watelet.

- Fig. 1. Valve gauche de grandeur naturelle, vue en dessus.  
 Fig. 2. La même, vue en dedans.  
 Fig. 3. La même, vue de profil du côté des crochets.  
 Fig. 4. Charnière grossie.

**Maetra Lamberti** Desh.

- Fig. 5. Valve gauche de grandeur naturelle, vue en dedans.  
 Fig. 6. La même, vue en dessus.  
 Fig. 7. Les valves réunies, montrant la région supérieure.  
 Fig. 8. Charnière grossie.

**Maetra Levesquei** Desh.

- Fig. 9. Valve gauche de grandeur naturelle, en dessus.  
 Fig. 10. Intérieur de la même valve.  
 Fig. 11. Valves réunies, vues en arrière et de profil.  
 Fig. 12. Charnière des deux valves grossie.

**Maetra contortula** Desh.

- Fig. 13. Valve gauche grossie du double, vue en dessus.  
 Fig. 14. Intérieur de la même valve.  
 Fig. 15. Charnière des deux valves grossie.  
 Fig. 16. Valves réunies, vues en arrière et de profil.  
 Fig. 17. Grandeur naturelle.  
 Fig. 18. Portion grossie du corselet.

**Maetra contradicta** Desh.

- Fig. 19. Valve gauche de grandeur naturelle, et charnière détachée de la valve droite.  
 Fig. 20. Valves réunies, vues en arrière.  
 Fig. 21. Surface extérieure de la valve gauche.

**Maetra recondita** Desh.

- Fig. 22. Valve gauche de grandeur naturelle en dessus.  
 Fig. 23. Intérieur de la même valve.  
 Fig. 24. Charnière grossie des deux valves.  
 Fig. 25. Valves réunies, vues en arrière et de profil.

**Crassatella plicatilis** Desh.

- Fig. 26. Intérieur de la valve gauche de grandeur naturelle.  
 Fig. 27. La même, vue en dessus.
-

## PLANCHE XIX.

**Panopæa Vaudini** Desh.

- Fig. 1. Valve gauche de grandeur naturelle, vue en dessus.  
 Fig. 2. La même montrant l'intérieur.  
 Fig. 3. Portion grossie de la surface extérieure du test.

**Lyonsia plicata** Desh.

- Fig. 4. Charnière de la valve droite.  
 Fig. 5. Portion de la valve gauche portant la charnière : ces deux figures sont un peu plus grandes que nature.

**Pholas Bandoni** Desh.

- Fig. 6. Individu complet montrant en dehors la valve droite; il est grossi trois fois.  
 Fig. 7. Grandeur naturelle.  
 Fig. 8. Intérieur d'une valve très jeune, grossi quatre fois.

**Siliqua Nystit** Desh.

- Fig. 9. Valve droite grossie deux fois, vue en dessus.  
 Fig. 10. La même, vue en dedans.  
 Fig. 11. Grandeur naturelle.

**Crassatella Bronni** Mérian.(Var. *SUBLEVIGATA*.)

- Fig. 12. Valve droite grossie six fois, vue en dessus.  
 Fig. 13. La même montrant l'intérieur.  
 Fig. 14. Grandeur naturelle.

*N. B.* Par inadvertance, le dessinateur a placé ces figures dans une position inverse, le côté antérieur se trouvant dirigé vers le bas de la planche.

(Var. *SULGATA*, type de l'espèce.)

- Fig. 17. Fragment de la valve droite, grossi en dessus.  
 Fig. 18. Le même montrant la charnière.  
 Fig. 19. Grandeur naturelle.

**Crassatella Salsensis?** d'Archi.

- Fig. 15. Valve gauche, de grandeur naturelle, vue en dessus.  
 Fig. 16. La même, vue en dedans.

**Crassatella Tallavignesi** Desh.

- Fig. 20. Individu complet vu du côté supérieur, pour montrer la grandeur proportionnelle de la lunule et du corselet.  
 Fig. 21 et 22. Les valves vues en dedans.

## PLANCHE XX.

**Crassatella Parisiensis** d'Orb.

- Fig. 1. Valve gauche de grandeur naturelle, vue en dedans.  
 Fig. 2. La même, vue en dessus.

**Crassatella Grignonensis** Desh.

- Fig. 3. Intérieur de la valve gauche de grandeur naturelle.  
 Fig. 4. La même, vue en dessus.  
 Fig. 5. Les deux valves réunies montrant la région dorsale.

**Crassatella curata** Desh.

- Fig. 6. Surface extérieure de la valve droite, de grandeur naturelle.  
 Fig. 7. Intérieur de la même valve.  
 Fig. 8. Les valves réunies, vues du côté du dos.

**Crassatella compressa** Lamk.

- Fig. 9. Valve droite de grandeur naturelle, vue en dessus.  
 Fig. 10. La même montrant l'intérieur.  
 Fig. 11. Profil de la région dorsale de la même valve.

**Crassatella sulcata** Sow.

- Fig. 12. Intérieur de la valve droite de grandeur naturelle.  
 Fig. 13. Valve gauche, en dessus.  
 Fig. 14. Les valves réunies, montrant la région dorsale.

**Crassatella donacialis** Desh.

- Fig. 15. Valve gauche de grandeur naturelle, vue en dedans.  
 Fig. 16. La même, en dessus.  
 Fig. 17. Les valves réunies, montrant la région dorsale.

**Crassatella propinqua** Watelet.

- Fig. 18. Intérieur de la valve gauche de grandeur naturelle.  
 Fig. 19. La même montrant la surface extérieure.

**Crassatella distincta** Desh.

- Fig. 20. Valve gauche de grandeur naturelle, vue en dedans.  
 Fig. 21. La même, vue en dessus.

**Crassatella Bronnii** Mérian.

- Fig. 22. Valve gauche grossie trois fois, vue en dedans.  
 Fig. 23. La même montrant le dessus.  
 Fig. 24. Grandeur naturelle.
-

## PLANCHE XXI.

**Tellina Verneuili** Desh.

- Fig. 1. Valve droite grossie deux fois, vue en dessus.  
 Fig. 2. La même montrant l'intérieur.  
 Fig. 3. Grandeur naturelle.

**Tellina semistriata** Desh.

- Fig. 4. Valve gauche grossie trois fois, vue en dessus.  
 Fig. 5. Intérieur de la même valve.  
 Fig. 6. Grandeur naturelle.

**Tellina minuta** Desh.

- Fig. 7. Valve droite grandie cinq fois, vue en dessus.  
 Fig. 8. La même montrant l'intérieur.  
 Fig. 9. Grandeur naturelle.

**Tellina nitida** Desh.

- Fig. 10. Valve droite grossie trois fois, vue en dessus.  
 Fig. 11. La même, vue en dedans.  
 Fig. 12. Grandeur naturelle.

**Tellina distans** Desh.

- Fig. 13. Valve gauche grossie trois fois, vue en dessus.  
 Fig. 14. Intérieur de la même valve.  
 Fig. 15. Grandeur naturelle.

**Tellina symmetrica** Desh.

- Fig. 16. Surface extérieure de la valve gauche grossie quatre fois.  
 Fig. 17. Intérieur de la même valve.  
 Fig. 18. Charnière de la valve droite.  
 Fig. 18<sup>a</sup>. Grandeur naturelle.

**Tellina minima** Desh.

- Fig. 19. Valve gauche grandie cinq fois, vue en dessus.  
 Fig. 20. La même, en dedans.

Sa grandeur naturelle a été oubliée; la coquille a 6 millimètres de longueur.

**Tellina nitidula** Desh.

- Fig. 21. Valve gauche de grandeur naturelle, vue en dessus.  
 Fig. 22. La même, vue en dedans.  
 Fig. 23. Charnière de la valve droite.

**Tellina transversa** Desh.

- Fig. 24. Valve gauche grandie deux fois, vue en dessus.  
 Fig. 25. La même, vue en dedans.  
 Fig. 26. Grandeur naturelle.

**Psammobia nitens** Desh.

- Fig. 27. Valve droite de grandeur naturelle, vue en dessus.  
 Fig. 28. La même montrant l'intérieur.

**Tellina ovalina** Desh.

- Fig. 29. Valve gauche grandie deux fois, vue en dessus.  
 Fig. 30. Intérieur de la valve droite.  
 Fig. 31. Charnière de la valve gauche.  
 Fig. 32. Grandeur naturelle.

**Tellina craticulata** Edw.

- Fig. 33. Valve droite de grandeur naturelle, vue en dessus.  
 Fig. 34. Intérieur de la même valve.

## PLANCHE XXII.

**Anisodonta complanatum** Desh

- Fig. 1. Valve droite grossie sept fois, vue en dedans.  
 Fig. 2. Intérieur de la valve gauche.  
 Fig. 3. Valve droite, vue en dessus.  
 Fig. 4. Grandeur naturelle.

**Corbulomya antiqua** Desh

- Fig. 5. Intérieur de la valve gauche grossie sept fois.  
 Fig. 6. La même valve, vue en dessus.  
 Fig. 7. Grandeur naturelle.

**Corbulomya Chevalieri** Desh.

- Fig. 8. Intérieur de la valve droite grossie cinq fois.  
 Fig. 9. Intérieur de la valve gauche.  
 Fig. 10. Valve gauche, vue en dessus.  
 Fig. 11. Grandeur naturelle.

**Psammobia Vaudini** Desh.

- Fig. 12. Valve droite grossie trois fois, montrant l'intérieur.  
 Fig. 13. La même valve, vue en dessus.  
 Fig. 14. Grandeur naturelle.

**Psammobia fragilis** Desh.

- Fig. 15. Intérieur de la valve droite, de grandeur naturelle.  
 Fig. 16. Valve gauche, vue en dessus.  
 Fig. 17. Charnière de la valve gauche.

**Tellina Brimonti** Desh.

- Fig. 18. Valve gauche grandie deux fois, vue en dedans.  
 Fig. 19. La même, vue en dessus.  
 Fig. 20. Charnière de la valve droite.  
 Fig. 21. Grandeur naturelle.

**Donax Foucardi** Desh.

- Fig. 22. Intérieur de la valve droite grossie deux fois.  
 Fig. 23. Valve gauche, vue en dessus.  
 Fig. 24. Charnière de la valve gauche.  
 Fig. 25. Grandeur naturelle.

**Fragilia? Laudunensis** Desh.

- Fig. 26. Valve gauche grandie dix fois, montrant l'intérieur.  
 Fig. 27. La même, vue en dessus.  
 Fig. 28. Grandeur naturelle.

## PLANCHE XXIII.

**Psammobia Edwarsi** Morris.

- Fig. 1. Valve gauche de grandeur naturelle, vue en dessus.  
 Fig. 2. La même montrant l'intérieur.

**Psammobia consobrina** Desh.

- Fig. 3. Valve gauche de grandeur naturelle en dessus.  
 Fig. 4. Intérieur de la même valve.

**Psammobia neglecta** Desh.

- Fig. 5. Valve droite, vue en dessus.  
 Fig. 6. Moule intérieur de la valve gauche.  
 Fig. 7. Moule intérieur de la coquille entière, montrant la région dorsale.

**Psammobia plana** Desh.

- Fig. 8. Valve gauche de grandeur naturelle, vue en dessus.  
 Fig. 9. Intérieur de la même valve.

**Psammobia Dutemplei** Desh.

- Fig. 10. Valve droite grossie d'un tiers, vue en dessus.  
 Fig. 11. La même, vue en dedans.  
 Fig. 12. Grandeur naturelle.

**Psammobia stampinensis** Desh.

- Fig. 13. Valve gauche de grandeur naturelle, vue en dessus.  
 Fig. 14. Intérieur de la même valve.

**Psammobia Bandoni** Desh.

- Fig. 15. Valve gauche grossie deux fois, vue en dessus.  
 Fig. 16. Intérieur de la même valve.  
 Fig. 17. Grandeur naturelle.  
 Fig. 18. La même, vue du côté dorsal.

**Psammobia Caillati** Desh.

- Fig. 19. Valve gauche de grandeur naturelle, vue en dessus.  
 Fig. 20. La même, montrant l'intérieur.

**Psammobia donacina** Desh.

- Fig. 21. Valve droite de grandeur naturelle, vue en dedans.  
 Fig. 22. Intérieur de la même valve.

**Psammobia effusa** Lamk.

- Fig. 23. Valve gauche de grandeur naturelle, vue en dessus.  
 Fig. 24. Intérieur de la même valve.
-

## PLANCHE XXIV.

**Psammobia nitida** Desh.

- Fig. 1. Valve droite de grandeur naturelle, vue en dessus.  
 Fig. 2. Intérieur de la même valve.

**Psammobia spathula** Desh.

- Fig. 3. Valve droite grossie de moitié, vue en dessus.  
 Fig. 4. Intérieur de la même valve.  
 Fig. 5. Grandeur naturelle.

**Psammobia tenera** Desh.

- Fig. 6. Valve gauche grossie deux fois, vue en dessus.  
 Fig. 7. Intérieur de la même valve, et charnière de la valve gauche.  
 Fig. 8. Grandeur naturelle.

**Donax incerta** Desh.

- Fig. 9. Valve gauche grandie deux fois, montrant le dehors.  
 Fig. 10. Intérieur de la même valve, et charnière de la valve droite.  
 Fig. 11. Grandeur naturelle.

**Psammobia tenuis** Desh.

- Fig. 12. Valve droite grossie deux fois, vue en dessus.  
 Fig. 13. Intérieur de la même valve.  
 Fig. 14. Grandeur naturelle.

**Donax Lamarekii**.

- Fig. 15. Valve droite grossie du double, montrant le dessus.  
 Fig. 16. Intérieur de la valve gauche, et charnière de la valve droite.  
 Fig. 17. Grandeur naturelle.

**Donax lanceolata** Desh.

- Fig. 18. Valve droite grossie trois fois, vue en dessus.  
 Fig. 19. La même montrant l'intérieur.  
 Fig. 20. Grandeur naturelle.

**Donax tumidula** Desh.

- Fig. 21. Valve droite de grandeur naturelle, vue en dessus.  
 Fig. 22. Intérieur de la même valve.  
 Fig. 23. Les deux valves réunies, vues du côté dorsal.

**Donax Auversiensis** Desh.

- Fig. 24. Valve gauche de grandeur naturelle, vue en dessus.  
 Fig. 25. Intérieur de la même valve.  
 Fig. 26. Une portion de la surface extérieure grossie pour en faire voir les stries.

**Donax trigonula** Desh.

- Fig. 27. Valve gauche de grandeur naturelle, en dessus.  
 Fig. 28. La même valve, vue en dedans.

**Donax sublevis** Watelet.

- Fig. 29. Valve gauche de grandeur naturelle, vue en dessus.  
 Fig. 30. La même valve, vue en dedans.  
 Fig. 31. Partie grossie de la surface extérieure.
-

## PLANCHE XXV.

**Tellina Kaulini**, Desh.

- Fig. 1. Valve gauche grossie trois fois, vue en dessus.  
 Fig. 2. Valve droite au même grossissement en dessus.  
 Fig. 3. Valve droite, montrant l'intérieur.  
 Fig. 4. Grandeur naturelle.

**Tellina Nystii**, Desh.

- Fig. 5. Valve droite de grandeur naturelle, vue en dessus.  
 Fig. 6. La même, vue en dedans.

**Tellina conformis**, Desh.

- Fig. 7. Valve droite grossie trois fois, vue en dessus.  
 Fig. 8. La même, montrant l'intérieur.

**Tellina Erycinella**, Desh.

- Fig. 9. Valve droite grossie quatre fois, vue en dessus.  
 Fig. 10. La même, en dedans.  
 Fig. 11. Grandeur naturelle.

**Tellina collustrata**, Desh.

- Fig. 12. Valve droite en dessus, grossie quatre fois.  
 Fig. 13. La même, vue en dedans.  
 Fig. 14. Grandeur naturelle.

**Tellina subtilis**, Desh.

- Fig. 15. Valve droite grossie quatre fois, vue en dessus.  
 Fig. 16. La même montrant l'intérieur.  
 Fig. 17. Grandeur naturelle.

**Tellina acutangula**, Desh.

- Fig. 18. Valve droite grossie deux fois, vue en dessus.

**Tellina corbisoides**, Caillat.

- Fig. 19. Valve droite grandie deux fois, vue en dessus.  
 Fig. 20. La même, vue en dedans.  
 Fig. 21. Grandeur naturelle.

**Tellina Heberti**, Desh.

- Fig. 22. Valve droite grandie deux fois, vue en dessus.  
 Fig. 23. La même montrant le dedans.  
 Fig. 24. Grandeur naturelle.

**Tellina bullata**, Desh.

- Fig. 25. Valve droite grandie quatre fois, vue en dessus.  
 Fig. 26. La même, vue à l'intérieur.  
 Fig. 27. Grandeur naturelle.

**Tellina ruderata**, Desh.

- Fig. 28. Valve droite grossie trois fois, vue en dedans.  
 Fig. 29. Intérieur de la même valve.  
 Fig. 30. Grandeur naturelle.

## PLANCHE XXVI.

**Tellina pseudorostralis**, d'Orb.

- Fig. 1. Valve droite grossie du double, vue en dessus.  
 Fig. 2. Intérieur de la même valve.  
 Fig. 3. Portion grossie pour montrer la bifurcation des stries sur le côté postérieur.  
 Fig. 4. Grandeur naturelle.

**Tellina hybrida**, Desh.

- Fig. 5. Valve droite grossie deux fois, vue en dessus.  
 Fig. 6. La même, montrant l'intérieur.

**Tellina altera**, Desh.

- Fig. 8. Valve droite grossie deux fois, en dehors.  
 Fig. 9. La même à l'intérieur.  
 Fig. 10. Portion très grossie de la surface pour montrer les stries.  
 Fig. 11. Grandeur naturelle.

**Tellina substriata**, Desh.

- Fig. 12. Valve droite grandie trois fois montrant le dehors.  
 Fig. 13. La même, vue en dedans.  
 Fig. 7. Grandeur naturelle.

**Tellina Beyrichi**, Desh.

- Fig. 14. Grandeur naturelle.  
 Fig. 15. Valve droite, grossie deux fois, en dessus.  
 Fig. 16. Valve gauche, vue en dedans.

**Tellina striatissima**, Desh.

- Fig. 17. Valve gauche grossie quatre fois, vue en de-sus.  
 Fig. 18. La même montrant l'intérieur.  
 Fig. 19. Grandeur naturelle.

**Tellina canaliculata**, Edwards.

- Fig. 20. Valve droite grossie trois fois, vue en dessus.  
 Fig. 21. Intérieur de la même valve.  
 Fig. 22. Grandeur naturelle.

**Tellina Edwardsi**, Desh.

- Fig. 23. Valve gauche grossie trois fois, en dessus.  
 Fig. 24. Intérieur de la même valve.  
 Fig. 25. Grandeur naturelle.
-

## PLANCHE XXVII.

**Tellina Pseudodonacialis**, d'Orb.

- Fig. 1. Valve gauche de grandeur naturelle, vue en dessus.  
 Fig. 2. La même montrant l'intérieur, et le bord cardinal de la valve droite.

**Tellina idonea**, Desh.

- Fig. 3. Coquille grossie d'un tiers, vue en dessus.  
 Fig. 4. Valve gauche, vue en dedans.  
 Fig. 5. Grandeur naturelle.

**Tellina parilis**, Desh.

- Fig. 6. Valve gauche de grandeur naturelle, vue en dessus.  
 Fig. 7. La même montrant l'intérieur, et le bord cardinal de la valve opposée.

**Tellina decorata**, Watelet.

- Fig. 8. Individu entier grossi d'un tiers, montrant le côté supérieur ou cardinal.  
 Fig. 9. Valve gauche vue en dessus.  
 Fig. 10. La même en dedans et à côté le bord cardinal de la valve opposée.  
 Fig. 11. Grandeur naturelle.

**Tellina denudata**, Desh.

- Fig. 12. Valve gauche grandie deux fois, en dessus.  
 Fig. 13. Intérieur de la valve gauche et bord cardinal de la droite.  
 Fig. 14. Grandeur naturelle.

**Tellina mixta**, Desh.

- Fig. 15. Valve gauche grossie deux fois, vue en dessus.  
 Fig. 16. Intérieur de la même et bord cardinal de la droite.  
 Fig. 17. Grandeur naturelle.

**Tellina Barrandei**, Desh.

- Fig. 18. Valve gauche de grandeur naturelle en dessus.  
 Fig. 19. Profil de la valve droite.  
 Fig. 20. Valve droite montrant l'intérieur.

**Tellina Bernayi**, Desh.

- Fig. 21. Valve gauche grossie deux fois, vue en dessus.  
 Fig. 22. Intérieur de la même valve.  
 Fig. 23. Grandeur naturelle.
-

## PLANCHE XXVIII.

**Venerupis Hermonvillensis**, Desh.

- Fig. 1. Valve gauche grossie deux fois, vue en dessus.  
 Fig. 2. Les valves réunies, montrant la région dorsale.  
 Fig. 3. Valve gauche, vue en dedans.  
 Fig. 4. Charnière de la valve droite.  
 Fig. 5. Grandeur naturelle.

**Venus anceps**, Desh.

- Fig. 6. Surface extérieure de la valve gauche grossie trois fois.  
 Fig. 7. Intérieur de la même valve.  
 Fig. 8. Grandeur naturelle.

**Venerupis oblonga**, Desh.

- Fig. 9. Valve gauche grossie quatre fois, vue en dessus.  
 Fig. 10. Les valves réunies, montrant la région dorsale.  
 Fig. 11. Valve gauche, vue en dedans.  
 Fig. 12. Charnière de la valve opposée.  
 Fig. 13. Grandeur naturelle.

**Venus conformis**, Desh.

- Fig. 14. Surface extérieure de la valve gauche, grossie trois fois.  
 Fig. 15. L'intérieur de la même valve.  
 Fig. 16. Grandeur naturelle.

**Venus fallaciosa**, Desh.

- Fig. 17. Valve droite grossie trois fois, vue en dessus.  
 Fig. 18. Les valves réunies, montrant le côté dorsal.  
 Fig. 19. Valve droite, vue en dedans.  
 Fig. 20. Grandeur naturelle.

**Venus secunda**, Desh.

- Fig. 21. Valve gauche grossie trois fois, montrant le dessus.  
 Fig. 22. La même, vue en dedans.  
 Fig. 23. Grandeur naturelle.

**Venus quadrata**, Desh.

- Fig. 24. Valve droite grossie quatre fois, surface extérieure.  
 Fig. 25. La même, vue en dedans.  
 Fig. 26. Grandeur naturelle.

**Cypricardia Grignonensis**, Desh.

- Fig. 27. Valve droite de grandeur naturelle, vue en dessus.  
 Fig. 28. Surface interne de la même.

N. B. C'est par suite d'une méprise que cette coquille a été figurée dans cette planche, au lieu d'une autre Vénus comprise dans l'une des planches suivantes.

**Venus deleta**, Desh.

- Fig. 29. Valve grossie quatre fois, vue en dessus.  
 Fig. 30. Intérieur de la même valve.  
 Fig. 31. Bord cardinal de la valve droite.  
 Fig. 32. Grandeur naturelle.  
 Fig. 33. Varietas  $\beta$ , surface extérieure de la valve droite.  
 Fig. 34. Intérieur de la même valve.  
 Fig. 35. Grandeur naturelle.
-

## PLANCHE XXIX.

**Cytherea splendida**, Mérian.

- Fig. 1. Valve gauche de grandeur naturelle, en dessus.  
 Fig. 2. Intérieur de la même valve.  
 Fig. 3. Bord cardinal de la valve droite.  
 Fig. 4. Les valves réunies, vues du côté dorsal ou supérieur.

**Tapes Parisiensis**, Desh.

- Fig. 5. Valve gauche de grandeur naturelle,  
 Fig. 6. La même grossie du double, montrant l'intérieur.

**Cytherea ambigua**, Desh.

- Fig. 7. Valve gauche de grandeur naturelle, vue en dedans.  
 Fig. 8. Individu complet au trait du côté des crochets.  
 Fig. 9. Bord cardinal de la valve droite.  
 Fig. 10. Valve gauche, montrant l'intérieur.

**Cytherea orbicularis**, Edwards.

- Fig. 11. Charnière de la valve droite.  
 Fig. 12. Valve gauche de grandeur naturelle, montrant l'intérieur.  
 Fig. 13. Valve gauche, vue en dessus.  
 Fig. 14. Les valves réunies du côté dorsal.

**Cytherea Dixoni**, Desh.

- Fig. 15. Valve gauche grossie du double, en dessus.  
 Fig. 16. Intérieur de la même valve.  
 Fig. 17. Bord cardinal de la valve droite.  
 Fig. 18. Valves réunies, montrant le côté dorsal.  
 Fig. 19. Grandeur naturelle.

**Cytherea tranquilla**, Desh.

- Fig. 20. Valve gauche de grandeur naturelle.  
 Fig. 21. Charnière de la valve droite.  
 Fig. 22. Intérieur de la valve gauche.  
 Fig. 23. Valves réunies, montrant le côté dorsal.

**Cytherea gibbosula**, Desh.

- Fig. 24. Valve gauche grossie deux fois, vue en dessus.  
 Fig. 25. Bord cardinal de la valve droite.  
 Fig. 26. Valve gauche, montrant l'intérieur.  
 Fig. 27. Les valves réunies, vues du côté dorsal.  
 Fig. 28. Grandeur naturelle.

**Cytherea Lamarekii**, Desh.

- Fig. 29. Valve gauche de grandeur naturelle.  
 Fig. 30. La même d'une variété plus large, montrant l'intérieur.  
 Fig. 31. Bord cardinal de la valve droite.  
 Fig. 32. Les valves réunies, vues du côté dorsal.
-

## PLANCHE XXX.

**Cytherea distincta**, Desh.

- Fig. 1. Valve droite de grandeur naturelle, vue en dedans.  
 Fig. 2. Charnière de la valve gauche.  
 Fig. 3. Surface extérieure de la valve droite.  
 Fig. 4. Les valves réunies, vues du côté des crochets.

**Cytherea separata**, Desh.

- Fig. 5. Intérieur de la valve droite de grandeur naturelle.  
 Fig. 6. Bord cardinal de la valve gauche.  
 Fig. 7. Valve droite, montrant la surface externe.  
 Fig. 8. Valves réunies, vues du côté dorsal.

**Cytherea despecta**, Desh.

- Fig. 9. Charnière de la valve droite.  
 Fig. 10. Intérieur de la valve gauche.  
 Fig. 11. Surface extérieure de la même valve.  
 Fig. 12. Valves réunies, vues du côté dorsal.

**Cytherea Heberti**, Desh.

- Fig. 13. Intérieur de la valve gauche, grandeur naturelle.  
 Fig. 14. Surface extérieure de la même valve.  
 Fig. 15. Bord cardinal de la valve droite.  
 Fig. 16. Valves réunies, vues du côté dorsal.

**Cytherea despecta**, Desh. (Var.)

- Fig. 17. Charnière de la valve droite.  
 Fig. 18. Intérieur de la valve gauche grossi deux fois.  
 Fig. 19. Surface extérieure de la même valve.  
 Fig. 20. Valves réunies, montrant le côté dorsal.  
 Fig. 21. Grandeur naturelle.

**Cytherea Suessoniensis**, Desh.

- Fig. 22. Charnière de la valve droite.  
 Fig. 23. Surface interne de la valve gauche.  
 Fig. 24. La même, vue en dessus.  
 Fig. 25. Valves réunies, vues du côté des crochets.

**Cytherea Calvimontana**, Desh.

- Fig. 26. Valve gauche grossie deux fois, vue en dessus.  
 Fig. 27. Bord cardinal de la valve droite.  
 Fig. 28. Intérieur de la valve gauche.  
 Fig. 29. Les valves réunies, vues du côté dorsal.  
 Fig. 30. Grandeur naturelle.

**Cytherea proxima**, Desh.

- Fig. 31. Charnière de la valve droite.  
 Fig. 32. Valve gauche de grandeur naturelle, vue en dedans.  
 Fig. 33. Surface externe de la même valve.  
 Fig. 34. Les valves réunies, montrant le côté dorsal.
-

## PLANCHE XXXI.

**Venus inopinata**, Desh.

- Fig. 1. Valve gauche grossie deux fois, vue en dedans.  
 Fig. 2. Surface extérieure de la même valve.  
 Fig. 3. Grandeur naturelle.

**Venus Cytherœformis**, Desh.

- Fig. 4. Intérieur de la valve gauche et charnière de la droite.  
 Fig. 5. Valve gauche, vue en dessus.  
 Fig. 6, 7. Charnière très grossie des deux valves pour en faire connaître exactement la structure.  
 Fig. 8. Les valves réunies, vues du côté des crochets.

**Cytherœa avia**, Desh.

- Fig. 9. Valve gauche de grandeur naturelle, vue en dedans, et charnière de la valve droite.  
 Fig. 10. La même valve, en dessus.

**Cytherœa fastidiosa**, Desh.

- Fig. 11. Intérieur de la valve gauche grossie deux fois et charnière de la valve droite.  
 Fig. 12. Extérieur de la même valve.  
 Fig. 13. Valves réunies, montrant le côté dorsal.  
 Fig. 14. Grandeur naturelle.

**Cytherœa elegantula**, Desh.

- Fig. 15. Valve gauche grossie trois fois, vue en dedans, et charnière de la valve droite.  
 Fig. 16. Surface extérieure de la valve gauche.  
 Fig. 17. Grandeur naturelle.

**Cytherœa humerosa**, Desh.

- Fig. 18. Valve gauche grandie d'un tiers, montrant l'intérieur, et charnière de la valve opposée.  
 Fig. 19. Surface extérieure de la valve gauche.  
 Fig. 20. Valves réunies, montrant la surface dorsale.  
 Fig. 21. Grandeur naturelle.

**Cytherœa vetula**, Desh.

- Fig. 22. Valve gauche grandie deux fois, vue en dedans.  
 Fig. 23. La même, vue en dessus.  
 Fig. 24. Grandeur naturelle.

**Cytherœa capillacea**, Desh.

- Fig. 25. Intérieur de la valve droite, et charnière de la valve gauche grossie trois fois.  
 Fig. 26. Surface extérieure de la valve droite.  
 Fig. 27. Les valves réunies, montrant le côté dorsal.  
 Fig. 28. Grandeur naturelle.

**Cytherœa Saincenyensis**, Desh.

- Fig. 29. Intérieur de la valve gauche, grandeur naturelle.  
 Fig. 30. La même, vue en dessus.

**Cytherœa Lamberti**, Desh.

- Fig. 31. Valve gauche de grandeur naturelle, montrant l'intérieur, et bord cardinal de la valve droite.  
 Fig. 32. Valve gauche, vue en dessus.
-

## PLANCHE XXXII.

**Venus Roissyi**, Desh.

- Fig. 1. Intérieur de la valve gauche, et bord cardinal de la valve droite grossis deux fois.  
 Fig. 2. Surface externe de la valve droite.  
 Fig. 3. Grandeur naturelle.

**Cytherca analoga**, Desh.

- Fig. 4. Valve gauche grossie deux fois, vue en dedans, et charnière de la valve droite.  
 Fig. 5. Valve droite, vue en dessus.  
 Fig. 6. Les valves réunies, montrant le côté dorsal.  
 Fig. 7. Grandeur naturelle.

**Psathura fragilis**, Desh.

- Fig. 8. Valve droite de grandeur naturelle, montrant l'intérieur.  
 Fig. 9. La même, en dessus.  
 Fig. 10, 11. Charnière des deux valves très grossie pour en montrer plus exactement les caractères; *a*, cavité antérieure sans dents; *b*, les deux dents cardinales bifides de la valve droite; *c*, dent antérieure bifide de la valve gauche; *d*, dent postérieure simple de la même valve; *e*, nymphe pour le ligament.

**Isodoma Cyrenoides**, Desh.

- Fig. 12. Intérieur de la valve droite, grandeur naturelle.  
 Fig. 13. Surface extérieure de la même.  
 Fig. 14. Charnière très grossie de la valve droite; *a*, les deux dents cardinales divergentes et bifides; *b*, dent latérale antérieure; *c*, dent latérale postérieure; *d*, nymphe pour le ligament.

**Citherea Bellovacina**, Desh.

- Fig. 15. Valve gauche de grandeur naturelle, vue en dedans, et charnière de la valve droite.  
 Fig. 16. Surface extérieure de la même valve.  
 Fig. 17. Son profil vu du côté dorsal.

**Cytherca fallax**, Desh.

- Fig. 18. Intérieur de la valve gauche, et charnière de la valve droite en dedans, de grandeur naturelle.  
 Fig. 19. La même valve, vue en dessus.  
 Fig. 20. Les valves réunies, montrant la région dorsale.
-

## PLANCHE XXXIII.

**Cytherca delleatula**, Desh.

- Fig. 1. Valve gauche grossie deux fois, montrant la surface extérieure.  
 Fig. 2. Valve droite en dedans, et charnière de la valve opposée.  
 Fig. 3. Grandeur naturelle.

**Cytherca striatina**, Desh.

- Fig. 4. Valve gauche grossie deux fois, vue en dessus.  
 Fig. 5. La même, vue en dedans, et charnière de la valve droite.  
 Fig. 6. Valves réunies, montrant la région dorsale.  
 Fig. 7. Grandeur naturelle.

**Cytherca nitida**, Desh.

- Fig. 8. Valve gauche de grandeur naturelle.  
 Fig. 9. Surface interne de la même, et charnière de la valve droite.

**Cytherca substriata**, Desh.

- Fig. 10. Surface extérieure de la valve droite grossie trois fois.  
 Fig. 11. Intérieur de la même valve.  
 Fig. 12. La même vue du côté postérieur.  
 Fig. 13. Grandeur naturelle.

**Cytherca Curioni**, Desh.

- Fig. 14. Valve droite grossie quatre fois, en dessus.  
 Fig. 15. Intérieur de la même.  
 Fig. 16. Grandeur naturelle.

**Cytherca ovalina**, Desh.

- Fig. 17. Extérieur de la valve gauche de grandeur naturelle.  
 Fig. 18. Intérieur de la même valve, et bord cardinal de la valve droite.  
 Fig. 19. Valves réunies vues du côté postérieur.

**Cytherca scinetilla**, Desh.

- Fig. 20. Surface extérieure de la valve gauche grossie quatre fois.  
 Fig. 21. La même valve vue en dedans, et charnière de la valve opposée.  
 Fig. 22. Grandeur naturelle.

**Cytherca circularis**, Desh.

- Fig. 23. Valve droite grossie huit fois, vue en dessus.  
 Fig. 24. Intérieur de la même.  
 Fig. 25. Le côté postérieur.  
 Fig. 26. Grandeur naturelle.

**Cytherca obsoleta**, Desh.

- Fig. 27. Valve droite grossie d'un tiers, vue en dessus.  
 Fig. 28. La même vue en dedans.  
 Fig. 29. Grandeur naturelle.

**Cytherca Wateleti**, Desh.

- Fig. 30. Surface extérieure de la valve gauche grossie trois fois.  
 Fig. 31. Intérieur de la même valve.  
 Fig. 32. Grandeur naturelle.

**Venus turgescens**, Desh.

- Fig. 33. Surface extérieure de la valve gauche grossie trois fois.  
 Fig. 34. Surface interne de la même valve, et charnière de la valve droite.  
 Fig. 35. Les valves réunies, montrant la région dorsale.  
 Fig. 36. Grandeur naturelle.

## PLANCHE XXXIV.

**Cytherca depressa**, Desh.

- Fig. 1. Valve gauche grossie trois fois, vue en dessus.  
 Fig. 2. Intérieur de la même valve et charnière de la valve droite.  
 Fig. 3. Valves réunies montrant la région dorsale.  
 Fig. 4. Grandeur naturelle.

**Cytherca striatissima**, Desh.

- Fig. 5. Surface extérieure de la valve droite grossie trois fois.  
 Fig. 6. Intérieur de la même valve. — Fig. 6<sup>a</sup>. Grandeur naturelle.

**Venus delicatula**, Desh.

- Fig. 7. Valve droite grossie trois fois, vue en dessus.  
 Fig. 8. La même montrant l'intérieur. — Fig. 9. Grandeur naturelle.

**Cyrena crenulata**, Desh.

- Fig. 10. Surface extérieure de la valve gauche grossie cinq fois.  
 Fig. 11. Intérieur de la même valve et charnière de la valve opposée.  
 Fig. 12. Grandeur naturelle.

**Cyrena heterodonta**, Desh.

- Fig. 13. Valve gauche grossie cinq fois, vue en dessus.  
 Fig. 14. La même vue en dedans et bord cardinal de la valve opposée.  
 Fig. 15. Grandeur naturelle.

**Cyrena lunulata**, Desh.

- Fig. 16. Valve gauche grossie deux fois, montrant le dessus.  
 Fig. 17. La même vue en dedans. — Fig. 18. Grandeur naturelle.  
 Fig. 19. Région dorsale pour montrer la position de la lunule.

**Cyrena tetragona**, Desh.

- Fig. 20. Surface extérieure de la valve droite, grossie cinq fois.  
 Fig. 21. La même montrant l'intérieur. — Fig. 22. Grandeur naturelle.

**Pisidium nucleus**, Boissy.

- Fig. 23. Valve gauche grossie quatre fois, vue en dessus.  
 Fig. 24. La même montrant la charnière.  
 Fig. 25. Grandeur naturelle.

**Pisidium cardiolum**, Desh.

- Fig. 26. Surface extérieure de la valve gauche grossie six fois.  
 Fig. 27. Intérieur de la même valve et charnière de la valve droite.  
 Fig. 28. Grandeur naturelle.  
 Fig. 29. Valves réunies montrant la région dorsale.

**Pisidium Denainvilliersi**, Boissy.

- Fig. 30. Valve gauche grossie trois fois, vue en dessus.  
 Fig. 31. La même vue en dedans.  
 Fig. 32. Valves réunies vues en arrière. — Fig. 33. Grandeur naturelle.

**Cyclas Verneuili**, Boissy.

- Fig. 34. Surface extérieure de la valve gauche grossie deux fois.  
 Fig. 35. La même valve vue du côté dos. — Fig. 36. Grandeur naturelle.

**Cyclas Boissyi**, Desh.

- Fig. 37. Surface extérieure de la valve gauche grossie deux fois.  
 Fig. 38. Valves réunies montrant la région dorsale. — Fig. 39. Grandeur naturelle.

**Cyclas Rillyensis**, Boissy.

- Fig. 40. Surface extérieure de la valve gauche grossie cinq fois.  
 Fig. 41. Les valves réunies, vues du côté dorsal. — Fig. 42. Grandeur naturelle.

**Cyrena Dutemplei**, Desh.

- Fig. 43. Valve gauche de grandeur naturelle.  
 Fig. 44. Valves réunies montrant la région dorsale.

## PLANCHE XXXV.

**Cyrena incompta**, Desh.

- Fig. 1. Valve droite de grandeur naturelle vue en dedans, et charnière de la valve gauche.  
Fig. 2. Surface extérieure de la valve gauche.  
Fig. 3. Les valves réunies, montrant la région dorsale.

**Cyrena psammocola**, Desh.

- Fig. 4. Intérieur de la valve gauche grossie deux fois.  
Fig. 5. Surface extérieure de la même valve.  
Fig. 6. Grandeur naturelle.

**Cyrena distincta**, Desh.

- Fig. 7. Intérieur de la valve droite et charnière de la valve gauche.  
Fig. 8. Surface extérieure de la valve gauche.  
Fig. 9. Les valves réunies, vues du côté dorsal. Ces trois figures sont de grandeur naturelle.

**Cyrena minuta**, Desh.

- Fig. 10. Intérieur de la valve gauche, grossie quatre fois.  
Fig. 11. La même valve, vue en dessus.  
Fig. 12. Grandeur naturelle.

**Cyrena singularis**, Desh.

- Fig. 13. Valve droite grossie deux fois, montrant l'intérieur.  
Fig. 14. Surface externe de la valve gauche.  
Fig. 15. Grandeur naturelle.

**Cyrena planulata**, Desh.

- Fig. 16. Valve droite vue en dedans, grossie deux fois, et charnière de la valve gauche.  
Fig. 17. Surface extérieure de la valve gauche.  
Fig. 18. Grandeur naturelle.

**Cyprina lunulata**, Desh.

- Fig. 19. Valve gauche de grandeur naturelle, vue en dedans.  
Fig. 20. La même, vue en dessus.  
Fig. 21. La région antérieure de la même, pour montrer la lunule.
-

## PLANCHE XXXVI.

**Cyrena cardioides**, Desh.

- Fig. 1. Valve gauche de grandeur naturelle montrant la charnière.  
 Fig. 2. La même vue en dessus.  
 Fig. 3. Les valves réunies vues du côté des crochets.

**Cyrena Heberti**, Desh.

- Fig. 4. Valve gauche grossie trois fois, vue en dedans.  
 Fig. 5. La même vue en dessus.  
 Fig. 6. Grandeur naturelle.

**Cyrena Charpentieri**, Desh.

- Fig. 7. Valve droite de grandeur naturelle en dedans, et bord cardinal de la valve opposée.  
 Fig. 8. Surface extérieure de la valve gauche.

**Cyrena breviscula**, Desh.

- Fig. 9. Valve droite en dedans, grossie deux fois, et charnière de la valve opposée.  
 Fig. 10. Surface extérieure de la valve droite.  
 Fig. 11. Grandeur naturelle.

**Cyrena Rignaulti**, Desh.

- Fig. 12. Intérieur de la valve droite, de grandeur naturelle.  
 Fig. 13. Extérieur de la même valve.

**Cyrena nobilis**, Desh.

- Fig. 14. Valve droite de grandeur naturelle, montrant l'intérieur.  
 Fig. 15. La même vue en dessus.

**Cyrena simplex**, Desh.

- Fig. 16. Intérieur de la valve gauche, grossie deux fois, et charnière de la valve droite.  
 Fig. 17. Surface extérieure de la valve gauche.  
 Fig. 18. Grandeur naturelle.

**Cyrena incompta**, var. Desh.

- Fig. 19. Valve gauche de grandeur naturelle vue en dessus.  
 Fig. 20. Intérieur de la valve droite, et charnière de la valve gauche.

**Cyrena semistriata**, Desh.

- Fig. 21. Valve droite de grandeur naturelle vue en dedans, et charnière de la valve gauche.  
 Fig. 22. Valve gauche vue en dessus.
-

## PLANCHE XXXVII.

**Cyrena angustidens**, Desh.

- Fig. 1. Intérieur de la valve droite, de grandeur naturelle, et charnière de la valve opposée.  
 Fig. 2. Surface extérieure de la valve droite.

**Cyrena difficilis**, Desh.

- Fig. 3. Valve droite grandie d'un tiers vue en dedans, et charnière de la valve gauche.  
 Fig. 4. Surface extérieure de la valve droite.  
 Fig. 5. Grandeur naturelle.

**Cyrena parvula**, Desh.

- Fig. 6. Valve droite grossie quatre fois, vue en dedans.  
 Fig. 7. La même, vue en dessus.  
 Fig. 8. Grandeur naturelle.

**Cyrena angusta**, Desh.

- Fig. 9. Intérieur de la valve droite, grossie quatre fois, et charnière de la valve gauche.  
 Fig. 10. Surface extérieure de la valve gauche.  
 Fig. 11. Variété de grandeur naturelle, vue en dessus.  
 Fig. 12. Grandeur naturelle.

**Cyrena tabulina**, Desh.

- Fig. 13. Valve droite, grandie trois fois, vue en dedans.  
 Fig. 14. La même vue en dessus.  
 Fig. 15. Grandeur naturelle.

**Cyrena Arnouldi**, Michaud.

- Fig. 16. Valve droite, grossie d'un tiers, montrant l'intérieur, et charnière de la valve gauche.  
 Fig. 17. Valve droite vue en dessus.  
 Fig. 18. Grandeur naturelle.

**Cyrena Beshayesi**, Hébert.

- Fig. 19. Intérieur de la valve droite, grossie d'un tiers, et charnière de la valve opposée.  
 Fig. 20. Surface extérieure de la valve gauche.  
 Fig. 21. Grandeur naturelle.

**Cyrena amygdalina**, Desh.

- Fig. 22. Surface interne de la valve droite, de grandeur naturelle, et bord cardinal de la valve gauche.  
 Fig. 23. Valve gauche, vue en dessus.

**Cyrena Forbesi**, Desh.

- Fig. 24. Valve droite, grossie deux fois, montrant la surface interne, et charnière de la valve opposée.  
 Fig. 25. Valve gauche, vue en dessus.  
 Fig. 26. Les valves réunies, montrant la région dorsale.  
 Fig. 27. Grandeur naturelle.
-

## PLANCHE XXXVIII.

**Cyrena veneriformis**, Desh.

- Fig. 1. Valve gauche de grandeur naturelle, vue en dessus.  
 Fig. 2. Intérieur de la valve droite, et charnière de la valve gauche.

**Cyrena tellinella**, Fer. Var.

- Fig. 3. Valve gauche de grandeur naturelle, en dessus.  
 Fig. 4. Le dedans de la même valve.

**Cyrena unioniformis**, Desh.

- Fig. 5. Surface externe de la valve droite, grandeur naturelle.  
 Fig. 6. La même, montrant l'intérieur.

**Cyrena Saincenyensis**, Desh.

- Fig. 7. Valve droite de grandeur naturelle, vue en dessus.  
 Fig. 8. La même, vue en dedans.

**Cyrena Lamberti**, Desh.

- Fig. 9. Surface externe de la valve gauche, grandeur naturelle.  
 Fig. 10. Le dedans de la même valve.

**Cyrena suborbicularis**, Desh.

- Fig. 11. Valve droite de grandeur naturelle, en dessus.  
 Fig. 12. La même, vue en dedans.

**Cyrena abbreviata**, Desh.

- Fig. 13. Valve droite de grandeur naturelle, montrant le dessus.  
 Fig. 14. La même, vue en dedans.

**Cyrena roborata**, Desh.

- Fig. 15. Valve droite de grandeur naturelle, vue en dessus.  
 Fig. 16. Intérieur de la même valve.

**Cyrena acutangularis**, Desh.

- Fig. 17. Surface externe de la valve droite, grandeur naturelle.  
 Fig. 18. Intérieur de la même, et charnière de la valve gauche.

**Cyrena intermedia**, Desh.

- Fig. 19. Valve gauche de grandeur naturelle, en dessus.  
 Fig. 20. Le dedans de la valve droite, et charnière de la valve gauche.

---

## PLANCHE XXXIX.

**Lucina Caillati**, Desh.

- Fig. 1. Intérieur de la valve gauche, grandeur naturelle.  
Fig. 2. Valve droite vue en dessus.

**Lucina depressa**, Desh.

- Fig. 3. Valve gauche montrant le dedans.  
Fig. 4. La même vue en dessus.

**Lucina Argus**, Desh.

- Fig. 5. Valve gauche de grandeur naturelle en dedans.  
Fig. 6. La même en dessus.

**Lucina consobrina**, Desh.

- Fig. 7. Surface interne de la valve droite.  
Fig. 8. Le dehors de la même valve.

**Lucina Deffrancci**, Desh.

- Fig. 9. Valve droite vue en dedans.  
Fig. 10. Bord cardinal de la valve gauche.  
Fig. 11. Surface extérieure de la valve droite.
-

## PLANCHE XL.

**Lucina planulata**, Desh.

- Fig. 1. Valve gauche de grandeur naturelle vue en dessus.  
 Fig. 2. Charnière de la valve droite.  
 Fig. 3. Valve gauche montrant l'intérieur.

**Lucina concinna**, Desh.

- Fig. 4. Valve gauche de grandeur naturelle, vue en dessus.  
 Fig. 5. Charnière de la valve droite.  
 Fig. 6. Intérieur de la valve gauche.

**Lucina detrita**, Desh.

- Fig. 7. Valve droite grossie du double, vue en dessus.  
 Fig. 8. Bord cardinal de la valve droite.  
 Fig. 9. Intérieur de la valve gauche.  
 Fig. 10. Grandeur naturelle.

**Lucina Hosdenacensis**, Desh.

- Fig. 11. Charnière de la valve droite.  
 Fig. 12. Intérieur de la valve gauche, grossie trois fois.  
 Fig. 13. Surface externe de la même valve.  
 Fig. 14. Grandeur naturelle.

**Lucina Hermonvillensis**, Desh.

- Fig. 15. Valve gauche grossie deux fois, vue en dessus.  
 Fig. 16. Charnière de la valve droite.  
 Fig. 17. Valve gauche montrant le dedans.  
 Fig. 18. Grandeur naturelle.

**Lucina contortula**, Desh.

- Fig. 19. Charnière de la valve droite.  
 Fig. 20. Valve gauche grossie deux fois, montrant l'intérieur.  
 Fig. 21. Valve droite en dessus.  
 Fig. 22. Grandeur naturelle.

**Lucina subcircularis**, Desh.

- Fig. 23. Surface extérieure de la valve gauche, grandeur naturelle.  
 Fig. 24. La même montrant l'intérieur.

**Lucina circinarla**, Lamk.

- Fig. 25. Valve gauche de grandeur naturelle, vue en dessus.  
 Fig. 26. Charnière de la valve droite.  
 Fig. 27. Valve gauche montrant l'intérieur.
-

## PLANCHE XLI.

**Lucina proxima**, Desh.

- Fig. 1. Valve gauche de grandeur naturelle, vue en dessus.  
 Fig. 2. La même valve vue en dedans, et charnière de la valve opposée.  
 Fig. 3. Les valves réunies montrant la région dorsale.

**Lucina secunda**, Desh.

- Fig. 4. Valve gauche un peu grossie, montrant le dehors.  
 Fig. 5. La même en dedans, et charnière de la valve droite.  
 Fig. 6. Grandeur naturelle.

**Lucina mutata**, Desh.

- Fig. 7. Valve droite grossie d'un tiers, vue en dessus.  
 Fig. 8. La même, montrant l'intérieur.  
 Fig. 9. Grandeur naturelle.

**Lucina evanila**, Desh.

- Fig. 10. Surface extérieure de la valve gauche grossie deux fois.  
 Fig. 11. Intérieur de la valve droite et charnière de la gauche.  
 Fig. 12. Les valves réunies montrant la région dorsale.  
 Fig. 13. Grandeur naturelle.

**Lucina Foucardi**, Desh.

- Fig. 14. Valve droite grossie trois fois, vue en dessus.  
 Fig. 15. Valve gauche en dedans et charnière de la valve droite.  
 Fig. 16. Les valves réunies montrant la région dorsale.  
 Fig. 17. Grandeur naturelle.

**Lucina Levesquei**, d'Orb.

- Fig. 18. Valve droite en dessus, grossie trois fois.  
 Fig. 19. Valve gauche vue en dedans, et charnière de la droite.  
 Fig. 20. Les valves réunies, vues du côté dorsal.  
 Fig. 21. Grandeur naturelle.

**Lucina microdonta**, Desh.

- Fig. 22. Extérieur de la valve gauche, grossie trois fois.  
 Fig. 23. La même en dedans, et charnière de la droite,  
 Fig. 24. Grandeur naturelle.

**Lucina umbilicata**, Desh.

- Fig. 25. Valve droite grossie quatre fois, montrant le dehors.  
 Fig. 26. Surface interne de la même valve.  
 Fig. 27. Grandeur naturelle.

**Lucina Requienii**, Lévesque.

- Fig. 28. Surface externe de la valve droite grossie quatre fois.  
 Fig. 29. Intérieur de la même et charnière de la valve gauche.  
 Fig. 30. Grandeur naturelle.

**Lucina Prevosti**, Desh.

- Fig. 31. Valve droite de grandeur naturelle.  
 Fig. 32. La même en dedans, et charnière de la valve gauche.

## PLANCHE XLII.

**Lucina decipiens**, Desh.

- Fig. 1. Extérieur de la valve droite grossie deux fois.  
 Fig. 2. Intérieur de la même.  
 Fig. 3. Grandeur naturelle.

**Lucina Heberti**, Desh.

- Fig. 4. Valve droite de grandeur naturelle, vue en dessus.  
 Fig. 5. La même, vue en dedans.  
 Fig. 6. Charnière de la valve gauche.

**Lucina difficilis**, Desh.

- Fig. 7. Surface extérieure de la valve droite grossie trois fois.  
 Fig. 8. Intérieur de la même valve.  
 Fig. 9. Grandeur naturelle.

**Lucina nana**, Desh.

- Fig. 10. Valve gauche grossie douze fois, vue en dessus.  
 Fig. 11. La même, montrant le dedans.  
 Fig. 12. Grandeur naturelle.

**Lucina Thierensi**, Hébert.

- Fig. 13. Surface extérieure de la valve gauche grossie trois fois.  
 Fig. 14. Valve droite vue en dedans.  
 Fig. 15. Charnière de la valve gauche.  
 Fig. 16. Grandeur naturelle.

**Diplodonta bidens**, Desh, var.  $\beta$ .

- Fig. 17. Valve droite grossie deux fois en dessus.  
 Fig. 18. La même, en dedans.  
 Fig. 19. Grandeur naturelle.

**Lucina crenularis**, Desh.

- Fig. 20. Valve droite grossie quatre fois, montrant le dessus.  
 Fig. 21. La même, vue en dedans.  
 Fig. 22. Grandeur naturelle.

**Lucina lobulata**, Desh.

- Fig. 23. Extérieur de la valve gauche grossie deux fois.  
 Fig. 24. Intérieur de la même valve.  
 Fig. 25. Grandeur naturelle.

**Lucina cannabina**, Desh.

- Fig. 26. Surface externe de la valve droite grossie trois fois.  
 Fig. 27. La même, vue en dedans.  
 Fig. 28. Grandeur naturelle.

**Lucina latebrosa**, Desh.

- Fig. 29. Valve droite grossie trois fois en dessus.  
 Fig. 30. La même, en dedans.  
 Fig. 31. Grandeur naturelle.

**Lucina notata**, Desh.

- Fig. 32. Valve droite grossie trois fois vue en dessus.  
 Fig. 33. La même, montrant l'intérieur.  
 Fig. 34. Les valves réunies vues du côté dorsal.  
 Fig. 35. Grandeur naturelle.
-

## PLANCHE XLIII.

**Lucina Barbieri, Desh.**

- Fig. 1. Valve gauche, grossie quatre fois, vue en dedans, et charnière de la valve droite.  
 Fig. 2. Région antérieure de la coquille grossie cinq fois.  
 Fig. 3. Région postérieure au même grossissement.  
 Fig. 4. Surface extérieure de la valve gauche.  
 Fig. 5. Grandeur naturelle.

**Lucina Hornesi, Desh.**

- Fig. 6. Intérieur de la valve gauche, grossie deux fois, et charnière de la valve droite.  
 Fig. 7. Extérieur de la même.  
 Fig. 8. Détail très grossi de la surface externe.  
 Fig. 9. Grandeur naturelle.

**Lucina sublebata, Desh.**

- Fig. 10. Intérieur de la valve gauche, grossie deux fois, et charnière de la valve droite.  
 Fig. 11. Surface extérieure de la même.  
 Fig. 12. Grandeur naturelle.

**Lucina turgidula, Desh.**

- Fig. 13. Valve droite, grossie cinq fois, en dedans.  
 Fig. 14. La même, en dessus.  
 Fig. 15. Valves réunies montrant la région dorsale.  
 Fig. 16. Grandeur naturelle.

**Lucina spîsula, Desh.**

- Fig. 17. Valve gauche, grossie trois fois, vue en dedans.  
 Fig. 18. La même, vue en dessus.  
 Fig. 19. Grandeur naturelle.

**Lucina Bandoni, Desh.**

- Fig. 20. Surface interne de la valve gauche grossie deux fois.  
 Fig. 21. La même, vue en dessus.  
 Fig. 22. Grandeur naturelle.

**Lucina conereta, Desh.**

- Fig. 23. Valve droite, grossie deux fois, en dedans, et charnière de la valve gauche.  
 Fig. 24. La même, vue en dessus.  
 Fig. 25. Portion très grossie pour montrer la finesse des stries.  
 Fig. 26. Grandeur naturelle.

**Lucina striatella.**

- Fig. 27. Valve droite, grossie six fois, vue en dessus.  
 Fig. 28. La même en dedans.  
 Fig. 29. Grandeur naturelle.

**Lucina pusilla, Desh.**

- Fig. 30. Intérieur de la valve droite, grossie six fois, et charnière de la valve gauche.  
 Fig. 31. La même, vue en dessus.  
 Fig. 32. Grandeur naturelle.

**Lucina inornata.**

- Fig. 33. Valve droite, grossie deux fois, vue en dedans.  
 Fig. 34. La même, vue en dessus.  
 Fig. 35. Grandeur naturelle.
-

## PLANCHE XLIV.

**Lucina prona**, Desh.

- Fig. 1. Surface extérieure de la valve gauche grossie deux fois.  
 Fig. 2. La même, vue en dedans.  
 Fig. 3. Les valves réunies montrant la région dorsale.  
 Fig. 4. Grandeur naturelle.

**Lucina seminulum**, Desh.

- Fig. 5. Valve gauche, grossie six fois, vue en dessus.  
 Fig. 6. La même, en dedans.  
 Fig. 7. Charnière de la valve opposée.  
 Fig. 8. Grandeur naturelle.

**Lucina inaequilatera**, Desh.

- Fig. 9. Extérieur de la valve droite grossie trois fois.  
 Fig. 10. Intérieur de la même valve.  
 Fig. 11. Grandeur naturelle.

**Lucina ventricosa**, Watelet.

- Fig. 12. Surface extérieure de la valve gauche grossie six fois.  
 Fig. 13. Intérieur de la même valve.  
 Fig. 14. Charnière de la valve droite.  
 Fig. 15. Grandeur naturelle.  
 Fig. 16. La région dorsale pour montrer la forme de la lunule.

**Lucina Goodhalli**, Sowerby.

- Fig. 17. Valve droite, grossie quatre fois, vue en dessus.  
 Fig. 18. Valve gauche vue en dedans.  
 Fig. 19. Charnière de la valve droite.  
 Fig. 20. Région postérieure vue de face.  
 Fig. 21. Région antérieure.  
 Fig. 22. Grandeur naturelle.

**Lucina Brongniarti**, Desh.

- Fig. 23. Valve droite, en dessus, grossie cinq fois.  
 Fig. 24. La même, vue en dedans.  
 Fig. 25. Grandeur naturelle.

**Lucina decorata**, Desh.

- Fig. 26. Surface extérieure de la valve gauche grossie deux fois.  
 Fig. 27. Intérieur de la même.  
 Fig. 28. Grandeur naturelle.

**Lucina Gravesii**, Desh.

- Fig. 29. Valve droite, grossie un peu plus de deux fois, montrant la surface extérieure.  
 Fig. 30. La même valve de grandeur naturelle, vue en dedans.

**Lucina Sparnaccensis**, Desh.

- Fig. 31. Valve gauche, grossie deux fois, en dessus.  
 Fig. 32. La même, en dedans.  
 Fig. 33. Charnière de la valve droite.  
 Fig. 34. Grandeur naturelle.
-

## PLANCHE XLV.

**Lucina Michellini, Desh.**

- Fig. 1. Valve droite, grossie deux fois, vue en dedans.  
 Fig. 2. La même, vue en dessus.  
 Fig. 3. Grandeur naturelle.

**Lucina Mayeri, Desh.**

- Fig. 4. Intérieur de la valve droite grossie quatre fois.  
 Fig. 5. Extérieur de la même valve.  
 Fig. 6. Grandeur naturelle.

**Lucina sphaeroleula, Desh.**

- Fig. 7. Valve droite, grossie cinq fois, montrant l'intérieur.  
 Fig. 8. La même valve, vue en dessus.  
 Fig. 9. La même montrant la région dorsale.  
 Fig. 10. Grandeur naturelle.

**Lucina Parnensis, Desh.**

- Fig. 11. Valve gauche, grossie trois fois, vue en dedans.  
 Fig. 12. Surface extérieure de la même.  
 Fig. 13. Grandeur naturelle.

**Lucina tenuis, Desh.**

- Fig. 14. Valve droite, grossie trois fois, montrant l'intérieur.  
 Fig. 15. La même, vue en dessus.  
 Fig. 16. Grandeur naturelle.

**Lucina tabulata, Desh.**

- Fig. 17. Valve gauche, grossie cinq fois, vue en dessus.  
 Fig. 18. Charnière de la valve droite.  
 Fig. 19. Intérieur de la valve gauche.  
 Fig. 20. Côté antérieur de la coquille.  
 Fig. 21. Grandeur naturelle.

**Diplodonta bilimpresa, Desh.**

- Fig. 22. Surface interne de la valve gauche grossie deux fois.  
 Fig. 23. Extérieur de la même valve.  
 Fig. 24. Grandeur naturelle.

**Diplodonta duplicata, Desh.**

- Fig. 25. Valve droite, grossie une fois et demie, vue en dedans.  
 Fig. 26. La même, vue en dessus.  
 Fig. 27. Grandeur naturelle.

**Diplodonta bidens, Desh.**

- Fig. 28. Valve gauche et charnière de la valve droite, grossies deux fois, en dedans.  
 Fig. 29. La même valve, vue en dessus.  
 Fig. 30. Grandeur naturelle.

**Diplodonta radlans, Desh.**

- Fig. 31. Valve gauche, grossie trois fois, vue en dedans, et charnière de la valve droite.  
 Fig. 32. Surface extérieure de la valve gauche.  
 Fig. 33. Grandeur naturelle.

## PLANCHE XLVI.

**Diplodonta elliptica**, Desh.

- Fig. 1. Valve gauche, grossie trois fois, vue en dedans, et charnière de la valve droite.  
 Fig. 2. Surface extérieure de la valve gauche.  
 Fig. 3. Les valves réunies montrant la région dorsale.

**Diplodonta Eudoræ**, Desh.

- Fig. 4. Valve gauche, grossie trois fois, vue en dedans.  
 Fig. 5. La même, vue en dessus.  
 Fig. 6. Grandeur naturelle.

**Diplodonta fragilis**, Desh.

- Fig. 7. Intérieur de la valve gauche, grossie quatre fois, et charnière de la valve opposée.  
 Fig. 8. Valve gauche en dessus.  
 Fig. 9. Grandeur naturelle.

**Diplodonta inaequalis**, Desh.

- Fig. 10. Intérieur de la valve droite grossie cinq fois.  
 Fig. 11. Valve gauche vue en dessus.  
 Fig. 12. Grandeur naturelle.

**Diplodonta consors**, Desh.

- Fig. 13. Intérieur de la valve gauche, grossie quatre fois, et charnière de la valve droite.  
 Fig. 14. Valve droite vue en dessus.  
 Fig. 15. Grandeur naturelle.  
 Fig. 16. Les valves réunies montrant la région dorsale.

**Diplodonta Saincenyensis**, Desh.

- Fig. 17. Valve droite, grossie cinq fois, vue en dedans.  
 Fig. 18. La même, vue en dessus.  
 Fig. 19. Grandeur naturelle.

**Diplodonta Auversiensis**, Desh.

- Fig. 20. Intérieur de la valve gauche grossie cinq fois.  
 Fig. 21. La même, en dessus.  
 Fig. 22. Grandeur naturelle.

**Diplodonta renulata**, Lamk. spec.

- Fig. 23. Intérieur de la valve gauche, grossie deux fois, et charnière de la valve droite.  
 Fig. 24. Valve gauche en dessus.  
 Fig. 25. Les valves réunies montrant la région dorsale.  
 Fig. 26. Grandeur naturelle.

**Diplodonta decipiens**, Desh.

- Fig. 27. Intérieur de la valve droite grossie deux fois et demie.  
 Fig. 28. La même, vue en dessus.  
 Fig. 29. Grandeur naturelle.

**Diplodonta profunda**, Desh.

- Fig. 30. Valve gauche, grossie deux fois et demie, vue en dedans, et charnière de la valve opposée.  
 Fig. 31. Valve gauche vue en dessus.  
 Fig. 32. Valves réunies, vues du côté postérieur.  
 Fig. 33. Grandeur naturelle.
-

## PLANCHE XLVII.

**Diplodonta lugens**, Desh.

- Fig. 1. Valve gauche de grandeur naturelle, vue en dessus.  
 Fig. 2. La même, vue en dedans.

**Diplodonta grata**, Desh.

- Fig. 3. Valve droite de grandeur naturelle, en dessus.  
 Fig. 4. La même, en dedans.  
 Fig. 5. Détail grossi de la surface extérieure.

**Diplodonta Lamberti**, Desh.

- Fig. 6. Surface extérieure de la valve droite grossie deux fois.  
 Fig. 7. La même, montrant l'intérieur.  
 Fig. 8. Grandeur naturelle.

**Diplodonta Grignonensis**, Desh.

- Fig. 9. Valve gauche grossie trois fois, vue en dessus.  
 Fig. 10. La même, vue en dedans.  
 Fig. 11. Profil montrant la région dorsale.  
 Fig. 12. Grandeur naturelle.

**Diplodonta Aizyensis**, Desh.

- Fig. 13. Valve gauche grossie deux fois, vue en dessus.  
 Fig. 14. La même, en dedans.  
 Fig. 15. Détail grossi de la surface.  
 Fig. 16. Grandeur naturelle.

**Diplodonta punctatissima**, Desh.

- Fig. 17. Surface extérieure de la valve droite grossie deux fois.  
 Fig. 18. Intérieur de la même valve.  
 Fig. 19. Détail grossi de la surface.  
 Fig. 20. Grandeur naturelle.

**Diplodonta striatina**, Desh.

- Fig. 21. Valve droite grossie deux fois et demie, vue en dessus.  
 Fig. 22. La même, montrant l'intérieur.  
 Fig. 23. Grandeur naturelle.

**Diplodonta cœlata**.

- Fig. 24. Valve droite de grandeur naturelle vue en dessus.

**Lucina discors**, Desh.

- Fig. 25. Surface extérieure de la valve gauche grossie deux fois.  
 Fig. 26. Intérieur de la valve droite et charnière de la gauche.  
 Fig. 27. Grandeur naturelle.

**Lucina Rigaultiana**.

- Fig. 28. Valve gauche grossie deux fois, vue en dessus.  
 Fig. 29. Valve droite en dedans et charnière de la valve opposée.  
 Fig. 30. Grandeur naturelle.

**Lucina Ermenouvillensis**, d'Orb.

- Fig. 31. Surface extérieure de la valve gauche grossie deux fois.  
 Fig. 32. Intérieur de la valve droite et charnière de la valve opposée.  
 Fig. 33. Grandeur naturelle.
-

## PLANCHE XLVIII.

**Lucina undulata**, Lamk.

- Fig. 1. Valve gauche, grossie quatre fois, en dessus.  
 Fig. 2. La même en dedans, et charnière de la valve opposée.  
 Fig. 3. Grandeur naturelle.

**Lucina Omaliusi**, Desh.

- Fig. 4. Valve gauche, un peu grandie, vue en dessus.  
 Fig. 5. La même, vue en dedans.  
 Fig. 6. Grandeur naturelle.

**Lucina tenuistriata**, Hébert.

- Fig. 7. Valve droite de grandeur naturelle, en dessus.  
 Fig. 8. La même, montrant l'intérieur.

**Sportella corbulina**, Desh.

- Fig. 9. Surface extérieure de la valve droite grossie quatre fois.  
 Fig. 10. Intérieur de la même valve.  
 Fig. 11. Grandeur naturelle.

**Sportella fragilis**, Desh.

- Fig. 12. Valve droite, grossie quatre fois, vue en dessus.  
 Fig. 13. La même, montrant l'intérieur.  
 Fig. 14. Grandeur naturelle.

**Sportella gibbosula**, Desh.

- Fig. 15. Valve gauche, grossie quatre fois, en dessus.  
 Fig. 16. La même, vue en dedans.  
 Fig. 17. Grandeur naturelle.

**Sportella callosa**, Desh.

- Fig. 18. Surface extérieure de la valve droite, grossie deux fois et demi.  
 Fig. 19. Intérieur de la même valve.  
 Fig. 20. Grandeur naturelle.

**Sportella modesta**, Desh.

- Fig. 21. Valve gauche, grossie quatre fois, vue en dessus.  
 Fig. 22. La même, à l'intérieur.  
 Fig. 23. Grandeur naturelle.

**Sportella Caillati**, Desh.

- Fig. 24. Valve gauche, grossie trois fois, vue en dessus.  
 Fig. 25. Intérieur de la même valve.  
 Fig. 26. Grandeur naturelle.

**Sportella apicalis**, Desh.

- Fig. 27. Surface extérieure de la valve gauche grossie deux fois.  
 Fig. 28. Intérieur de la même.  
 Fig. 29. Grandeur naturelle.

**Sportella proxima**, Desh.

- Fig. 30. Valve gauche, grossie trois fois, vue en dessus.  
 Fig. 31. La même, vue à l'intérieur.  
 Fig. 32. Grandeur naturelle.

**Corbis Davidsoni**, Desh.

- Fig. 33. Valve gauche de grandeur naturelle, vue en dessus.  
 Fig. 34. La même, montrant l'intérieur.  
 Fig. 35. Région dorsale.
-

## PLANCHE XLIX.

**Sportella angusta**, Desh.

- Fig. 1. Valve droite, grossie deux fois, vue en dessus.  
 Fig. 2. La même, vue en dedans.  
 Fig. 3. Grandeur naturelle.

**Sportella nitens**, Desh.

- Fig. 4. Valve droite, vue en dessus.  
 Fig. 5. La même, montrant l'intérieur.  
 Fig. 6. Grandeur naturelle.

**Sportella donaciformis**, Desh.

- Fig. 7. Surface extérieure de la valve gauche, grossie trois fois.  
 Fig. 8. Surface intérieure de la même valve.  
 Fig. 9. Grandeur naturelle.

**Scinctilla Parisiensis**, Desh.

- Fig. 10. Surface extérieure de la valve droite, grossie deux fois.  
 Fig. 11. La même, vue en dedans.  
 Fig. 12. Grandeur naturelle.

**Scinctilla anomala**, Desh.

- Fig. 13. Valve gauche, vue en dessus.  
 Fig. 14. La même, vue en dedans.  
 Fig. 15. Grandeur naturelle.

**Sportella erycinoides**, Desh.

- Fig. 16. Surface extérieure de la valve gauche, grossie quatre fois.  
 Fig. 17. La même, vue en dedans.  
 Fig. 18. Grandeur naturelle.

**Sportella heterodonta**, Desh.

- Fig. 19. Charnière très grossie des deux valves représentées en sens inverse par le dessinateur, ainsi que les autres figures de la même espèce.  
 Fig. 20. Valve gauche, grossie cinq fois, montrant la surface extérieure.  
 Fig. 21. La même, vue en dedans.  
 Fig. 22. Grandeur naturelle.

**Sportella depressa**, Desh.

- Fig. 23. Cette figure et les suivantes ont été renversées, le côté postérieur ayant été mis en avant par l'inadvertance du dessinateur. Valve droite, vue en dessus.

- Fig. 24. La même, vue en dedans.  
 Fig. 25. Charnière des deux valves, très grossie.  
 Fig. 26. Grandeur naturelle.

**Lepton textilis**, Desh.

- Fig. 27. Valve droite, grossie sept fois, montrant la surface extérieure.  
 Fig. 28. La même, vue en dedans, et charnière de la valve opposée.  
 Fig. 29. Figure très grossie d'une portion de la surface extérieure pour montrer la beauté du réseau qui la couvre.  
 Fig. 30. Grandeur naturelle.

**Lepton laevigatum**, Desh.

- Fig. 31. Valve droite, grossie cinq fois, montrant la surface externe.  
 Fig. 32. La même, vue en dedans.  
 Fig. 35. Grandeur naturelle.

**Lepton nitidissimum**, Desh.

- Fig. 33. Portion de la surface extérieure grossie au microscope.  
 Fig. 34. Charnière des deux valves.  
 Fig. 36. Valve droite, vue en dessus.  
 Fig. 37. La même, vue en dedans.  
 Fig. 38. Grandeur naturelle.

**Sportella inaequilateralis**, Desh.

- Fig. 39. Surface extérieure de la valve gauche, grossie deux fois et demie.  
 Fig. 40. La même, vue en dedans.  
 Fig. 41. Grandeur naturelle.

**Sportella macromya**, Desh.

- Fig. 42. Valve gauche, grossie deux fois, vue en dessus.  
 Fig. 43. La même, vue en dedans, et charnière de la valve opposée.  
 Fig. 44. Grandeur naturelle.

## PLANCHE L.

**Erycina Bernayi, Desh.**

- Fig. 1. Valve gauche, grossie trois fois, vue en dessus.  
 Fig. 2. La même, montrant l'intérieur.  
 Fig. 3. Charnière très grossie.  
 Fig. 4. Grandeur naturelle.

**Erycina nitidula, Desh.**

- Fig. 5. Surface extérieure de la valve droite grossie quatre fois.  
 Fig. 6. La même valve, vue en dedans, et charnière de la valve gauche.  
 Fig. 7. Grandeur naturelle.

**Erycina pectinula, Desh.**

- Fig. 8. Valve droite, grossie trois fois, montrant la surface externe.  
 Fig. 9. Intérieur de la même valve.  
 Fig. 10. Grandeur naturelle.  
 Fig. 11. Charnière très grossie.

**Erycina douaciformis, Desh.**

- Fig. 12. Surface extérieure de la valve droite, grossie cinq fois.  
 Fig. 13. La même vue en dedans.  
 Fig. 14. Grandeur naturelle.

**Erycina denticus, Desh.**

- Fig. 15. Surface extérieure de la valve gauche, grossie sept fois.  
 Fig. 16. La même valve, vue en dedans.  
 Fig. 17. Grandeur naturelle.

**Erycina trigonularis, Desh.**

- Fig. 18. Valve gauche, grossie sept fois, vue en dessus.  
 Fig. 19. La même, vue en dedans.  
 Fig. 20. Grandeur naturelle.

**Erycina breviscula, Desh.**

- Fig. 21. Valve droite, grossie huit fois, montrant la surface externe.  
 Fig. 22. Surface intérieure de la même.  
 Fig. 23. Sa charnière très grossie.  
 Fig. 24. Grandeur naturelle.

**Erycina pauciplicata, Desh.**

- Fig. 25. Valve droite, grossie cinq fois, vue en dessus.  
 Fig. 26. La même, vue en dedans.  
 Fig. 27. Grandeur naturelle.

**Erycina tenuicula, Desh.**

- Fig. 28. Surface extérieure de la valve droite grossie trois fois.  
 Fig. 29. Surface intérieure de la même valve.  
 Fig. 30. Grandeur naturelle.

**Erycina solidula, Desh.**

- Fig. 31. Valve droite, vue en dessus; elle est grossie trois fois.  
 Fig. 32. Surface intérieure de la même valve.  
 Fig. 33. Grandeur naturelle.

**Erycina subtriangularis, Desh.**

- Fig. 34. Valve gauche, grossie trois fois, vue en dessus.  
 Fig. 35. La même, montrant l'intérieur.  
 Fig. 36. Charnière très grossie des deux valves.  
 Fig. 37. Grandeur naturelle.

**Erycina terminalis, Desh.**

- Fig. 38. Valve droite, grossie sept fois, vue en dessus.  
 Fig. 39. Intérieur de la même valve.  
 Fig. 40. Portion très grossie de la surface externe, pour montrer les stries obliques dont elle est ornée.
-

## PLANCHE LI.

**Hippagus Leanus**, Desh.

- Fig. 1. Surface extérieure de la valve droite grossie huit fois.  
 Fig. 2. La même, vue en dedans.  
 Fig. 3. Grandeur naturelle.

**Erycina irregularis**, Recluz.

- Fig. 4. Valve droite, vue en dessus, grossie cinq fois.  
 Fig. 5. Intérieur de la même valve.  
 Fig. 6. Grandeur naturelle.

**Erycina halitus**, Desh.

- Fig. 7. Valve droite, grossie trois fois, montrant l'extérieur.  
 Fig. 8. La même montrant l'intérieur.  
 Fig. 9. Grandeur naturelle.

**Erycina obliqua**, Caillat.

- Fig. 10. Surface extérieure de la valve droite, grossie trois fois.  
 Fig. 11. La même montrant l'intérieur, et charnière de la valve gauche.  
 Fig. 12. Grandeur naturelle.

**Erycina Caillati**, Desh.

- Fig. 13. Valve gauche, grossie trois fois, montrant l'intérieur.  
 Fig. 14. Surface extérieure de la même.  
 Fig. 15. Charnière très grossie.  
 Fig. 16. Grandeur naturelle.

**Erycina Recluzii**, Desh.

- Fig. 17. Valve droite, grossie trois fois, vue en dessus.  
 Fig. 18. La même, vue en dedans, et charnière de la valve opposée.  
 Fig. 19. Charnière très grossie.  
 Fig. 20. Grandeur naturelle.

**Erycina Baudoni**, Desh.

- Fig. 21. Surface extérieure de la valve droite, grossie trois fois.  
 Fig. 22. La même, vue en dedans, et charnière de la valve gauche.  
 Fig. 23. Grandeur naturelle.

**Erycina Intens**, Desh.

- Fig. 24. Surface extérieure de la valve gauche, grossie trois fois.  
 Fig. 25. La même, vue en dedans.  
 Fig. 26. Charnière très grossie.  
 Fig. 27. Grandeur naturelle.

**Erycina bracteola**, Desh.

- Fig. 28. Valve gauche, grossie trois fois, vue en dessus.  
 Fig. 29. La même, vue en dedans, et charnière de la valve droite.  
 Fig. 30. Grandeur naturelle.

**Erycina Defranci**, Recluz.

- Fig. 31. Valve gauche, grossie trois fois, montrant la surface extérieure.  
 Fig. 32. Intérieur de la même valve.  
 Fig. 33. Charnière des deux valves très grossies.  
 Fig. 34. Grandeur naturelle.

**Erycina symmetrica**, Desh.

- Fig. 35. Valve gauche, grossie quatre fois, vue en dessus.  
 Fig. 36. La même, vue en dedans, et charnière de la valve droite.  
 Fig. 37. Grandeur naturelle.

**Erycina striatissima**, Desh.

- Fig. 38. Valve gauche, grossie trois fois, montrant la surface externe.  
 Fig. 39. Intérieur de la même valve.  
 Fig. 40. Charnière très grossie des deux valves.  
 Fig. 41. Grandeur naturelle.
-

## PLANCHE LII.

**Erycina pusiola, Desh.**

- Fig. 1. Valve gauche, grossie huit fois, vue en dessus.  
 Fig. 2. Intérieur de la même valve.  
 Fig. 3. Grandeur naturelle.

**Erycina affinis, Desh.**

- Fig. 4. Valve droite, grossie six fois, montrant la surface extérieure.  
 Fig. 5. La même, vue en dedans.  
 Fig. 6. Grandeur naturelle.

**Erycina Passyana, Desh.**

- Fig. 7. Valve gauche, grossie cinq fois, montrant l'intérieur.  
 Fig. 8. La même, vue en dessus.  
 Fig. 9. Grandeur naturelle.

**Erycina Foucardi, Desh.**

- Fig. 10. Valve gauche, grossie six fois, vue en dessus.  
 Fig. 11. La même, vue en dedans.  
 Fig. 12. Charnière très grossie des deux valves.  
 Fig. 13. Grandeur naturelle.

**Erycina Rauliniana, Desh.**

- Fig. 14. Valve droite, grossie six fois, montrant la surface externe.  
 Fig. 15. La même, vue en dedans.  
 Fig. 16. Grandeur naturelle.

**Erycina Parisiensis, Recluz.**

- Fig. 17. Surface extérieure de la valve droite, grossie cinq fois.  
 Fig. 18. La même, vue en dedans.  
 Fig. 19. Grandeur naturelle.

**Erycina signata, Desh.**

- Fig. 20. Surface extérieure de la valve gauche, grossie cinq fois.  
 Fig. 21. Intérieur de la même valve.  
 Fig. 22. Grandeur naturelle.

**Erycina modiolina, Desh.**

- Fig. 23. Valve gauche, grossie quatre fois, vue en dessus.  
 Fig. 24. Surface intérieure de la même.  
 Fig. 25. Charnière très grossie.  
 Fig. 26. Grandeur naturelle.

**Erycina longidentata, Desh.**

- Fig. 27. Surface extérieure de la valve droite, grossie cinq fois.  
 Fig. 28. Surface intérieure de la même valve.  
 Fig. 29. Grandeur naturelle.

**Erycina Lamarckii, Desh.**

- Fig. 30. Surface extérieure de la valve droite, grossie six fois.  
 Fig. 31. Surface intérieure de la même valve.  
 Fig. 32. Grandeur naturelle.

**Erycina arcta, Desh.**

- Fig. 33. Valve droite, grossie cinq fois, vue en dessus.  
 Fig. 34. La même, montrant l'intérieur.  
 Fig. 35. Charnière très grossie.  
 Fig. 36. Grandeur naturelle.

**Erycina calyculata, Baudon.**

- Fig. 37. Surface extérieure de la valve droite, grossie cinq fois.  
 Fig. 38. Intérieur de la même valve.  
 Fig. 39. Charnière très grossie des deux valves.  
 Fig. 40. Grandeur naturelle.
-

## PLANCHE LIII.

**Erycina parvula**, Desh.

- Fig. 1. Valve gauche grossie huit fois, vue en dessus.  
 Fig. 2. La même, montrant l'intérieur.  
 Fig. 3. Grandeur naturelle.

**Erycina crassidens**, Desh.

- Fig. 4. Valve gauche grossie six fois, montrant la surface externe.  
 Fig. 5. La même, vue en dedans.  
 Fig. 6. Grandeur naturelle.

**Erycina diversa**, Desh.

- Fig. 7. Valve gauche grossie cinq fois, vue en dessus.  
 Fig. 8. Intérieur de la même et charnière de la valve opposée.  
 Fig. 9. Grandeur naturelle.

**Erycina radiatula**, Desh.

- Fig. 10. Valve gauche grossie six fois, vue en dessus.  
 Fig. 11. Surface intérieure de la même.  
 Fig. 12. Grandeur naturelle.

**Erycina emarginata**, Desh.

- Fig. 13. Valve gauche grossie six fois, vue en dessus.  
 Fig. 14. Intérieur de la même.  
 Fig. 15. Grandeur naturelle.

**Erycina obsoleta**, Desh.

- Fig. 16. Valve droite grossie cinq fois, vue en dessus.  
 Fig. 17. Intérieur de la même.  
 Fig. 18. Charnière très grossie.  
 Fig. 19. Grandeur naturelle.

**Erycina squama**, Desh.

- Fig. 20. Valve droite grossie six fois, montrant la surface extérieure.  
 Fig. 21. La même, offrant l'intérieur.  
 Fig. 22. Grandeur naturelle.

**Pythina lata**, Desh.

- Fig. 23. Valve droite grossie six fois, montrant l'extérieur.  
 Fig. 24. La même, vue en dedans.  
 Fig. 25. Grandeur naturelle.

**Pythina lobata**, Desh.

- Fig. 26. Valve gauche, vue en dessus.  
 Fig. 27. La même, vue en dedans.  
 Fig. 28. Grandeur naturelle.

**Pythina pustulosa**, Desh.

- Fig. 29. Valve gauche grossie cinq fois, surface externe.  
 Fig. 30. Intérieur de la même.  
 Fig. 31. Grandeur naturelle.

**Pythina arcuata**, Lamk., spec.

- Fig. 32. Valve gauche grossie six fois, vue en dessus.  
 Fig. 33. La même, montrant l'intérieur.  
 Fig. 34. Charnière des deux valves, très grossie.  
 Fig. 35. Grandeur naturelle.

**Pythina inaequilobata**, Desh.

- Fig. 36. Surface extérieure de la valve gauche, grossie six fois.  
 Fig. 37. La même, montrant l'intérieur.  
 Fig. 38. Grandeur naturelle.

## PLANCHE LIV.

**Cardium parfle**, Desh.

- Fig. 1. Valve gauche de grandeur naturelle, vue en dessus.  
 Fig. 2. La même, vue en dedans, et charnière de la valve droite.  
 Fig. 3. Les valves réunies, montrant la région dorsale.

**Cardium fraterculus**, Desh.

- Fig. 4. Valve gauche, grandeur naturelle, vue en dessus.  
 Fig. 5. Intérieur de la même.  
 Fig. 6. Profil de la région dorsale grossie deux fois.

**Cardium fraudator**, Desh.

- Fig. 7. Valve droite, grandeur naturelle, vue en dessus.  
 Fig. 8. La même, vue en dedans.

**Cardium Hornesi**, Desh.

- Fig. 9. Valve gauche de grandeur naturelle, vue en dessus.  
 Fig. 10. Intérieur de la même, et charnière de la valve droite.  
 Fig. 11. Profil du côté postérieur, grossi deux fois.

**Cardium multisquamatum**, Desh.

- Fig. 12. Valve gauche grossie quatre fois, vue en dessus.  
 Fig. 13. La même, vue en dedans.  
 Fig. 14. Portion très grossie de la surface externe.  
 Fig. 15. Grandeur naturelle.

**Cardium Wateleti**, Desh.

- Fig. 16. Valve gauche de grandeur naturelle, vue en dessus.  
 Fig. 17. La même, montrant l'intérieur.  
 Fig. 18. Profil du côté postérieur.
-

## PLANCHE LV.

**Cardium semiasperum**, Desh.

- Fig. 1. Valve gauche de grandeur naturelle, vue en dedans, et charnière de la valve droite.  
 Fig. 2. La même valve, vue en dessus.

**Cardium subdiscors**, d'Orb.

- Fig. 3. Intérieur de la valve gauche, grandeur naturelle, et charnière de la valve droite.  
 Fig. 4. La même valve, vue en dessus.  
 Fig. 5. Profil du côté postérieur.

**Cardium difficile**, Desh.

- Fig. 6. Valve gauche de grandeur naturelle, vue en dedans.  
 Fig. 7. Extérieur de la même.

**Cardium patruclianum**, Desh.

- Fig. 8. Valve droite grossie quatre fois, vue en dedans.  
 Fig. 9. La même, vue en dessus.  
 Fig. 10. Grandeur naturelle.

**Cardium l'Evesquei**, Desh.

- Fig. 11. Valve gauche grossie deux fois, montrant l'intérieur.  
 Fig. 12. La même, vue en dessus.  
 Fig. 13. Portion très grossie de la surface externe.  
 Fig. 14. Grandeur naturelle.

**Cardium ingratum**, Desh.

- Fig. 15. Valve droite grossie une fois et demie, montrant l'intérieur.  
 Fig. 16. La même, vue en dessus.  
 Fig. 17. Grandeur naturelle.

**Cardium convexum**, Desh.

- Fig. 18. Valve gauche grossie quatre fois, vue en dedans.  
 Fig. 19. La même, vue en dehors.  
 Fig. 20. Portion très grossie de la surface extérieure.  
 Fig. 21. Grandeur naturelle.

**Cardium venustum**, Desh.

- Fig. 22. Valve gauche grossie deux fois, montrant l'intérieur, et charnière de la valve droite.  
 Fig. 23. Valve gauche, vue en dessus.  
 Fig. 24. Grandeur naturelle.

**Cardium pulchrum**, Desh.

- Fig. 25. Valve gauche grossie deux fois, montrant l'intérieur.  
 Fig. 26. La même, vue en dessus.  
 Fig. 27. Portion très grossie de la surface externe.  
 Fig. 28. Grandeur naturelle.

## PLANCHE LVI.

**Cardium Bazini**, Desh.

- Fig. 1. Intérieur de la valve droite.  
 Fig. 2. La même, vue en dessus.  
 Fig. 3. Profil du côté postérieur, au moyen duquel on a pu représenter le bâillement naturel de la coquille.  
 Fig. 4. Portion très grossie de la surface extérieure.

**Cardium trifidum**, Desh.

- Fig. 5. Valve droite grossie deux fois, montrant l'intérieur.  
 Fig. 6. Surface externe de la même.  
 Fig. 7. Grandeur naturelle.

**Cardium formosum**, Desh.

- Fig. 8. Valve gauche grossie deux fois, vue en dedans.  
 Fig. 9. La même, vue en dessus.  
 Fig. 10. Portion très grossie de la surface extérieure.  
 Fig. 11. Grandeur naturelle.

**Cardium impeditum**, Desh.

- Fig. 12. Intérieur de la valve gauche grossi une fois et demie.  
 Fig. 13. Surface extérieure de la même.  
 Fig. 14. Grandeur naturelle.

**Cardium disceptum**, Desh.

- Fig. 15. Valve gauche grossie deux fois, vue en dedans.  
 Fig. 16. La même, vue en dessus.  
 Fig. 17. Grandeur naturelle.

**Cardium tenuisulcatum**, Nyst.

- Fig. 18. Valve droite de grandeur naturelle, montrant l'intérieur.  
 Fig. 19. La même, vue en dessus.  
 Fig. 20. Portion très grossie de la surface externe.

**Cardium Raulini**, Hébert.

- Fig. 21. Intérieur de la valve gauche grossi trois fois.  
 Fig. 22. Surface extérieure de la même.  
 Fig. 23. Portion très grossie de la surface externe.  
 Fig. 24. Grandeur naturelle.

**Cardium DeFrancii**, Desh.

- Fig. 25. Valve gauche grossie trois fois, vue en dedans.  
 Fig. 26. La même, vue en dessus.  
 Fig. 27. Portion très grossie de la surface.  
 Fig. 28. Grandeur naturelle.

**Cardium scobinula**, Mérian.

- Fig. 29. Valve droite grossie six fois, montrant l'intérieur.  
 Fig. 30. Valve gauche, vue en dessus.  
 Fig. 31. Portion très grossie de la surface extérieure.  
 Fig. 32. Grandeur naturelle.
-

## PLANCHE LVII.

**Cypricardia Caillati**, Desh.

- Fig. 1. Valve droite, grandeur naturelle, vue en dessus.  
 Fig. 2. La même valve, vue en dedans, et charnière de la valve opposée.

**Cypricardia acutangula**, Desh.

- Fig. 3. Valve gauche, un peu grossie, vue en dessus.  
 Fig. 4. La même, vue en dedans.  
 Fig. 5. Les valves réunies montrant le côté postérieur.

**Cypricardia isocardioides**, Desh.

- Fig. 6. Valve gauche, grossie deux fois, montrant la surface extérieure.  
 Fig. 7. La même, vue en dedans, et charnière de la valve droite.  
 Fig. 8. Les valves réunies, vues de profil, du côté postérieur.  
 Fig. 9. Grandeur naturelle.

**Cypricardia dilatata**, Desh.

- Fig. 10. Valve droite, grossie quatre fois, vue en dessus.  
 Fig. 11. La même, montrant l'intérieur.  
 Fig. 12. Grandeur naturelle.

**Cypricardia edentula**, Desh.

- Fig. 13. Surface extérieure de la valve gauche, grossie quatre fois.  
 Fig. 14. Intérieur de la même valve, et charnière de la valve droite.  
 Fig. 15. Grandeur naturelle.

**Cypricardia irregularis**, Desh.

- Fig. 16. Valve droite de grandeur naturelle, vue en dessus.  
 Fig. 17. La même, vue en dedans.

**Cypricardia tenuis**, Desh.

- Fig. 18. Valve gauche un peu grossie, vue en dessus.  
 Fig. 19. Intérieur de la même.

**Cypricardia obducta**, Desh.

- Fig. 20. Valve gauche grossie deux fois, vue en dessus.  
 Fig. 21. Surface intérieure de la même.  
 Fig. 22. Grandeur naturelle.

**Cypricardia silicula**, Desh.

- Fig. 23. Valve gauche grossie deux fois, montrant la surface externe.  
 Fig. 24. Surface interne de la même valve, et charnière de la valve droite.

**Cypricardia Chevalieri**, Desh.

- Fig. 25. Surface extérieure de la valve gauche, grandeur naturelle.  
 Fig. 26. Intérieur de la même valve, et charnière de la valve droite.

**Cypricardia pulchra**, Desh.

- Fig. 27. Valve gauche grossie deux fois, vue en dessus.  
 Fig. 28. La même vue en dedans, et charnière de la valve droite.  
 Fig. 29. Les valves réunies, vues de profil, du côté postérieur.  
 Fig. 30. Variété de la même espèce, dans laquelle les stries sont plus grosses et plus granuleuses.
-

## PLANCHE LVIII.

**Chama distans**, Desh.

- Fig. 1. Valve droite ou supérieure de grandeur naturelle, montrant sa surface extérieure.  
 Fig. 2. La même, vue en dedans.  
 Fig. 3. Valve gauche ou inférieure, vue en dedans.  
 Fig. 4. La même valve, vue de profil.

**Chama plicatella**, Desh.

- Fig. 5. Valve inférieure, grossie deux fois, vue en dessus.  
 Fig. 6. Intérieur de la même, de grandeur naturelle.  
 Fig. 7. Grandeur naturelle de la valve inférieure.

**Chama crenulata**, Desh.

- Fig. 8. Valve droite, grossie quatre fois, vue en dessus.  
 Fig. 9. La même, vue en dedans.  
 Fig. 10. Grandeur naturelle.  
 Fig. 11. Valve gauche, grossie quatre fois, vue en dessus.  
 Fig. 12. La même, vue en dedans.  
 Fig. 13. Grandeur naturelle.

**Chama punctulata**, Desh.

- Fig. 14. Valve droite, grossie trois fois, montrant la surface extérieure.  
 Fig. 15. La même, vue en dedans.  
 Fig. 16. Grandeur naturelle.

**Chama dentata**, Desh.

- Fig. 17. Valve droite, grossie trois fois, vue en dessus.  
 Fig. 18. La même, montrant la surface interne.  
 Fig. 19. Grandeur naturelle.

**Chama inornata**, Desh.

- Fig. 20. Valve gauche, grossie trois fois, vue en dessus.  
 Fig. 21. La même, vue en dedans.  
 Fig. 22. Grandeur naturelle.

**Chama ponderosa**, Desh.

- Fig. 23. Valve supérieure d'un individu qui a atteint la plus extrême vieillesse, et dont l'épaisseur est extrêmement remarquable.  
 Fig. 24. Le même échantillon, vue en dedans.  
 Fig. 25. Le même, vu de profil.
-

## PLANCHE LIX.

**Woodia marginalis**, Desh.

- Fig. 1. Valve droite, grossie six fois, montrant la surface extérieure.  
 Fig. 2. La même, vue en dedans, et charnière de la valve gauche.  
 Fig. 3. Profil des valves réunies, les montrant du côté postérieur.  
 Fig. 4. Grandeur naturelle.

**Woodia profunda**, Desh.

- Fig. 5. Surface extérieure de la valve gauche, grossie six fois.  
 Fig. 6. Intérieur de la même, et charnière de la valve droite.  
 Fig. 7. Les valves réunies, vues de profil du côté postérieur.  
 Fig. 8. Grandeur naturelle.

**Woodia crenulata**, Desh.

- Fig. 9. Valve gauche, grossie six fois, vue en dessus.  
 Fig. 10. Intérieur de la même, et charnière de la valve droite.  
 Fig. 11. Grandeur naturelle.

**Lutetia umbonata**, Desh.

- Fig. 12. Coquille, grossie huit fois, vue en dessus.  
 Fig. 13. Valve gauche, vue en dedans.  
 Fig. 14. Grandeur naturelle.

**Cardita squamifera**, Desh.

- Fig. 15. Valve gauche, grossie six fois, vue en dessus.  
 Fig. 16. Intérieur de la même.  
 Fig. 17. Grandeur naturelle.

**Goodalla incrassata**, Desh.

- Fig. 18. Valve gauche, grossie six fois, vue en dessus.  
 Fig. 19. La même, montrant l'intérieur.  
 Fig. 20. Grandeur naturelle.

**Cytherea vetula**, Desh.

- Fig. 21. Valve droite, un peu grossie, vue en dessus.  
 Fig. 22. Intérieur de la même.  
 Fig. 23. Les valves réunies, vues de profil du côté postérieur.

**Cytherea stampinensis**, Desh.

- Fig. 24. Valve gauche, grossie trois fois, vue en dessus.  
 Fig. 25. La même, vue en dedans, et charnière de la valve droite.  
 Fig. 26. Grandeur naturelle.

**Cytherea Soror**, Desh.

- Fig. 27. Surface extérieure de la valve gauche de grandeur naturelle.  
 Fig. 28. Intérieur de la même valve, et charnière de la valve droite.  
 Fig. 29. Les valves réunies, vues du côté postérieur.

**Cytherea imbricata**, Desh.

- Fig. 30. Surface extérieure de la valve droite, grandeur naturelle.  
 Fig. 31. Intérieur de la même.  
 Fig. 32. Section transverse pour montrer la direction des côtes.
-

## PLANCHE LX.

**Cardita Bazini**, Desh.

- Fig. 1. Valve gauche de grandeur naturelle, vue en dessus.  
 Fig. 2. La même montrant l'intérieur, et charnière de la valve droite.  
 Fig. 3. Individu entier, montrant la région dorsale.

**Cardita Irregularis**, Desh.

- Fig. 4. Valve droite, grossie deux fois et demie, montrant la surface extérieure.  
 Fig. 5. La même, vue en dedans.  
 Fig. 6. Grandeur naturelle.

**Cardita Insculpta**, Desh.

- Fig. 7. Valve gauche, grossie huit fois, vue en dessus.  
 Fig. 8. Intérieur de la même.  
 Fig. 9. Grandeur naturelle.

**Cardita Davidsoni**, Desh.

- Fig. 10. Surface extérieure de la valve gauche, grandeur naturelle,  
 Fig. 11. Valve droite, vue en dedans, et charnière de la valve gauche.  
 Fig. 12. Les valves réunies, vues du côté dorsal.

**Cardita divergens**, Desh.

- Fig. 13. Surface extérieure de la valve gauche, grandeur naturelle.  
 Fig. 14. Intérieur de la même.

**Cardita propinqua**, Desh.

- Fig. 15. Valve droite, grossie deux fois, montrant la surface extérieure.  
 Fig. 16. La même, vue en dedans, et charnière de la valve gauche.  
 Fig. 17. Grandeur naturelle.

**Cardita crenularis**, Desh.

- Fig. 18. Surface extérieure de la valve droite un peu plus grande que nature.  
 Fig. 19. La même, vue en dedans.  
 Fig. 20. Grandeur naturelle.

**Cardita Kickxii**, Nyst.

- Fig. 21. Valve droite, grossie deux fois, vue en dessus.  
 Fig. 22. La même, vue en dedans, et charnière de la valve gauche.  
 Fig. 23. Les valves réunies, montrant la région dorsale.  
 Fig. 24. Grandeur naturelle.

**Cardita serrulata**, Desh.

- Fig. 25. Surface extérieure de la valve gauche.  
 Fig. 26. La même, vue en dedans ; elle est grossie deux fois.  
 Fig. 27. Grandeur naturelle.

**Cardita ambigua**, Desh.

- Fig. 28. Valve droite, grossie deux fois, vue en dessus.  
 Fig. 29. Intérieur de la même.  
 Fig. 30. Valves réunies, montrant la région dorsale.  
 Fig. 31. Grandeur naturelle.
-

## PLANCHE LXI.

**Cardita profunda**, Desh.

- Fig. 1. Valve gauche grossie deux fois, montrant la surface externe.  
 Fig. 2. La même, vue en dedans, et charnière de la valve droite.  
 Fig. 3. Individu complet montrant la région dorsale.  
 Fig. 4. Portion très grossie pour montrer la disposition des écailles.  
 Fig. 5. Grandeur naturelle.

**Cardita Caumontiensis**, Desh.

- Fig. 6. Surface extérieure de la valve droite, grossie deux fois.  
 Fig. 7. Intérieur de la même.  
 Fig. 8. Grandeur naturelle.

**Cardita imperfecta**, Desh.

- Fig. 9. Valve gauche, grandie d'un demi-diamètre, vue en dessus.  
 Fig. 10. La même vue en dedans, et charnière de la valve opposée.  
 Fig. 11. Grandeur naturelle.

**Cardita pusilla**, Desh.

- Fig. 12. Valve gauche, grossie quatre fois, vue en dessus.  
 Fig. 13. Intérieur de la même valve, et charnière de la valve droite.  
 Fig. 14. Profil de la région dorsale montrant la lunule.  
 Fig. 15. Grandeur naturelle.

**Cardita ornata**, Desh.

- Fig. 16. Surface extérieure de la valve gauche, grossie quatre fois.  
 Fig. 17. La même, vue en dedans.  
 Fig. 18. Partie très grossie de la surface extérieure.  
 Fig. 19. Grandeur naturelle.

**Cardita onerata**, Desh.

- Fig. 20. Valve droite, grossie deux fois, vue en dessus.  
 Fig. 21. La même, vue en dedans.  
 Fig. 22. Individu complet montrant la région dorsale.  
 Fig. 23. Portion très grossie de la surface.  
 Fig. 24. Grandeur naturelle.

**Cardita pulchra**, Desh.

- Fig. 25. Surface extérieure de la valve droite, grossie deux fois.  
 Fig. 26. La même, vue à l'intérieur.  
 Fig. 27. Grandeur naturelle.

**Cardita aliena**, Desh.

- Fig. 28. Valve gauche, grossie deux fois, vue en dessus.  
 Fig. 29. La même, en dedans, et charnière de la valve droite.  
 Fig. 30. Profil de la région dorsale.  
 Fig. 31. Grandeur naturelle.

**Cardita Aizyensis**, Desh.

- Fig. 32. Surface extérieure de la valve gauche, grossie deux fois.  
 Fig. 33. La même, vue en dedans, et charnière de la valve droite.  
 Fig. 34. Grandeur naturelle.

## PLANCHE LXII.

**Unio Michaudi**, Desh.

- Fig. 1. Valve droite, de grandeur naturelle, vue en dedans.  
Fig. 2. La même, montrant la surface extérieure.  
Fig. 3. Variété plus courte et plus convexe montrant la région dorsale, avec le ligament en place.  
Fig. 4. Valve gauche de la même variété montrant l'intérieur.  
Fig. 5. La même, vue en dessus.

**Unio truncatosa**, Michaud.

- Fig. 6. Surface intérieure de la valve gauche, de grandeur naturelle.  
Fig. 7. Valve droite, vue en dessus.  
Fig. 8. Région dorsale, vue de profil.

**Unio Deshayesi**, Watelet.

- Fig. 9. Charnière de la valve droite.  
Fig. 10. Valve gauche, de grandeur naturelle, vue en dedans  
Fig. 11. Valve droite, vue en dessus.  
Fig. 12. Le crochet grossi, montrant les plis dont il est orné
-

## PLANCHE LXIII.

**Cardita Prevosti, Desh.**

- Fig. 1. Valve gauche, vue en dedans, et charnière de la valve droite, grossies deux fois.  
 Fig. 2. Surface extérieure de la même.  
 Fig. 3. Portion très grossie montrant les granulations des côtes.  
 Fig. 4. Profil de la région dorsale.

**Cardita Couradi, Desh.**

- Fig. 5. Intérieur de la valve gauche, et charnière de la valve opposée, grossies deux fois.  
 Fig. 6. La même, vue en dessus.  
 Fig. 7. Profil de la région dorsale.  
 Fig. 8. Grandeur naturelle.

**Cardita radiolata, Desh.**

- Fig. 9. Valve gauche, vue en dedans, grossie trois fois, et charnière de la valve droite.  
 Fig. 10. La même, vue en dessus.  
 Fig. 11. Grandeur naturelle.

**Cardita astartoides, Desh.**

- Fig. 12. Surface interne de la valve gauche, et charnière de la valve droite, grossies quatre fois.  
 Fig. 13. Surface extérieure de la valve gauche.  
 Fig. 14. Grandeur naturelle.

**Cardita modica, Desh.**

- Fig. 15. Valve droite, grossie huit fois, vue en dedans.  
 Fig. 16. La même, vue en dessus.  
 Fig. 17. Grandeur naturelle.

**Cardita atomus, Desh.**

- Fig. 18. Valve gauche, grossie quinze fois, vue en dedans.  
 Fig. 19. La même, vue en dessus.  
 Fig. 20. Grandeur naturelle.

**Goodallia sulcata, Desh.**

- Fig. 21. Valve droite, grossie huit fois, montrant la surface interne.  
 Fig. 22. La même, vue en dessus.  
 Fig. 23. Grandeur naturelle.

**Goodallia laevigata, Desh.**

- Fig. 24. Valve gauche, grossie six fois, vue en dedans.  
 Fig. 25. La même, vue en dessus.  
 Fig. 26. Grandeur naturelle.

**Goodallia Heronvallensis, Desh.**

- Fig. 27. Surface intérieure de la valve gauche, et charnière de la valve droite, grossies sept fois.  
 Fig. 28. Valve gauche, vue en dessus.  
 Fig. 29. Grandeur naturelle.

**Goodallia terminalis, Desh.**

- Fig. 30. Intérieur de la valve gauche, grossie cinq fois.  
 Fig. 31. La même, vue en dessus.  
 Fig. 32. Grandeur naturelle.
-

## PLANCHE LXIV.

***Nucula mixta*, Desh.**

- Fig. 1. Valve gauche, de grandeur naturelle, vue en dessus.  
 Fig. 2. La même, montrant l'intérieur.  
 Fig. 3. Charnière des deux valves, très grossie.  
 Fig. 4. Profil de la région dorsale.

***Nucula terminalis*, Desh.**

- Fig. 5. Surface extérieure de la valve droite, de grandeur naturelle.  
 Fig. 6. La même, vue en dedans.  
 Fig. 7. Charnière de la même, très grossie.  
 Fig. 8. Profil de la région dorsale.

***Nucula Bronni*, Desh.**

- Fig. 9. Valve droite, de grandeur naturelle, vue en dessus.  
 Fig. 10. La même, montrant l'intérieur.  
 Fig. 11. Charnière très grossie.  
 Fig. 12. Profil de la région dorsale.

***Nucula Greppini*, Desh.**

- Fig. 13. Surface extérieure de la valve droite, de grandeur naturelle.  
 Fig. 14. La même, vue en dedans.  
 Fig. 15. Charnière très grossie.  
 Fig. 16. Profil de la région dorsale.

***Nucula minor*, Desh.**

- Fig. 17. Valve gauche, grossie cinq fois, vue en dessus.  
 Fig. 18. La même, vue en dedans.  
 Fig. 19. Charnière très grossie.  
 Fig. 20. Grandeur naturelle.

***Nucula capillacea*, Desh.**

- Fig. 21. Valve gauche, grossie cinq fois, vue en dessus.  
 Fig. 22. Intérieur de la même.  
 Fig. 23. Charnière très grossie.

***Leda gracilis*, Desh.**

- Fig. 24. Valve droite, grossie trois fois, vue en dessus.  
 Fig. 25. La même, vue en dedans.  
 Fig. 26. Grandeur naturelle.

***Trigonocelia inequilateralis*, d'Orb.**

- Fig. 27. Surface extérieure de la valve droite, grossie trois fois.  
 Fig. 28. Surface intérieure de la même.  
 Fig. 29. Profil de la région dorsale.  
 Fig. 30. Grandeur naturelle.

***Trigonocelia cancellata*, Desh.**

- Fig. 31. Valve gauche, grossie deux fois, vue en dessus.  
 Fig. 32. Intérieur de la même.  
 Fig. 33. Profil de la région dorsale.  
 Fig. 34. Charnière très grossie.  
 Fig. 35. Grandeur naturelle.
-

## PLANCHE LXV.

**Trigonocœlia crassa**, Desh.

- Fig. 1. Valve gauche, grossie six fois, vue en dessus.  
 Fig. 2. La même vue en dedans, et charnière de la valve droite.  
 Fig. 3. Profil de la région dorsale.  
 Fig. 4. Grandeur naturelle.

**Trigonocœlia media**, Desh.

- Fig. 5. Surface extérieure de la valve gauche, grossie six fois.  
 Fig. 6. La même vue en dedans, et charnière de l'autre valve.  
 Fig. 7. Grandeur naturelle.

**Leda costulata**, Desh.

- Fig. 8. Valve gauche, grossie six fois, vue en dessus.  
 Fig. 9. Intérieur de la même.  
 Fig. 10. Grandeur naturelle.

**Trigonocœlia Jeurcensis**, Desh.

- Fig. 11. Surface extérieure de la valve droite, grossie sept fois.  
 Fig. 12. La même, vue en dedans.  
 Fig. 13. Profil du côté dorsal.  
 Fig. 14. Grandeur naturelle.

**Leda prisca**, Desh.

- Fig. 15. Valve gauche, grossie sept fois, vue en dessus.  
 Fig. 16. La même, montrant l'intérieur.  
 Fig. 17. Grandeur naturelle.

**Arca Morleri**, Desh.

- Fig. 18. Valve gauche, de grandeur naturelle, vue en dessus.  
 Fig. 19. La même, vue en dedans.

**Arca minuata**, Desh.

- Fig. 20. Surface extérieure de la valve gauche, grossie deux fois.  
 Fig. 21. La même, vue en dedans.  
 Fig. 22. Grandeur naturelle.  
 Fig. 23. Partie grossie de la surface.

**Arca Bernayi**, Desh.

- Fig. 24. Valve gauche, grossie deux fois, vue en dessus.  
 Fig. 25. La même, vue en dedans.  
 Fig. 26. Grandeur naturelle.

**Arca insignis**, Desh.

- Fig. 27. Valve droite, de grandeur naturelle, vue en dessus.  
 Fig. 28. La même, montrant l'intérieur.

**Arca contorta**, Desh.

- Fig. 29. Valve droite, grossie deux fois, montrant le dessus.  
 Fig. 30. La même, vue en dedans.  
 Fig. 31. Portion très grossie de la surface.  
 Fig. 32. Grandeur naturelle.
-

## PLANCHE LXVI.

**Leda Galcottiana, Nyst.**

- Fig. 1. Intérieur de la valve gauche, grossie quatre fois.  
 Fig. 2. La même, vue en dessus.  
 Fig. 3. Grandeur naturelle.

**Arca asperula, Desh.**

- Fig. 4. Valve gauche, vue en dedans, grossie deux fois,  
 Fig. 5. La même, vue en dessus.  
 Fig. 6. Grandeur naturelle.

**Arca condita, Desh.**

- Fig. 7. Intérieur de la valve gauche, de grandeur naturelle.  
 Fig. 8. La même, vue en dessus.

**Arca amygdaloides, Desh.**

- Fig. 9. Valve droite, de grandeur naturelle, vue en dedans.  
 Fig. 10. La même, vue en dessus.  
 Fig. 11. Portion grossie de l'extrémité postérieure.

**Arca textiliosa, Desh.**

- Fig. 12. Intérieur de la valve gauche, de grandeur naturelle.  
 Fig. 13. La même, vue en dessus.  
 Fig. 14. Portion grossie de la surface.

**Arca aviculina, Desh.**

- Fig. 15. Intérieur de la valve gauche, grandie d'une fois et demie.  
 Fig. 16. La même, vue en dessus.  
 Fig. 17. Grandeur naturelle.

**Arca distans, Desh.**

- Fig. 18. Surface interne de la valve droite, grossie deux fois.  
 Fig. 19. Surface extérieure de la même.  
 Fig. 20. Grandeur naturelle.

Var.  $\beta$ .

- Fig. 21. Valve droite, grossie trois fois, vue en dedans.  
 Fig. 22. La même, vue en dessus.  
 Fig. 23. Grandeur naturelle.

**Arca Edwardsii, Desh.**

- Fig. 24. Valve gauche, grossie deux fois, vue en dedans.  
 Fig. 25. La même, montrant le dessus.  
 Fig. 26. Grandeur naturelle.
-

## PLANCHE LXVII.

**Arca striatularis**, Desh.

- Fig. 1. Valve gauche, de grandeur naturelle, vue en dessus.  
 Fig. 2. La même, montrant l'intérieur.

**Arca Marceauxiana**, Desh.

- Fig. 3. Valve gauche, de grandeur naturelle, vue en dessus.  
 Fig. 4. La même, vue en dedans.  
 Fig. 5. Charnière très grossie : les dents sont simples.

**Arca Rigaultiana**, Desh.

- Fig. 6. Surface extérieure de la valve gauche, grandeur naturelle.  
 Fig. 7. La même, vue en dedans.

**Arca inaspecta**, Desh.

- Fig. 8. Valve gauche, grossie deux fois, vue en dessus.  
 Fig. 9. La même, vue en dedans.  
 Fig. 10. Grandeur naturelle.  
 Fig. 10 bis. Charnière très grossie, montrant les crénelures des dents.

**Arca interposita**, Desh.

- Fig. 11. Surface extérieure de la valve gauche, grossie quatre fois.  
 Fig. 12. La même, vue en dedans.  
 Fig. 13. Grandeur naturelle.

**Arca dispar**, Desh.

- Fig. 14. Valve droite, grossie quatre fois, vue en dessus.  
 Fig. 15. La même, vue en dedans.  
 Fig. 16. Valve gauche, grossie de même, vue en dessus.  
 Fig. 17. La même, vue en dedans.  
 Fig. 18. Les valves réunies montrant la région dorsale.  
 Fig. 19. Les mêmes, au trait, pour faire apprécier leur inégalité.  
 Fig. 20, 21. Grandeur naturelle de chaque valve.

**Arca heterodonta**, Desh.

- Fig. 22. Valve droite, grossie d'un tiers, vue en dessus.  
 Fig. 23. La même, vue en dedans.  
 Fig. 24. Charnière grossie montrant tous les détails de sa structure.  
 Fig. 25. Portion très grossie de la surface.

**Arca lucida**, Desh.

- Fig. 26. Surface externe de la valve gauche, grossie deux fois.  
 Fig. 27. La même, vue en dedans.  
 Fig. 28. Grandeur naturelle.

**Arca cfossa**, Desh.

- Fig. 29. Valve gauche, grossie huit fois, vue en dessus.  
 Fig. 30. Surface intérieure de la même.  
 Fig. 31. Région dorsale, vue de profil.  
 Fig. 32. Grandeur naturelle.
-

## PLANCHE LXVIII.

**Arca Sandbergeri**, Desh.

- Fig. 1. Valve gauche, de grandeur naturelle, vue en dessus.  
 Fig. 2. La même, vue en dedans.  
 Fig. 3. Les valves réunies montrant la région dorsale.

**Arca Caillati**, Desh.

- Fig. 4. Surface extérieure de la valve gauche, grossie quatre fois.  
 Fig. 5. La même, vue en dedans.  
 Fig. 6. Grandeur naturelle.

**Arca adversidentata**, Desh.

- Fig. 7. Valve droite, grossie quatre fois, montrant la surface externe.  
 Fig. 8. La même, vue en dedans.  
 Fig. 9. Grandeur naturelle.

**Arca multidentata**, Desh.

- Fig. 10. Valve gauche, grossie quatre fois, vue en dedans.  
 Fig. 11. La même, vue en dessus.  
 Fig. 12. Grandeur naturelle.

**Arca capillacea**, Desh.

- Fig. 13. Valve gauche, grossie deux fois, vue en dessus.  
 Fig. 14. La même, vue en dedans.  
 Fig. 15. Grandeur naturelle.

**Arca Margaritula**, Desh.

- Fig. 16. Surface extérieure de la valve gauche, grossie quatre fois.  
 Fig. 17. La même, vue en dedans.  
 Fig. 18. Profil de la région dorsale.  
 Fig. 19. Grandeur naturelle.

**Arca decipiens**, Desh.

- Fig. 20. Valve droite, vue en dessus, grossie quatre fois.  
 Fig. 21. La même, vue en dedans.  
 Fig. 22. Grandeur naturelle.

**Arca laevigata**, Caillat.

- Fig. 23. Valve gauche, grossie dix fois, vue en dessus.  
 Fig. 24. La même, vue en dedans.  
 Fig. 25. Valve droite, au même grossissement, montrant le dessus.  
 Fig. 26. Grandeur naturelle.

**Arca textilis**, Desh.

- Fig. 27. Valve gauche, grossie six fois, surface extérieure.  
 Fig. 28. La même, vue en dedans.  
 Fig. 29. Grandeur naturelle.

**Arca disjuncta**, Desh.

- Fig. 30. Surface extérieure de la valve gauche, grossie six fois.  
 Fig. 31. La même, vue en dedans.  
 Fig. 32. Grandeur naturelle.

## PLANCHE LXIX.

**Arca exornata**, Desh.

- Fig. 1. Coquille grossie trois fois, vue en dessus.  
 Fig. 2. La même, montrant l'intérieur.  
 Fig. 3. Grandeur naturelle.

**Arca lamellosa**, Desh.

- Fig. 4. Valve gauche grossie deux fois et demie, vue en dessus.  
 Fig. 5. La même, vue en dedans.  
 Fig. 6. Grandeur naturelle.

Var.  $\beta$ .

- Fig. 7. Surface externe de la valve gauche, grossie trois fois.  
 Fig. 8. Intérieur de la même.  
 Fig. 9. Grandeur naturelle.

**Arca Landnensis**, Desh.

- Fig. 10. Valve gauche grossie trois fois, montrant le dessus.  
 Fig. 11. Surface intérieure de la même.  
 Fig. 12. Les valves réunies montrant la région dorsale.  
 Fig. 13. Grandeur naturelle.

**Arca altera**, Desh.

- Fig. 14. Valve droite grossie quatre fois, en dessus.  
 Fig. 15. La même, vue en dedans.  
 Fig. 16. Grandeur naturelle.

**Arca paucidentata**, Desh.

- Fig. 17. Surface extérieure de la valve droite, grossie quatre fois.  
 Fig. 18. La même valve, vue en dedans.  
 Fig. 19. Portion très grossie de la surface extérieure.  
 Fig. 20. Grandeur naturelle.  
 Fig. 21. Charnière grossie.

**Arca gracilis**, Desh.

- Fig. 22. Valve droite grossie six fois, vue en dedans.  
 Fig. 23. Surface extérieure de la même.  
 Fig. 24. Grandeur naturelle.

**Arca intersecta**, Desh.

- Fig. 25. Valve gauche grossie deux fois et demie, vue en dessus.  
 Fig. 26. Surface intérieure de la même.  
 Fig. 27. Grandeur naturelle.

**Arca geminata**, Desh.

- Fig. 28. Valve gauche de grandeur naturelle, vue en dessus.  
 Fig. 29. Surface intérieure de la même.  
 Fig. 30. Portion grossie de la surface externe.

## PLANCHE LXX.

**Arca sabuletorum**, Desh.

- Fig. 1. Valve droite grossie deux fois, montrant la surface externe.  
 Fig. 2. La même, vue en dedans.  
 Fig. 3. Grandeur naturelle.

**Arca Heberti**, Desh.

- Fig. 4. Valve droite grossie une fois et demie, vue en dessus.  
 Fig. 5. Surface intérieure de la même.  
 Fig. 6. Grandeur naturelle.

**Arca articulata**, Desh.

- Fig. 7. Surface externe de la valve droite, de grandeur naturelle.  
 Fig. 8. Intérieur de la même valve.  
 Fig. 9. Portion grossie de la surface externe.

**Arca Auversiensis**, Desh.

- Fig. 10. Valve droite grossie deux fois, vue en dessus.  
 Fig. 11. La même, vue en dedans. La grandeur naturelle a été omise.

**Arca spatulata**, Desh.

- Fig. 12. Grandeur naturelle.  
 Fig. 13. Valve droite grossie une fois et demie, vue en dessus.  
 Fig. 14. La même, montrant l'intérieur.  
 Fig. 15. Portion grossie de la surface extérieure.

**Arca pretiosa**, Desh.

- Fig. 16. Valve gauche grossie quatre fois, vue en dessus.  
 Fig. 17. Grandeur naturelle.

**Arca ornata**, Desh.

- Fig. 18. Valve droite grossie trois fois, vue en dessus.  
 Fig. 19. La même, montrant la surface interne.  
 Fig. 20. Grandeur naturelle.

**Pectunculus obliteratus**, Desh.

- Fig. 21. Valve droite de grandeur naturelle, vue en dessus.  
 Fig. 22. La même, vue en dedans.  
 Fig. 23. Région dorsale, vue de face.
-

## PLANCHE LXXI.

**Pectunculus medius**, Desh.

- Fig. 1. Surface extérieure de la valve gauche.  
Fig. 2. Intérieur de la même.  
Fig. 3. Les valves réunies, montrant la région postérieure.

**Pectunculus dissimilis**, Desh.

- Fig. 4. Valve gauche, vue en dessus.  
Fig. 5. La même, vue en dedans.  
Fig. 6. Profil de la région postérieure.

**Pectunculus psende-pulvinatus**, d'Orb.

- Fig. 7. Valve gauche, vue en dessus.  
Fig. 8. La même, vue en dedans.  
Fig. 9. Profil de la région postérieure.

**Pectunculus Wateleti**, Desh.

- Fig. 10. Valve gauche de grandeur naturelle, vue en dessus.  
Fig. 11. La même, montrant l'intérieur.

**Pectunculus symmetricus**, Desh.

- Fig. 12. Valve gauche de grandeur naturelle, vue en dessus.  
Fig. 13. La même, vue en dedans.

**Cardium Passyi**, Desh.

- Fig. 14. Valve droite grossie deux fois et demie, montrant la surface externe.  
Fig. 15. La même, vue en dedans.  
Fig. 16. Grandeur naturelle.

**Mytilus lævigatus**, Desh.

- Fig. 17. Valve droite grossie deux fois, vue en dessus.  
Fig. 18. Surface intérieure de la même.  
Fig. 19. Grandeur naturelle.

**Modiola dolabrata**, Desh.

- Fig. 20. Valve droite de grandeur naturelle, vue en dessus.  
Fig. 21. La même, montrant la région dorsale.

**Mytilus Dutemplei**, Desh.

- Fig. 22. Valve droite de grandeur naturelle, montrant la surface externe.
-

## PLANCHE LXXII.

**Anodonta Cordieri**, Ch. d'Orb.

- Fig. 1. Valve droite de grandeur naturelle, vue en dessus.  
Fig. 2. Profil de la région dorsale.

**Anodonta antiqua**, Ch. d'Orb.

- Fig. 3. Valve gauche de grandeur naturelle, vue en dessus.  
Fig. 4. Profil de la région dorsale.

**Pectunculus expansus**, Desh.

- Fig. 5. Surface extérieure de la valve gauche, de grandeur naturelle.  
Fig. 6. Intérieur de la même.

**Pectunculus subangulatus**, Desh.

- Fig. 7. Valve gauche de grandeur naturelle, vue en dessus.  
Fig. 8. La même, vue en dedans.  
Fig. 9. Les valves réunies, montrant la région postérieure.

**Limopsis lentiformis**, Desh.

- Fig. 10. Valve gauche grossie deux fois, vue en dessus.  
Fig. 11. La même, montrant l'intérieur.  
Fig. 12. Grandeur naturelle.

**Limopsis alter**, Desh.

- Fig. 13. Surface extérieure de la valve droite, grossie trois fois.  
Fig. 14. Intérieur de la même valve.  
Fig. 15. Grandeur naturelle.

**Pectunculus Heterodon**, Desh.

- Fig. 16. Valve gauche, vue en dessus.  
Fig. 17. La même vue en dedans.
-

## PLANCHE LXXIII.

**Pectunculus crassus**, Phil.

- Fig. 1. Surface extérieure de la valve gauche, grandeur naturelle.  
Fig. 2. Intérieur de la même.

**Pectunculus microsomus**, Desh.

- Fig. 3. Intérieur de la valve droite.  
Fig. 4. Surface extérieure de la même.

**Pectunculus acuminatus**, Desh.

- Fig. 5. Valve gauche, vue en dessus.  
Fig. 6. La même, vue en dedans.  
Fig. 7. Portion grossie de la surface extérieure.

**Pectunculus humilis**, Desh.

- Fig. 8. Valve gauche de grandeur naturelle, vue en dessus.  
Fig. 9. La même, montrant l'intérieur.

**Pectunculus tenuis**, Desh.

- Fig. 10. Valve droite, vue en dessus.  
Fig. 11. La même, vue en dedans.

**Pectunculus angusticardo**, Desh.

- Fig. 12. Surface extérieure de la valve gauche.  
Fig. 13. Intérieur de la même valve.

**Pectunculus angustidens**, Watelet.

- Fig. 14. Valve droite, montrant le dehors.  
Fig. 15. Valve gauche, vue en dedans.

**Pectunculus paucidentatus**, Desh.

- Fig. 16. Surface extérieure de la valve gauche.  
Fig. 17. Intérieur de la même.
-

## PLANCHE LXXIV.

**Modiola crenella**, Desh.

- Fig. 1. Valve droite grossie deux fois, montrant la surface extérieure.  
 Fig. 2. La même, vue en dedans.  
 Fig. 3. Grandeur naturelle.

**Modiola subrostrata**, Desh.

- Fig. 4. Surface extérieure de la valve gauche, grossie trois fois,  
 Fig. 5. Intérieur de la même valve.  
 Fig. 6. Grandeur naturelle.

**Modiola tenera**, Desh.

- Fig. 7. Valve droite grossie quatre fois, vue en dedans.  
 Fig. 8. La même, vue en dessus.  
 Fig. 9. Grandeur naturelle.

**Modiola ambigua**, Desh.

- Fig. 10. Surface extérieure de la valve gauche, grossie quatre fois.  
 Fig. 11. Surface intérieure de la même.  
 Fig. 12. Grandeur naturelle.

**Modiola Bernayi**, Desh.

- Fig. 13. Valve gauche grossie deux fois, vue en dessus.  
 Fig. 14. La même, montrant l'intérieur.  
 Fig. 15. Les valves réunies, montrant la région dorsale.  
 Fig. 16. Grandeur naturelle.

**Modiola brevis**, Desh.

- Fig. 17. Valve gauche grossie trois fois, vue en dessus.  
 Fig. 18. La même, vue en dedans.  
 Fig. 19. Grandeur naturelle.

**Mytilus Heberti**, Desh.

- Fig. 20. Valve gauche grossie quatre fois, vue en dessus.  
 Fig. 21. La même, présentant l'intérieur,  
 Fig. 22. Grandeur naturelle.

**Mytilus Rigaultii**, Desh.

- Fig. 23. Valve droite de grandeur naturelle, vue en dessus.  
 Fig. 24. La même, vue en dedans.

**Modiola delicatula**, Desh.

- Fig. 25. Surface extérieure de la valve gauche, grossie trois fois.  
 Fig. 26. Grandeur naturelle.

**Modiola analoga**, Desh.

- Fig. 27. Surface extérieure de la valve droite, grossie trois fois.  
 Fig. 28. Intérieur de la même.  
 Fig. 29. Portion très grossie de la surface extérieure.  
 Fig. 30. Grandeur naturelle.
-

## PLANCHE LXXV.

**Mytilus tennis**, Desh.

- Fig. 1. Valve droite grossie deux fois, vue en dessus.  
 Fig. 2. Intérieur de la même.  
 Fig. 3. Grandeur naturelle.

**Mytilus Levesquei**, Desh.

- Fig. 4. Valve gauche de grandeur naturelle, vue en dedans.  
 Fig. 5. La même, vue en dessus.

**Mytilus Vaudini**, Desh.

- Fig. 6. Surface extérieure de la valve gauche, grossie trois fois.  
 Fig. 7. Intérieur de la même valve.  
 Fig. 8. Profil du côté antérieur.  
 Fig. 9. Grandeur naturelle.

**Modiola radiolata**, Desh.

- Fig. 10. Valve gauche grossie trois fois, montrant la surface extérieure.  
 Fig. 11. La même, vue en dedans.  
 Fig. 12. Profil du côté postérieur.  
 Fig. 13. Grandeur naturelle.

**Modiola Pibetei**, Desh.

- Fig. 14. Surface extérieure de la valve gauche, grossie quatre fois.  
 Fig. 15. Surface intérieure de la même.

**Modiola interjecta**, Desh.

- Fig. 16. Valve droite grossie deux fois et demie, vue en dessus.  
 Fig. 17. La même, montrant l'intérieur.  
 Fig. 18. Grandeur naturelle.

**Modiola semi-levigata**, Desh.

- Fig. 19. Valve gauche grossie deux fois, vue en dessus.  
 Fig. 20. Grandeur naturelle.

**Modiola subangulata**, Desh.

- Fig. 21. Valve gauche de grandeur naturelle, vue en dessus.

**Modiola capillaris**, Desh.

- Fig. 22. Valve droite grossie deux fois, vue en dessus.  
 Fig. 23. Profil de la région postérieure.  
 Fig. 24. Grandeur naturelle.

**Mytilus depressus**, Desh.

- Fig. 25. Valve grossie trois fois, vue en dessus.  
 Fig. 26. La même, vue en dedans.  
 Fig. 27. Grandeur naturelle.
-

## PLANCHE LXXVI.

**Perna Bazini**, Desh.

- Fig. 1. Valve gauche de grandeur naturelle, vue en dessus.  
 Fig. 2. La même, montrant l'intérieur.

**Crenella striatina**, Desh.

- Fig. 3. Valve droite grossie cinq fois, vue en dedans.  
 Fig. 4. La même, vue en dessus.  
 Fig. 5. Grandeur naturelle.

**Crenella elegans**, Desh.

- Fig. 6. Valve droite grossie six fois, vue en dessus.  
 Fig. 7. La même, vue en dedans.  
 Fig. 8. Portion grossie de la surface extérieure.  
 Fig. 9. Grandeur naturelle.

**Crenella cucullata**, Desh.

- Fig. 10. Surface extérieure de la valve gauche, grossie six fois.  
 Fig. 11. Intérieur de la même valve.  
 Fig. 12. Grandeur naturelle.

**Vulsella angusta**, Desh.

- Fig. 13. Valve droite de grandeur naturelle, vue en dessus.  
 Fig. 14. La même, vue en dedans.  
 Fig. 15. La même, vue de profil.

**Vulsella minima**, Desh.

- Fig. 16. Valve gauche grossie deux fois et demie, vue en dessus.  
 Fig. 17. La même, vue en dedans.  
 Fig. 18. Grandeur naturelle.

**Vulsella anomala**, Desh.

- Fig. 19. Valve droite de grandeur naturelle, montrant la surface externe.  
 Fig. 20. La même, vue en dedans.

**Avicula transversa**, Desh.

- Fig. 21. Valve gauche de grandeur naturelle, vue en dessus.  
 Fig. 22. La même, vue en dedans.

**Avicula Defrancei**, Desh.

- Fig. 23. Valve droite un peu grossie, vue en dessus.  
 Fig. 24. La même, vue en dedans.
-

## PLANCHE LXXVII.

**Avicula Calvimontana, Desh.**

- Fig. 1. Valve droite de grandeur naturelle, vue en dessus et montrant des restes de la première coloration.  
 Fig. 2, 3. Les deux valves rapprochées, vues en dedans.

**Avicula Hornesi, Desh.**

- Fig. 4. Valve gauche de grandeur naturelle, vue en dessus, portant encore des restes de coloration.  
 Fig. 5. La même, vue en dedans.

**Perna Wateleti, Desh.**

- Fig. 6. Valve gauche grossie d'un tiers, vue en dessus.  
 Fig. 7. Surface intérieure de la même.  
 Fig. 8. Grandeur naturelle.

**Perna ornata, Desh.**

- Fig. 9. Valve gauche grossie cinq fois, montrant la surface extérieure.  
 Fig. 10. Surface intérieure de la même.  
 Fig. 11. Grandeur naturelle.

**Avicula Aizyensis, Desh.**

- Fig. 12. Grand fragment de la valve gauche grossi trois fois, surface externe  
 Fig. 13. Le même, surface interne.  
 Fig. 14. Grandeur naturelle.

**Gervillia Eocœnica, Desh.**

- Fig. 15. Valve gauche grossie deux fois, vue en dessus  
 Fig. 16. La même, vue en dedans.  
 Fig. 17. Grandeur naturelle.

**Avicula Herouvalleensis.**

- Fig. 18. Valve gauche grossie trois fois, vue en dessus.  
 Fig. 19. La même, montrant la surface interne.  
 Fig. 20. Grandeur naturelle.

**Perna aviculina, Desh.**

- Fig. 21. Valve gauche grossie deux fois, vue en dessus.  
 Fig. 22. La même et la charnière de la valve droite, vues en dedans.  
 Fig. 23. Grandeur naturelle.

**Avicula Macrofis, Desh.**

- Fig. 24. Valve droite grossie trois fois, surface extérieure.  
 Fig. 25. La même, montrant l'intérieur.  
 Fig. 26. Grandeur naturelle.

## PLANCHE LXXVIII.

**Avicula Stampinensis, Desh.**

- Fig. 1. Valve gauche de grandeur naturelle, vue en dessus.  
 Fig. 2. Intérieur de la même valve.  
 Fig. 3. Extérieur de la valve droite.  
 Fig. 4. Intérieur de la même.

**Lima Caillati, Desh.**

- Fig. 5. Valve gauche grossie trois fois, vue en dessus.  
 Fig. 6. La même, en dedans.  
 Fig. 7. La même au trait, de profil.  
 Fig. 8. Grandeur naturelle.

**Lima rara, Desh**

- Fig. 9. Valve droite de grandeur naturelle, vue en dessus.  
 Fig. 10. Intérieur de la même.  
 Fig. 11. Portion très grossie de la surface extérieure.

**Lima diastropha, Desh.**

- Fig. 12. Valve gauche de grandeur naturelle, montrant la surface intérieure.  
 Fig. 13. La même grossie deux fois, vue en dessus.

**Lima flabelloides, Desh., var.**

- Fig. 14. Valve gauche de grandeur naturelle, vue en dessus.  
 Fig. 15. La même, vue en dedans.

**Lima pretiosa, Desh.**

- Fig. 16. Surface extérieure de la valve gauche grossie deux fois.  
 Fig. 17. Intérieur de la même.  
 Fig. 18. Grandeur naturelle.  
 Fig. 19. Portion très grossie de la surface extérieure.

**Lima tenuis, Desh.**

- Fig. 20. Extérieur de la valve gauche grossie trois fois.  
 Fig. 21. La même valve, vue en dedans.  
 Fig. 22. Grandeur naturelle.

**Lima Sandbergeri, Desh.**

- Fig. 23. Valve droite grossie trois fois, vue en dessus.  
 Fig. 24. La même, vue en dedans.  
 Fig. 25. Grandeur naturelle.
-

## PLANCHE LXXIX.

**Pecten breviauritus**, Desh.

- Fig. 1. Valve gauche de grandeur naturelle, vue en dessus.  
 Fig. 2. La même, montrant l'intérieur.  
 Fig. 3. Portion très grossie de la surface.

**Pecten Prestwichii**, Desh.

- Fig. 4. Valve droite de grandeur naturelle, vue en dessus.  
 Fig. 5. La même, à l'intérieur.  
 Fig. 6. Portion très grossie de la surface.

**Pecten laudunensis**, Desh.

- Fig. 7. Extérieur de la valve droite, grossie deux fois.  
 Fig. 8. Intérieur de la même.  
 Fig. 9. Grandeur naturelle.

**Pecten operosus**, Desh.

- Fig. 10. Valve droite grossie deux fois et demie, vue en dessus.  
 Fig. 11. Grandeur naturelle.

**Pecten escharoides**, Desh.

- Fig. 12. Surface extérieure de la valve gauche, grandeur naturelle.  
 Fig. 13. La même, vue en dedans.  
 Fig. 14. Partie très grossie de la face extérieure.

**Pecten lucidus**, Philippi.

- Fig. 15. Valve droite grossie trois fois, vue en dessus.  
 Fig. 16. Valve gauche, également en dessus.  
 Fig. 17. Valve droite de grandeur naturelle, vue en dedans.

**Pecten optatus**, Desh.

- Fig. 18. Valve gauche de grandeur naturelle en dessus.  
 Fig. 19. La même, vue en dedans.  
 Fig. 20. Portion très grossie de la surface extérieure.

**Pecten bifidus**, Münster.

- Fig. 21. Valve droite de grandeur naturelle, vue en dessus.  
 Fig. 22. Extérieur de la valve gauche.  
 Fig. 23. Intérieur de la même valve.
-

## PLANCHE LXXX.

**Placuna solida**, Desh.

- Fig. 4. Valve droite grossie quatre fois, vue en dessus.  
Fig. 2, 3. Les deux valves rapprochées, montrant l'intérieur.  
Fig. 4. Grandeur naturelle.

**Plicatula Parisiensis**, Desh.

- Fig. 5. Intérieur de la valve droite, grossie deux fois.  
Fig. 6. Surface extérieure de la même valve.  
Fig. 7. Grandeur naturelle.

**Plicatula echinulata**, Desh.

- Fig. 8. Valve gauche grossie cinq fois, vue en dessus.  
Fig. 9. La même, montrant l'intérieur.  
Fig. 10. Grandeur naturelle.

**Plicatula condylus**, Desh.

- Fig. 11. Surface extérieure de la valve gauche, grossie deux fois.  
Fig. 12. Surface intérieure de la même valve.  
Fig. 13. Grandeur naturelle.

**Spondylus Vandini**, Desh.

- Fig. 14. Valve droite grossie cinq fois, vue en dessus.  
Fig. 15. La même, vue en dedans.  
Fig. 16. Surface cardinale, vue de face.  
Fig. 17. Grandeur naturelle.  
Fig. 18. Valve gauche grossie cinq fois, en dessus.  
Fig. 19. La même, en dedans.  
Fig. 20. Grandeur naturelle.

**Plicatula spondyloides**, Desh.

- Fig. 21. Intérieur de la valve droite, grossie trois fois.  
Fig. 22. Surface extérieure de la même.  
Fig. 23. Grandeur naturelle.

**Spondylus demissus**, Desh.

- Fig. 24. Surface extérieure de la valve droite, grossie trois fois.  
Fig. 25. Surface intérieure de la même valve.  
Fig. 26. Surface cardinale, vue de face.  
Fig. 27. Grandeur naturelle.
-

## PLANCHE LXXXI.

**Ostrea rarilamella**, Desh.

- Fig. 1. Valve droite de grandeur naturelle, vue en dessus.  
 Fig. 2. Valve gauche, vue en dessus.

## PLANCHE LXXXII.

**Ostrea rarilamella**, Desh.

- Fig. 1. Valve droite, montrant l'intérieur.  
 Fig. 2. Valve gauche, vue en dedans.

## PLANCHE LXXXIII.

**Ostrea inaspecta**, Desh.

- Fig. 1. Valve gauche de grandeur naturelle, vue en dessus.  
 Fig. 2. La même, à l'intérieur.  
 Fig. 3. Profil de la même.  
 Fig. 4. Valve droite, à l'intérieur.  
 Fig. 5. La même en dessus.

**Ostrea punctata**, Desh.

- Fig. 6. Valve gauche de grandeur naturelle, en dessus.  
 Fig. 7. La même, vue en dedans.  
 Fig. 8. Extérieur de la valve droite.  
 Fig. 9. Surface intérieure de la même valve.

**Ostrea Rancourti**, Desh.

- Fig. 10. Valve gauche de grandeur naturelle, montrant la surface extérieure.  
 Fig. 11. La même, vue en dedans.

## PLANCHE LXXXIV.

**Ostrea resupinata**.

- Fig. 1. Valve gauche de grandeur naturelle, vue en dessus.  
 Fig. 2. La même valve, vue en dedans.  
 Fig. 3. Les deux valves réunies, vues de profil.  
 Fig. 4. Charnière de la valve droite.

**Ostrea eversa**, Melleville.

- Fig. 5. Surface extérieure de la valve gauche.  
 Fig. 6. Intérieur de la même valve.  
 Fig. 7. Valve droite en dessus.  
 Fig. 8. La même, en dedans.

**Ostrea submissa**, Desh.

- Fig. 9. Valve gauche grandeur naturelle, en dessus.  
 Fig. 10. La même, en dedans.  
 Fig. 11. Valve droite, en dessus.  
 Fig. 12. La même, en dedans.

**Ostrea Suessoniensis**, Desh.

- Fig. 13. Valve gauche de grandeur naturelle, en dessus.  
 Fig. 14. Intérieur de la même valve.
-

## PLANCHE LXXXV.

**Ostrea ludensis**, Desh.

- Fig. 1. Surface extérieure de la valve droite de grandeur naturelle.  
 Fig. 2. Surface intérieure de la même.  
 Fig. 3. Valve gauche, vue en dessus.  
 Fig. 4. La même, vue en dedans.

**Anomia Casanovei**, Desh.

- Fig. 5. Valve droite de grandeur naturelle, vue en dessus.  
 Fig. 6. La même, vue en dedans.  
 Fig. 7. Charnière grossie de cette valve.  
 Fig. 8. Une valve gauche dont la perforation n'est point complète, en dessus.  
 Fig. 9. Une autre valve, du même côté, dont la perforation est complète, vue en dedans.

**Anomia primæva**, Desh.

- Fig. 10. Extérieur de la valve droite, grandeur naturelle.  
 Fig. 11. La même valve, vue en dedans.  
 Fig. 12. Valve gauche avec la grande échanerure, grandeur naturelle.

**Anomia pellucida**, Desh.

- Fig. 13. Valve droite grandeur naturelle, vue en dessus.  
 Fig. 14. La même, vue en dedans.  
 Fig. 15. Charnière grossie.

**Anomia rugosula**, Desh.

- Fig. 16. Valve droite de grandeur naturelle, en dessus.  
 Fig. 17. La même, en dedans.  
 Fig. 18. Charnière très grossie.

**Anomia echinulata**, Desh.

- Fig. 19. Valve droite grossie cinq fois, vue en dessus.  
 Fig. 20. La même, montrant l'intérieur.  
 Fig. 21. Grandeur naturelle.

**Anomia planulata**, Desh.

- Fig. 22. Surface extérieure de la valve droite, grandeur naturelle.  
 Fig. 23. La même valve, vue en dedans.

**Anomia vulsellata**, Desh.

- Fig. 24. Valve droite de grandeur naturelle, en dessus.  
 Fig. 25. La même, en dedans.  
 Fig. 26. Charnière très grossie.  
 Fig. 27. Charnière de la valve droite.
-

## PLANCHE LXXXVI.

**Terebratula Davidsoni**, Desh.

- Fig. 1. Coquille grossie six fois, valve ventrale et ouverture du crochet de la valve dorsale.  
 Fig. 2. La même valve dorsale.  
 Fig. 3. Profil au trait.  
 Fig. 4. Grandeur naturelle.

**Terebratula puncticulata**, Desh.

- Fig. 5. Coquille entière grossie six fois, valve ventrale.  
 Fig. 6. La même, valve dorsale.  
 Fig. 7. Portion grossie de la su  
 Fig. 8. Profil au trait des deux valves.  
 Fig. 9. Grandeur naturelle.

**Terebratula Baudoni**, Desh.

- Fig. 10. Coquille grossie six fois, valve ventrale.  
 Fig. 11. La même, valve dorsale.  
 Fig. 12. Profil au trait des deux valves.

**Terebratula tenuiplicata**, Desh.

- Fig. 13. Coquille grossie six fois, valve ventrale.  
 Fig. 14. La même, valve dorsale.  
 Fig. 15. Vue de profil les valves entr'ouvertes, laissant voir une partie des apophyses intérieures.

**Terebratula Putoni**, Baudon.

- Fig. 16. Valve ventrale détachée, grossie six fois et montrant dans son entier l'appareil apophysaire.  
 Fig. 17. Valve dorsale, vue en dedans.  
 Fig. 18. Grandeur naturelle.  
 Fig. 19. Variété: coquille entière, montrant la valve ventrale.  
 Fig. 20. La même, valve dorsale.  
 Fig. 21. Vue de profil.

**Terebratula Parisiensis**, Desh.

- Fig. 22. Individu grossi quatre fois, valve ventrale.  
 Fig. 23. Le même, présentant la valve opposée.  
 Fig. 24. Le même au trait, vu de profil.  
 Fig. 25. Grandeur naturelle.

**Argiope decemcostata**, Desh.

- Fig. 26. Coquille grossie dix fois, valve ventrale et ouverture du crochet.  
 Fig. 27. La même, valve dorsale.  
 Fig. 28. Profil au trait du bord antérieur.  
 Fig. 29. Profil latéral.  
 Fig. 30. Grandeur naturelle.

## PLANCHE LXXXVII.

**Argiope semicostata**, Baudou.

- Fig. 1. Coquille grossie dix fois, vue du côté de la valve ventrale et montrant l'ouverture du crochet de la valve dorsale.  
 Fig. 2. Valve dorsale, vue en dessus.  
 Fig. 3. Valve ventrale, vue en dedans.  
 Fig. 4. Les valves réunies, vues par le bord inférieur.  
 Fig. 5. Grandeur naturelle.

**Argiope Bandoni**, Desh.

- Fig. 6. Coquille entière grossie dix fois, valve ventrale.  
 Fig. 7. La même, valve dorsale.  
 Fig. 8. Profil du bord inférieur.  
 Fig. 9. Profil latéral.  
 Fig. 10. Grandeur naturelle.

**Argiope crassicosta**, Baudou.

- Fig. 11. Coquille grossie huit fois, montrant la valve ventrale.  
 Fig. 12. La même, valve dorsale.  
 Fig. 13. Profil latéral au trait.  
 Fig. 14. Profil du bord inférieur.  
 Fig. 15. Grandeur naturelle.

**Terebratula squamulosa**, Baudou.

- Fig. 16. Coquille grossie six fois, valve ventrale.  
 Fig. 17. La même, valve dorsale.  
 Fig. 18. Profil latéral.

**Argiope cornuta**, Desh.

- Fig. 19. Coquille grossie dix fois, valve ventrale.  
 Fig. 20. La même, montrant en dehors la valve dorsale.  
 Fig. 21. Profil latéral.  
 Fig. 22. Grandeur naturelle.

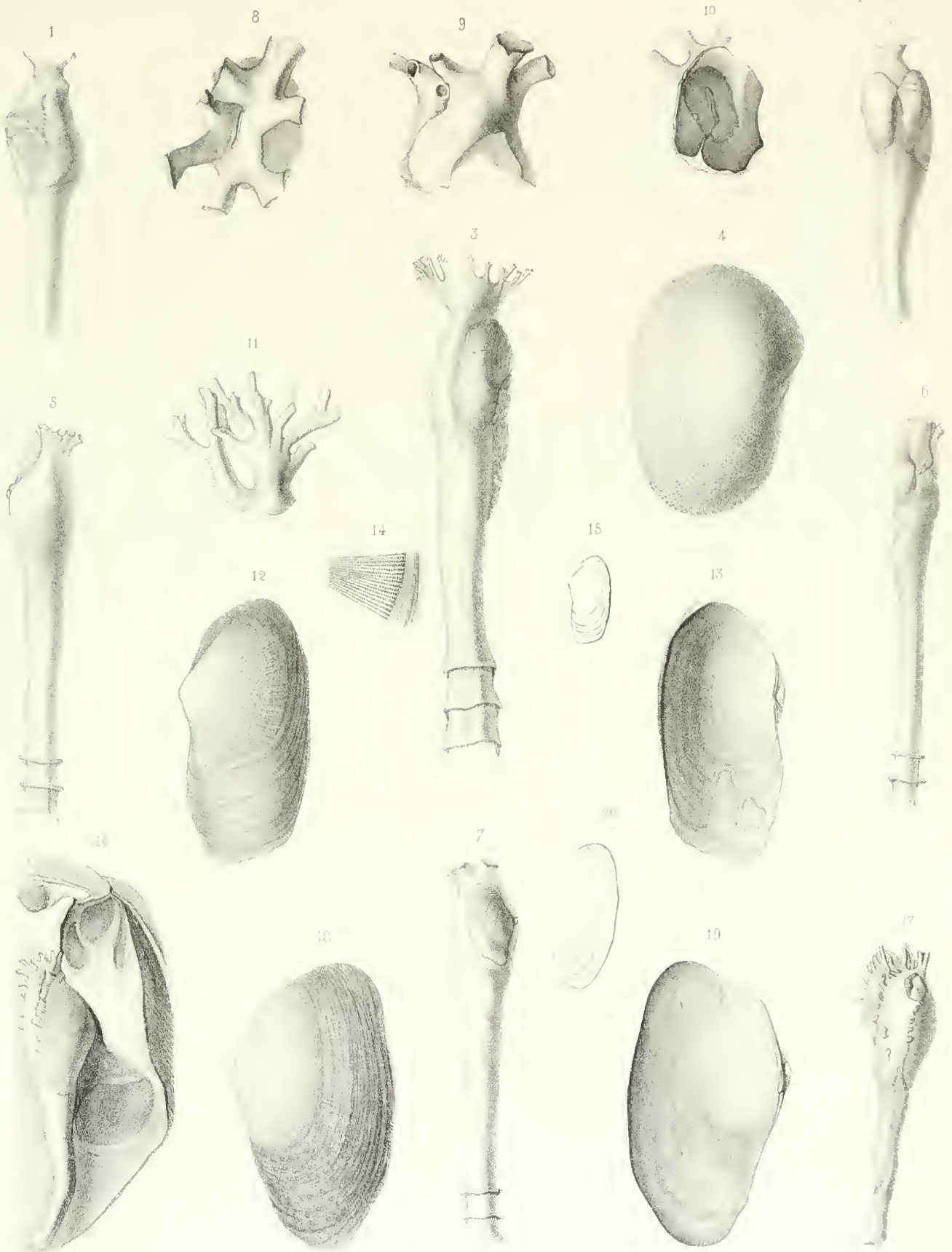
**Argiope Collardi**, Baudou.

- Fig. 23. Coquille grossie dix fois, du côté de la valve ventrale.  
 Fig. 24. La même, montrant la valve dorsale.  
 Fig. 25. Profil du bord inférieur.  
 Fig. 26. Profil latéral.  
 Fig. 27. Grandeur naturelle.

**Terebratula tenuilincata**, Baudou.

- Fig. 28. Coquille entière grossie dix fois, vue du côté de la valve ventrale.  
 Fig. 29. La même, valve dorsale.  
 Fig. 30. Profil latéral.  
 Fig. 31. Grandeur naturelle.

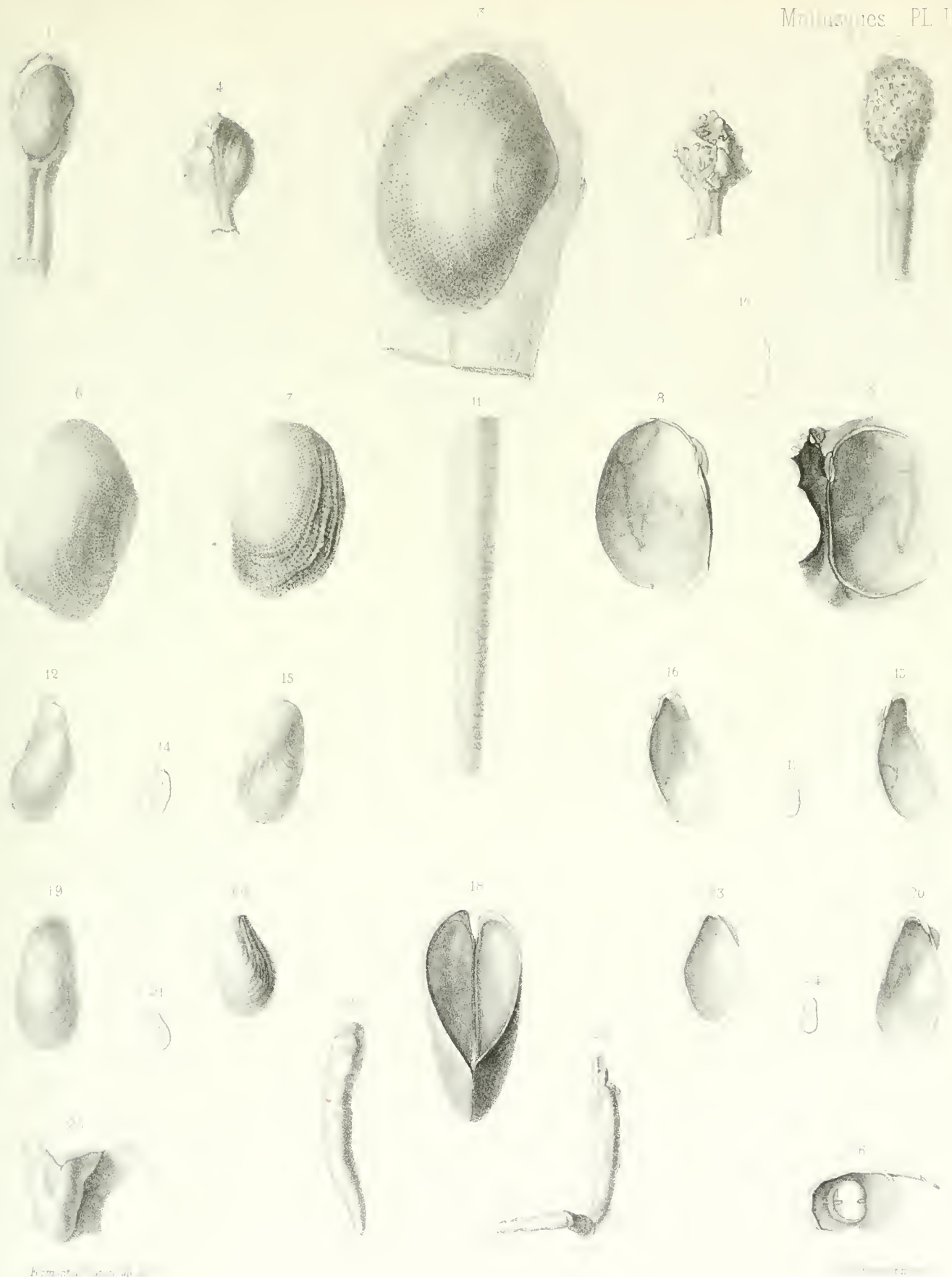
FIN DE L'EXPLICATION DES PLANCHES DES MOLLUSQUES ACÉPHALÉS.



*Fermant ad nat in lap de.*

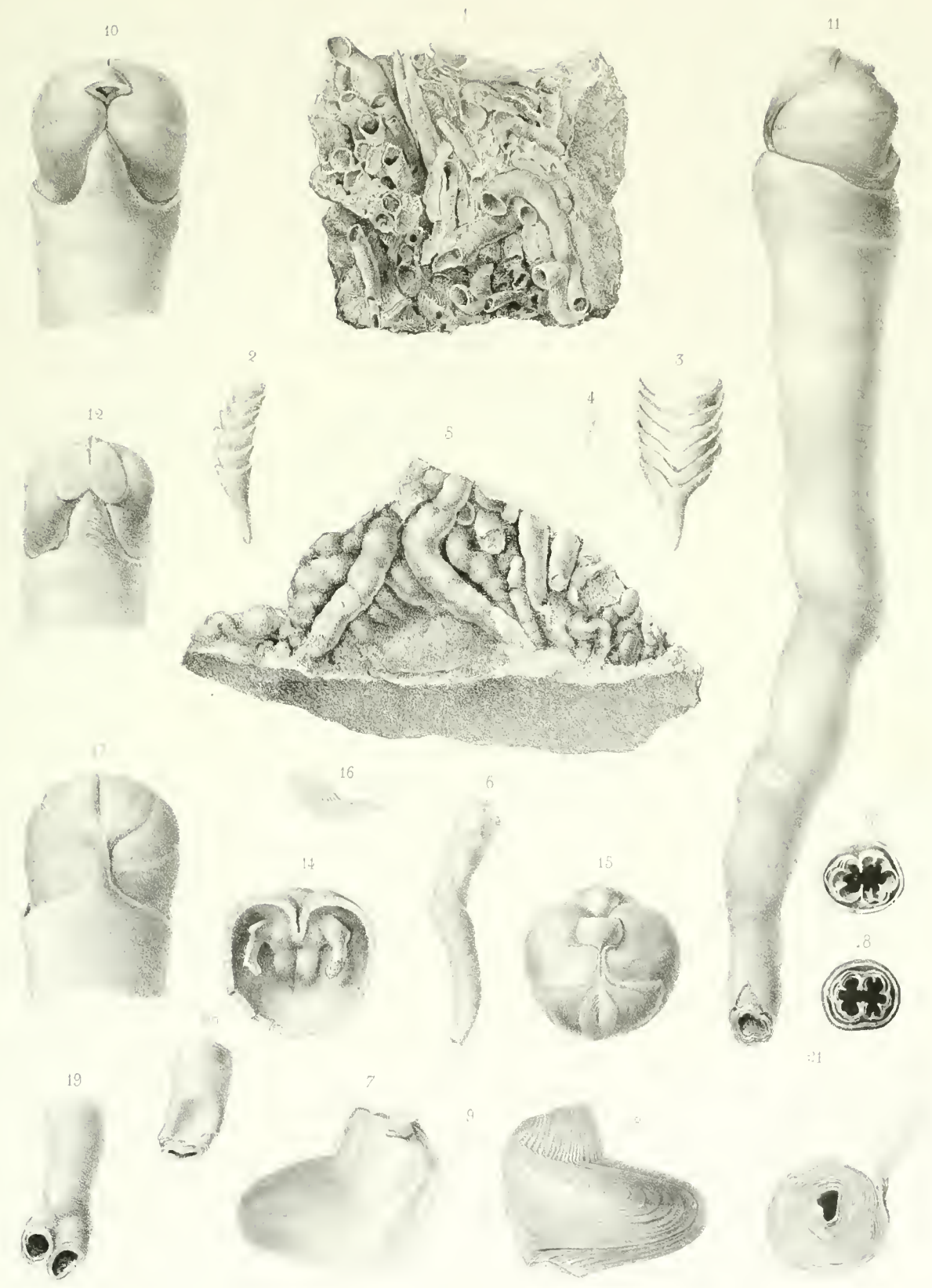
ANIMAUX SANS VERTÈBRES. DU RASIN LE MOUS.





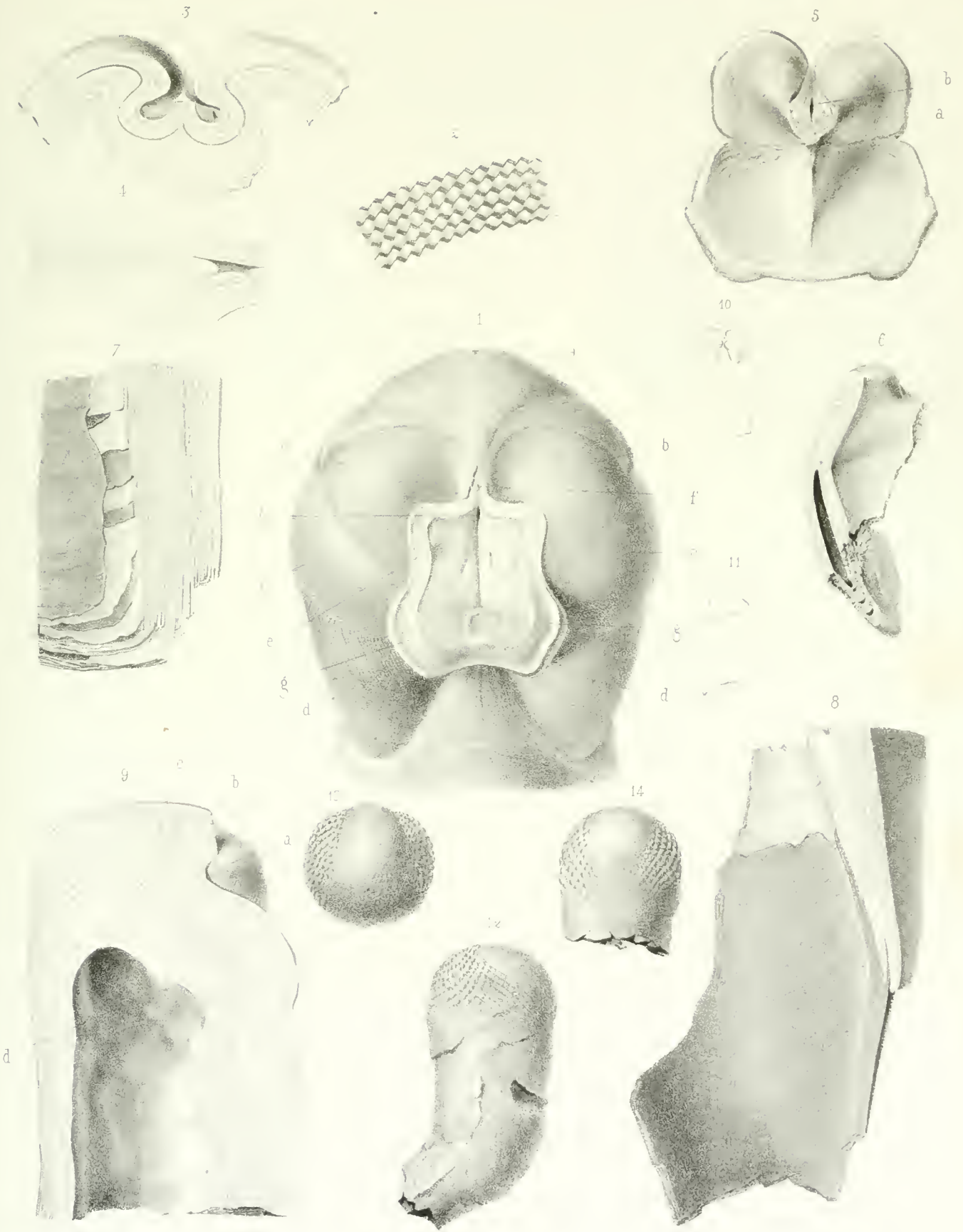
*Arctost. ...*





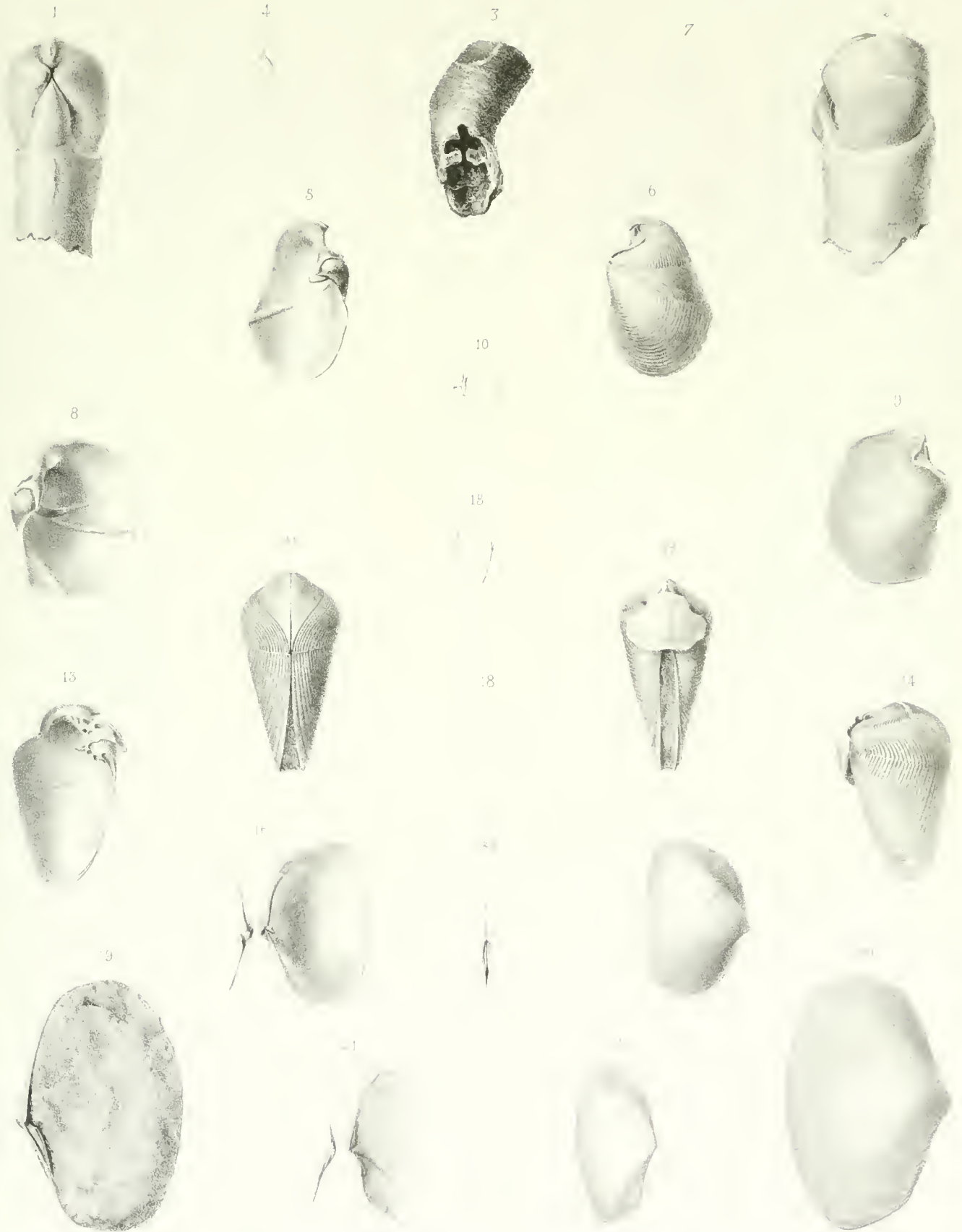
Lacknerbauer ad nat in tap de



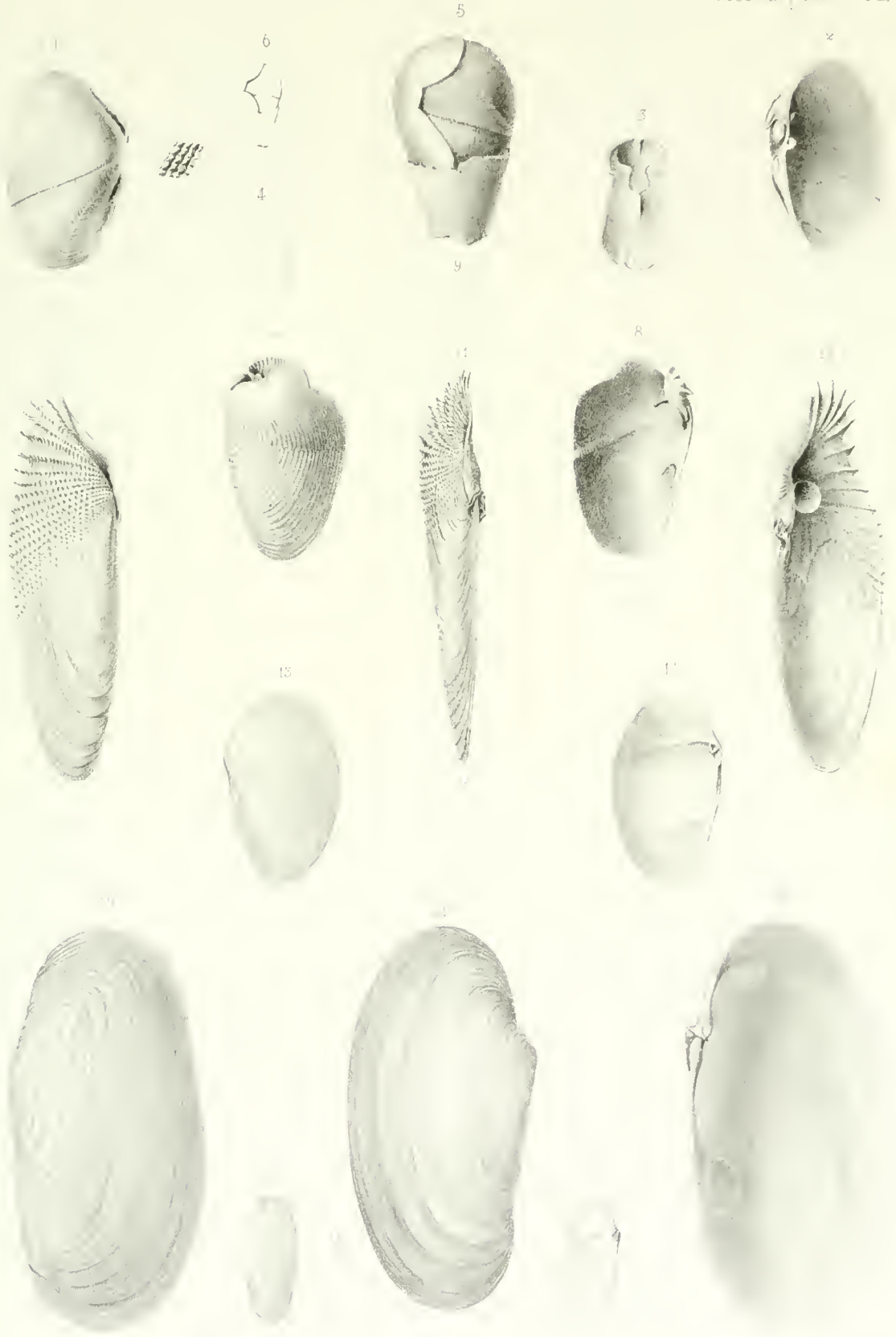


Lackebauer del













1



3



4



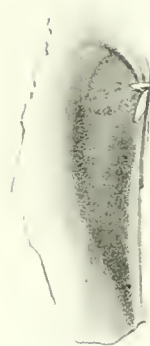
5



6



13



15



14



7



8



9



17



16



10



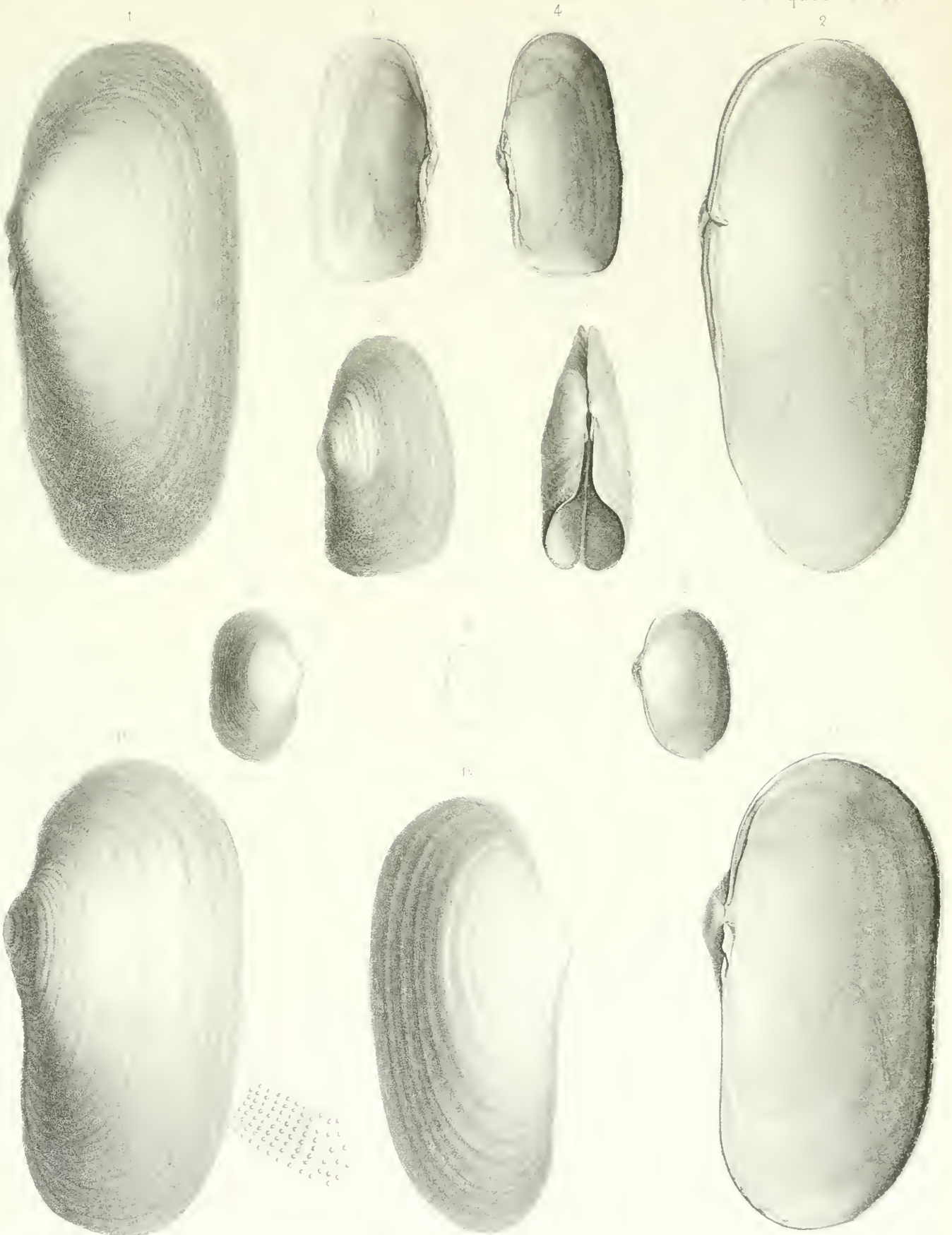
11



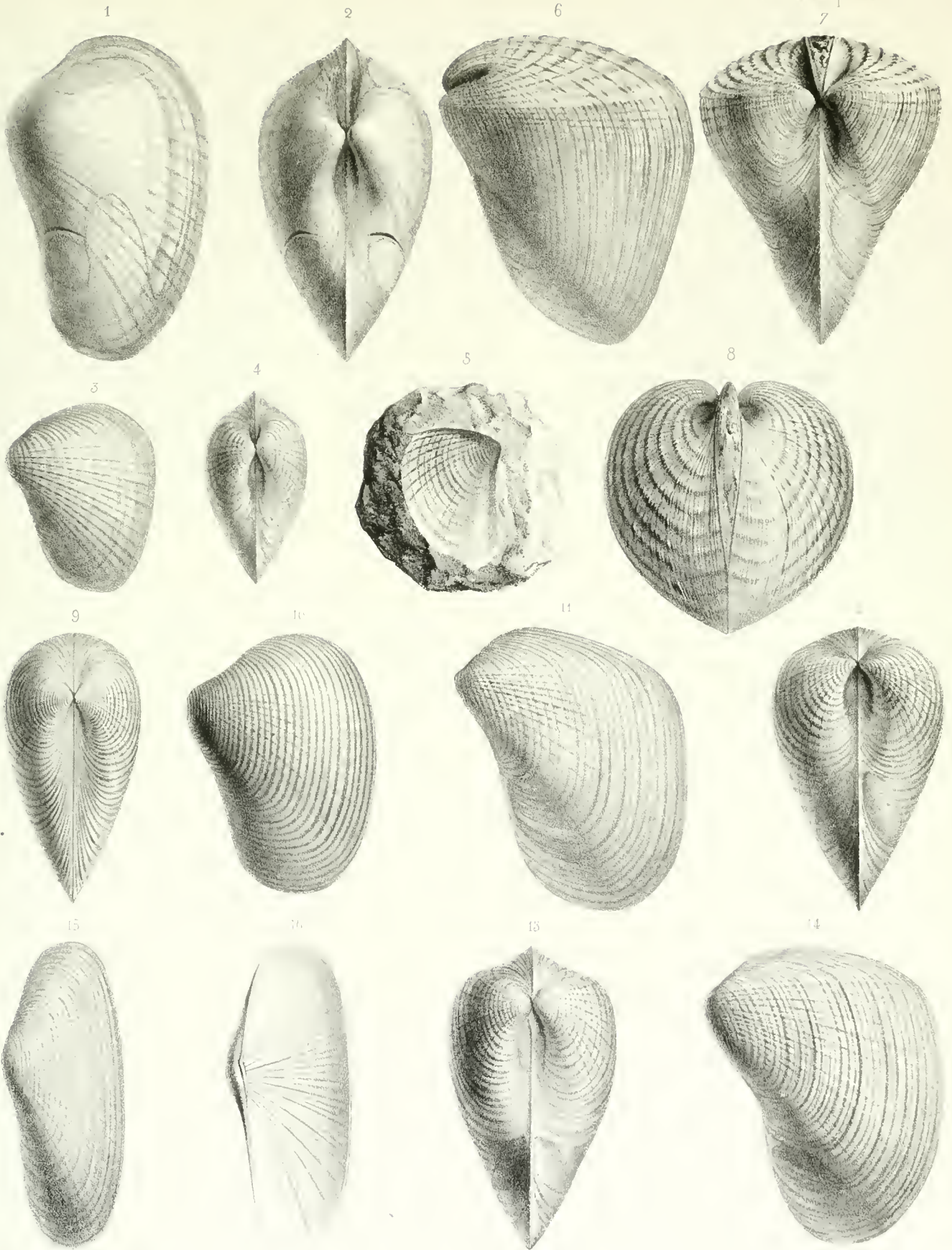
12

*Levinsonei nat. in lapide*



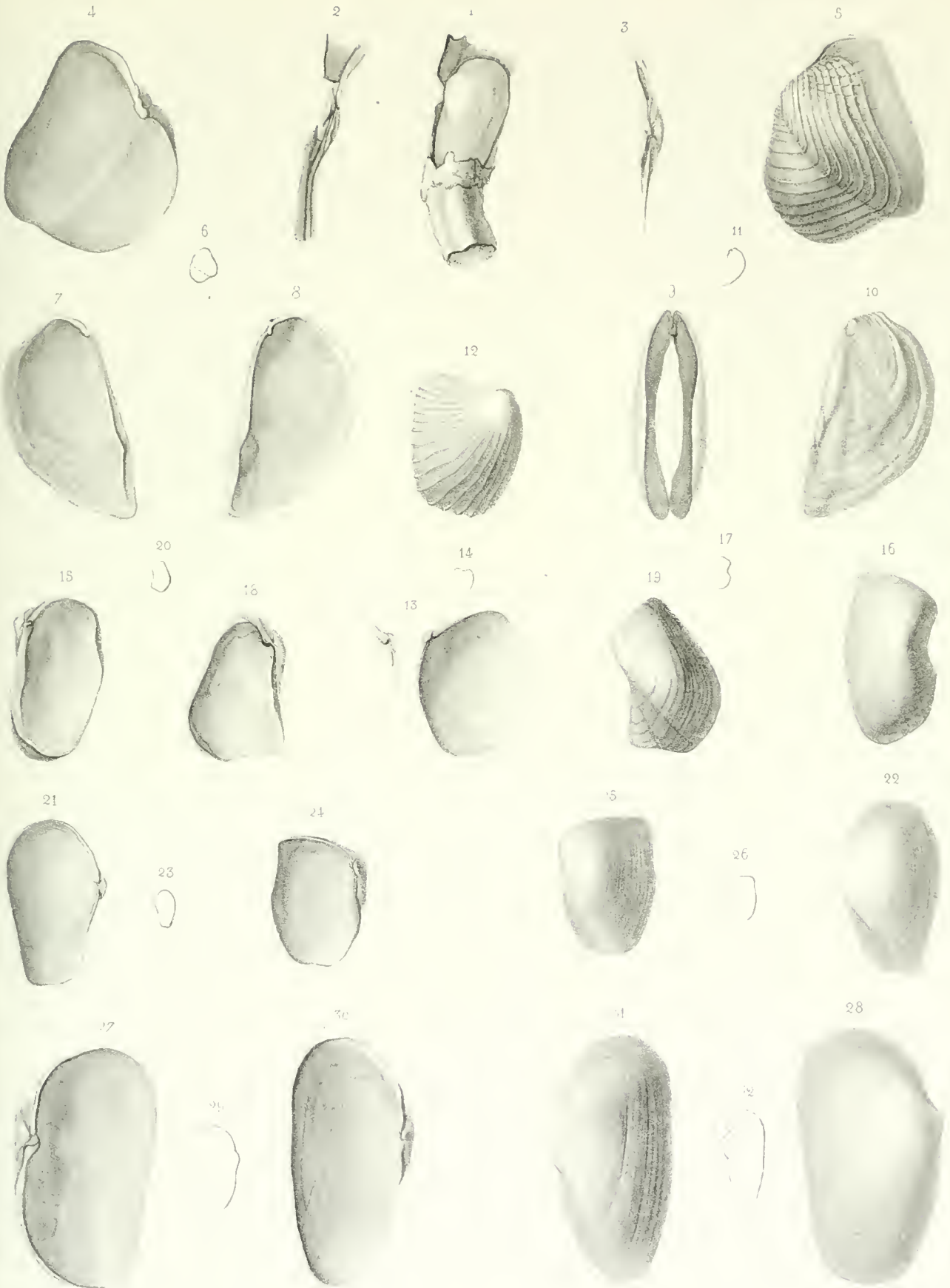






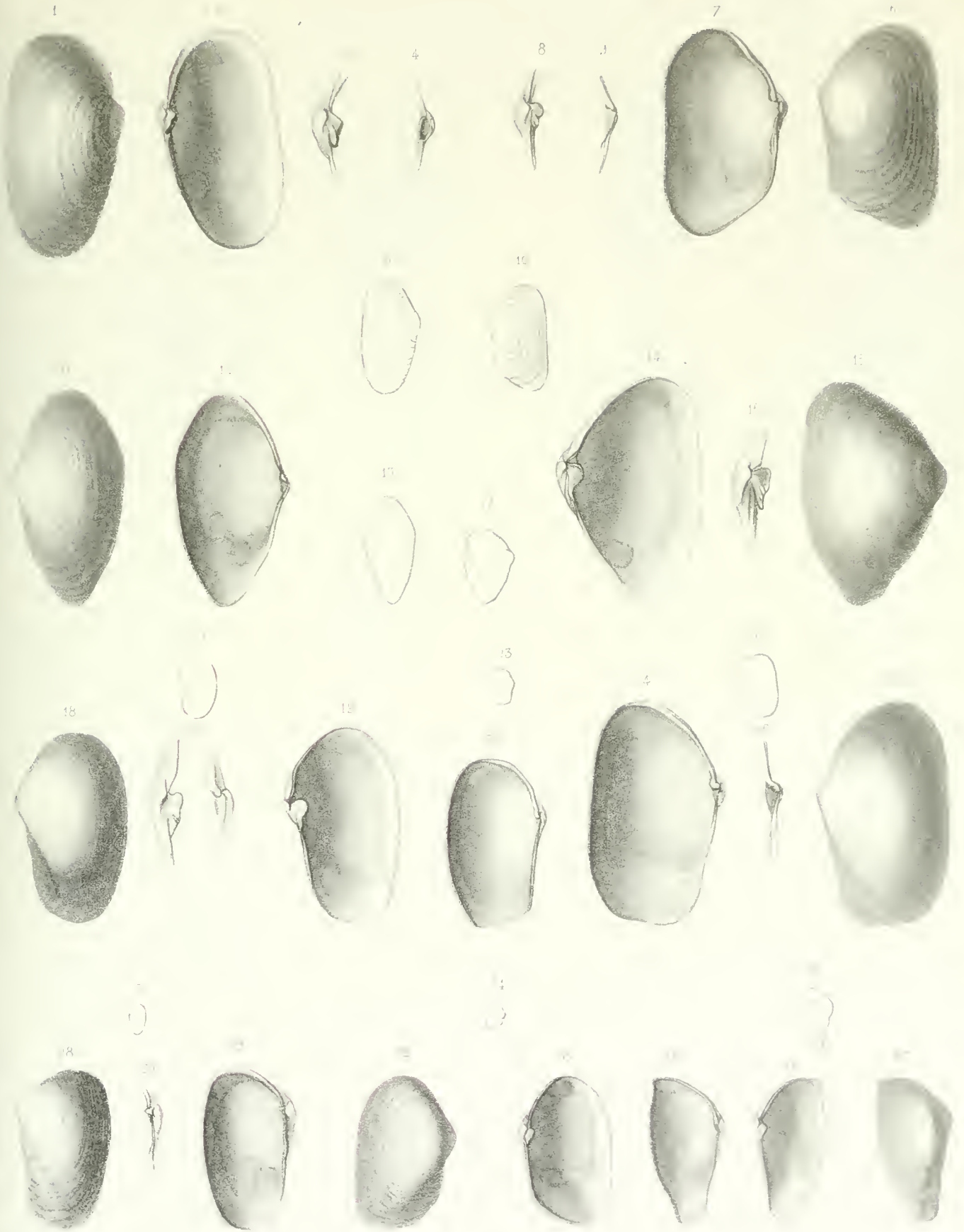
dessiné par nat. in. de.





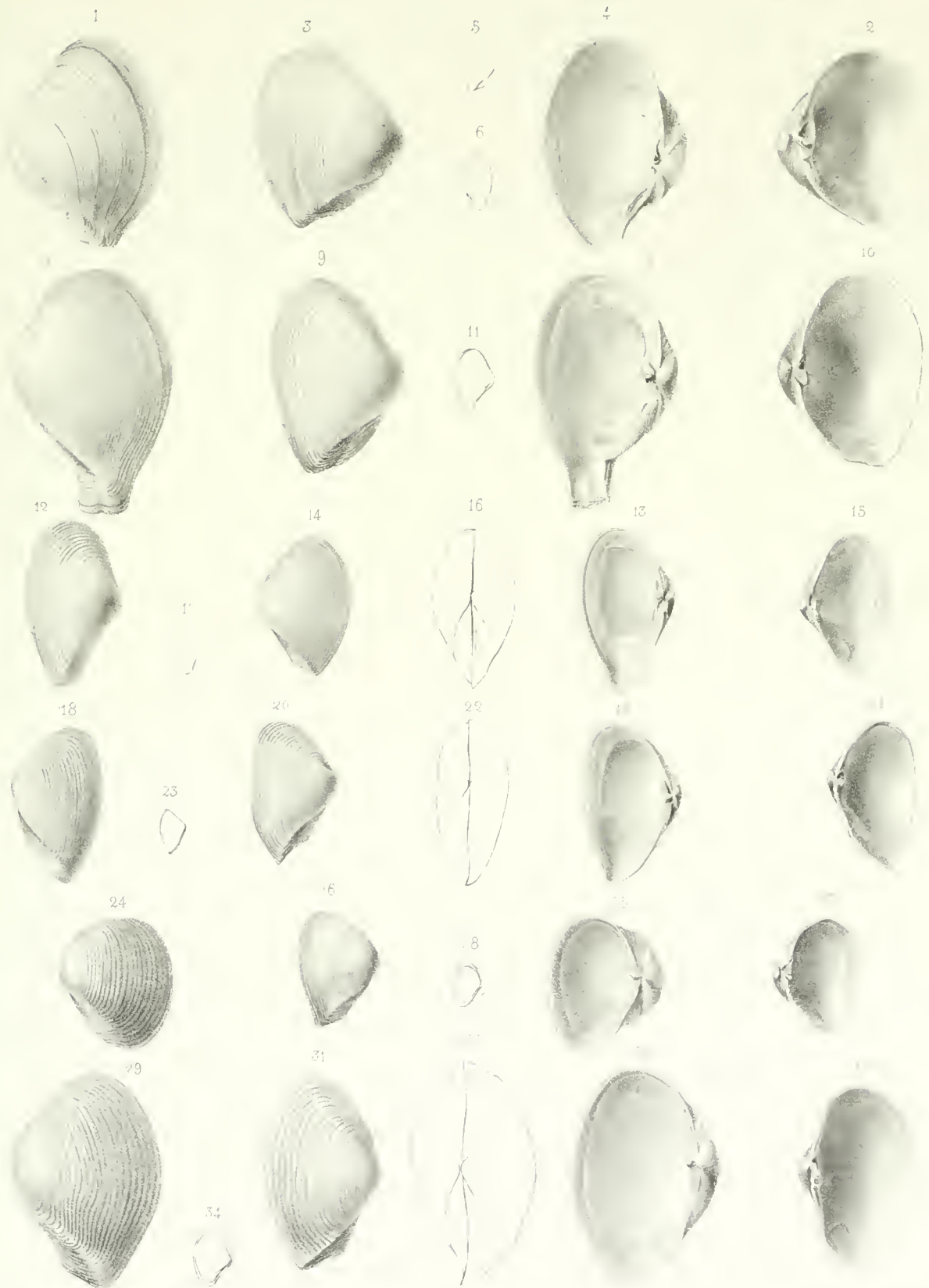
Formant ad nat in lap. lei





Figures 1-20 by [unclear]





*L. Herpin avon ad nativ inq. del.*

*G. B. de la Roche sculp.*



## PLANCHE XI bis.

**Sphenia arcuata**, Desh.

- Fig. 1. Valve droite, grossie six fois, vue en dessus.  
 Fig. 2. La même, vue en dedans.  
 Fig. 3. Grandeur naturelle.

**Sphenia æquilateralis**, Desh.

- Fig. 4. Valve gauche, grossie sept fois, montrant le dessus.  
 Fig. 5. La même, vue en dedans.  
 Fig. 6. La même, vue de profil en arrière, pour montrer la saillie du cuilleron.  
 Fig. 7. Grandeur naturelle.

**Sphenia angusta**, Desh.

- Fig. 8. Valve gauche, grossie quatre fois, vue en dessus.  
 Fig. 9. La même, montrant le dedans.  
 Fig. 10. La même, vue de profil du côté dorsal.  
 Fig. 11. Grandeur naturelle.

**Corbulomya Nystii**, Desh.

- Fig. 12. Valve droite, grossie quatre fois, vue en dessus.  
 Fig. 13. La même valve, montrant l'intérieur.  
 Fig. 14. Charnière de la valve gauche.  
 Fig. 15. Grandeur naturelle.

**Pandora primæva**, Desh.

- Fig. 16. Valve gauche, grossie cinq fois, montrant le dehors.  
 Fig. 17. La même, vue en dedans.  
 Fig. 18. Grandeur naturelle.

**Poromya paradoxa**, Desh.

- Fig. 19. Valve gauche, grossie cinq fois, vue en dessus.  
 Fig. 20. La même, montrant l'intérieur.  
 Fig. 21. Charnière des deux valves.  
 Fig. 22. Grandeur naturelle.

**Poromya Forbesii**, Desh.

- Fig. 23. Valve droite, grossie six fois, vue en dessus.  
 Fig. 24. La même, vue en dedans.  
 Fig. 25. Grandeur naturelle.

**Poromya Bandoni**, Desh.

- Fig. 26. Valve gauche, vue en dessus ; elle est grossie cinq fois.  
 Fig. 27. La même, vue en dedans, et charnière de la valve droite.  
 Fig. 28. Grandeur naturelle.

**Capsa minima**, Desh.

- Fig. 29. Valve gauche, grossie cinq fois, vue en dessus.  
 Fig. 30. La même en dedans, et charnière de la valve opposée.  
 Fig. 31. Grandeur naturelle.

EXPLICATION DES PLANCHES.

**Psammobia Bervillei**, Desh.

Fig. 32. Valve gauche de grandeur naturelle, en dessus.

Fig. 33. La même, montrant la charnière.

**Donax acutata**, Desh.

Fig. 34. Valve gauche, grossie quatre fois, vue en dessus.

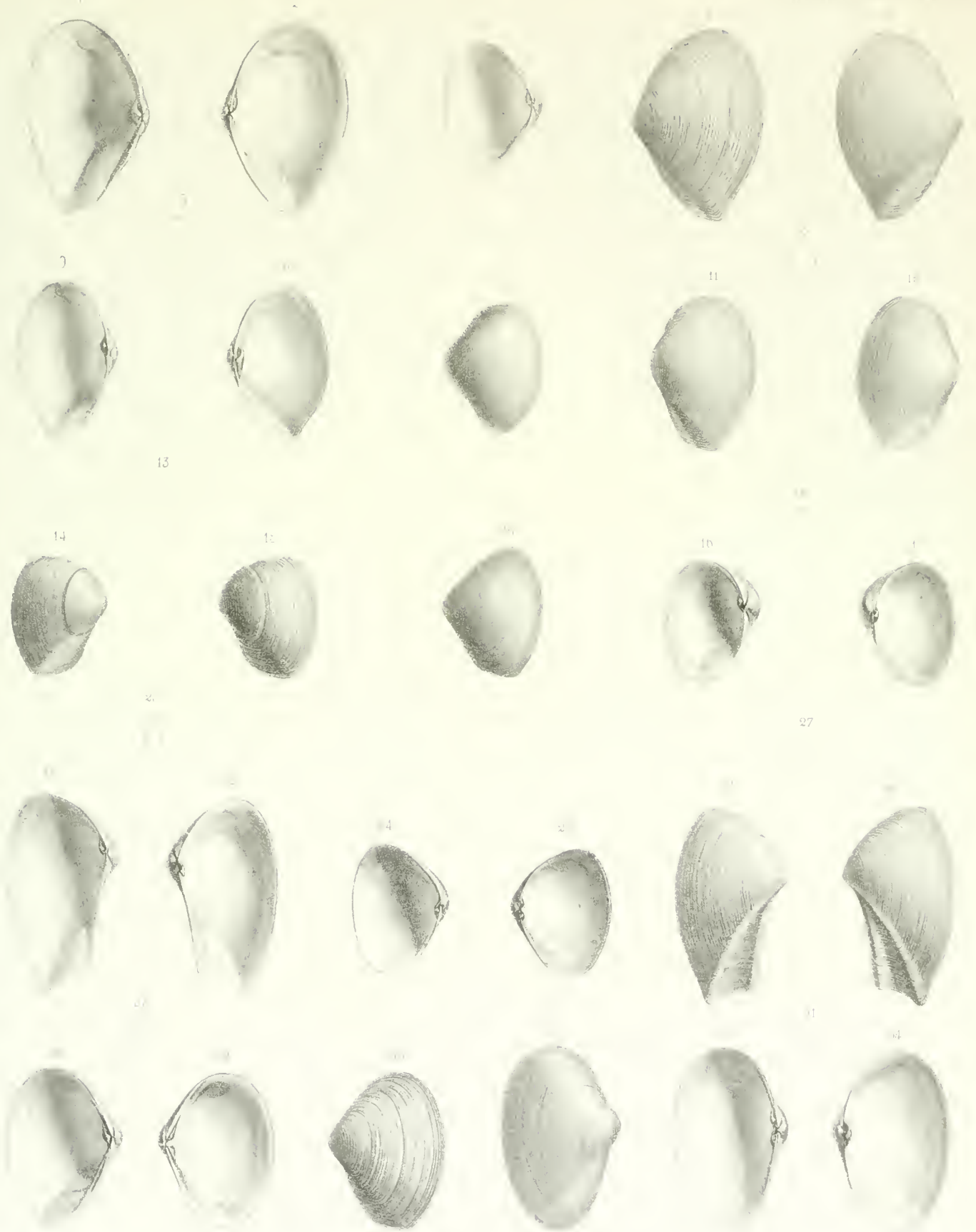
Fig. 35. La même en dedans, et charnière de la valve opposée.



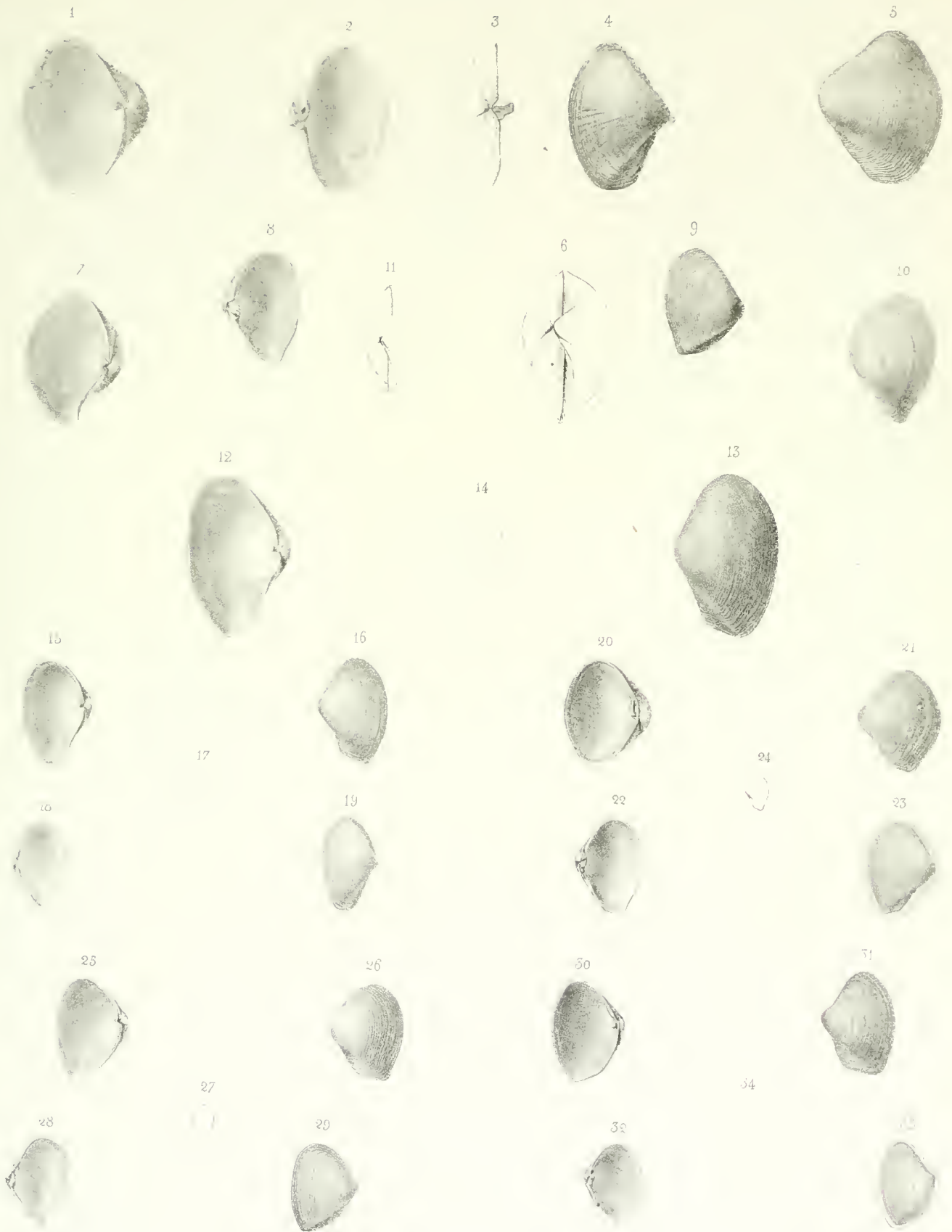
*Lacquerbauer ad nat in laq. del*

*M. J. Guet sculp.*





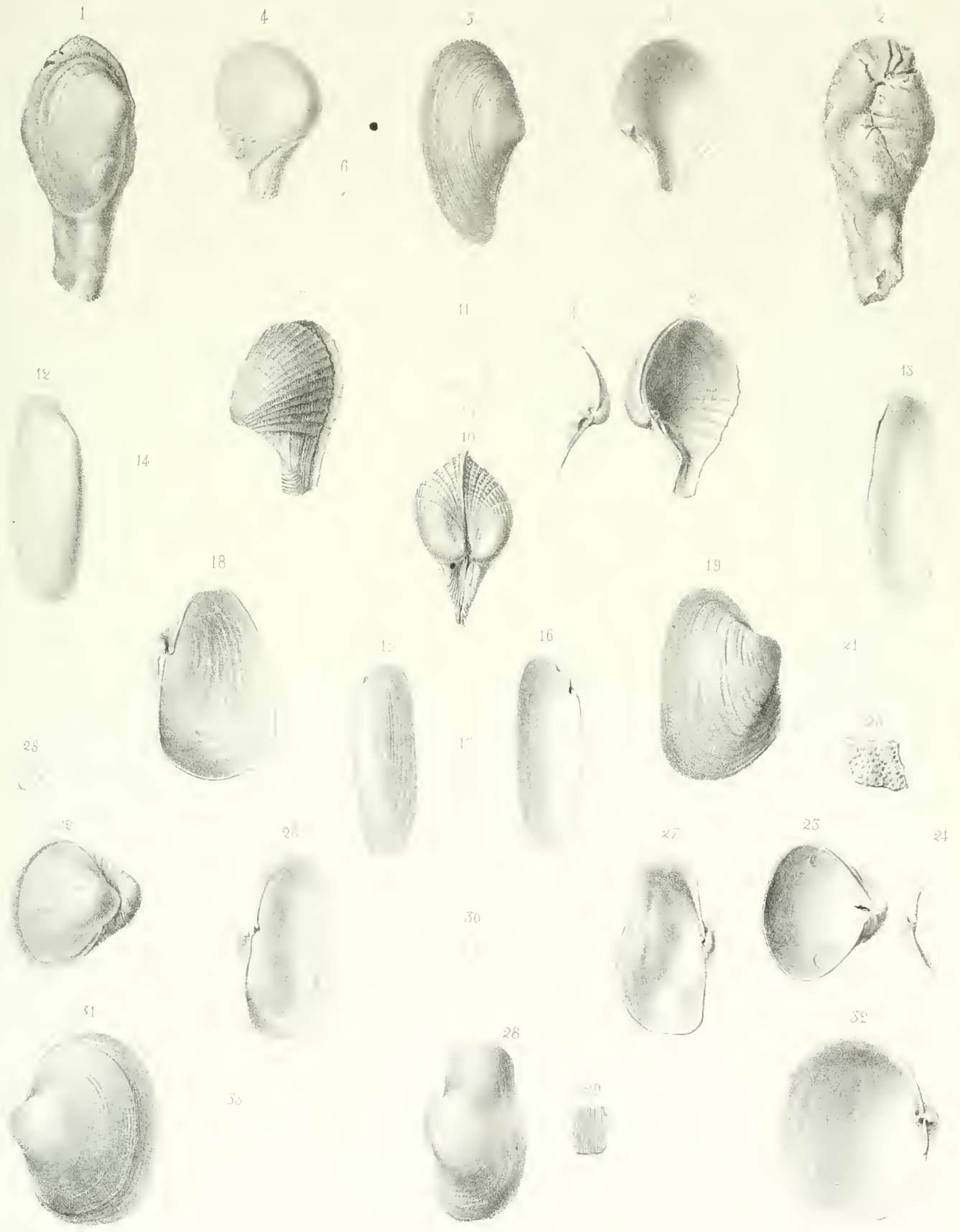




*Lacaze Duthiers del.*

*Ch. B. Fournier sculp.*



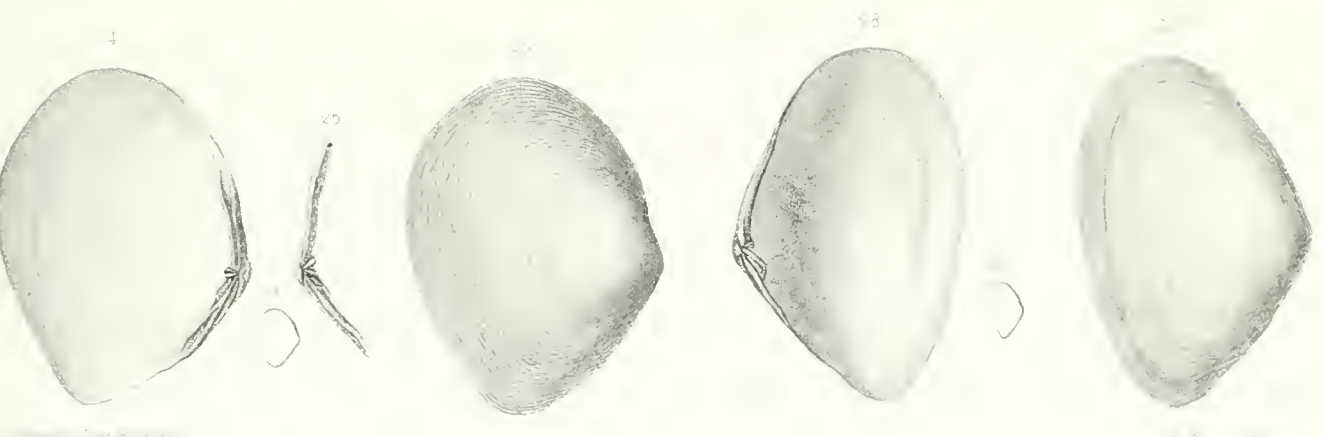
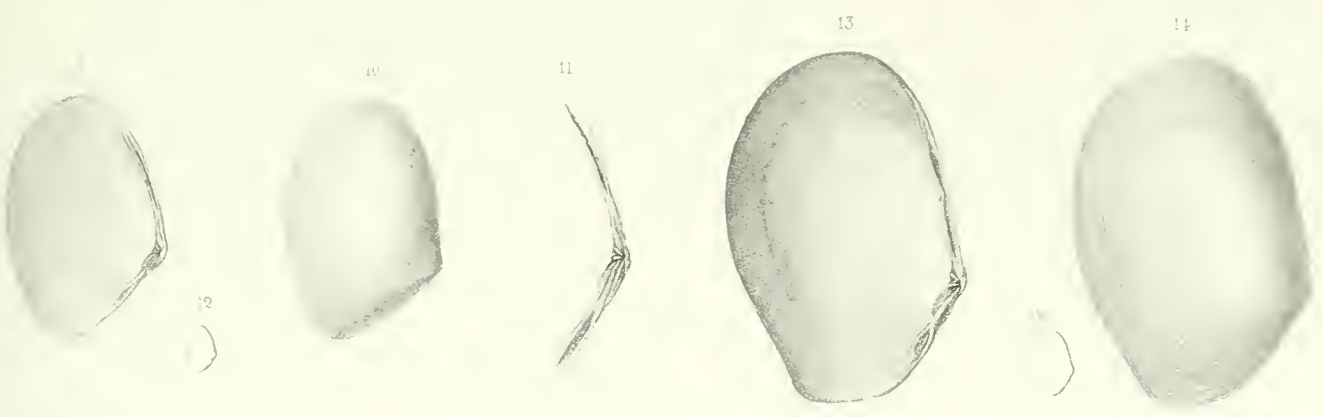


L. S. Müllerbauer ad nat in lap de.

W. H. R. et al. sculps.

ANIMAUX SANS VERTEBRES DU BASSIN DE PARIS





ARTIFICIAL SHELLS OF THE GENUS *ARTIFICIA*



## PLANCHE XVI bis.

**Syndosmya modesta**, Desh.

- Fig. 1. Valve gauche, grossie quatre fois, vue en dessus.  
 Fig. 2. La même en dedans, et charnière de la valve opposée.  
 Fig. 3. Grandeur naturelle.

**Syndosmya elegans**, Desh.

- Fig. 4. Valve gauche, grossie trois fois et demie, vue en dessus.  
 Fig. 5. La même, vue en dedans.  
 Fig. 6. Grandeur naturelle.

**Syndosmya exilis**, Desh.

- Fig. 7. Valve gauche, grossie quatre fois, vue en dessus.  
 Fig. 8. La même, en dedans.  
 Fig. 9. Grandeur naturelle.

**Syndosmya macrodonta**, Desh.

- Fig. 10. Valve droite, grossie six fois, montrant la surface extérieure.  
 Fig. 11. La même, vue en dedans.  
 Fig. 12. Grandeur naturelle.

**Syndosmya Suessoniensis**, Desh.

- Fig. 13. Valve droite, grossie cinq fois, vue en dessus.  
 Fig. 14. La même, vue en dedans, et charnière de la valve gauche.  
 Fig. 15. Grandeur naturelle.

**Syndosmya media**, Desh.

- Fig. 16. Valve gauche, grossie cinq fois, montrant la surface supérieure.  
 Fig. 17. La même, vue en dedans.  
 Fig. 18. Grandeur naturelle.

**Syndosmya striatula**, Desh.

- Fig. 19. Surface extérieure de la valve droite, grossie cinq fois.  
 Fig. 20. La même, montrant l'intérieur.  
 Fig. 21. Grandeur naturelle.

**Syndosmya deltoidea**, Desh.

- Fig. 22. Intérieur de la valve gauche, grossie cinq fois.  
 Fig. 23. Surface extérieure de la même valve.  
 Fig. 24. Grandeur naturelle.

**Syndosmya difficilis**, Desh.

- Fig. 25. Surface extérieure de la valve gauche, grossie cinq fois.  
 Fig. 26. La même, vue en dedans, et charnière de la valve droite.  
 Fig. 27. Grandeur naturelle.

**Syndosmya donacina**, Desh.

Fig. 28. Valve droite, grossie quatre fois, vue en dessus.

Fig. 29. La même, vue en dedans.

Fig. 30. Grandeur naturelle.

**Goodallia miliaria**, Desh.

Fig. 31. Surface extérieure de la valve gauche, grossie douze fois.

Fig. 32. La même valve, vue en dedans, et charnière de la valve droite.

Fig. 33. Grandeur naturelle.

**Lutetia Parisiensis**, Desh.

Fig. 34. Valve gauche, grossie dix fois, vue en dessus.

Fig. 35. La même, montrant l'intérieur, et charnière de la valve opposée.

Fig. 36. Grandeur naturelle.

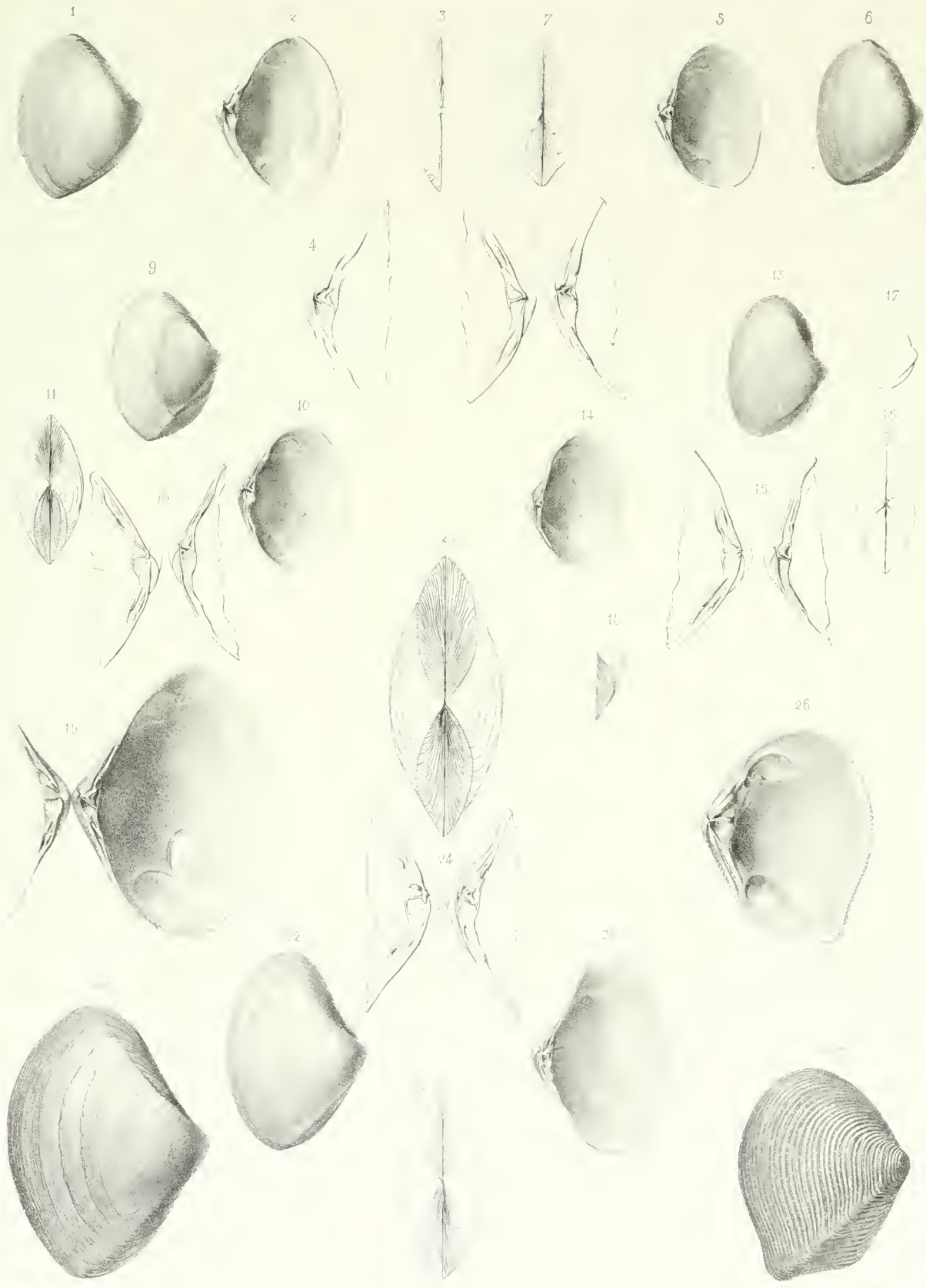


Herb. Bayer. ad nat. hist. de.

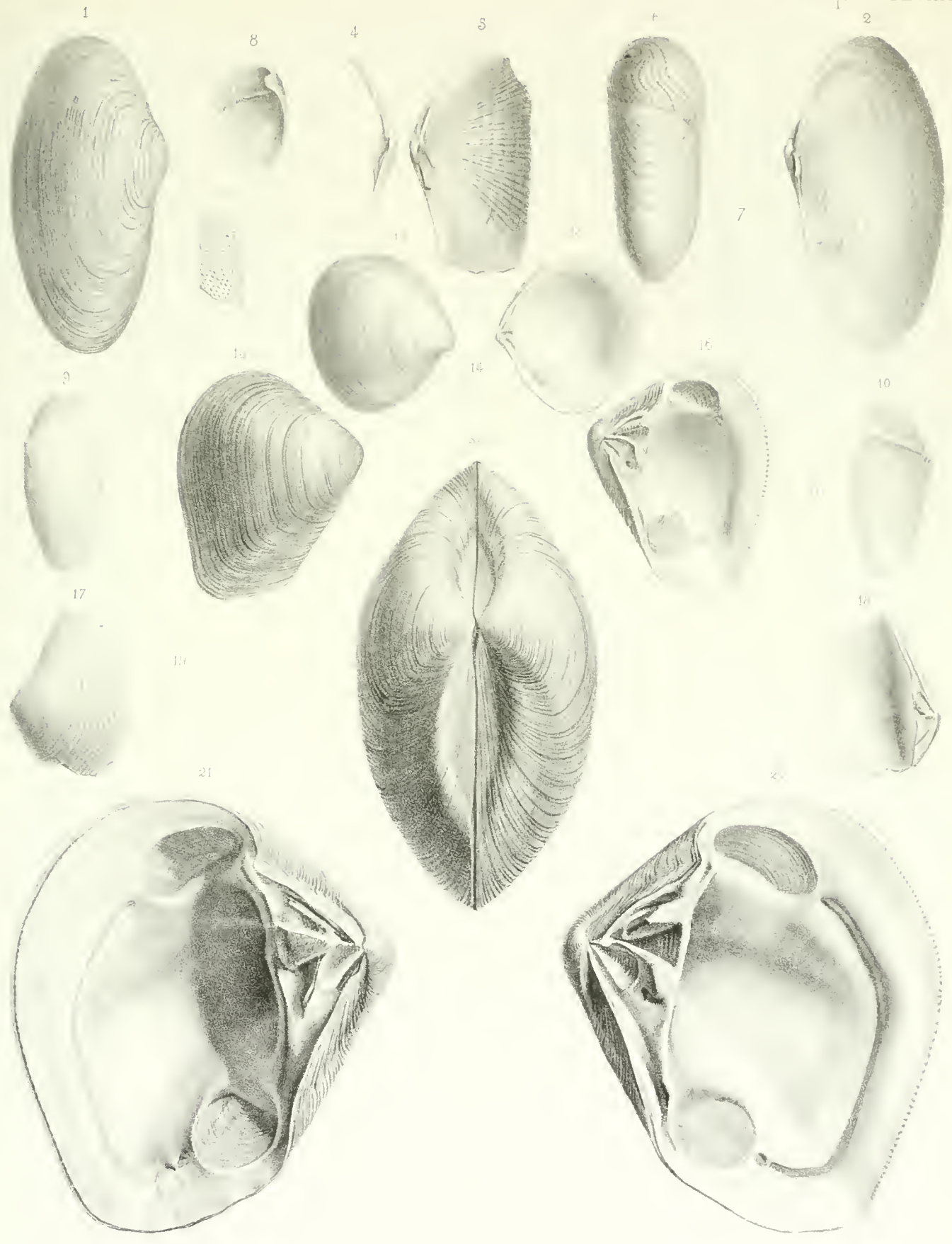








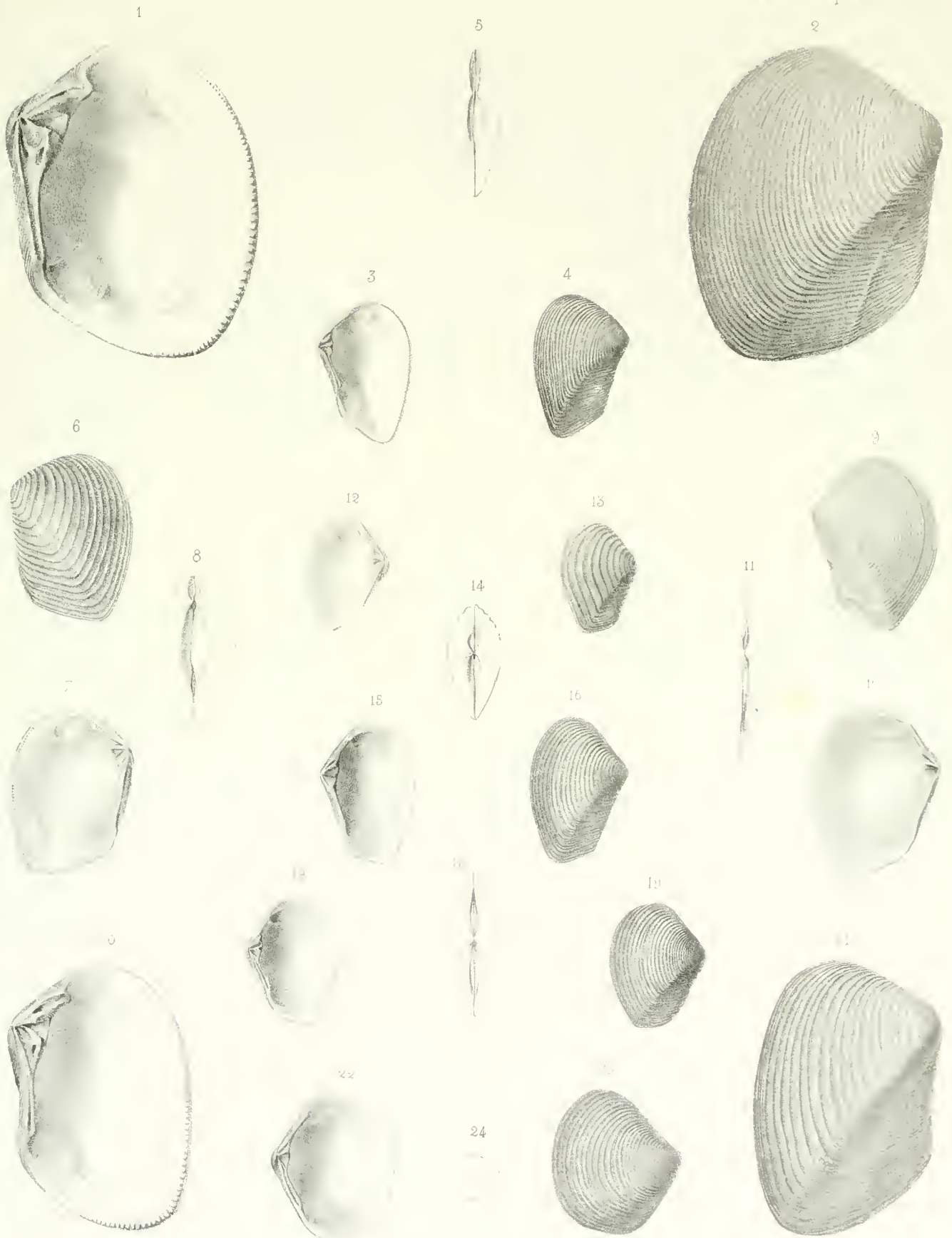




Levasseur et Lackerbauer ad nat in lap del

Del. L.

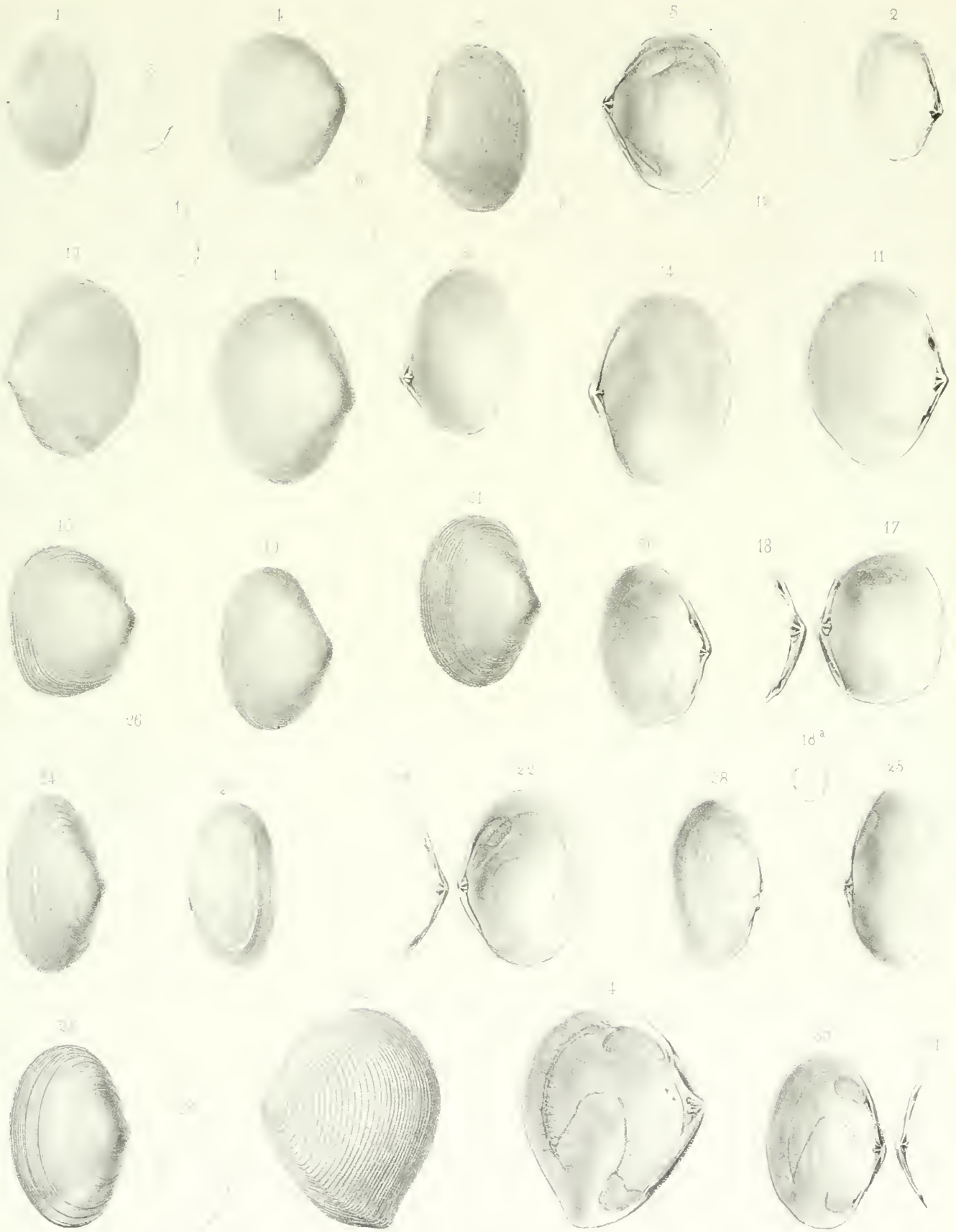




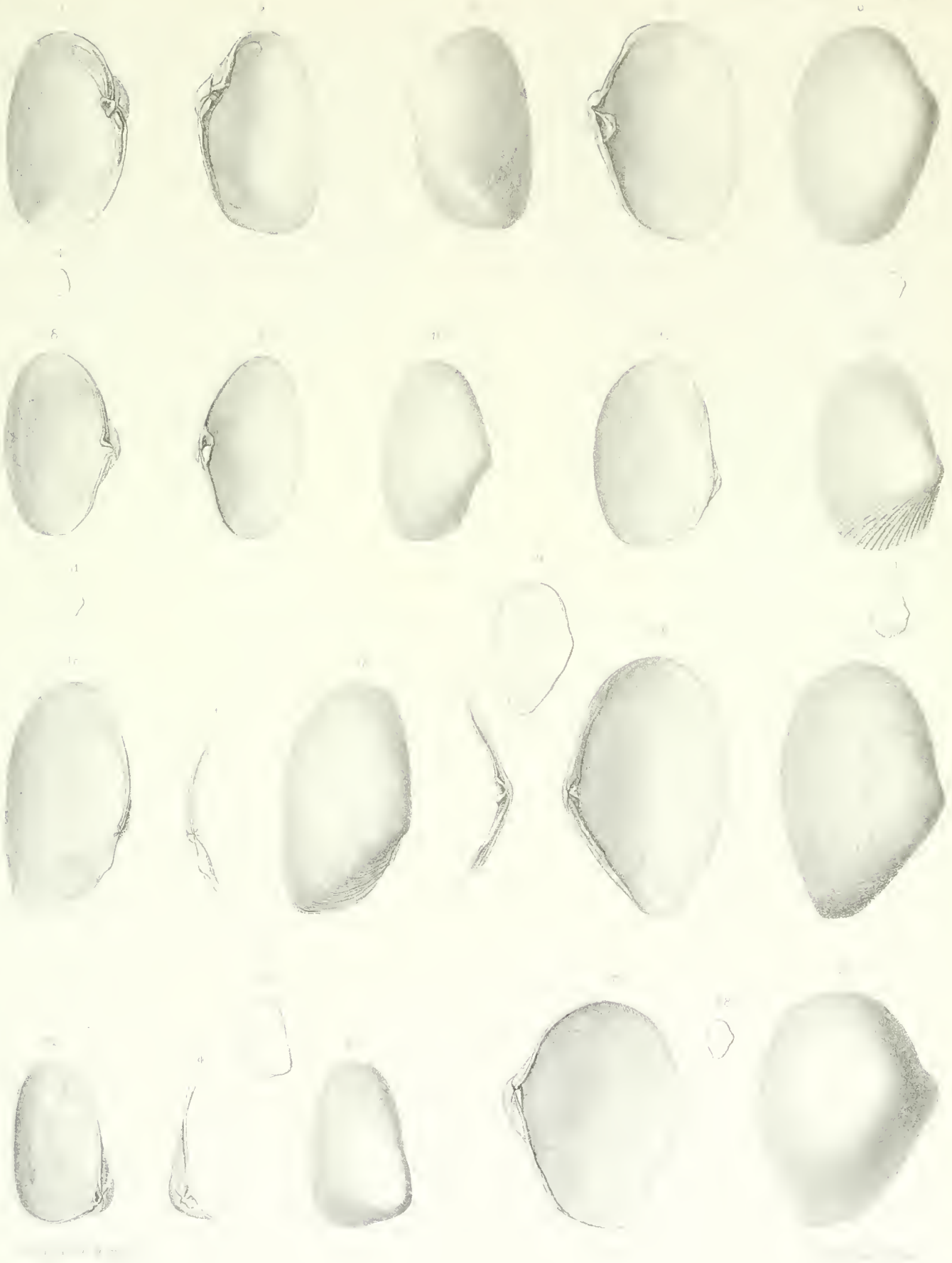
Läckerbauer ad nat in lap. del

Pl. XX



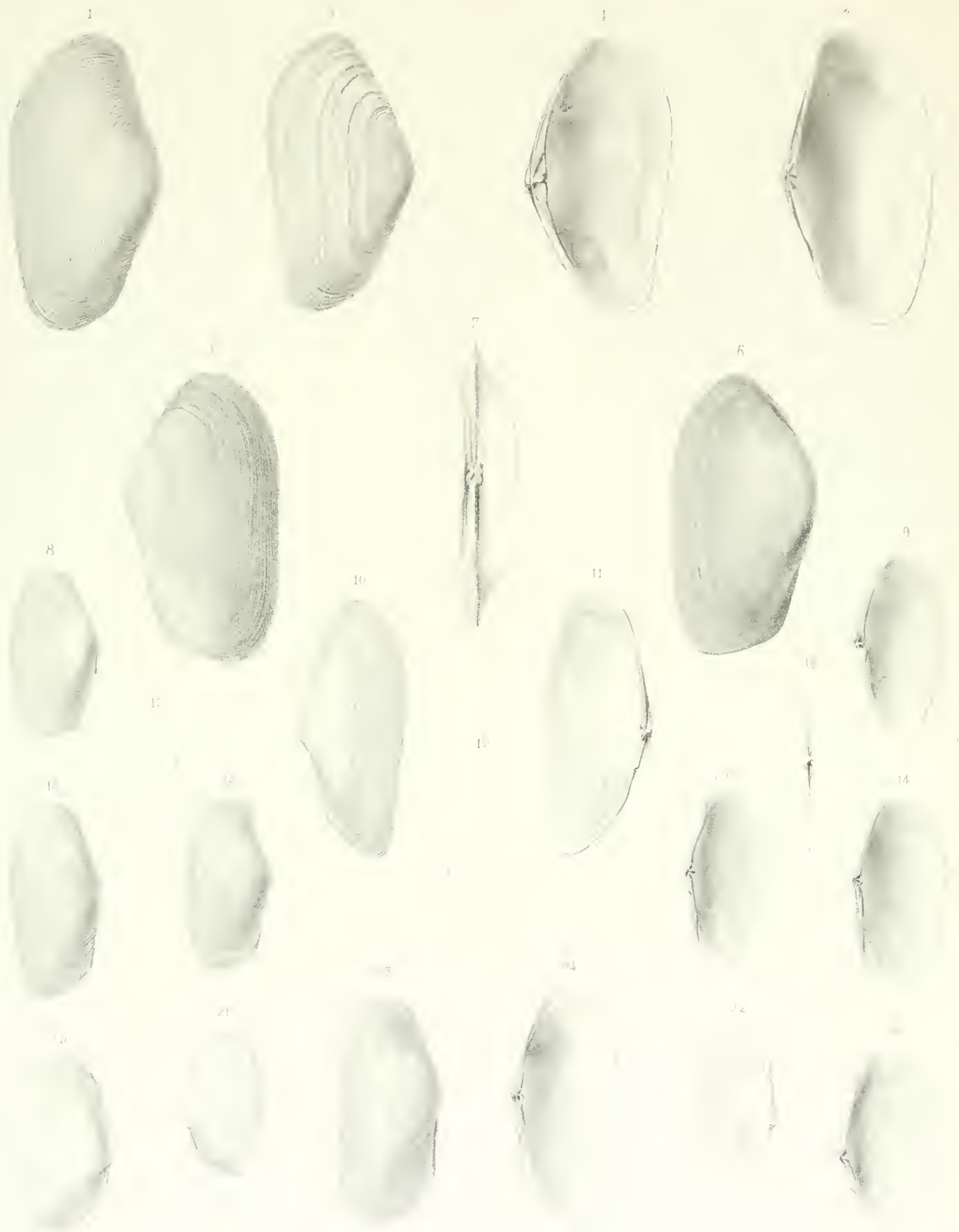






*AMMA (MORCINI) SUBREDO, C. MOLLUSCA, 1901, PL. 21.*





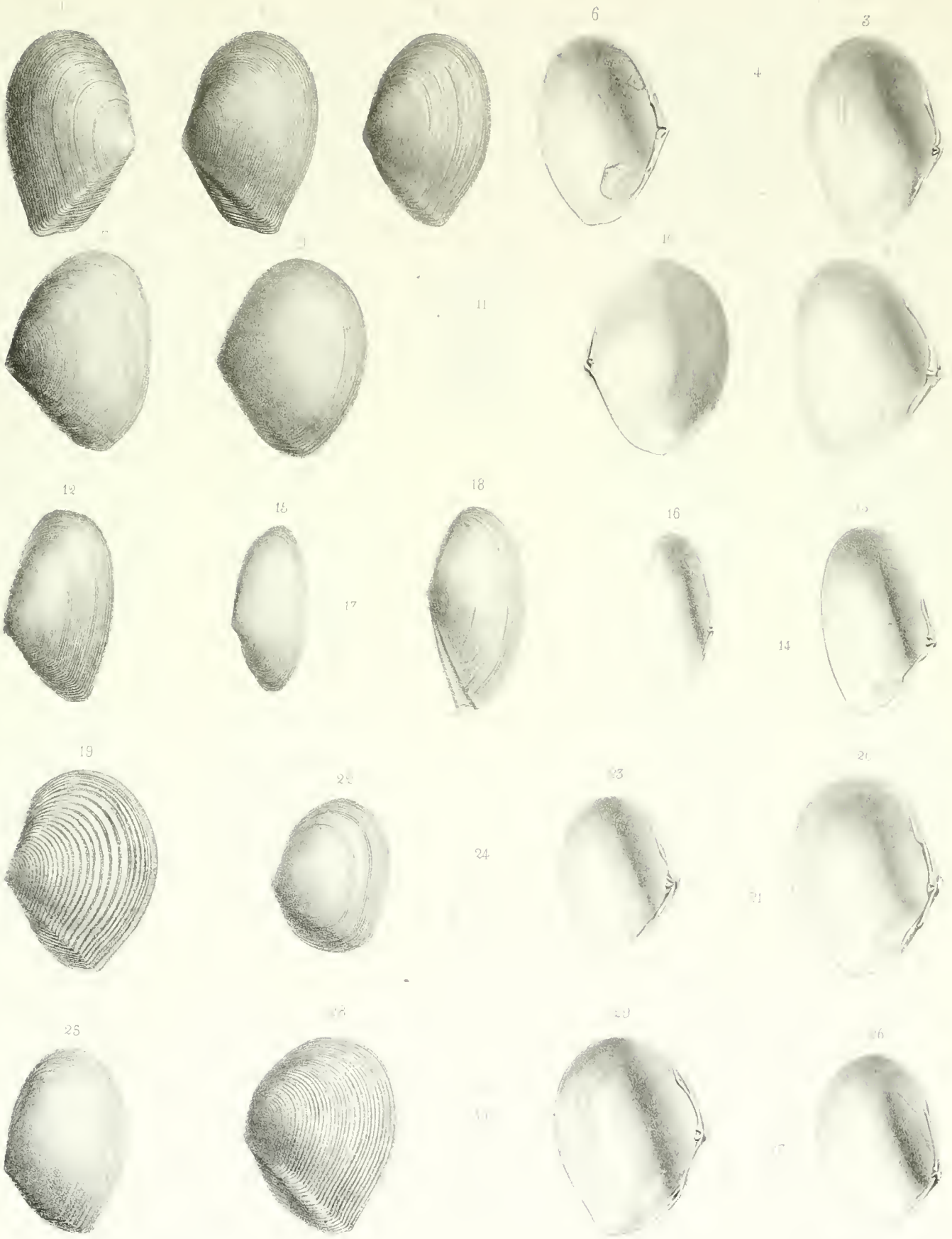
Lackert auct. ad nat. in lap. del.

Lith. Douquet, Paris.









Lackebauer et Levasseur. ad nat in lap. 661

ANIMAUX SANS VERTÈBRES DU BASSIN DE LAZARUS





PLATE X. Mollusques. (Continued)





man' ad nat' in lap del

PLATE XXVII. MOLLUSK SHELLS.



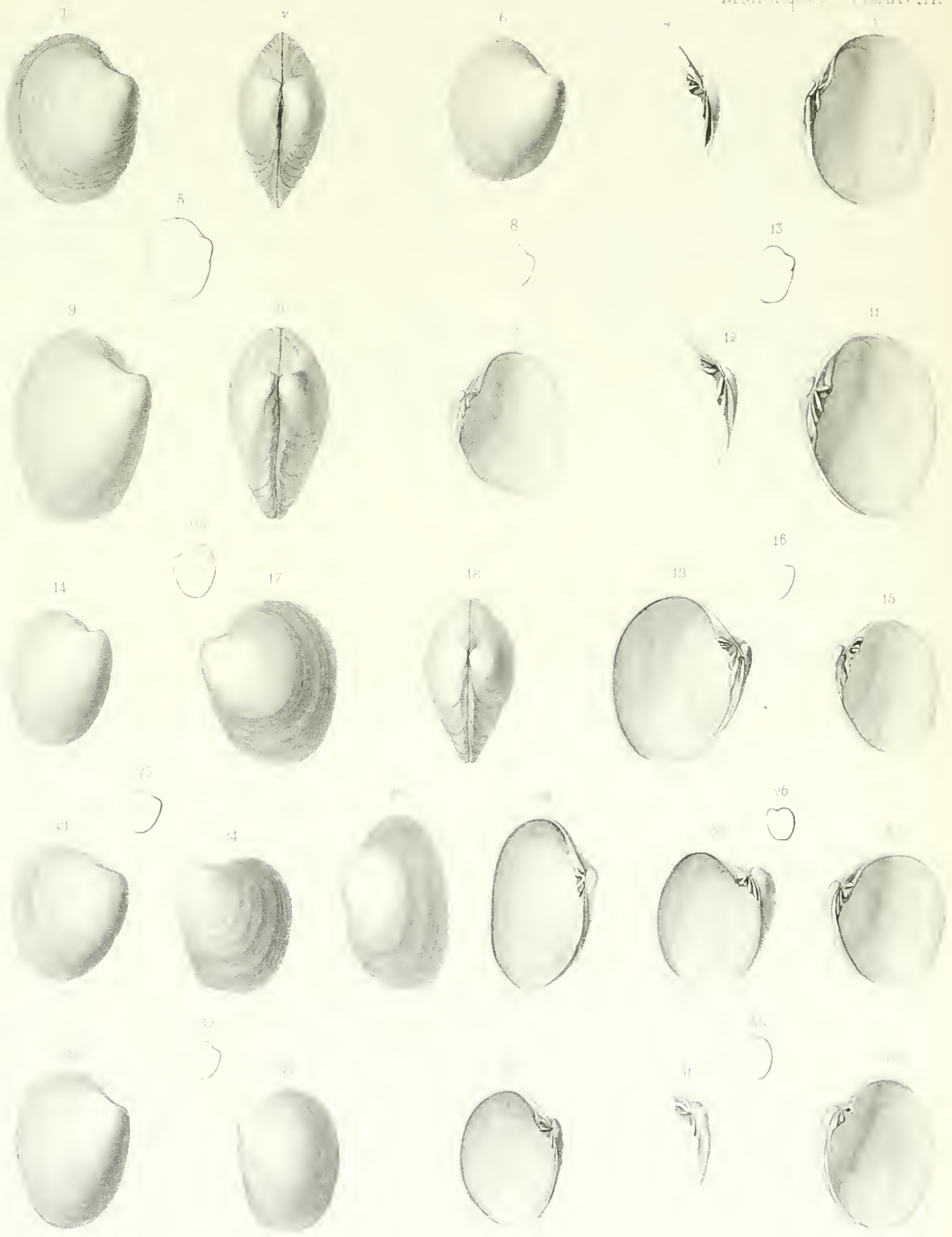
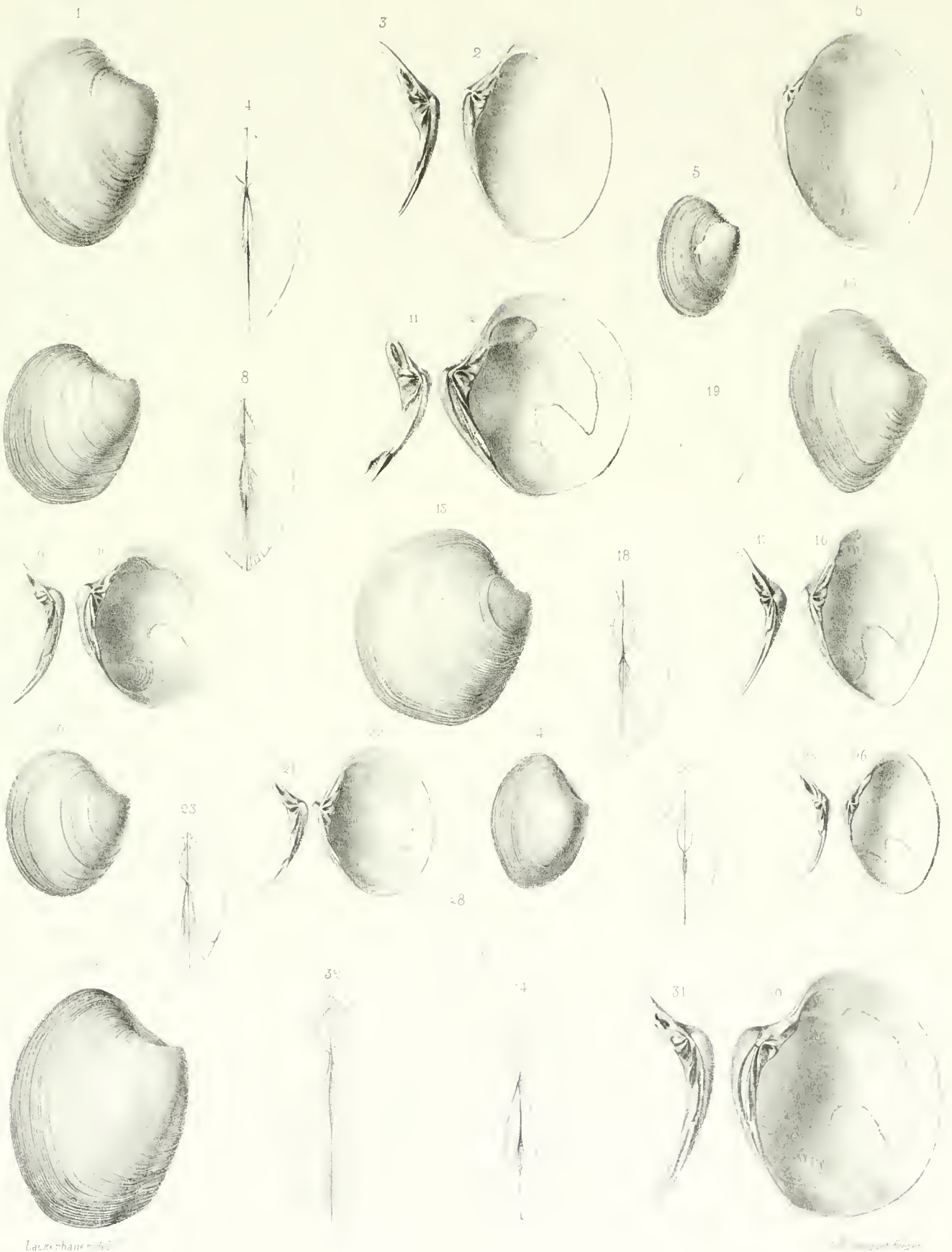


Fig. 1. *Unio pat. acut.*

Fig. 26. *Unio pat. acut.*





ANIMAUX SANS VERTÈBRES DU BASSIN DE PARIS





PLATE 100

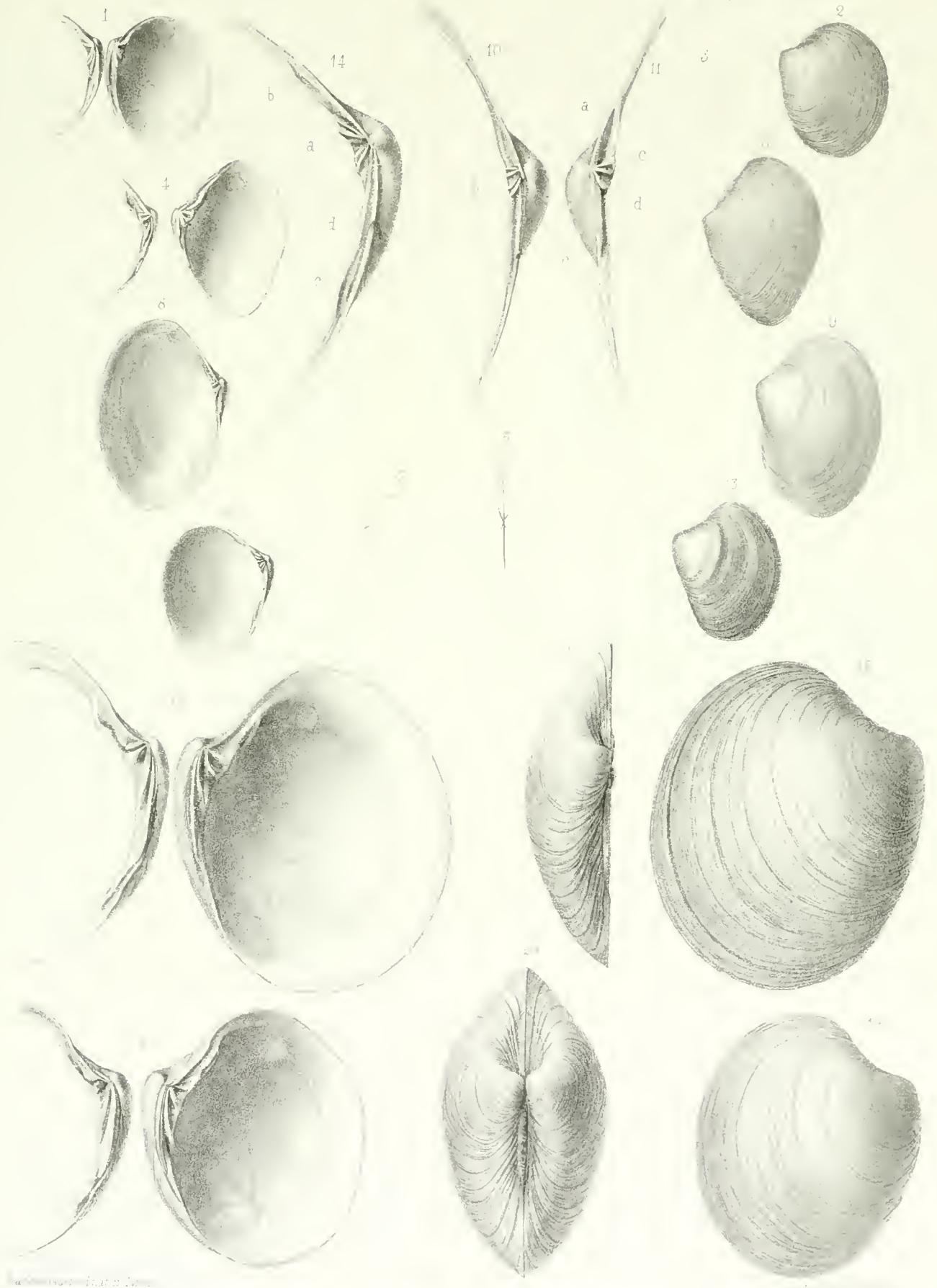




Illustration of a shell of Pinctada

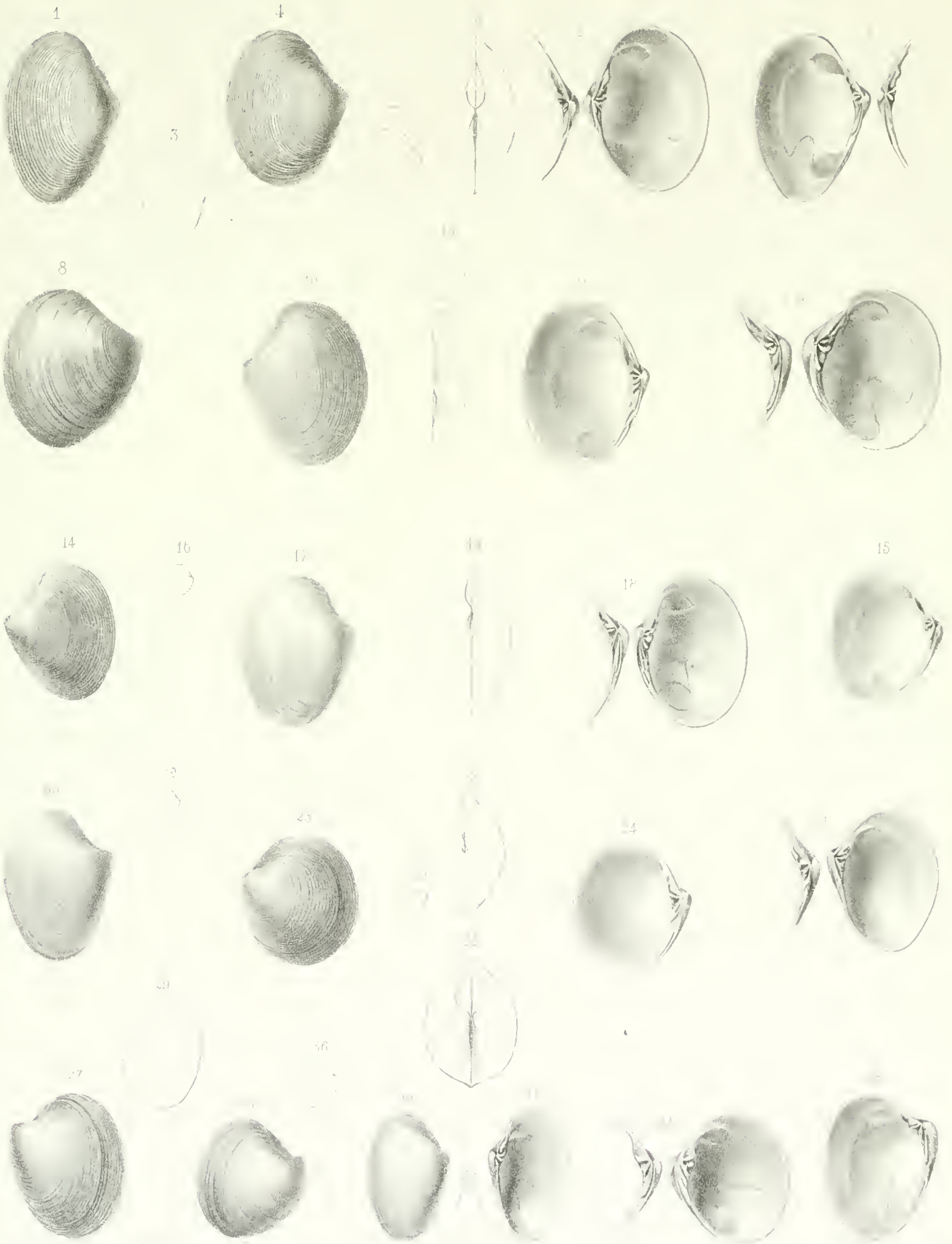
PINCTADA SANS TOUWEN ET HASSEN G. 1891





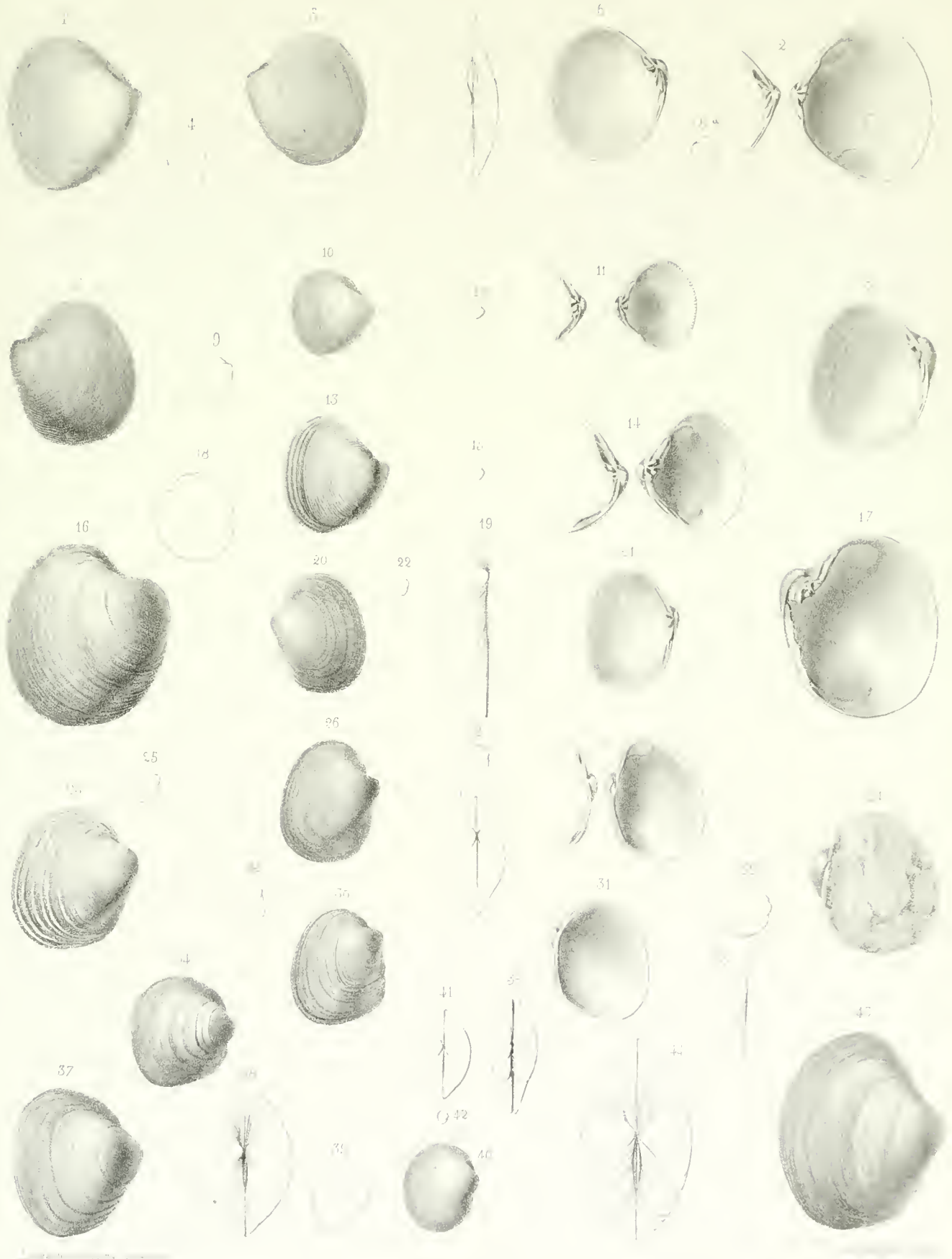
ANIMALES MARINS





ackerbauer del nat in l. n.













Markerauer ad. et in. del.





ANIMAUX VIVANTS DE LA MER ET DE L'EAU DOUCE

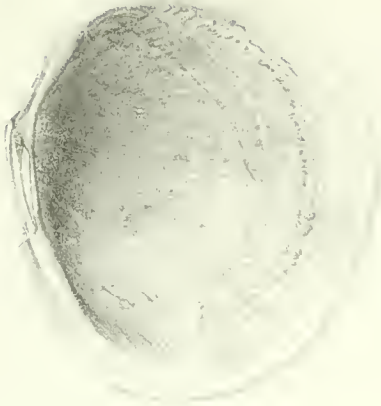




W. A. S. Bauer ad nat in lap del



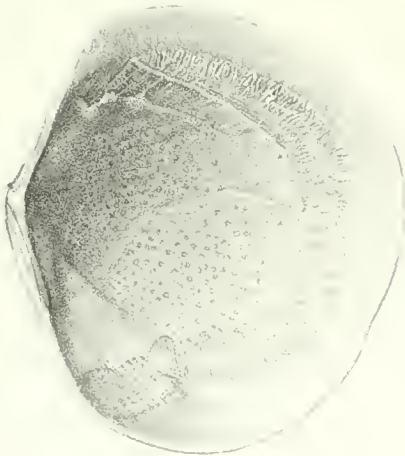
1



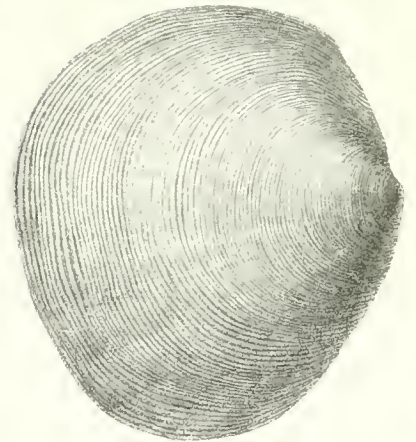
2



3



6



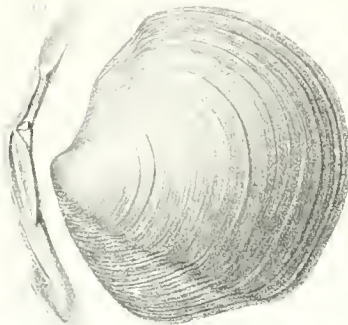
7



11



8



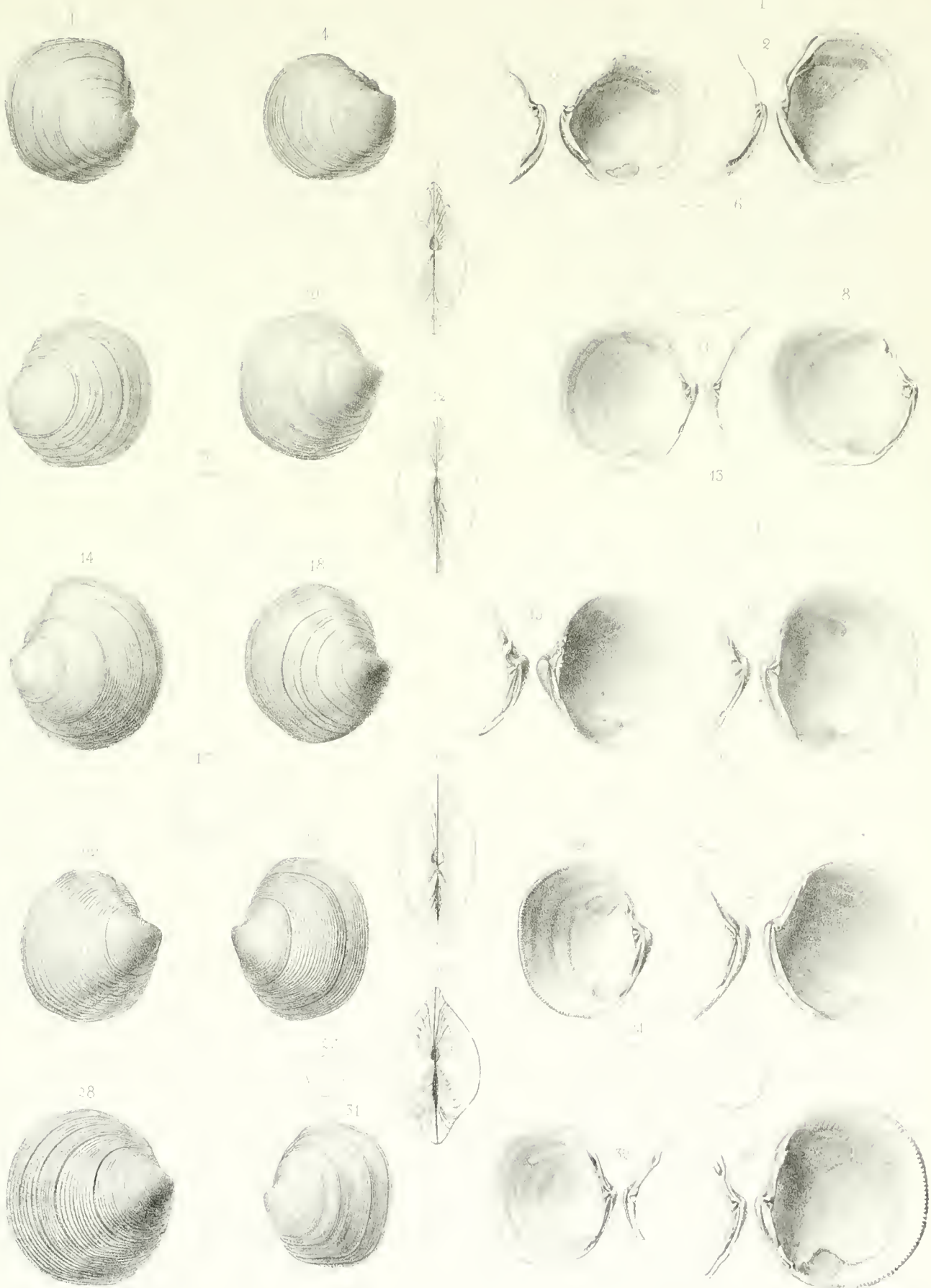
arkertuue id nat a. lapuel





Pl. VI. Mollusques. Pl. VI.

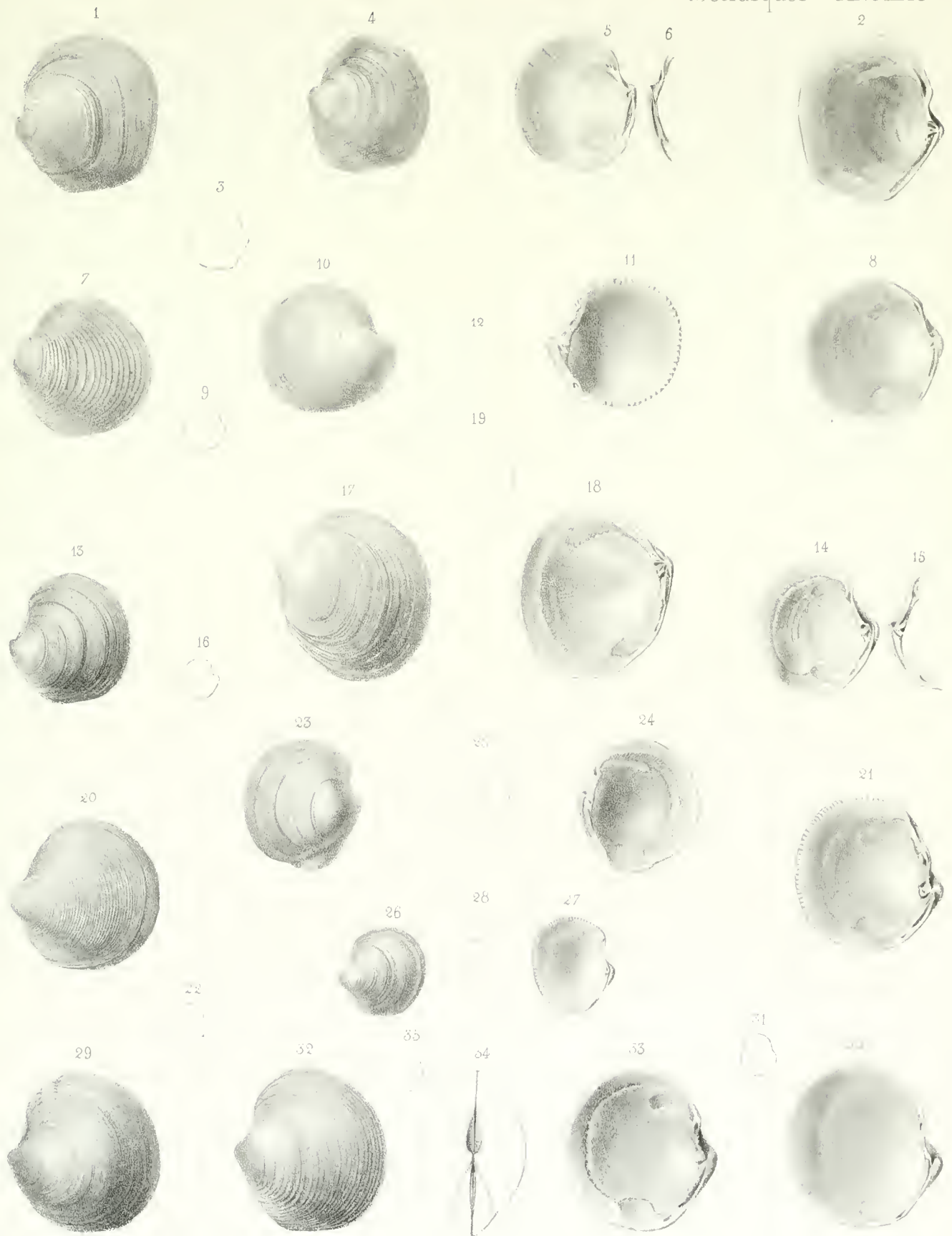




*Lacorbauer ad nat in lap. etc.*

ANIMAUX SANS VIEilles PRES DU BASSIN LI

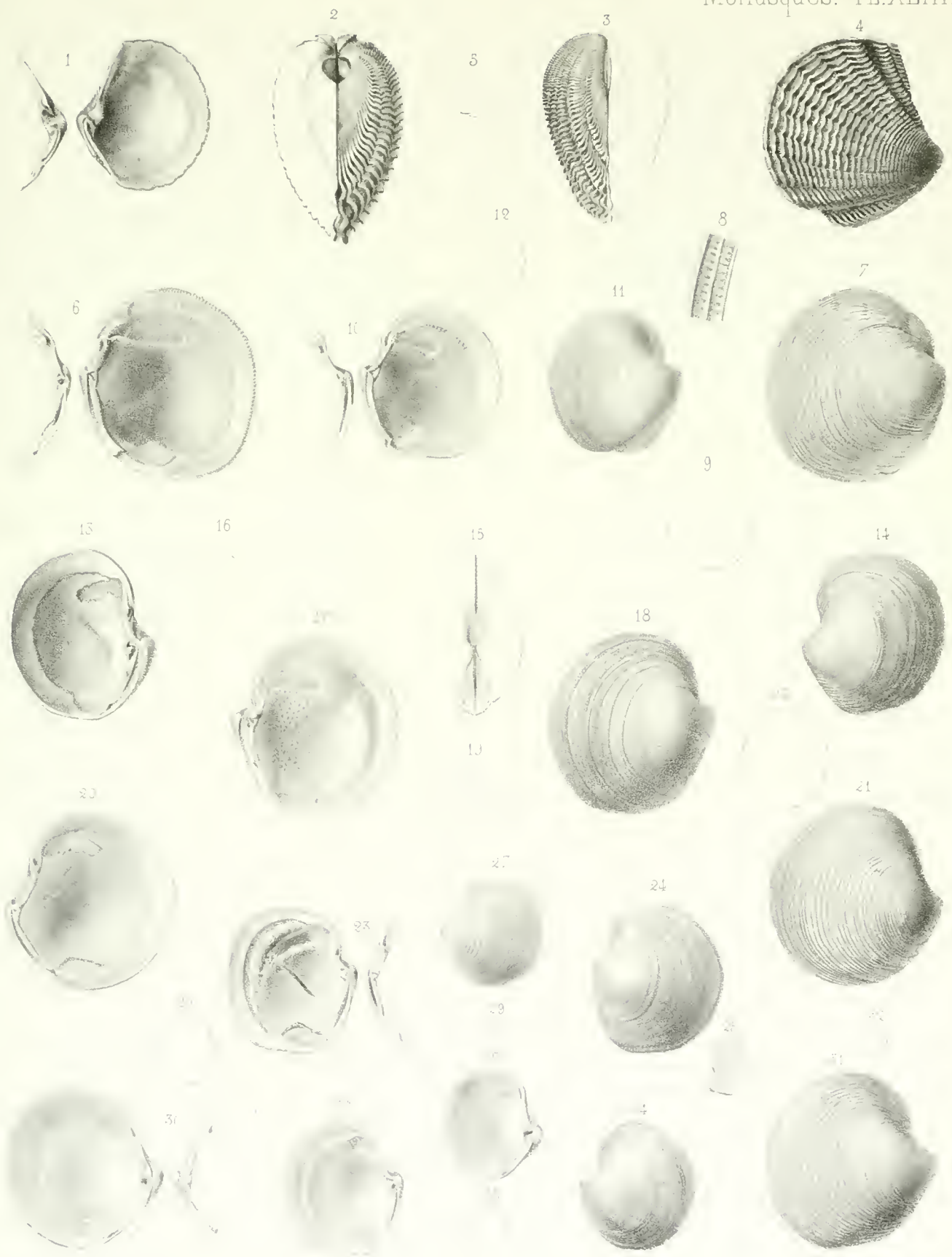




Lackerbauer ad nat in lap del

Beugnot fecit

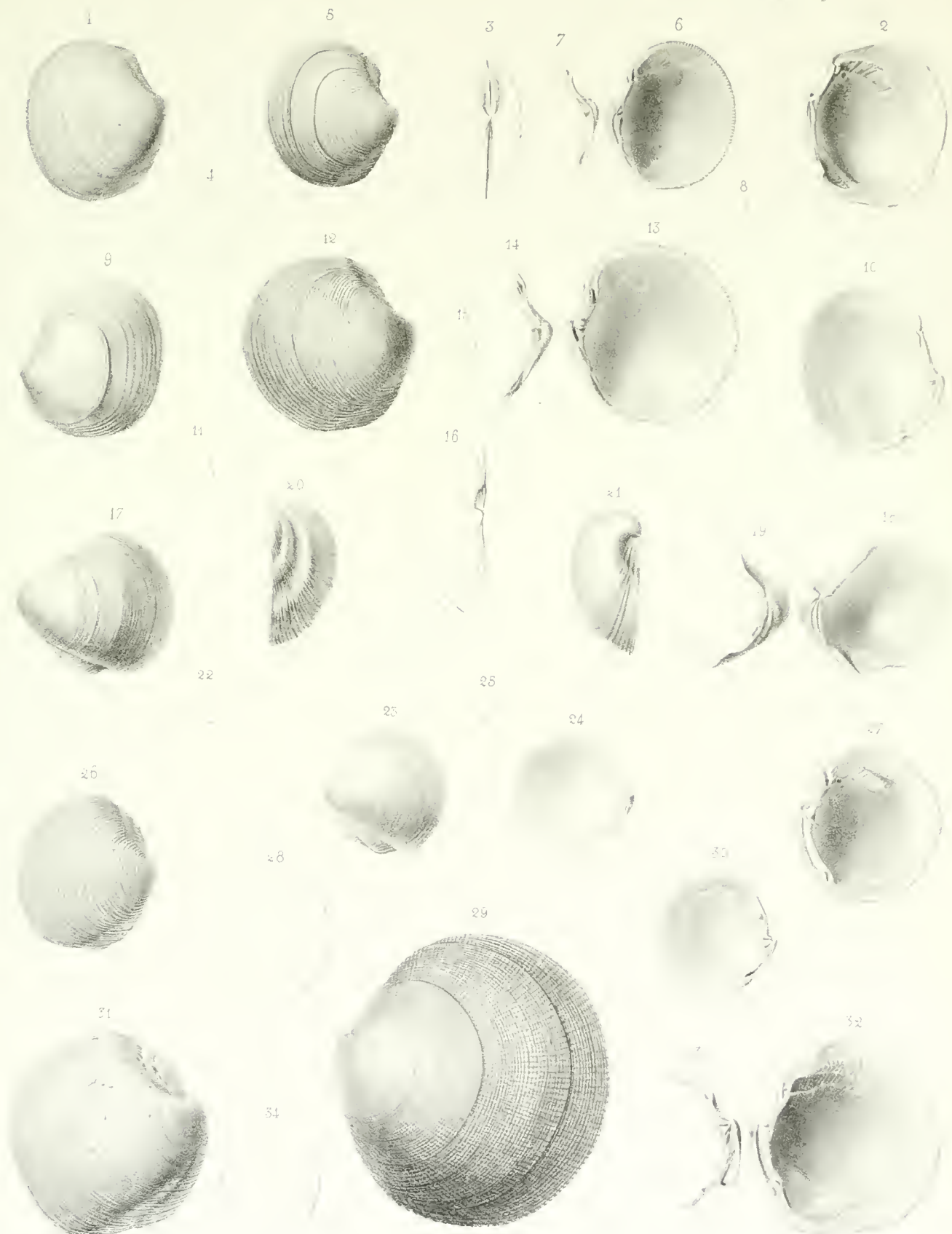




Lackerbauer adnat in iap. cr.

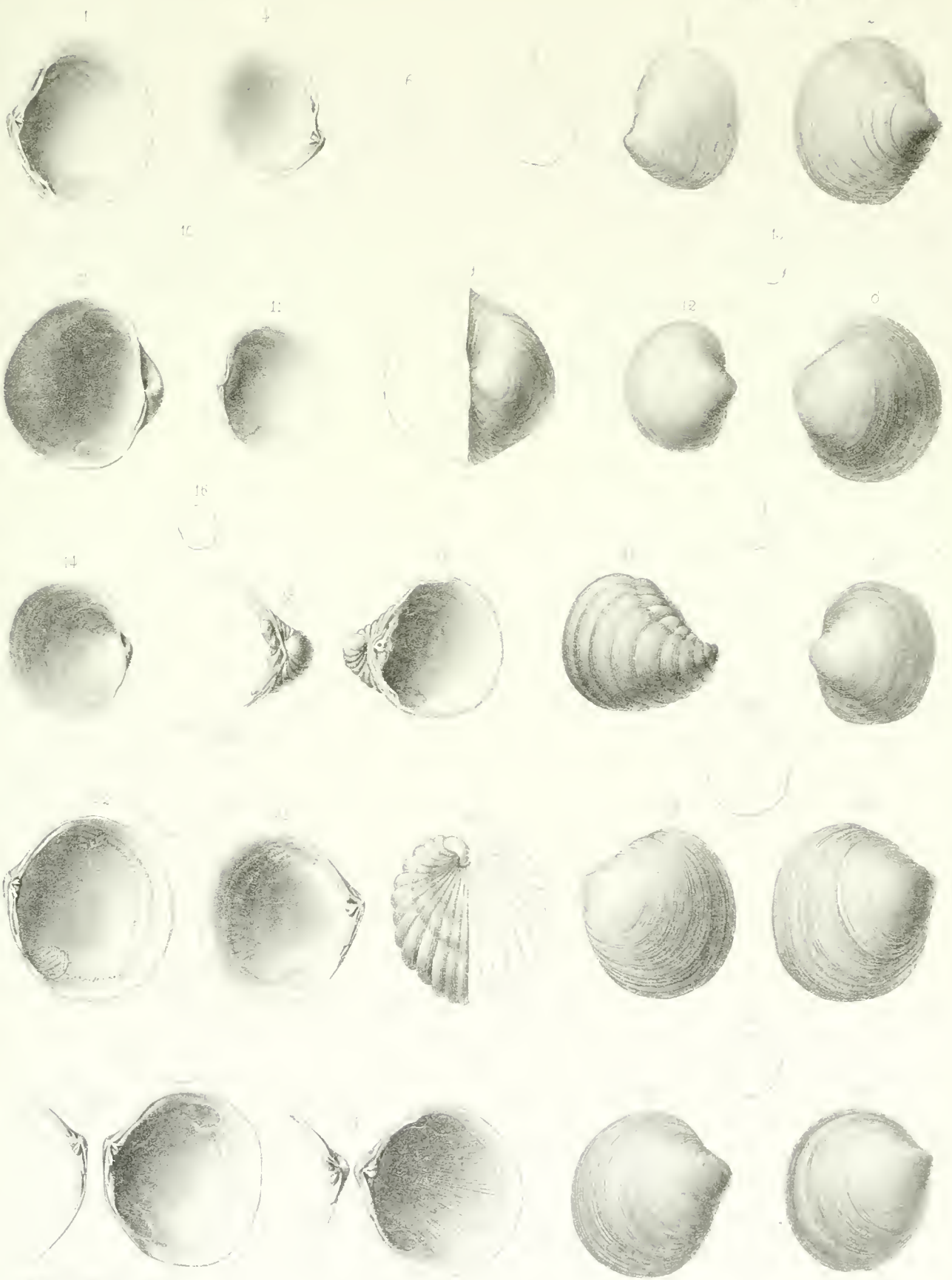
Lith. Benquet. Goussier.



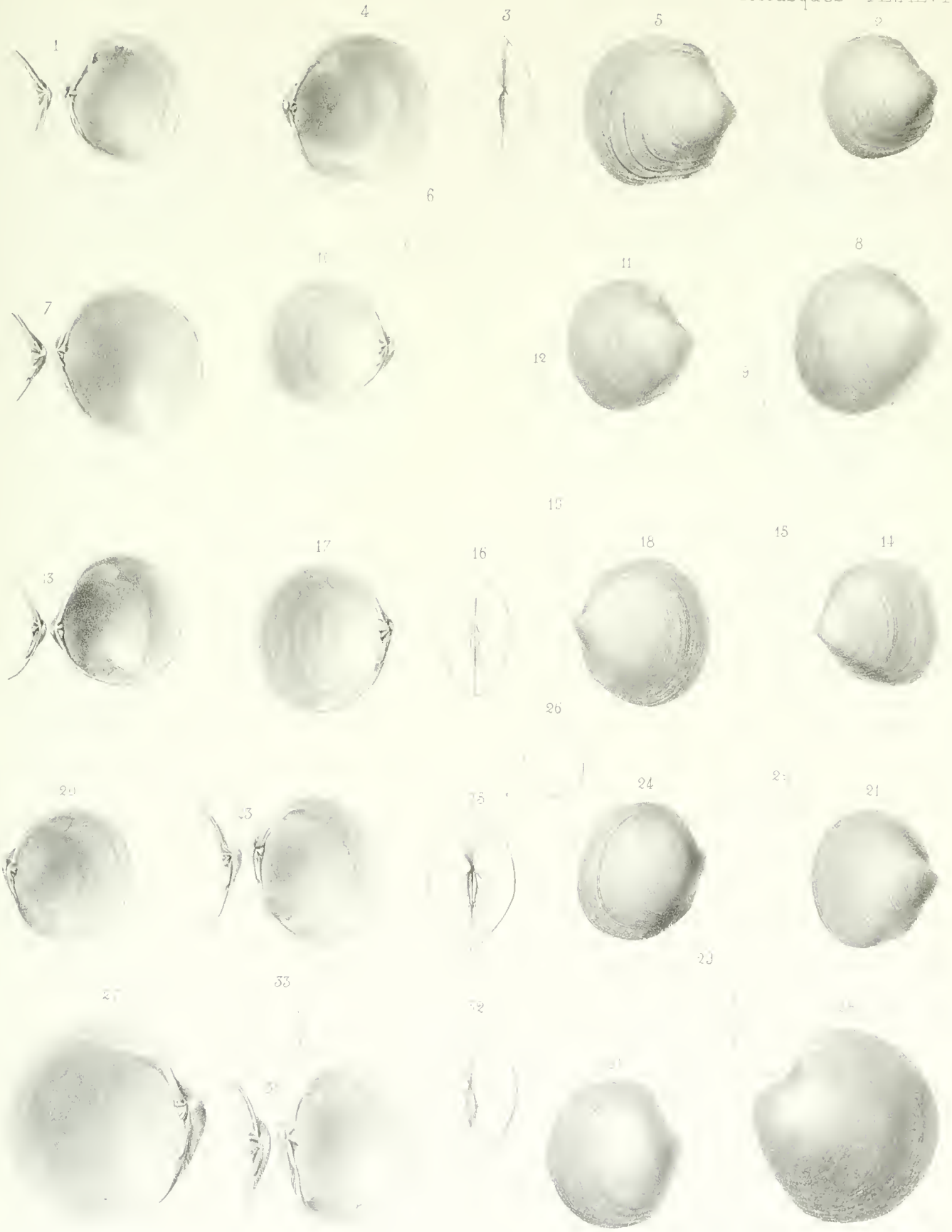


Lacertaver ad nat in lap del



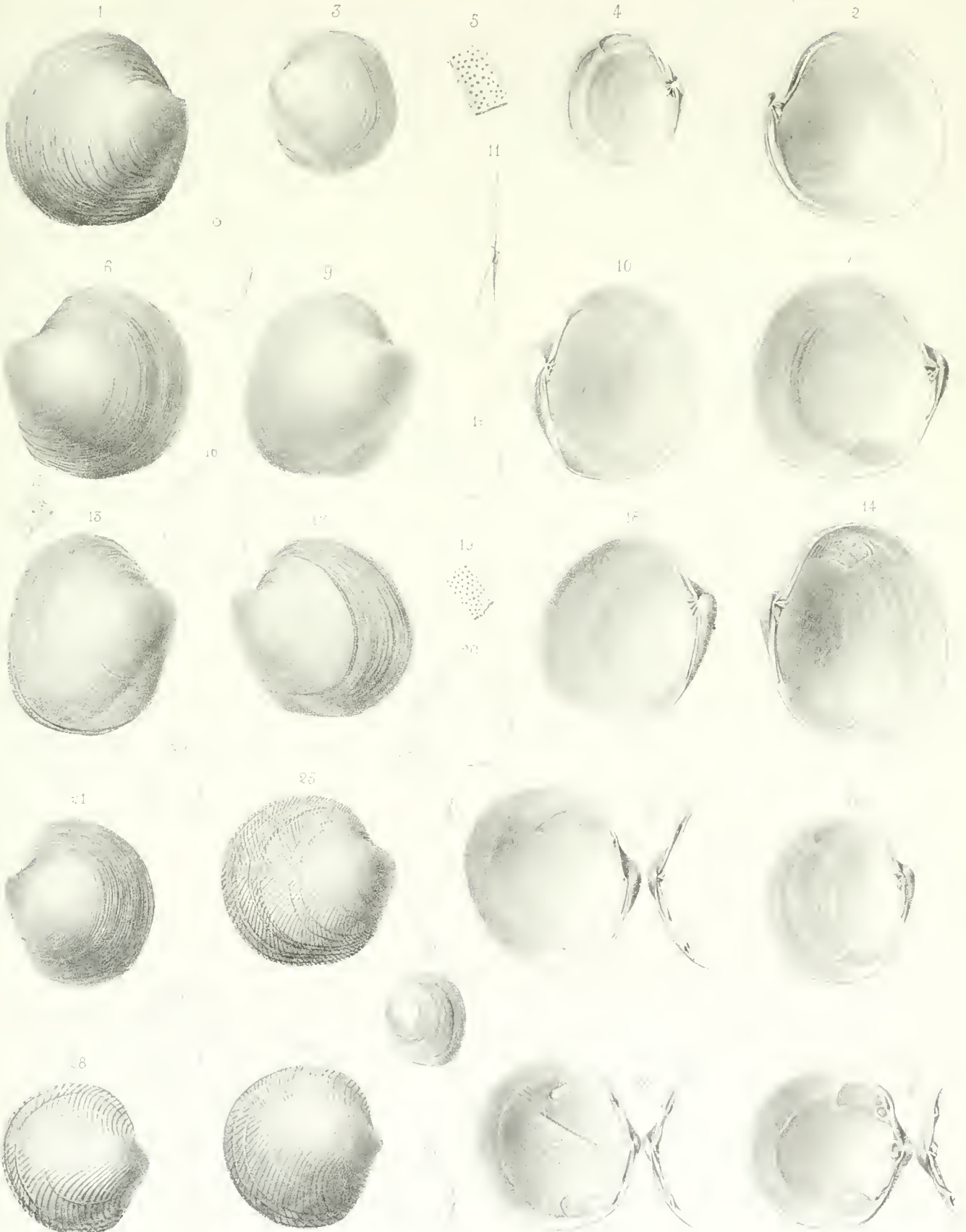






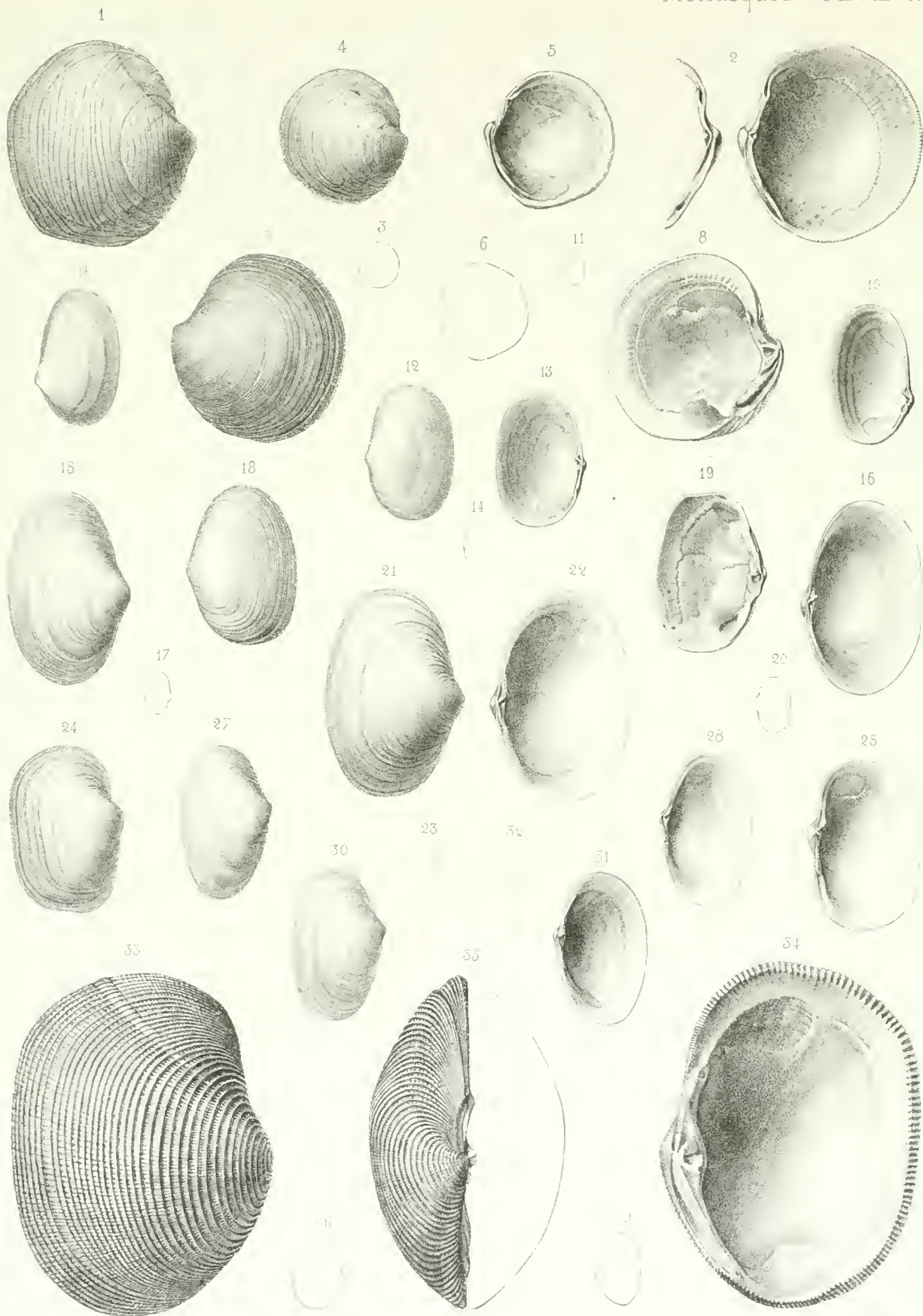
Lacknerbauer ad nat in lap del





ackerkha... sila' in lap de.





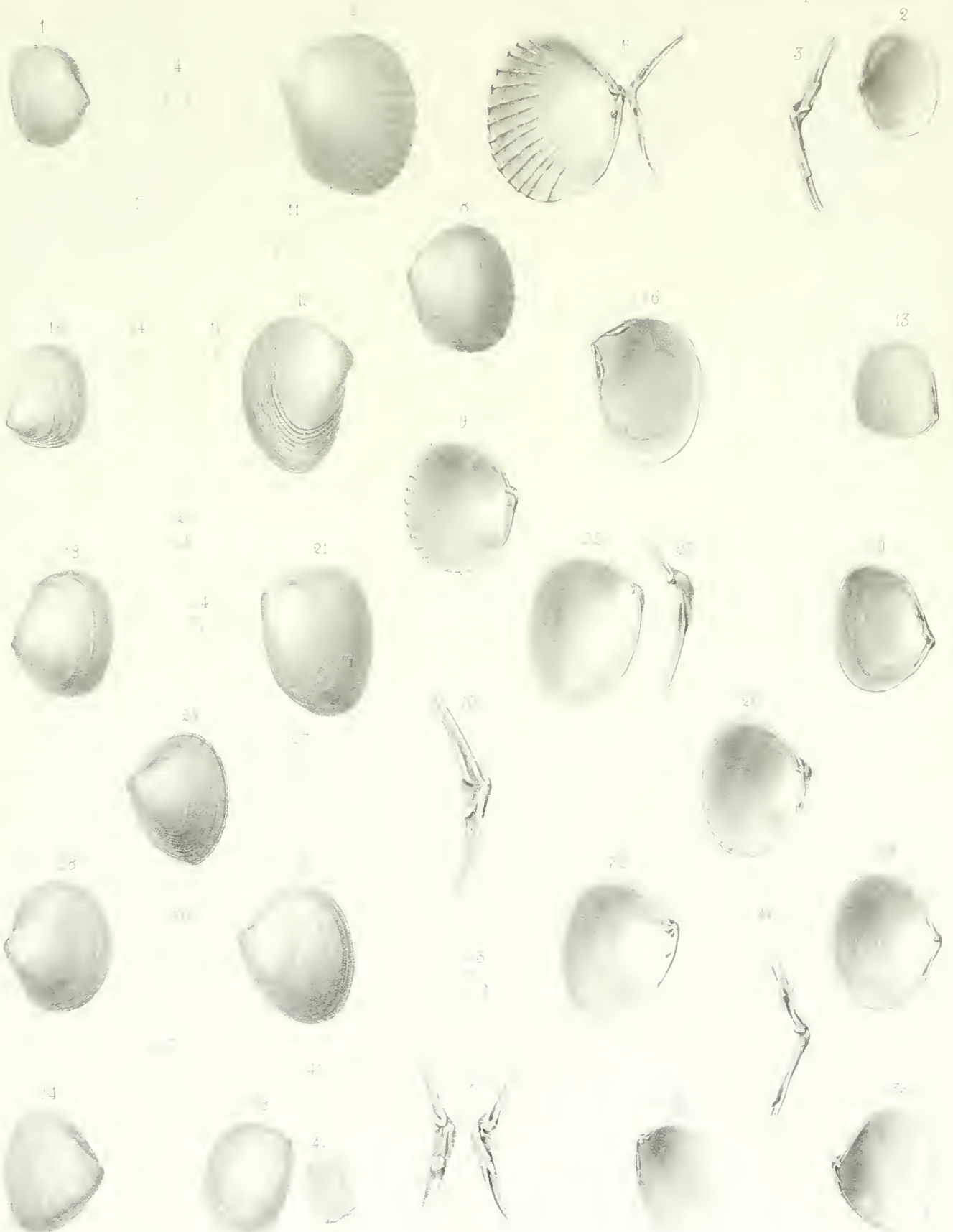




Lackbauer au nat in iap del

Edm Bequet





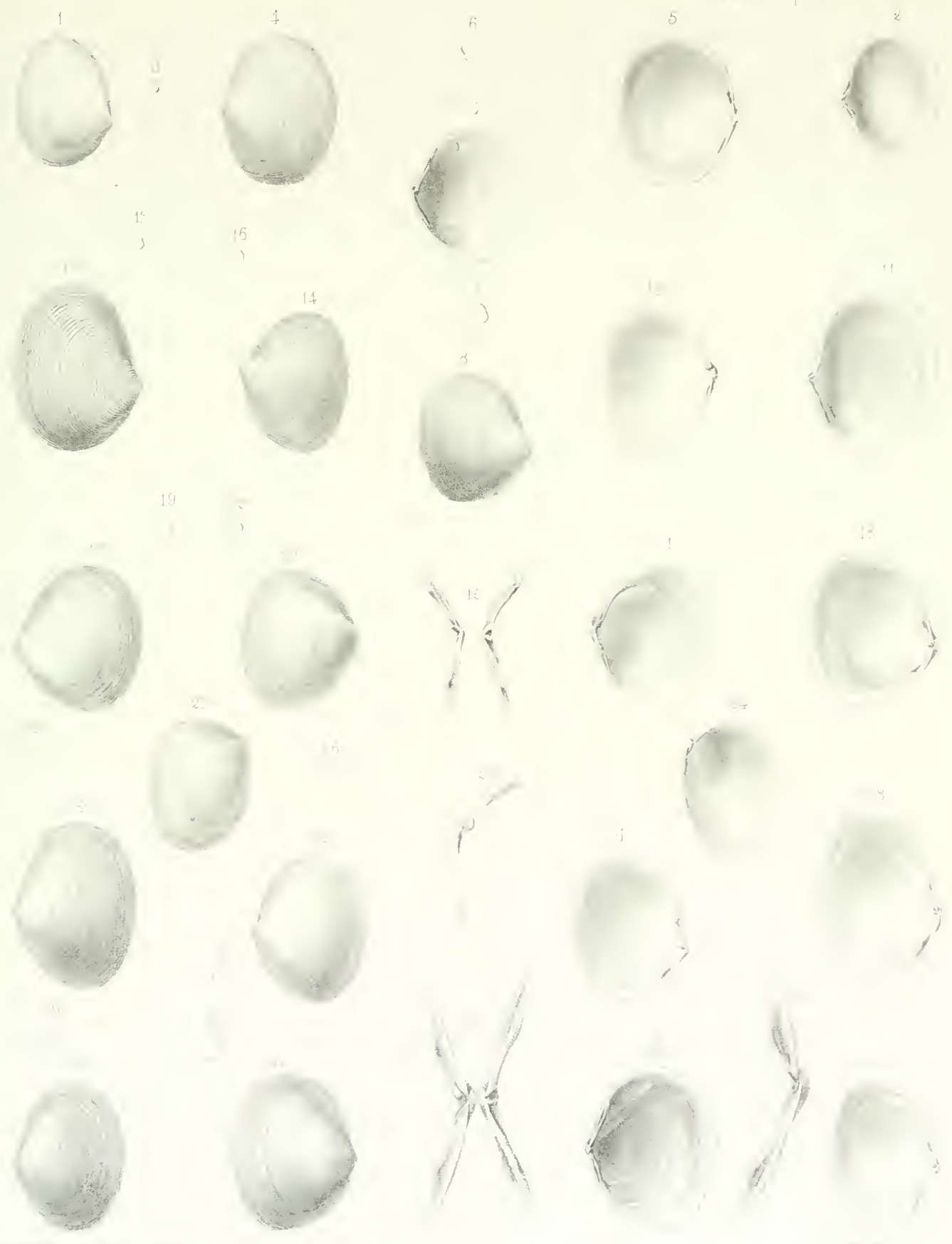




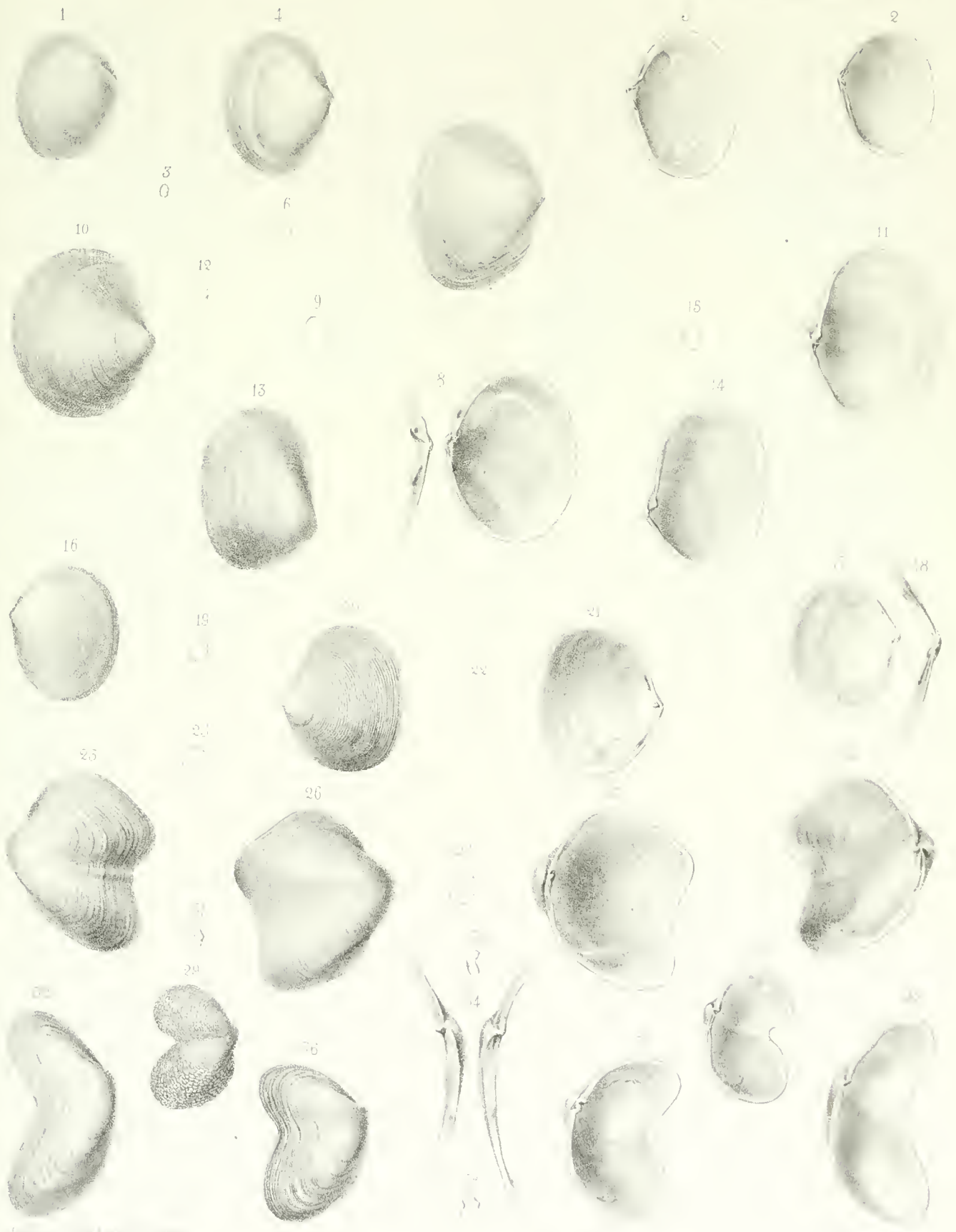
La. mollusca. (1850-1855)

PLATE LI. MOLLUSQUES. (1850-1855)

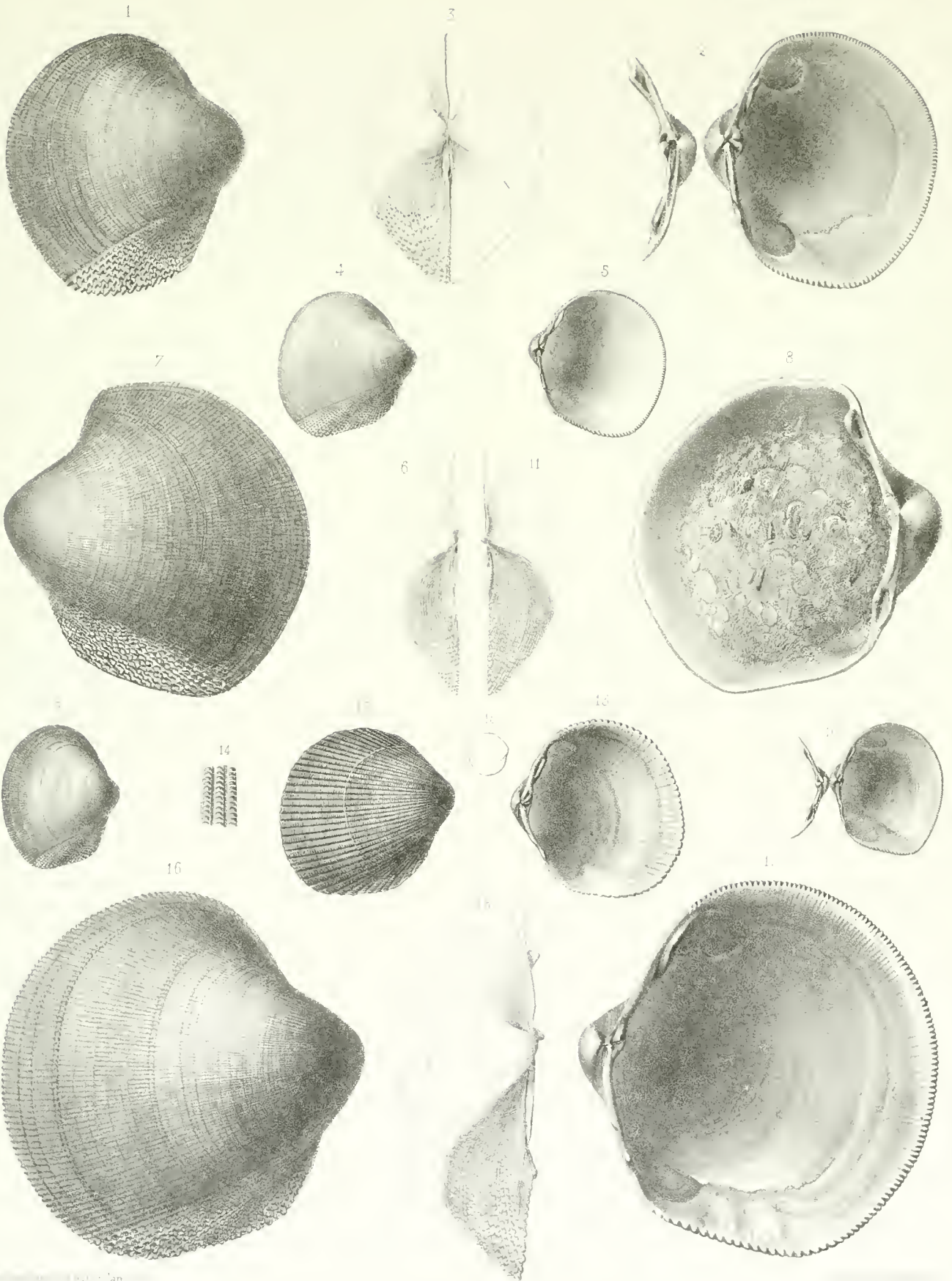




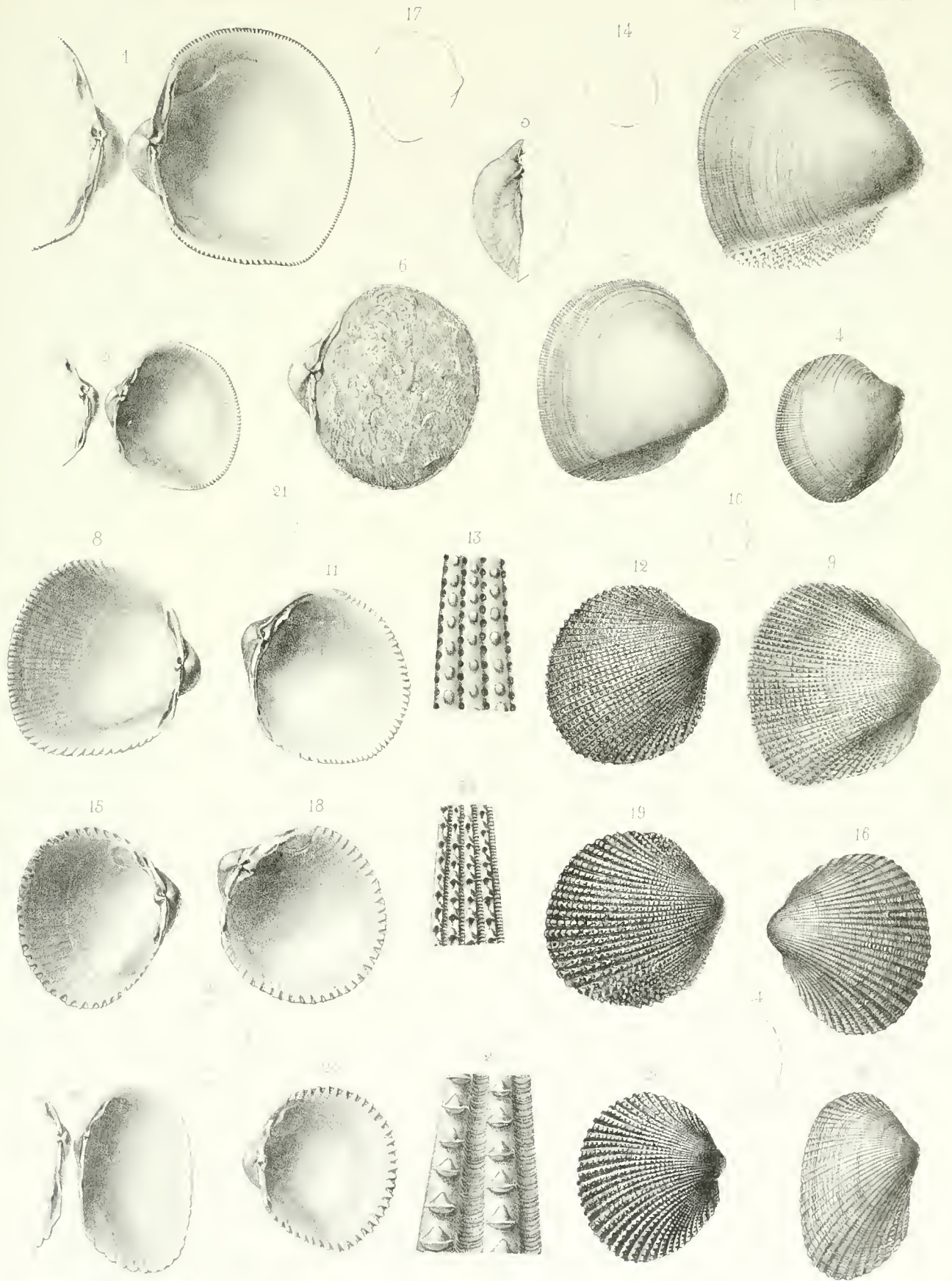








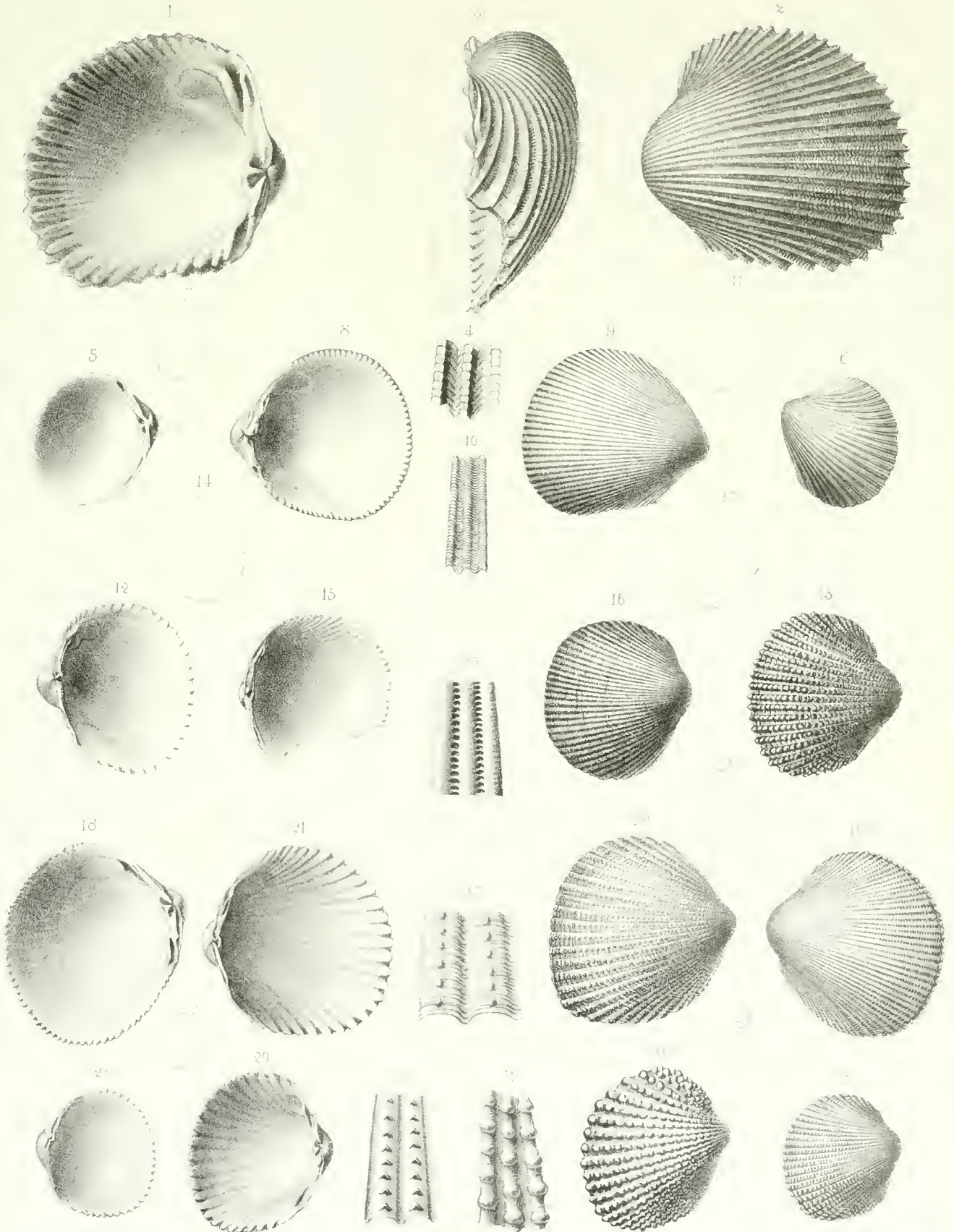




bauplan der ...

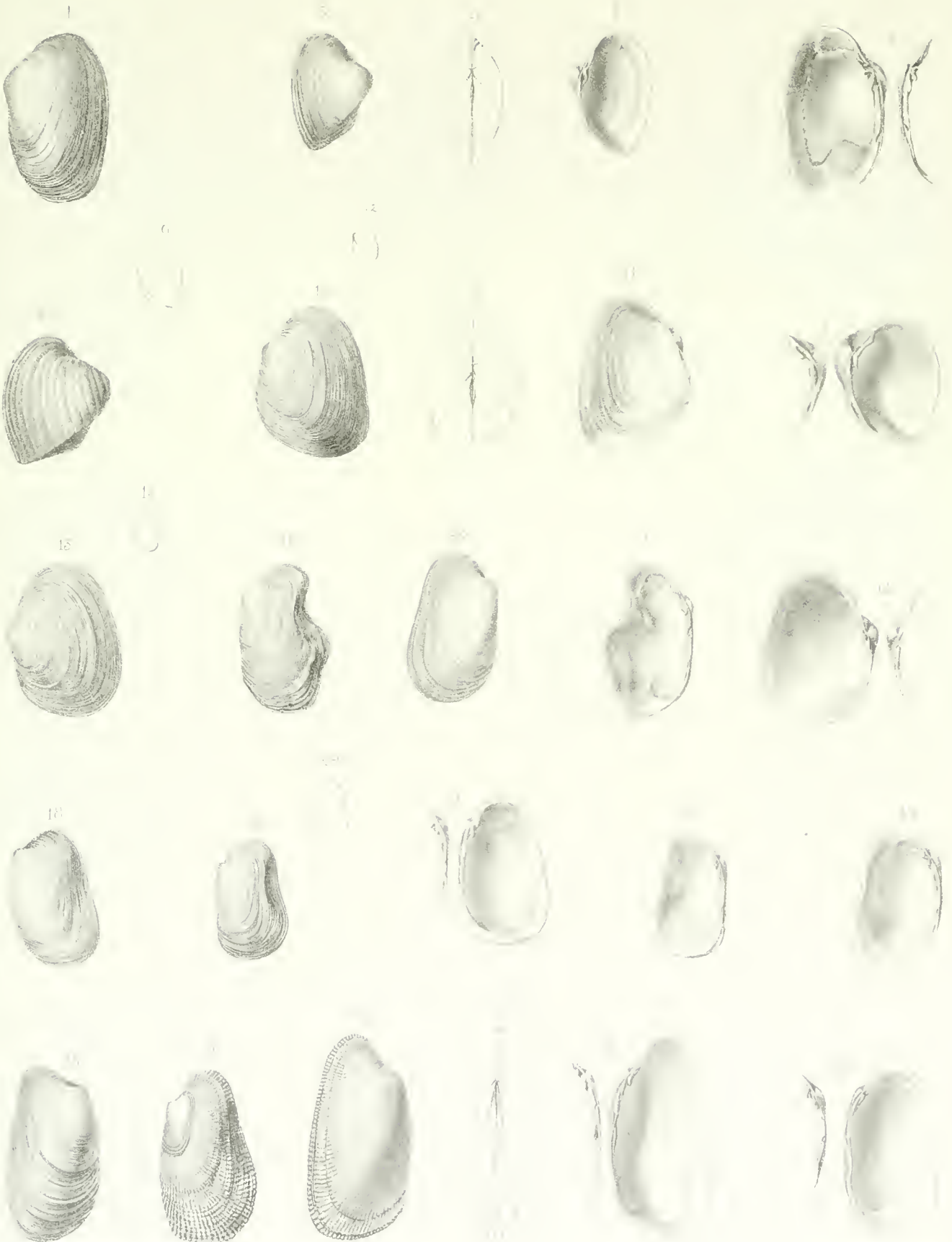
ALTMANN SAN ...



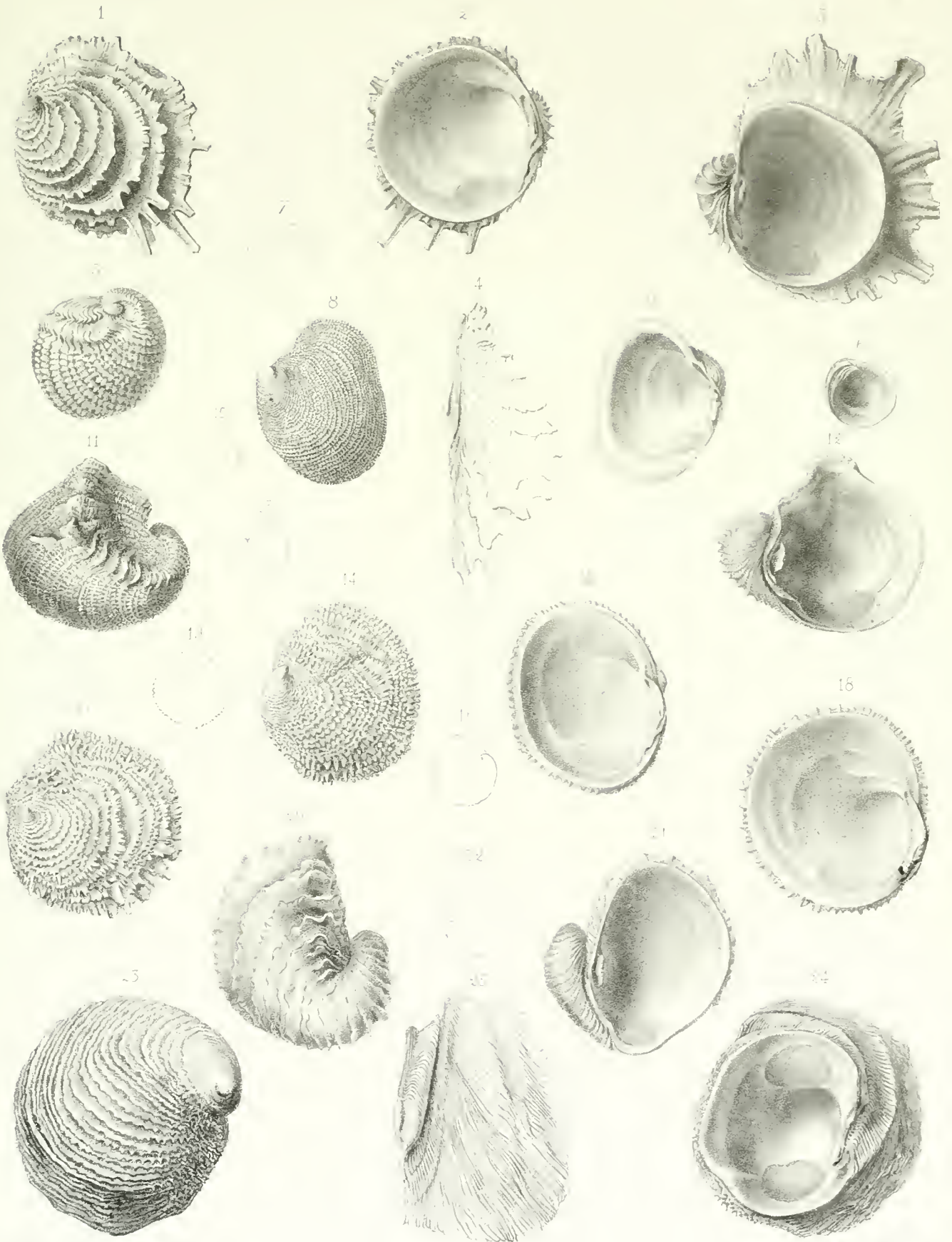


Акцирванис айдаг шариди









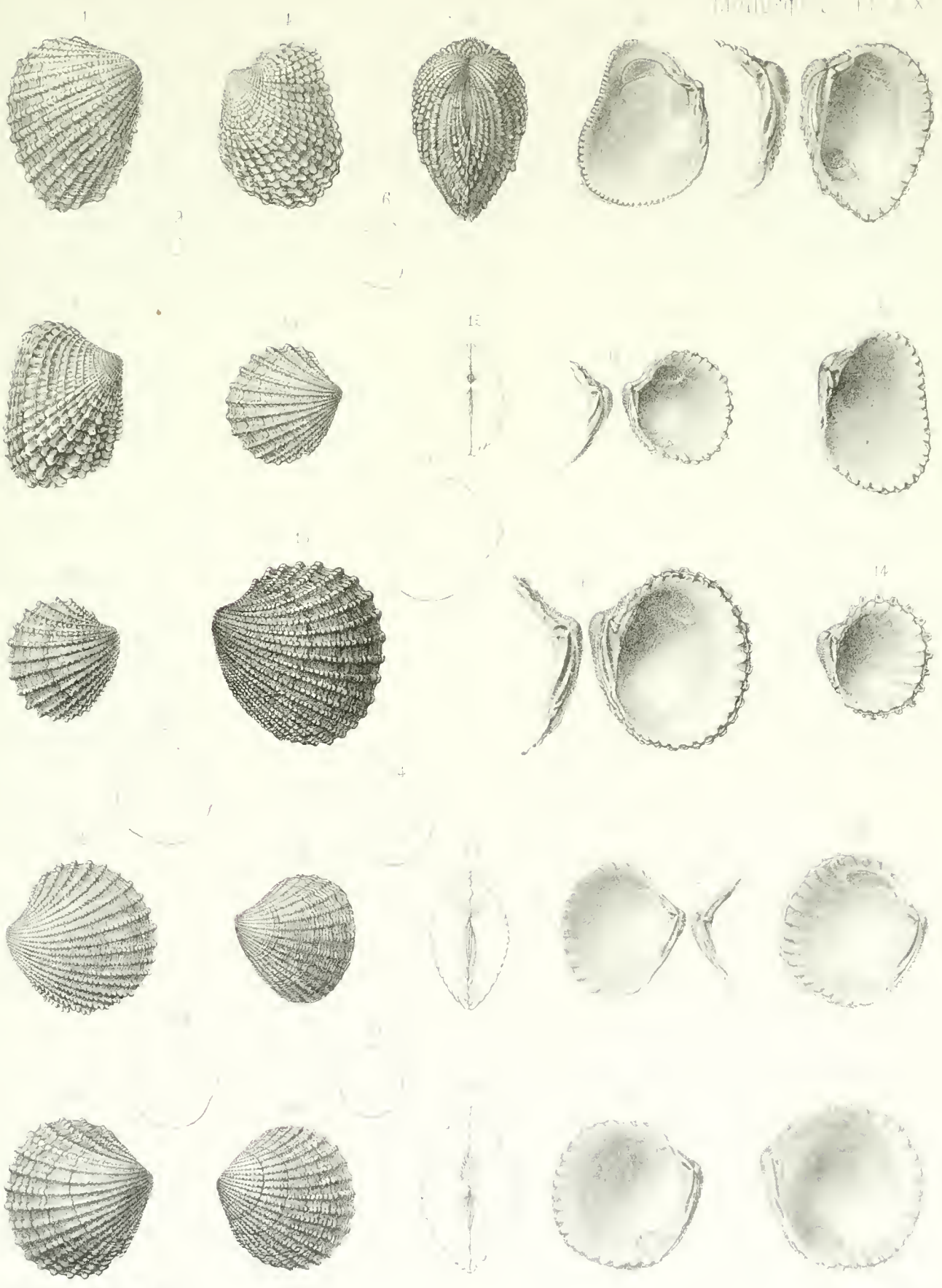
Wackerhauser ad nat. ap.



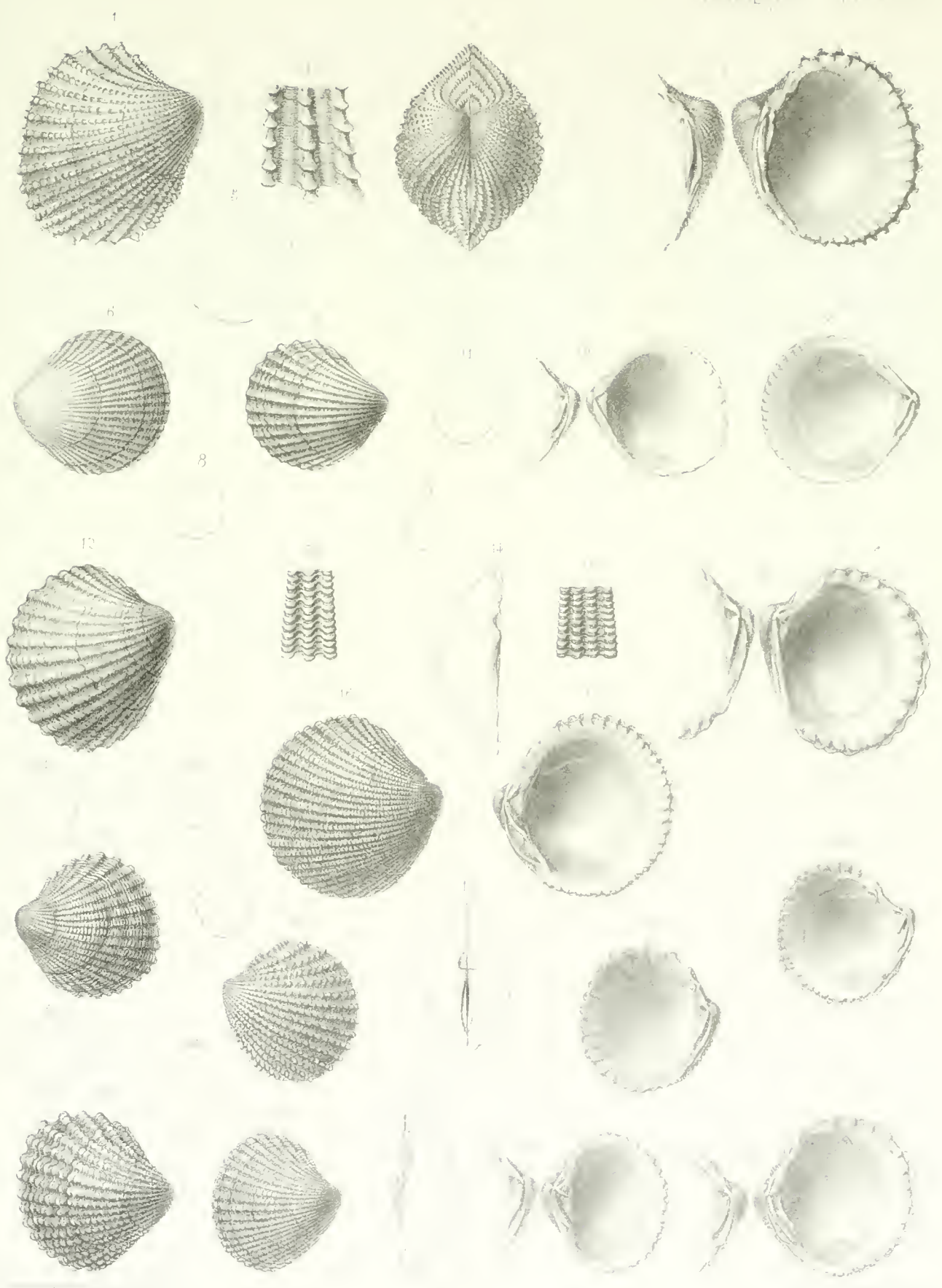


MUSEUM PLATE

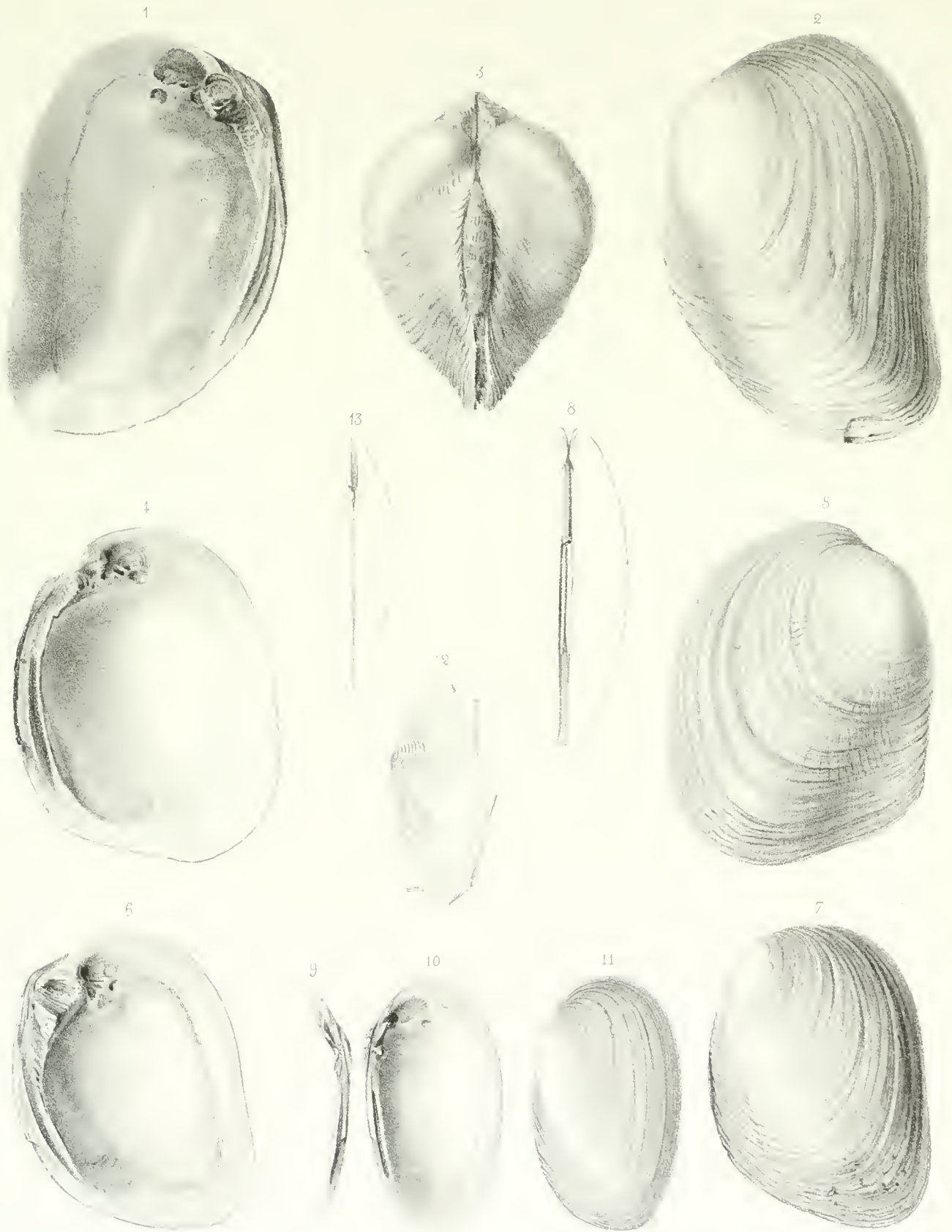












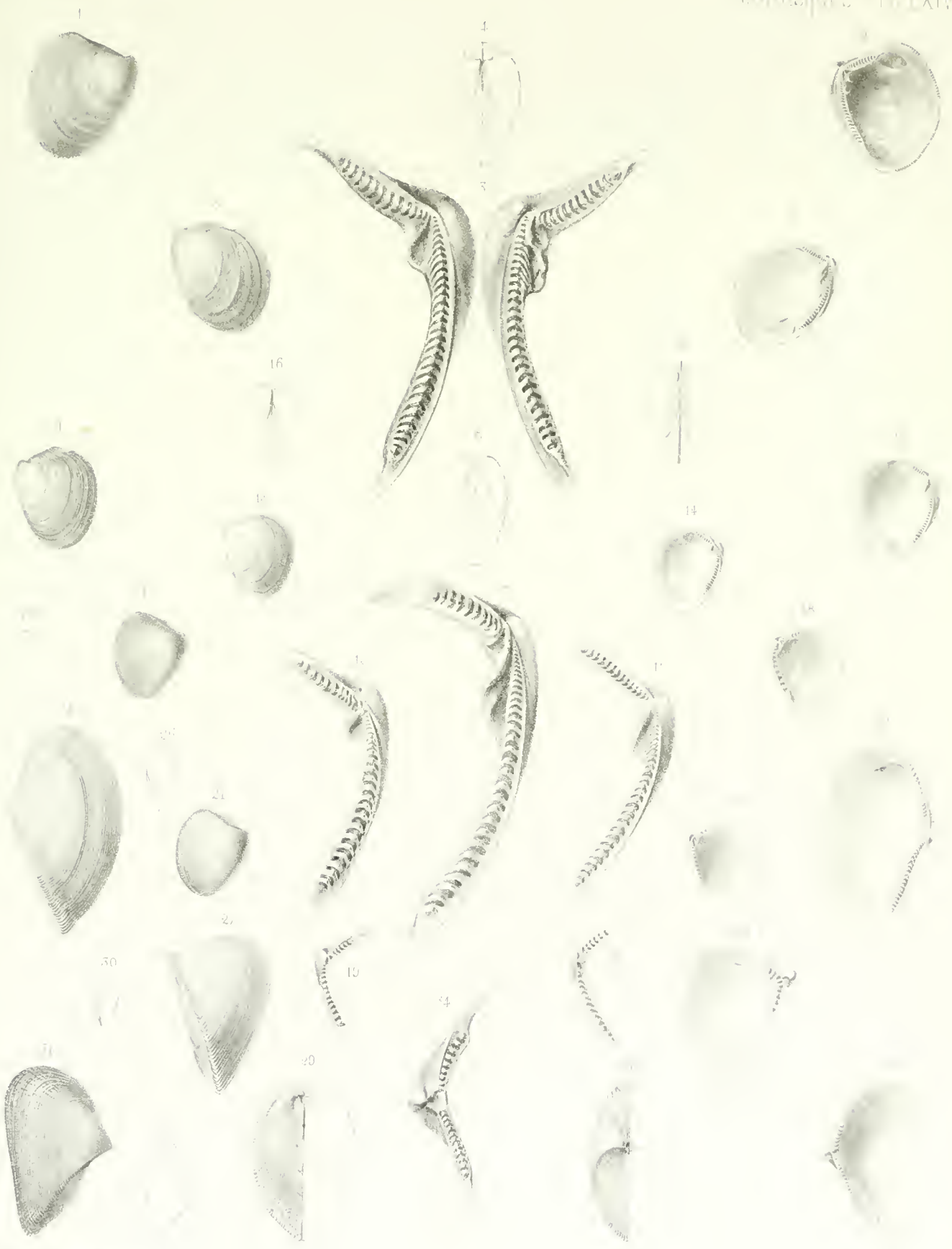
Ackeröauer ad nat in lap de.

de la Roche



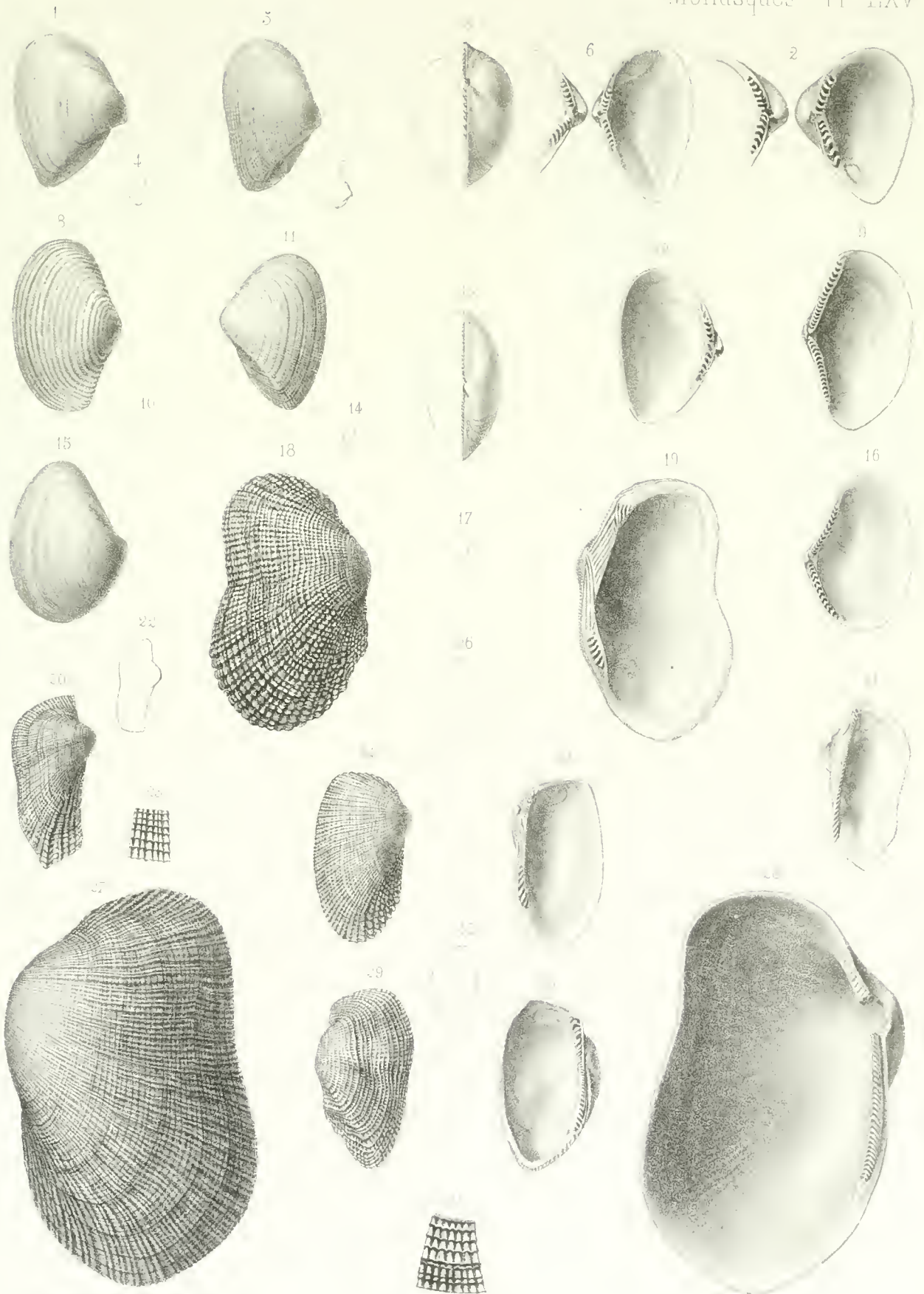






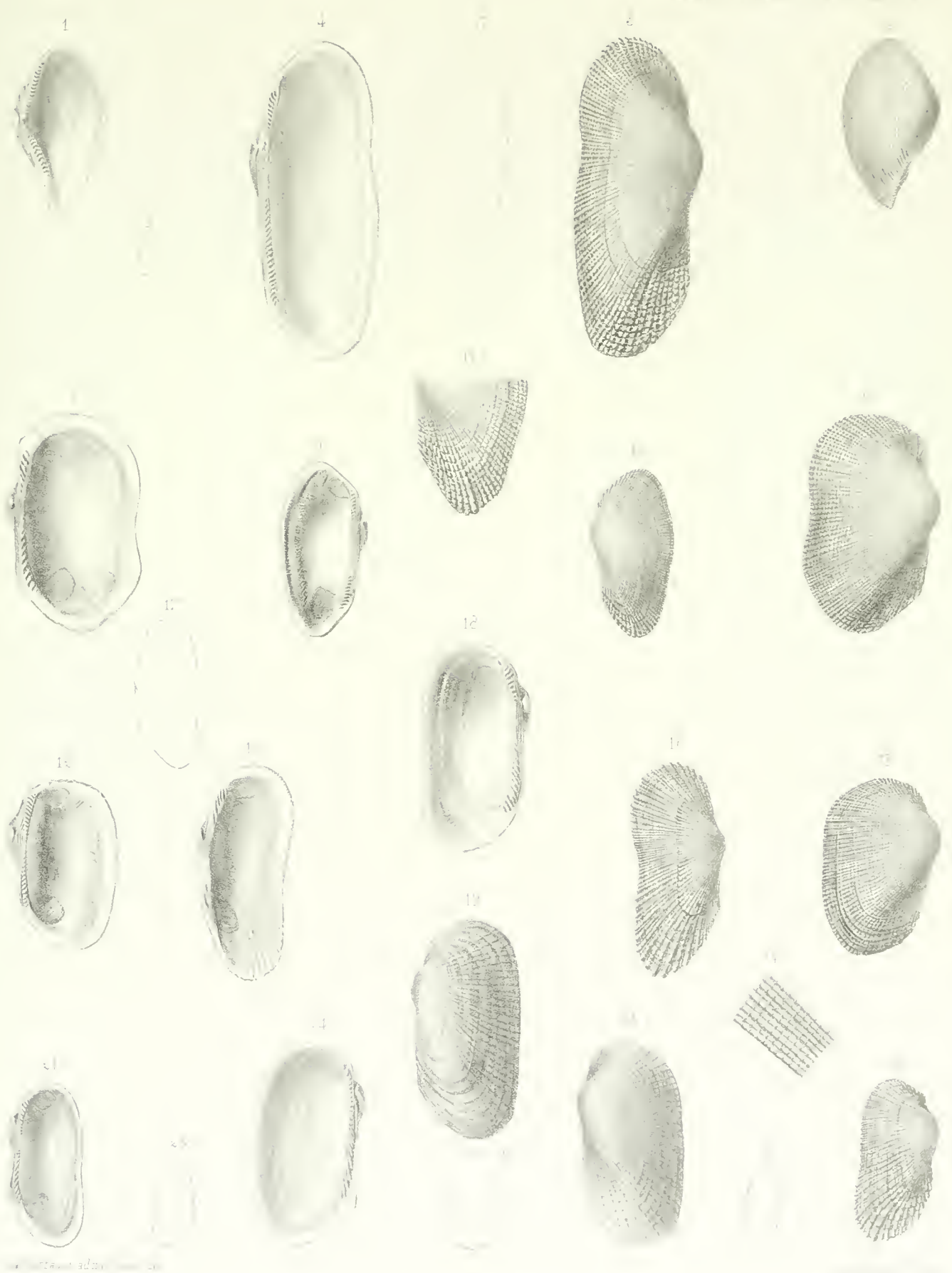
aus dem Museum zu Berlin





*A. ...*

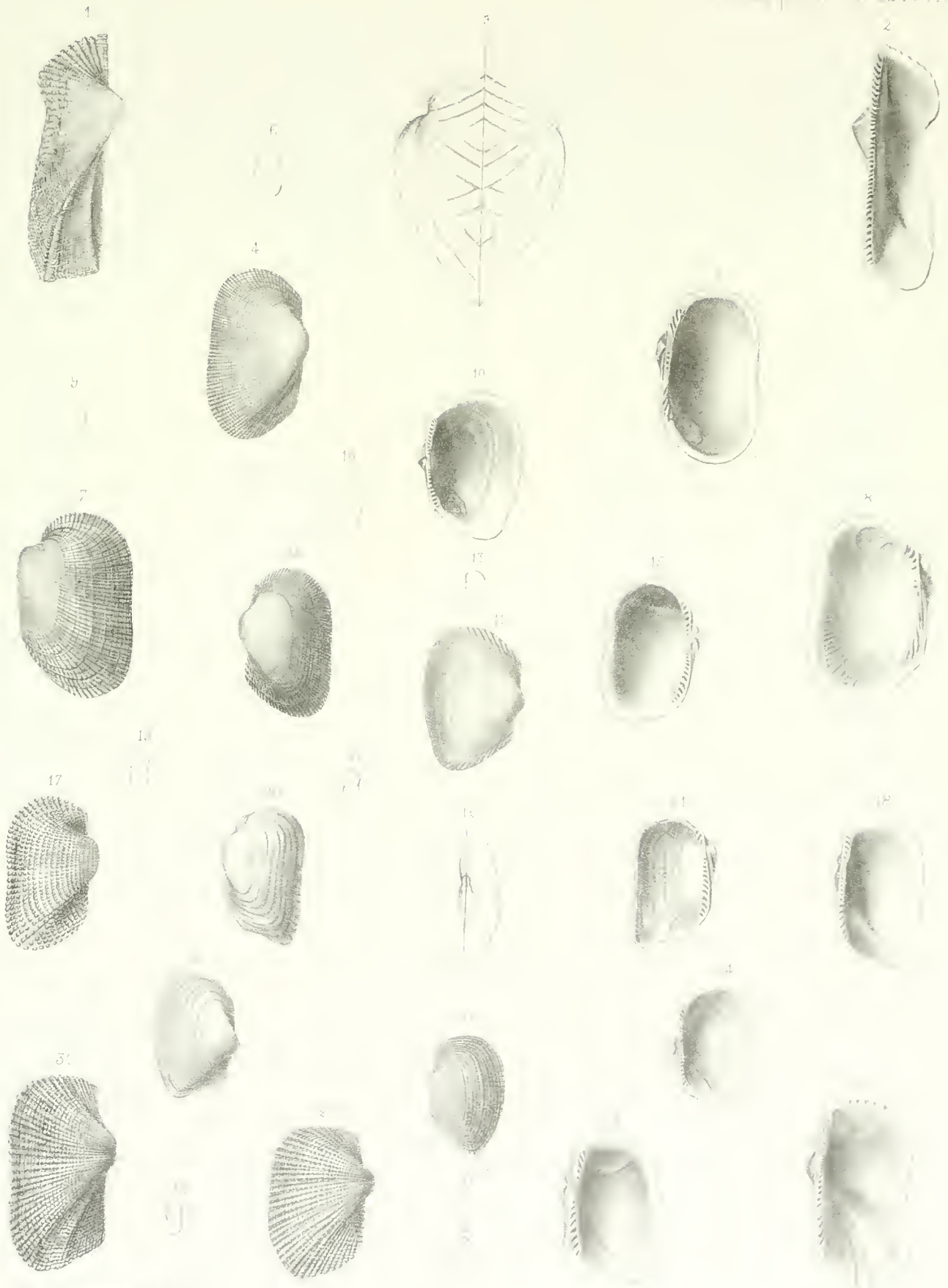














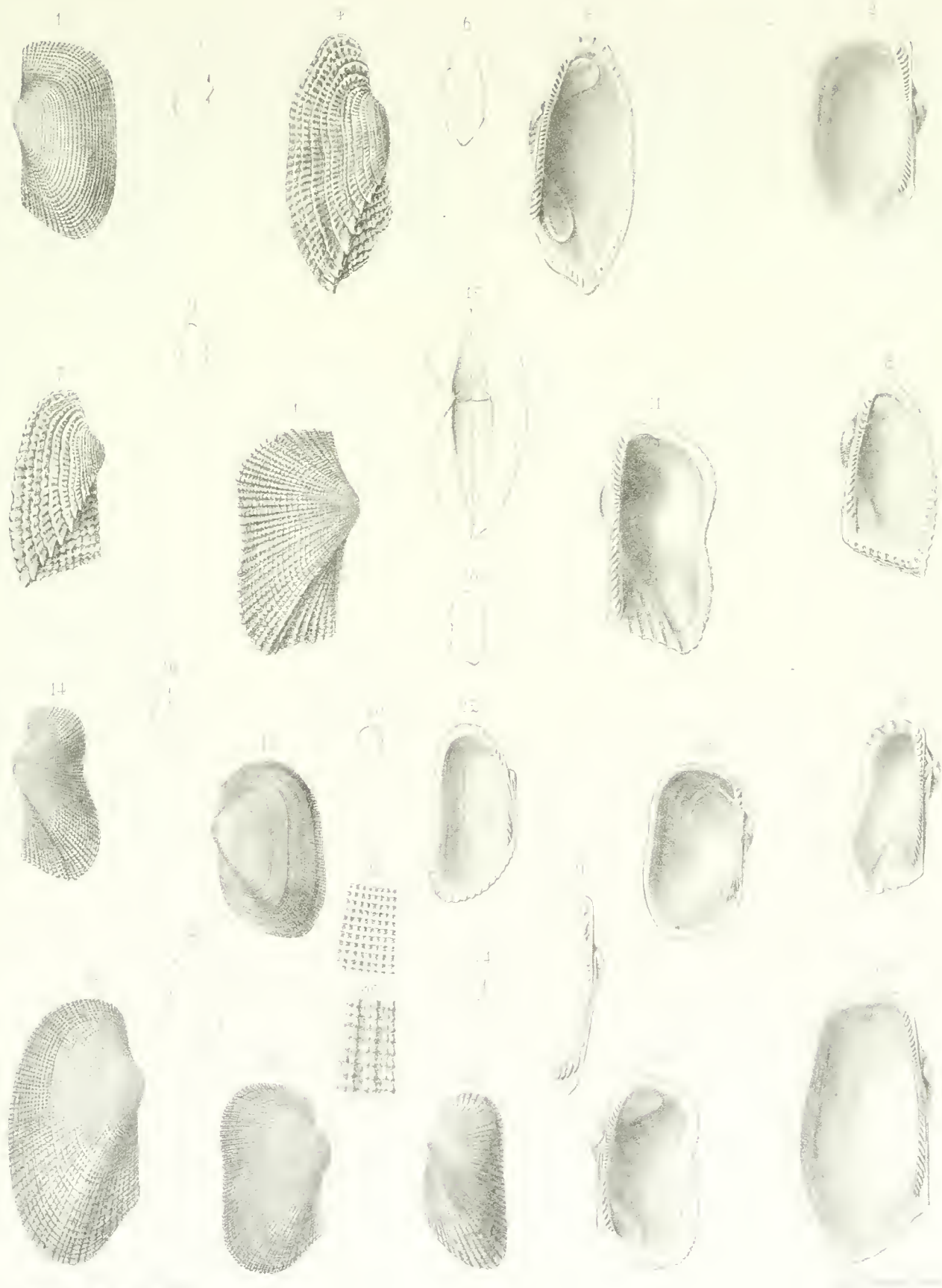
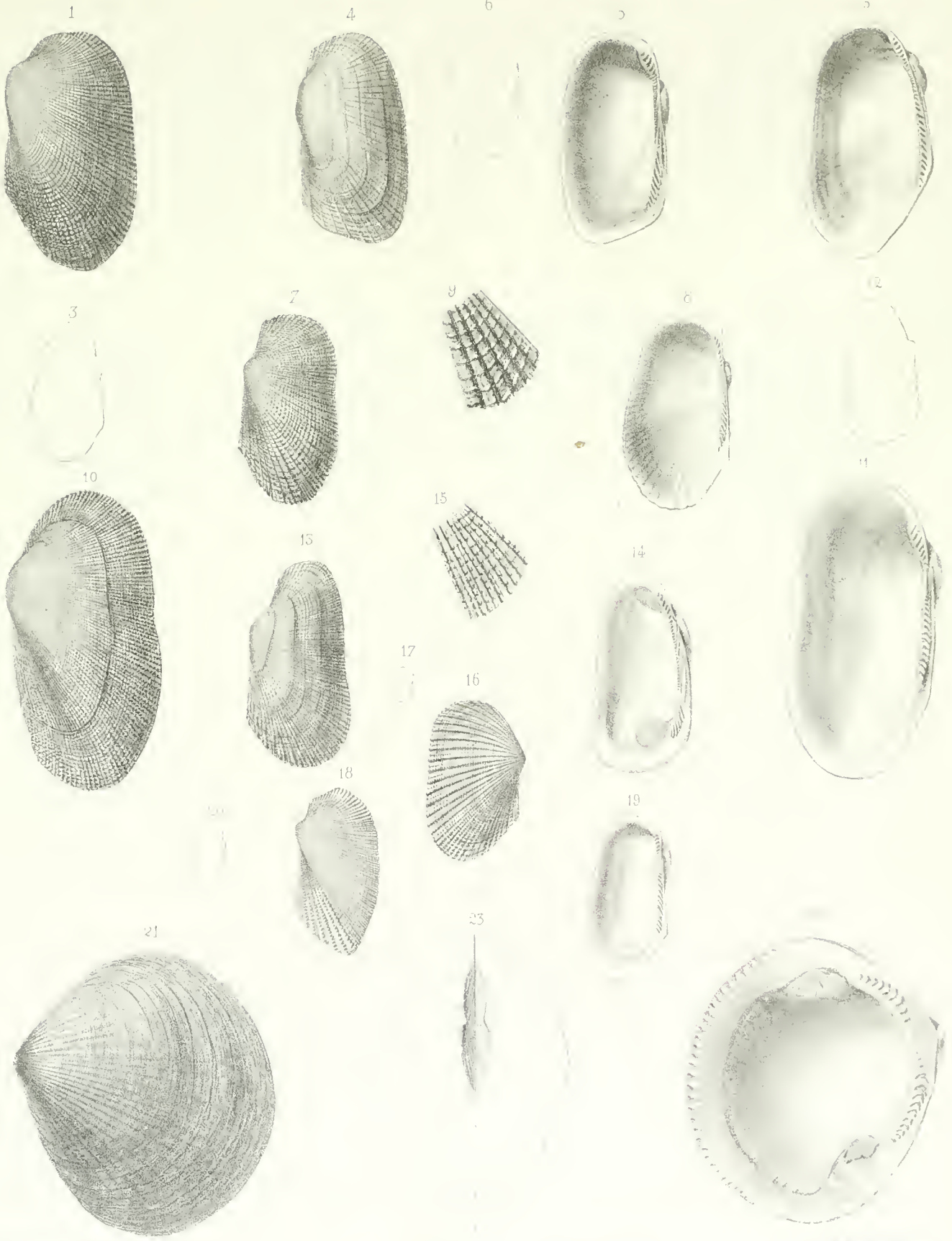
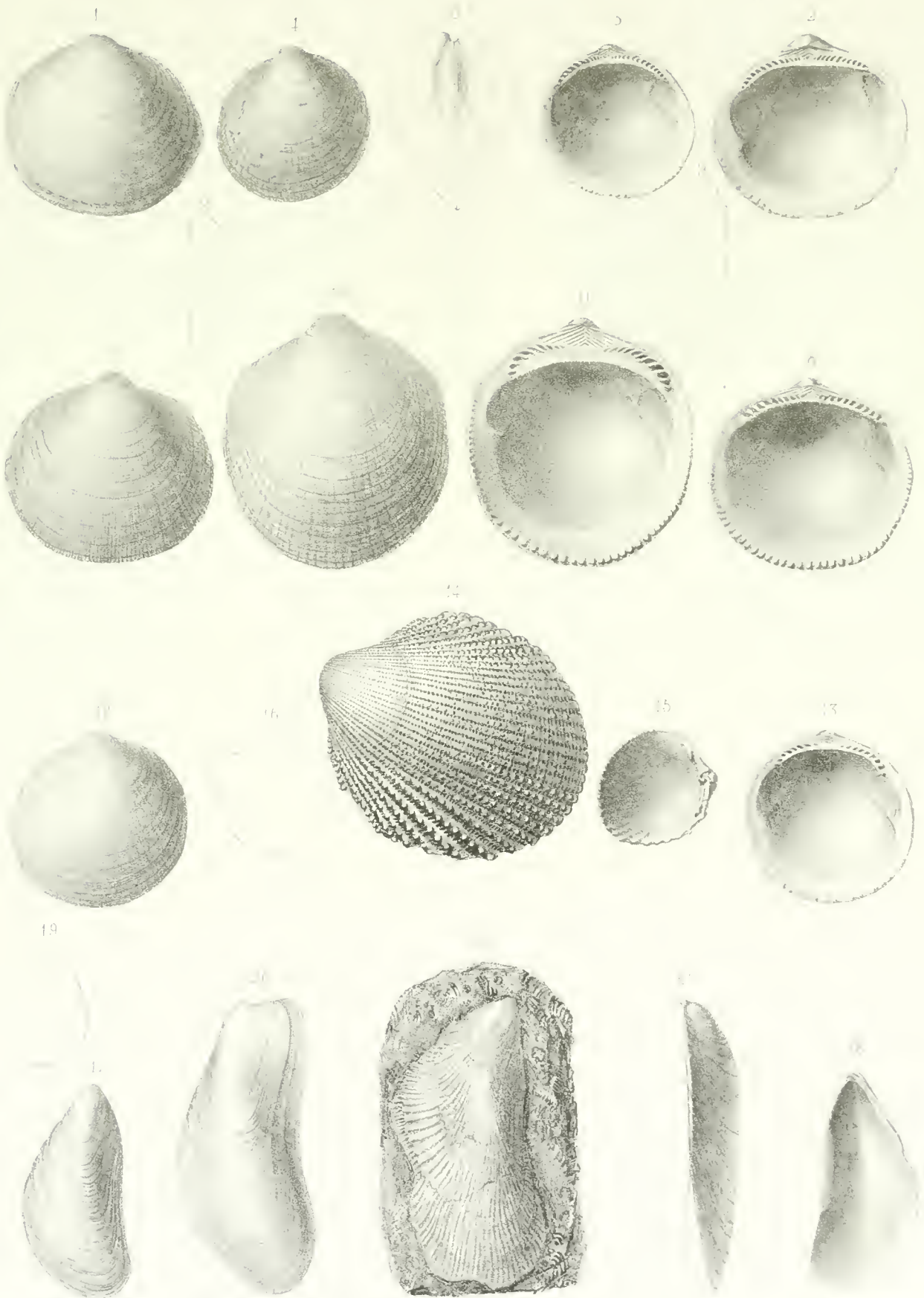


PLATE LXX. MOLLUSCA. PART II.



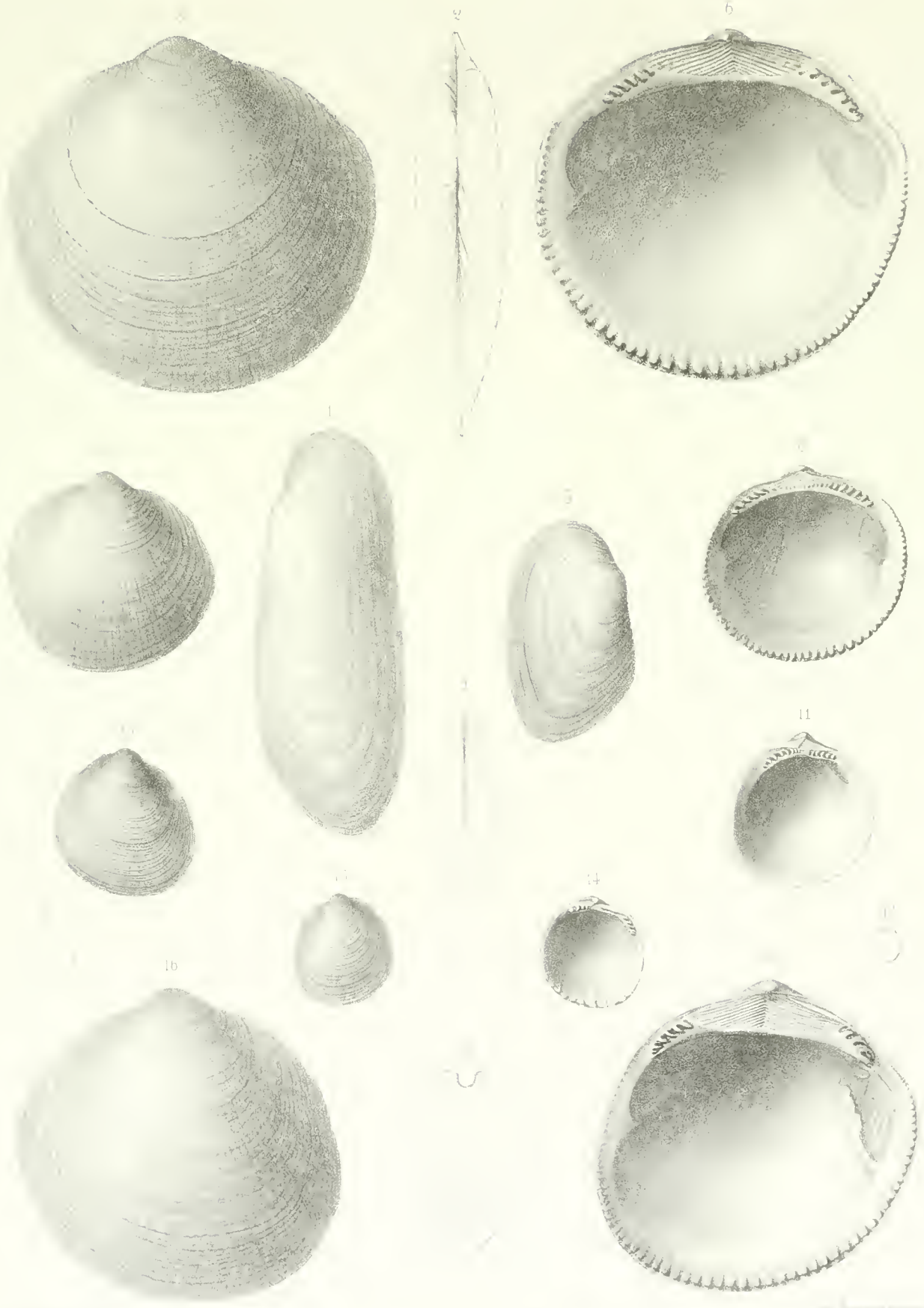






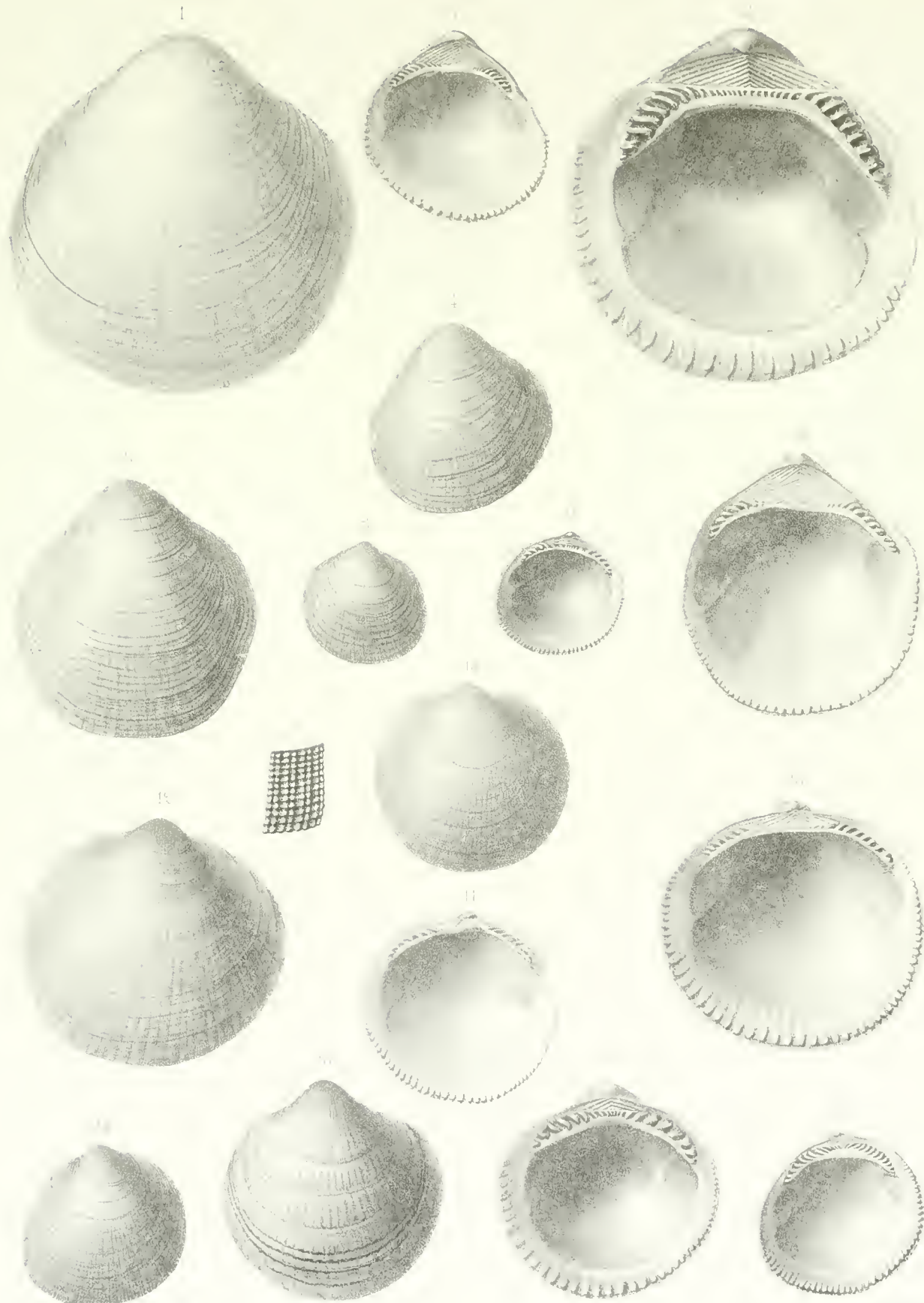
Pl. LXXI. Mollusques.





Mollusques. Pl. LXXII

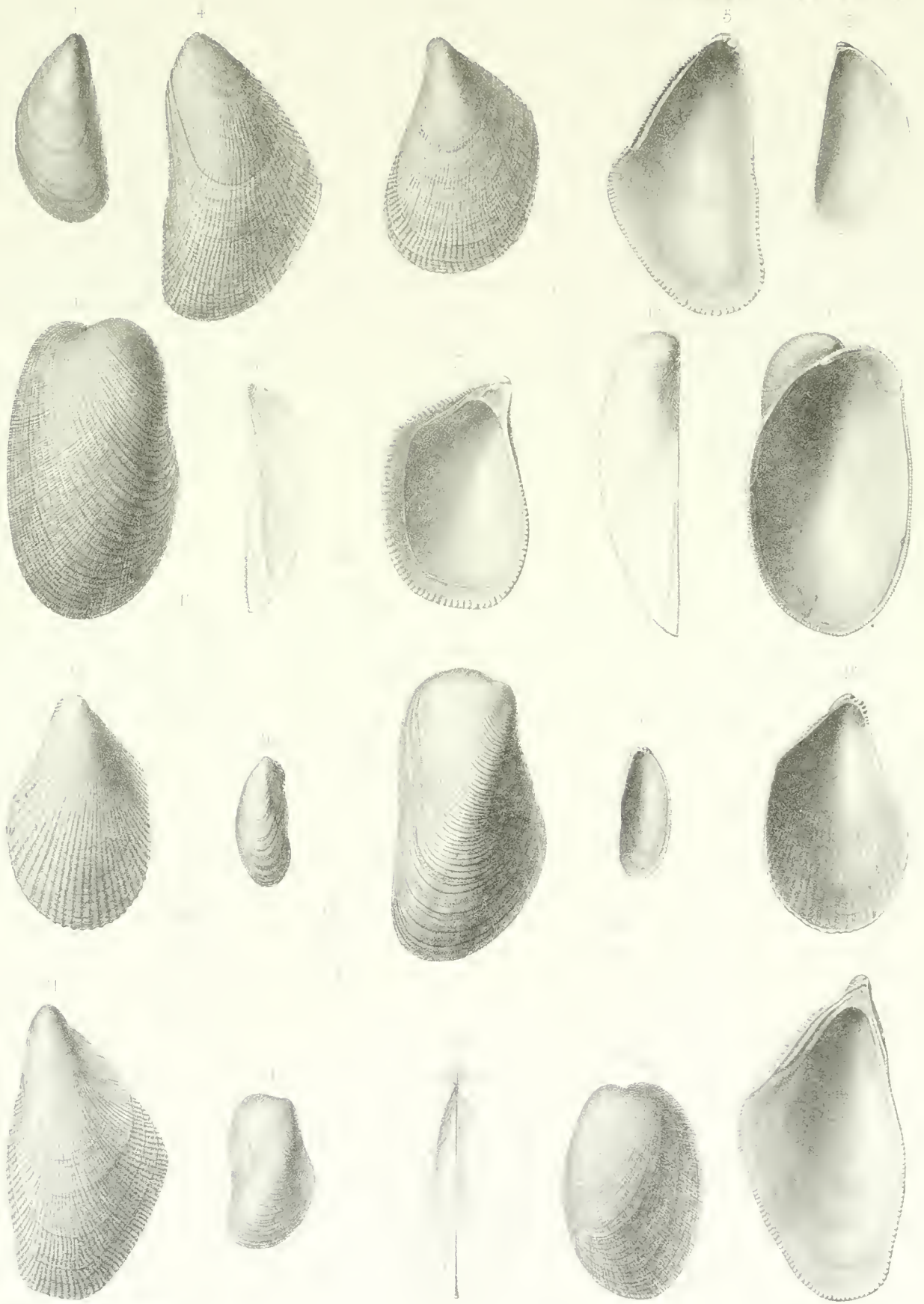






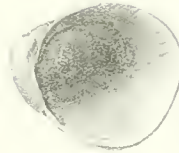




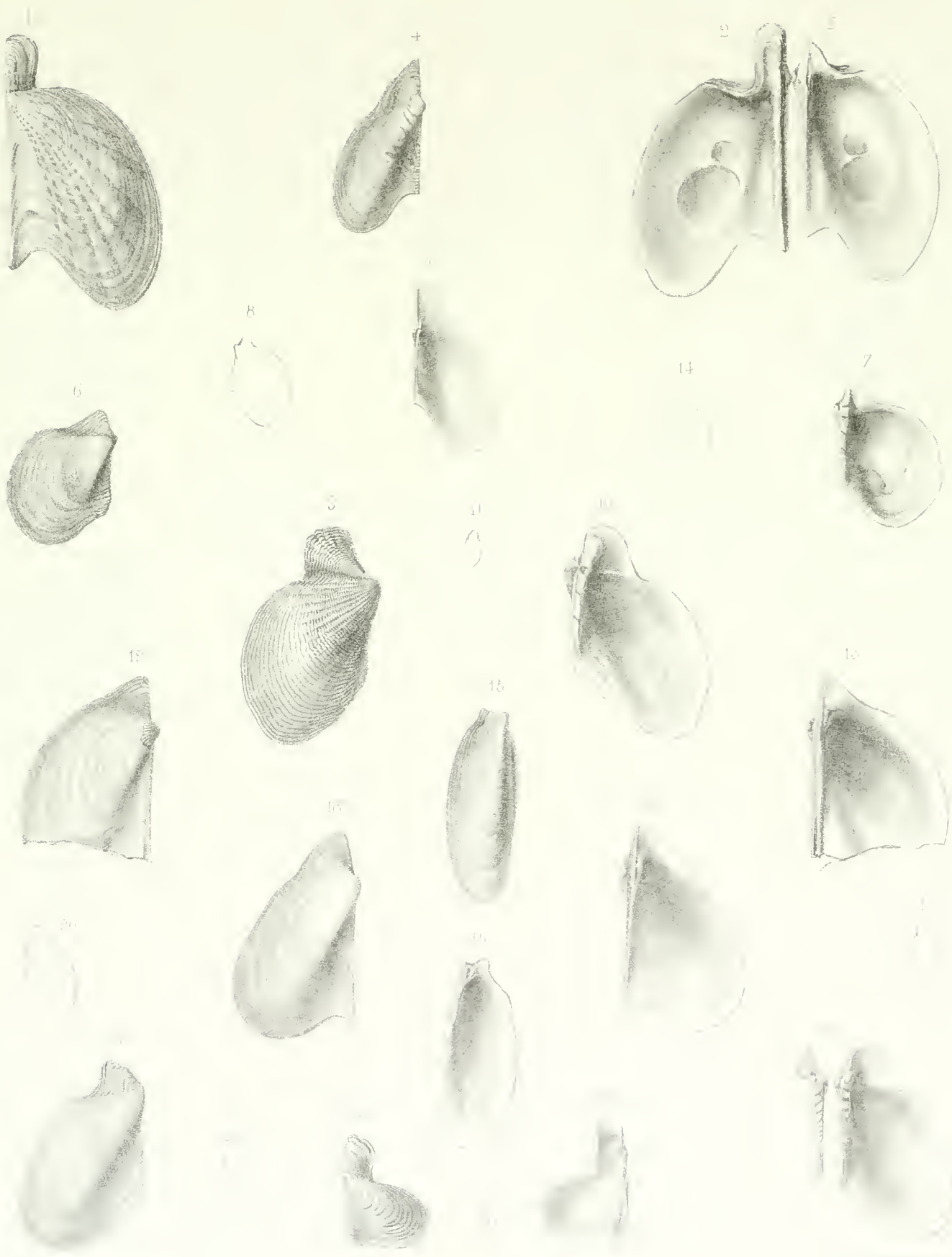


*Umbonium, An. (Purpura) - various forms.*





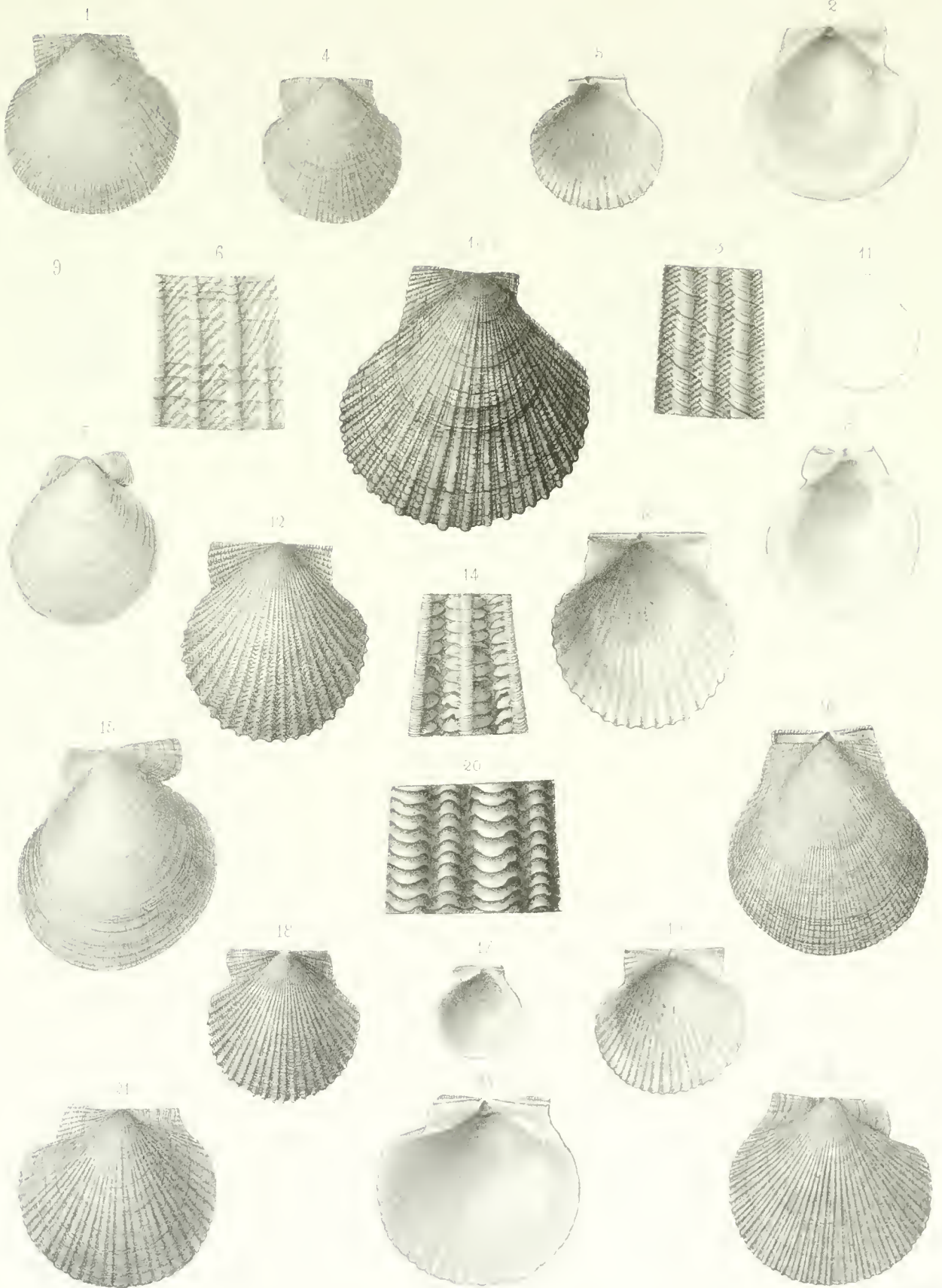












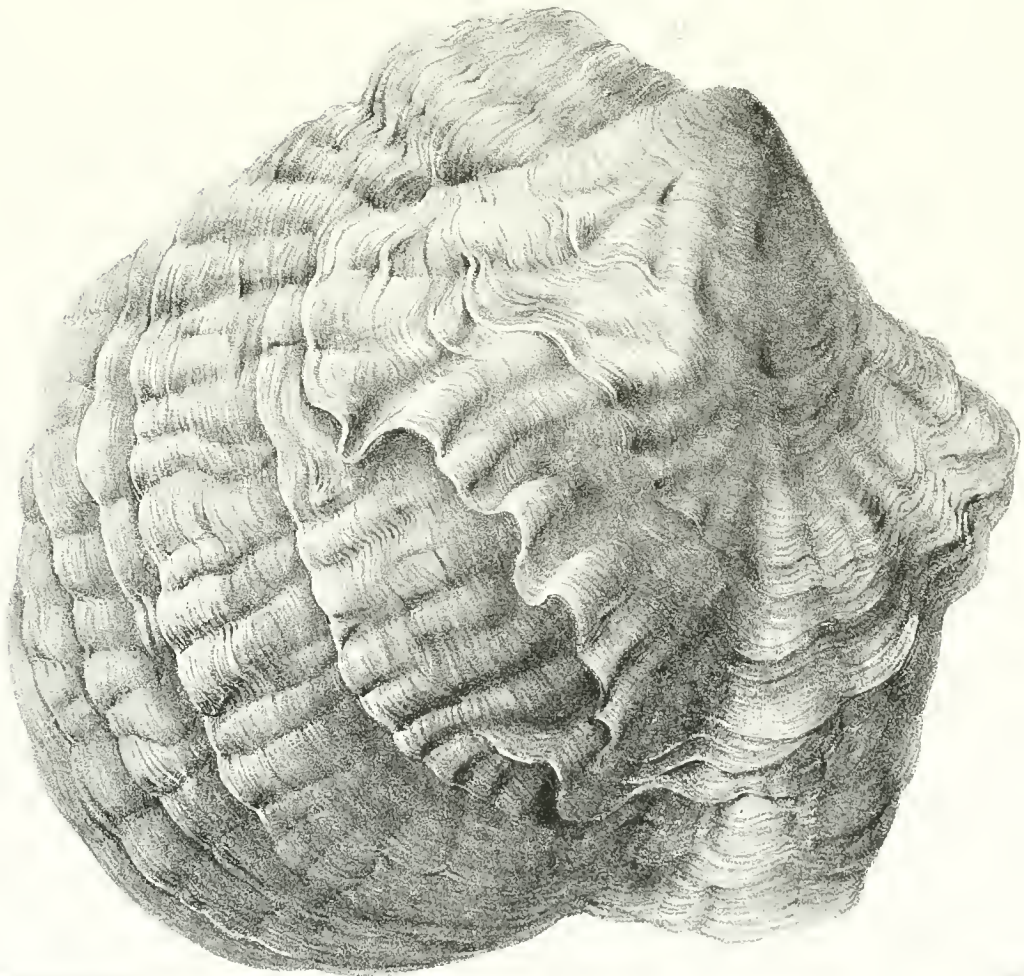
*Scaberrimus*

PLATE LXXIX





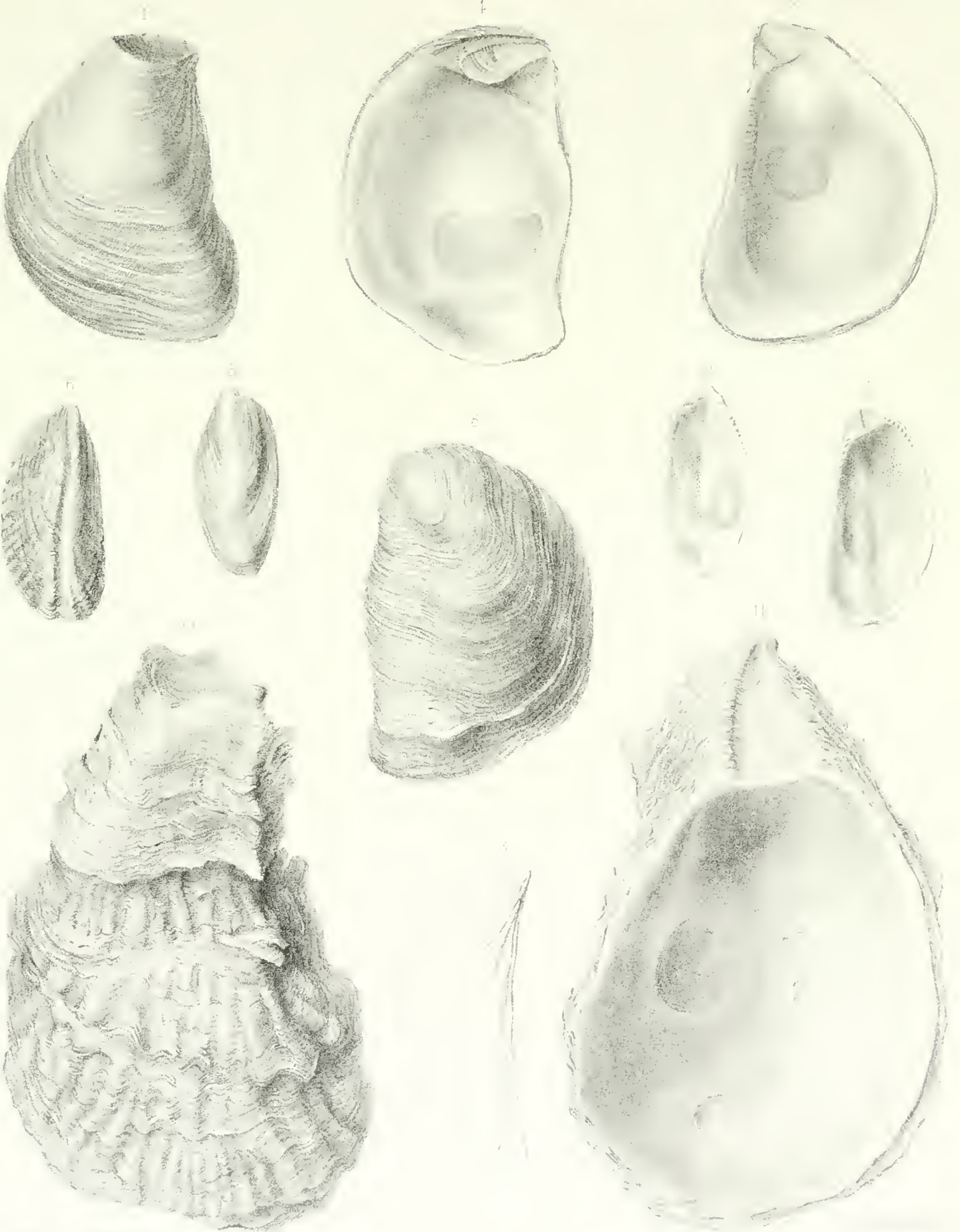




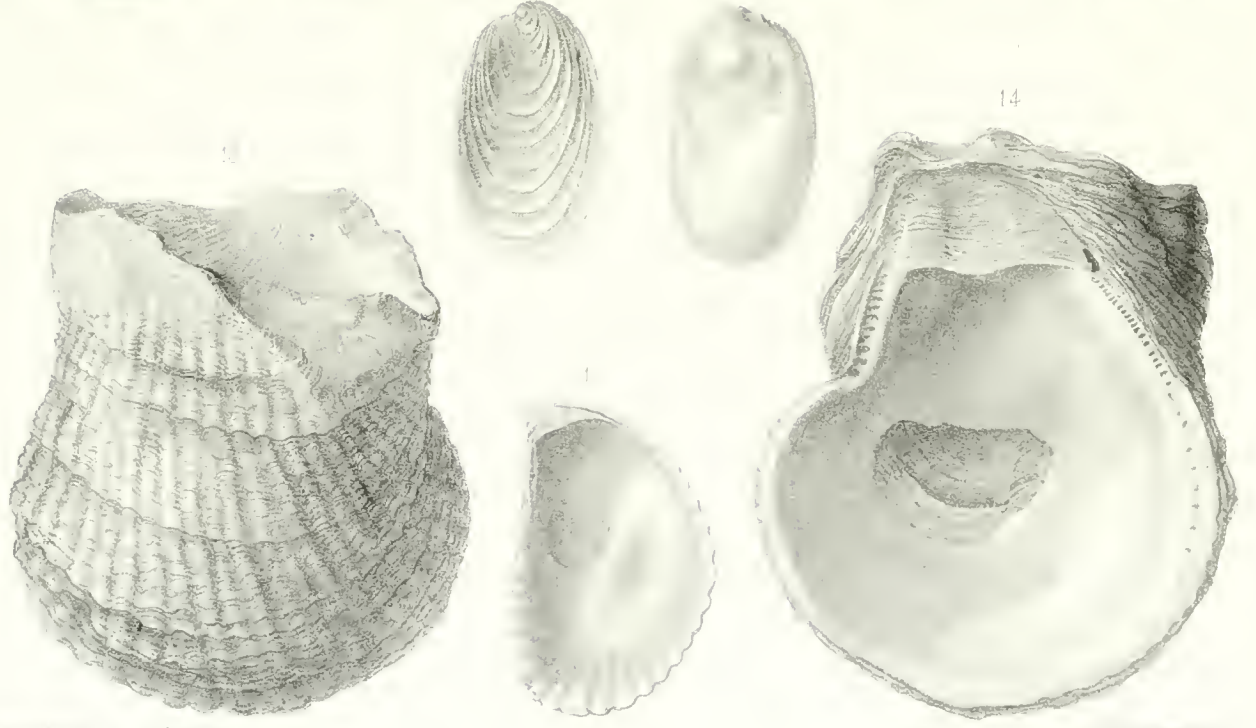
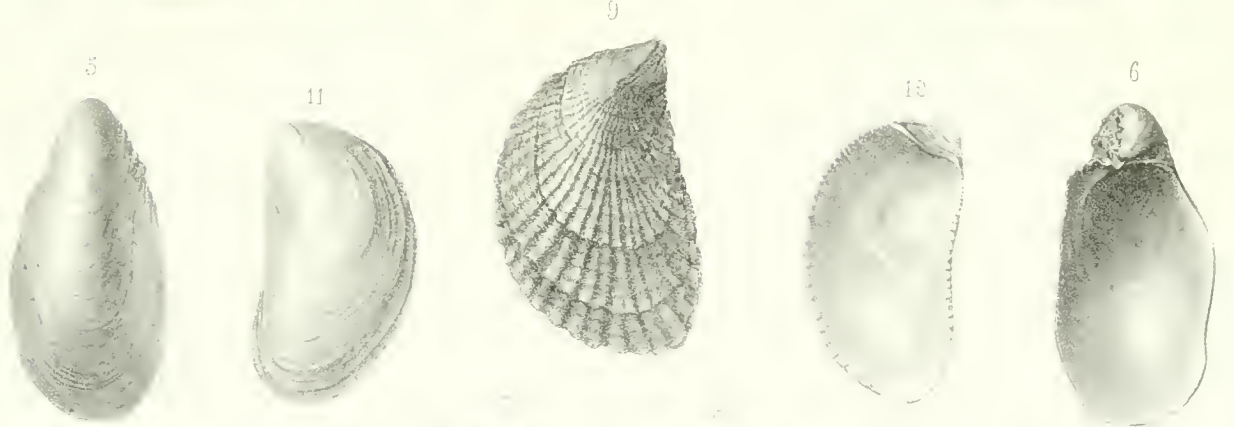








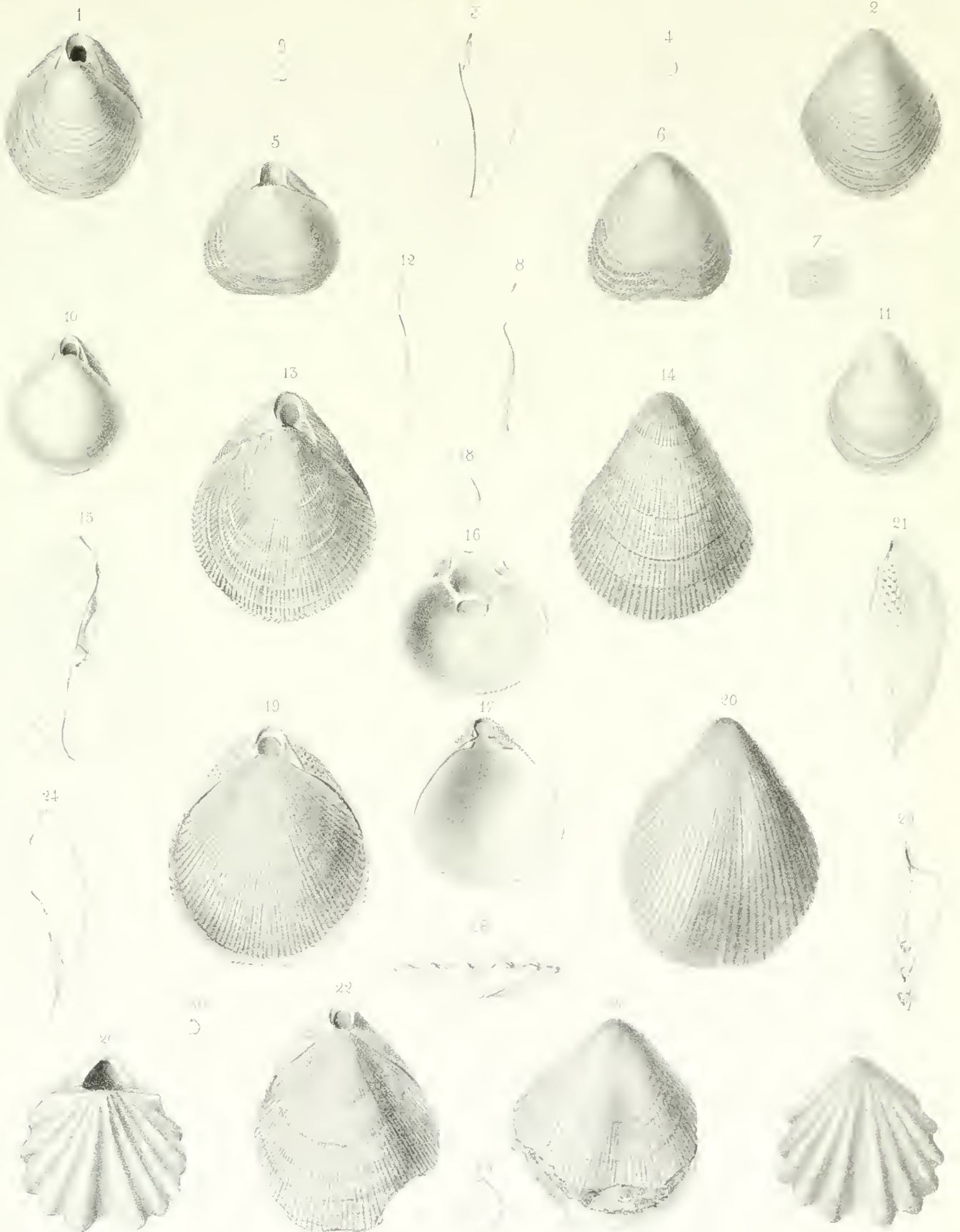












*Lacaze de la Rivière*



